

การคำนวณประสิทธิภาพแบบ REAL TIME  
ของโรงไฟฟ้าพลังความร้อนและพลังความร้อนร่วม

REAL TIME EFFICIENCY CALCULATION  
OF THERMAL AND COMBINED CYCLE PLANT

กงคา คุณพันธ์  
KHONGKHA KHOONPAN

วิทยานิพนธ์ฉบับนี้เป็นส่วนหนึ่งของการศึกษาตามหลักสูตรปริญญาวิศวกรรมศาสตรมหาบัณฑิต  
สาขาวิชาวิศวกรรมไฟฟ้า

บัณฑิตวิทยาลัย

สถาบันเทคโนโลยีพระจอมเกล้าเจ้าคุณทหารลาดกระบัง

พ.ศ. 2550

KMITL-2007-EN-M-020-121

สำนักหอสมุดกลาง พระจอมเกล้าลาดกระบัง

การคำนวณประสิทธิภาพแบบ REAL TIME  
ของโรงไฟฟ้าพลังความร้อนและพลังความร้อนร่วม

REAL TIME EFFICIENCY CALCULATION  
OF THERMAL AND COMBINED CYCLE PLANT

กนกภา คุณพันธ์

KHONGKHA KHOONPAN

เลขานุ.....  
เลขทะเบียน..... 77965  
วัน,เดือน,ปี..... 12 ก.พ. 2551

วิทยานิพนธ์นี้เป็นส่วนหนึ่งของการศึกษาตามหลักสูตรปริญญาวิศวกรรมศาสตรมหาบัณฑิต

สาขาวิชาวิศวกรรมไฟฟ้า

บัณฑิตวิทยาลัย

สถาบันเทคโนโลยีพระจอมเกล้าเจ้าคุณทหารลาดกระบัง

พ.ศ. 2550

KMITL-2007-EN-M-020-121

**REAL TIME EFFICIENCY CALCULATION  
OF THERMAL AND COMBINED CYCLE PLANT**

**KHONGKHA KHOONPAN**

**A THESIS SUBMITTED IN PARTIAL FULFILLMENT  
OF THE REQUIREMENT FOR THE DEGREE OF  
MASTER OF ENGINEERING IN ELECTRICAL ENGINEERING  
SCHOOL OF GRADUATE STUDIES  
KING MONGKUT'S INSTITUTE OF TECHNOLOGY LADKRABANG  
2007  
KMITL-2007-EN-M-020-121**

**COPYRIGHT 2007**

**SCHOOL OF GRADUATE STUDIES**

**KING MONGKUT'S INSTITUTE OF TECHNOLOGY LADKRABANG**

หัวข้อวิทยานิพนธ์	การคำนวณประสิทธิภาพแบบ Real Time ของโรงไฟฟ้าพลังความร้อนและพลังความร้อนร่วม
ชื่อนักศึกษา	นายคงคา คุ้มพันธ์
รหัสประจำตัว	45060114
ปริญญา	วิศวกรรมศาสตรมหาบัณฑิต
สาขาวิชา	วิศวกรรมไฟฟ้า
พ.ศ.	2550
อาจารย์ที่ปรึกษาวิทยานิพนธ์	รศ. ศิริวัฒน์ โทธิเวชกุล

### บทคัดย่อ

วิทยานิพนธ์ฉบับนี้เป็นการวิจัยระบบคำนวณประสิทธิภาพของโรงไฟฟ้าพลังความร้อนและโรงไฟฟ้าพลังความร้อนร่วมแบบ Real time โดยจะดึงพารามิเตอร์ที่ตรวจวัดจากระบบควบคุมโรงไฟฟ้าโดยตรง นำมาประมวลผลตาม ASME/ANSI Performance Test Code สามารถแสดงผลการคำนวณให้วิศวกรเดินเครื่องทราบถึงประสิทธิภาพโดยรวมของโรงไฟฟ้า, ประสิทธิภาพของระบบย่อยแต่ละระบบ รวมทั้งสามารถบ่งชี้ได้ว่าระบบใดมีประสิทธิภาพสูงหรือต่ำกว่าเกณฑ์ เพื่อเป็นข้อมูลให้วิศวกรเดินเครื่องตัดสินใจและวางแผนการเดินเครื่องเพื่อผลิตไฟฟ้าได้อย่างมีประสิทธิภาพและลดค่าใช้จ่ายด้านเชื้อเพลิงให้มากที่สุด

<b>Thesis</b>	Real Time Efficiency Calculation of Thermal and Combined Cycle Plant
<b>Student</b>	Mr. Khongkha Khoonpan
<b>Student ID.</b>	45060114
<b>Degree</b>	Master of Engineering
<b>Program</b>	Electrical Engineering
<b>Year</b>	2007
<b>Thesis advisor</b>	Assc. Prof. Sirawat Potivejkul

## **ABSTRACT**

A real time efficiency calculation system of thermal and combined cycle power plant is described in this thesis. The power plant performances are calculated base on ASME/ANSI performance test codes, and parameters from plant's DCIS are used. Operating engineers can monitor an overall plant and system efficiencies. In addition, the system is able to indicate whether such efficiencies are higher or lower than the standards. This provides useful information for operation managers to schedule power generation economically, and to minimize the fuel consumption.

## กิตติกรรมประกาศ

วิทยานิพนธ์เล่มนี้สำเร็จลุล่วงลงไปได้ด้วยความกรุณาจากอาจารย์ที่ปรึกษา รศ. ศิริวัฒน์ โปธิเวชกุล ที่ให้คำปรึกษา ชี้แนะแนวทางรวมทั้งเร่งรัดให้ทำไปแล้วเสร็จตามกำหนด

ขอขอบพระคุณคณะกรรมการทุกท่านที่ให้คำชี้แนะที่เป็นประโยชน์ในการปรับปรุงวิทยานิพนธ์

ขอขอบพระคุณอาจารย์ทุกท่านที่ประสิทธิ์ประสาทวิชาความรู้ทั้งหลายแก่ข้าพเจ้า จนสามารถศึกษาและจัดทำงานวิจัยตามวิทยานิพนธ์นี้ได้

ขอขอบคุณบริษัทผลิตไฟฟ้าราชบุรี จำกัด ที่อนุญาตให้ใช้ข้อมูลโรงไฟฟ้า และทดสอบการใช้งานในโรงไฟฟ้า

ขอขอบคุณคุณสมนึก จินดาทรัพย์ รองกรรมการผู้จัดการบริษัทผลิตไฟฟ้าราชบุรี ที่ให้คำแนะนำและถ่ายทอดประสบการณ์ในการทำงานในโรงไฟฟ้า

ขอขอบคุณคุณจตุรพร กิจประยูรที่ช่วยออกแบบภาพ กราฟฟิกและการแสดงผลในโปรแกรม

ขอขอบคุณคุณจิรายุ คุณพันธ์ ภรรยาที่เป็นทั้งเพื่อนคู่คิด และเป็นกำลังใจให้มาโดยตลอด ขอขอบคุณทุกๆ ท่าน, จิรภัทร, จิราภา, จิรัฐฎ์, จิรัชญา ที่เป็นกำลังใจให้พอ

คุณความดีทั้งหลายที่มีขึ้นในวิทยานิพนธ์เล่มนี้ ขอมอบแด่ บิดามารดาที่เป็นที่เคารพรักยิ่ง ตลอดจนครู-อาจารย์ พี่ๆ น้องๆ ทุกท่านที่ให้ประสบการณ์ คำแนะนำ และสนับสนุนแก่ข้าพเจ้า

กนกภา คุณพันธ์

# สารบัญ

	หน้า
บทคัดย่อภาษาไทย .....	I
บทคัดย่อภาษาอังกฤษ .....	II
กิตติกรรมประกาศ .....	III
สารบัญ .....	IV
สารบัญตาราง .....	VI
สารบัญรูป .....	VIII
บทที่ 1 บทนำ .....	1
1.1 ความเป็นมาของปัญหาและความสำคัญของปัญหา .....	1
1.2 วัตถุประสงค์ของการคำนวณประสิทธิภาพแบบ Real Time .....	3
1.3 สมมติฐานของการศึกษา.....	3
1.4 ทฤษฎีและแนวคิดที่ใช้ในการวิจัย .....	3
1.5 การเปรียบเทียบระหว่างวิธีการที่นำเสนอกับวิธีการแบบเดิม.....	4
1.6 ขอบเขตการวิจัย .....	4
1.7 ขั้นตอนของการศึกษา.....	5
1.8 ผลที่คาดว่าจะได้รับ.....	6
บทที่ 2 ประสิทธิภาพของโรงไฟฟ้าตามสัญญาซื้อขายไฟฟ้า .....	7
2.1 ค่าความพร้อมจ่าย (AP) .....	7
2.2 ค่าเชื้อเพลิงหรือ Energy Payment (EP) .....	16
2.3 อัตราการใช้เชื้อเพลิงและประสิทธิภาพของโรงไฟฟ้าตามสัญญา PPA .....	27
บทที่ 3 ประสิทธิภาพของโรงไฟฟ้าพลังความร้อน.....	35
3.1 บทนำ .....	35
3.2 ประสิทธิภาพของหม้อไอน้ำ .....	38
3.2.1 วิธี Input-Output Method .....	38
3.2.2 วิธี Heat Loss Method .....	40
3.3 ประสิทธิภาพของ Steam Turbine .....	48
3.4 สมดุลย์พลังงานในโรงไฟฟ้าพลังความร้อน .....	54
บทที่ 4 ประสิทธิภาพของโรงไฟฟ้าพลังความร้อนร่วม .....	58

## สารบัญ (ต่อ)

หน้า

4.1 บทนำ.....	58
4.2 ประสิทธิภาพของกังหันก๊าซ .....	58
4.3 ประสิทธิภาพของหม้อไอน้ำแบบแลกเปลี่ยนความร้อน .....	59
4.4 ประสิทธิภาพของ Steam Turbine .....	62
บทที่ 5 ระบบคำนวณประสิทธิภาพแบบ Real Time .....	64
5.1 บทนำ.....	64
5.2 โครงสร้างของระบบ .....	64
5.3 ระบบควบคุมของโรงไฟฟ้าพลังความร้อน.....	66
5.4 ระบบควบคุมของโรงไฟฟ้าพลังความร้อนร่วม.....	70
5.5 ลำดับการทำงานของระบบ Real Time Performance Calculation.....	70
บทที่ 6 การแสดงผลและการวิเคราะห์ประสิทธิภาพ.....	77
6.1 บทนำ.....	77
6.2 การแสดงผลสถานะการผลิตและภาพรวมของระบบ.....	77
6.3 การแสดงผลประสิทธิภาพของหม้อต้มไอน้ำ.....	80
6.4 การแสดงผลประสิทธิภาพของกังหันไอน้ำ.....	80
6.5 การแสดงผลเปรียบเทียบประสิทธิภาพการใช้เชื้อเพลิง.....	83
บทที่ 7 บทสรุปและข้อเสนอแนะ.....	86
7.1 ประสิทธิภาพตามสัญญาซื้อขายไฟฟ้า.....	86
7.2 ประสิทธิภาพของโรงไฟฟ้าพลังความร้อน.....	86
7.3 ประสิทธิภาพของโรงไฟฟ้าพลังความร้อนร่วม.....	87
7.4 ผลที่ได้รับจากวิทยานิพนธ์.....	87
7.5 ข้อเสนอแนะ.....	88
เอกสารอ้างอิง.....	89
ภาคผนวก ก. ผลงานทางวิชาการที่ได้รับการตีพิมพ์.....	91
ภาคผนวก ข. Correction Curve ของ โรงไฟฟ้าพลังความร้อน.....	111
ภาคผนวก ค. Correction Curve ของ โรงไฟฟ้าพลังความร้อนร่วม.....	123
ประวัติผู้เขียน.....	142

## สารบัญตาราง

ตารางที่		หน้า
2.1	ค่า Contract Capacity ของโรงไฟฟ้าพลังความร้อนแห่งหนึ่ง (เชื้อเพลิงก๊าซ).....	8
2.2	ค่า Contract Capacity ของโรงไฟฟ้าพลังความร้อนแห่งหนึ่ง (เชื้อเพลิงน้ำมันเตา)..	8
2.3	ค่า Contract Capacity ของโรงไฟฟ้าพลังความร้อนร่วมแห่งหนึ่งเมื่อใช้เชื้อเพลิง ก๊าซ.....	9
2.4	ค่า Contract Capacity ของโรงไฟฟ้าพลังความร้อนร่วมแห่งหนึ่งเมื่อใช้เชื้อเพลิง น้ำมันดีเซล .....	9
2.5	อุณหภูมิเฉลี่ยของโรงไฟฟ้า .....	10
2.6	ค่า Minimum Generation ของโรงไฟฟ้าพลังความร้อนแห่งหนึ่ง .....	11
2.7	ค่า Minimum Generation ของโรงไฟฟ้าพลังความร้อนร่วมแห่งหนึ่ง .....	11
2.8	ค่าคุณสมบัติ Reactive Power Capability ของโรงไฟฟ้าพลังความร้อนแห่งหนึ่ง ....	12
2.9	ค่าคุณสมบัติ Reactive Power Capability ของโรงไฟฟ้าพลังความร้อนร่วมแห่ง หนึ่ง .....	12
2.10	ค่าคุณสมบัติ Loading rates and Deloading rates ของโรงไฟฟ้าพลังความร้อนแห่ง หนึ่ง .....	12
2.11	ค่าคุณสมบัติ Loading rates and Deloading rates ของโรงไฟฟ้าพลังความร้อนร่วม แห่งหนึ่ง .....	13
2.12	ค่าคุณสมบัติ Primary Response ของโรงไฟฟ้าพลังความร้อนแห่งหนึ่ง .....	14
2.13	ค่าคุณสมบัติ Five Minute Response ของโรงไฟฟ้าพลังความร้อนแห่งหนึ่ง .....	15
2.14	ค่าคุณสมบัติ Fifteen Minute Response ของโรงไฟฟ้าพลังความร้อนแห่งหนึ่ง .....	15
2.15	ค่าคุณสมบัติ Primary Response ของโรงไฟฟ้าพลังความร้อนร่วมแห่งหนึ่ง .....	15
2.16	ค่าคุณสมบัติ Five Minute Response ของโรงไฟฟ้าพลังความร้อนร่วมแห่งหนึ่ง ....	15
2.17	ค่าคุณสมบัติ Fifteen Minute Response ของโรงไฟฟ้าพลังความร้อนร่วมแห่งหนึ่ง.	15
2.18	ค่าพลังความร้อนต่อหน่วยผลิตไฟฟ้าของโรงไฟฟ้าพลังความร้อนแห่งหนึ่งเมื่อ เดินเครื่องด้วยเชื้อเพลิงก๊าซ .....	17
2.19	ค่าพลังความร้อนต่อหน่วยผลิตไฟฟ้าของโรงไฟฟ้าพลังความร้อนแห่งหนึ่งเมื่อ เดินเครื่องด้วยเชื้อเพลิงน้ำมันเตา.....	17
2.20	ค่าพลังความร้อนต่อหน่วยผลิตไฟฟ้าของโรงไฟฟ้าพลังความร้อนร่วมแห่งหนึ่ง เมื่อเดินเครื่องด้วยเชื้อเพลิงก๊าซ ( Unit 1) .....	21

## สารบัญตาราง (ต่อ)

ตารางที่		หน้า
2.21	ค่าพลังความร้อนต่อหน่วยผลิตไฟฟ้าของโรงไฟฟ้าพลังความร้อนร่วมแห่งหนึ่ง เมื่อเดินเครื่องด้วยเชื้อเพลิงน้ำมันดีเซล ( Unit 1).....	22
2.22	ค่าพลังความร้อนต่อหน่วยผลิตไฟฟ้าของโรงไฟฟ้าพลังความร้อนร่วมแห่งหนึ่ง เมื่อเดินเครื่องด้วยเชื้อเพลิงก๊าซ ( Unit 2).....	23
2.23	ค่าพลังความร้อนต่อหน่วยผลิตไฟฟ้าของโรงไฟฟ้าพลังความร้อนร่วมแห่งหนึ่ง เมื่อเดินเครื่องด้วยเชื้อเพลิงน้ำมันดีเซล ( Unit 2).....	24
2.24	ค่าพลังความร้อนต่อหน่วยผลิตไฟฟ้าของโรงไฟฟ้าพลังความร้อนร่วมแห่งหนึ่ง เมื่อเดินเครื่องด้วยเชื้อเพลิงก๊าซ ( Unit 3).....	25
2.25	ค่าพลังความร้อนต่อหน่วยผลิตไฟฟ้าของโรงไฟฟ้าพลังความร้อนร่วมแห่งหนึ่ง เมื่อเดินเครื่องด้วยเชื้อเพลิงน้ำมันดีเซล ( Unit 3).....	26
2.26	เปรียบเทียบอัตราการใช้เชื้อเพลิงและประสิทธิภาพของโรงไฟฟ้าพลังความร้อน เมื่อใช้เชื้อเพลิงต่างชนิดกัน.....	28
2.27	แสดงการเปรียบเทียบประสิทธิภาพและอัตราการใช้เชื้อเพลิงก๊าซของโรงไฟฟ้า พลังความร้อนร่วม.....	33
2.28	แสดงการเปรียบเทียบประสิทธิภาพและอัตราการใช้เชื้อเพลิงก๊าซของโรงไฟฟ้า พลังความร้อนร่วม.....	34
3.1	เปรียบเทียบวิธีการคำนวณประสิทธิภาพระหว่างวิธี Input/Output กับวิธี Heat Loss.....	47
5.1	Input parameter tag ของการคำนวณ PPA Efficiency	71
5.2	Output tag ของการคำนวณ PPA Efficiency	72
5.3	Input tag ของการคำนวณ Thermal Plant Boiler Efficiency (Unit #1)	73
5.4	Output tag ของการคำนวณ Thermal Plant Boiler Efficiency (Unit #1)	74
5.5	Input tag ของการคำนวณ Thermal Plant Steam Turbine Efficiency (Unit #1)	74
5.6	Input tag ของการคำนวณ Thermal Plant Steam Turbine Efficiency (Unit #1)	75
5.7	Output tag ของการคำนวณ Thermal Plant Steam Turbine Efficiency (Unit #1)	75
5.8	ตัวอย่างข้อมูล Input ของโปรแกรม	76
5.9	ตัวอย่างข้อมูล Output ของอัตราการใช้เชื้อเพลิงและประสิทธิภาพ	76

# สารบัญรูป

รูปที่		หน้า
2.1	แสดงการเดินเครื่องประจำวันของโรงไฟฟ้าพลังความร้อน .....	13
2.2	แสดงการเดินเครื่องประจำวันของโรงไฟฟ้าพลังความร้อนร่วม .....	13
2.3	แสดงปริมาณเชื้อเพลิงก๊าซที่ใช้ (MMBTU) ต่อกำลังไฟฟ้าที่ผลิต (MW) ของโรงไฟฟ้าพลังความร้อน .....	19
2.4	แสดงปริมาณเชื้อเพลิงน้ำมันเตาที่ใช้ (MMBTU) ต่อกำลังไฟฟ้าที่ผลิต (MW) ของโรงไฟฟ้าพลังความร้อน .....	19
2.5	แสดงปริมาณเชื้อเพลิงก๊าซที่ใช้ (MMBTU) ต่อกำลังไฟฟ้าที่ผลิต (MW) ของโรงไฟฟ้าพลังความร้อนร่วมหน่วยผลิตที่ 1 .....	21
2.6	แสดงปริมาณเชื้อเพลิงน้ำมันดีเซลที่ใช้ (MMBTU) ต่อกำลังไฟฟ้าที่ผลิต (MW) ของโรงไฟฟ้าพลังความร้อนร่วมหน่วยผลิตที่ 1 .....	22
2.7	แสดงปริมาณเชื้อเพลิงก๊าซที่ใช้ (MMBTU) ต่อกำลังไฟฟ้าที่ผลิต (MW) ของโรงไฟฟ้าพลังความร้อนร่วมหน่วยผลิตที่ 2 .....	23
2.8	แสดงปริมาณเชื้อเพลิงน้ำมันดีเซลที่ใช้ (MMBTU) ต่อกำลังไฟฟ้าที่ผลิต (MW) ของโรงไฟฟ้าพลังความร้อนร่วมหน่วยผลิตที่ 2 .....	24
2.9	แสดงปริมาณเชื้อเพลิงก๊าซที่ใช้ (MMBTU) ต่อกำลังไฟฟ้าที่ผลิต (MW) ของโรงไฟฟ้าพลังความร้อนร่วมหน่วยผลิตที่ 3 .....	25
2.10	แสดงปริมาณเชื้อเพลิงน้ำมันดีเซลที่ใช้ (MMBTU) ต่อกำลังไฟฟ้าที่ผลิต (MW) ของโรงไฟฟ้าพลังความร้อนร่วมหน่วยผลิตที่ 3 .....	26
2.11	แสดงอัตราการใช้เชื้อเพลิงก๊าซและประสิทธิภาพของโรงไฟฟ้าต่อกำลังไฟฟ้าที่ผลิตได้ของโรงไฟฟ้าพลังความร้อนแห่งหนึ่ง .....	29
2.12	แสดงอัตราการใช้เชื้อเพลิงน้ำมันเตาและประสิทธิภาพของโรงไฟฟ้าต่อกำลังไฟฟ้าที่ผลิตได้ของโรงไฟฟ้าพลังความร้อนแห่งหนึ่ง .....	29
2.13	แสดงอัตราการใช้เชื้อเพลิงก๊าซและประสิทธิภาพของโรงไฟฟ้าพลังความร้อนร่วมต่อกำลังไฟฟ้าที่ผลิตได้ (Unit 1) .....	30
2.14	แสดงอัตราการใช้เชื้อเพลิงน้ำมันดีเซลและประสิทธิภาพของโรงไฟฟ้าพลังความร้อนร่วมต่อกำลังไฟฟ้าที่ผลิตได้ (Unit 1) .....	31
2.15	แสดงอัตราการใช้เชื้อเพลิงก๊าซและประสิทธิภาพของโรงไฟฟ้าพลังความร้อนร่วมต่อกำลังไฟฟ้าที่ผลิตได้ (Unit 2) .....	31

## สารบัญรูป (ต่อ)

รูปที่	หน้า
2.16	แสดงอัตราการใช้เชื้อเพลิงน้ำมันดีเซลและประสิทธิภาพของโรงไฟฟ้าพลังความร้อนร่วมต่อกำลังไฟฟ้าที่ผลิตได้ (Unit 2) ..... 32
2.17	แสดงอัตราการใช้เชื้อเพลิงก๊าซและประสิทธิภาพของโรงไฟฟ้าพลังความร้อนร่วมต่อกำลังไฟฟ้าที่ผลิตได้ (Unit 3) ..... 32
2.18	แสดงอัตราการใช้เชื้อเพลิงน้ำมันและประสิทธิภาพของโรงไฟฟ้าพลังความร้อนร่วมต่อกำลังไฟฟ้าที่ผลิตได้ (Unit 3) ..... 33
3.1	แสดงเครื่องจักรไอน้ำของซาเวรี ..... 35
3.2	แสดงหม้อไอน้ำที่ใช้ในปี 1877 ..... 36
3.3	แสดงหม้อไอน้ำแบบ EL Paso Radiant(RBE) เชื้อเพลิงก๊าซและน้ำมัน ..... 36
3.4	แสดงหม้อไอน้ำเชื้อเพลิงถ่านหิน..... 37
3.5	แสดงไดอะแกรมมาตรฐานสำหรับหม้อไอน้ำเชื้อเพลิงก๊าซและน้ำมัน ..... 40
3.6	แสดงไดอะแกรมของพลังงานสูญเสียและพลังงานส่วนเพิ่มในหม้อไอน้ำมาตรฐาน... 41
3.7	แสดงไดอะแกรมของ steam turbine และจุดติดตั้งเครื่องมือวัด..... 48
3.8	แสดง Heat balance diagram ของโรงไฟฟ้าพลังความร้อนแห่งหนึ่ง (เชื้อเพลิงน้ำมันเตา)..... 49
3.9	แสดง Heat balance diagram ของโรงไฟฟ้าพลังความร้อนแห่งหนึ่ง (เชื้อเพลิงก๊าซ). 50
3.10	ไดอะแกรมของน้ำก่อนเข้าหม้อต้มไอน้ำ..... 52
3.11	แสดงสมดุลย์พลังงานในโรงไฟฟ้าพลังความร้อน ..... 54
3.12	แสดงสมดุลย์พลังงานในหม้อไอน้ำโรงไฟฟ้าพลังความร้อน ..... 55
3.13	แสดงสมดุลย์พลังงานในวัฏจักร Steam Turbine โรงไฟฟ้าพลังความร้อน ..... 55
3.14	แสดงสมดุลย์พลังงานใน Steam Turbine และ Generator โรงไฟฟ้าพลังความร้อน ... 56
4.1	แสดงไดอะแกรมอย่างง่ายของโรงไฟฟ้ากังหันก๊าซ ..... 58
4.2	แสดงไดอะแกรมการทำงานของของหม้อไอน้ำแบบแลกเปลี่ยนความร้อน ..... 60
5.1	โครงสร้างระบบคำนวณประสิทธิภาพโรงไฟฟ้าแบบ Real Time ..... 65
5.2	แสดงตู้ DCIS สำหรับต่อ Interface computer ..... 66
5.3	แสดงการ์ด Computer Interface Unit INICT12 ..... 67
5.4	แสดงการต่อ port RS-232 เข้ากับระบบ DCIS ..... 67
5.5	การต่อระบบ Real Time Performance เข้ากับระบบควบคุมโรงไฟฟ้าพลังความร้อน 68

## สารบัญรูป (ต่อ)

รูปที่		หน้า
5.6	การต่อระบบ Real Time Performance เข้ากับระบบควบคุมโรงไฟฟ้าพลังความร้อนร่วม .....	68
5.7	แสดง Computer Interface Card INICT01 ของโรงไฟฟ้าพลังความร้อนร่วม .....	69
5.8	แสดงการต่อ port RS-232 เข้ากับระบบ DCIS .....	69
5.9	ไฟล์ชาร์ตการทำงานอย่างย่อของระบบ Real Time Performance .....	70
6.1	สถานะกำลังผลิตปัจจุบันของโรงไฟฟ้าแห่งหนึ่ง .....	78
6.2	Plant Overview diagram ของโรงไฟฟ้าพลังความร้อน Unit 1 .....	79
6.3	Plant Overview ของโรงไฟฟ้าพลังความร้อน Unit 2 .....	79
6.4	Boiler Performance ของโรงไฟฟ้าพลังความร้อน Unit 1 .....	81
6.5	Boiler Performance ของโรงไฟฟ้าพลังความร้อน Unit 2 .....	81
6.6	ประสิทธิภาพของ Steam Turbine ของโรงไฟฟ้าพลังความร้อน Unit 1 .....	82
6.7	ประสิทธิภาพของ Steam Turbine ของโรงไฟฟ้าพลังความร้อน Unit 2 .....	82
6.8	ตัวอย่างกราฟเปรียบเทียบระหว่างเชื้อเพลิงที่ได้รับจาก กฟผ. กับเชื้อเพลิงที่ใช้จริงของวันที่ 1 มิ.ย.46 (Combined cycle) .....	83
6.9	ตัวอย่างกราฟเปรียบเทียบระหว่างเชื้อเพลิงที่ได้รับจาก กฟผ. กับเชื้อเพลิงที่ใช้จริงของวันที่ 1 เม.ย.46 (Thermal Plant).....	84
6.10	ตัวอย่างกราฟเปรียบเทียบระหว่างเชื้อเพลิงที่ได้รับจาก กฟผ. กับเชื้อเพลิงที่ใช้จริงของวันที่ 1 ต.ค. 50 (Thermal Plant Unit 2).....	84
6.11	ตัวอย่างกราฟเปรียบเทียบระหว่างเชื้อเพลิงที่ได้รับจาก กฟผ. กับเชื้อเพลิงที่ใช้จริงของ วันที่ 1 ต.ค. 50 (Combined cycle plant block 1).....	85

# บทที่ 1

## บทนำ

การคำนวณประสิทธิภาพแบบ Real Time คือการนำค่าพารามิเตอร์ต่างๆ ของเครื่องมือวัดโรงไฟฟ้าซึ่งมีอยู่แล้วในระบบควบคุมโรงไฟฟ้า มาประมวลผลตามมาตรฐาน Performance Test Code และแสดงผลบนคอมพิวเตอร์ส่วนบุคคล อย่างต่อเนื่องในระดับความถี่ 1 นาทีหรือต่ำกว่า เพื่อความแม่นยำและเชื่อถือได้และสอดคล้องกับสัญญาซื้อขายโรงไฟฟ้า IPP/SPP ซึ่งจะทำให้โรงไฟฟ้า ทราบสถานะของประสิทธิภาพของเครื่องจักร, อัตราการใช้เชื้อเพลิงได้ตลอดเวลา ทันต่อการตรวจสอบ ควบคุมและบริหารการใช้เชื้อเพลิงให้มีประสิทธิภาพสูงสุด

### 1.1 ความเป็นมาและความสำคัญของปัญหา

การวัดประสิทธิภาพของโรงไฟฟ้ามักมีความสำคัญต่อกระบวนการผลิตไฟฟ้าเป็นอย่างมาก เพราะจะทำให้สามารถ [1]

- ตรวจสอบอัตราการสิ้นเปลืองของเชื้อเพลิงที่ใช้ในการผลิตไฟฟ้าเพื่อให้สามารถคำนวณต้นทุนการผลิตไฟฟ้าต่อหน่วย
- ตรวจสอบสภาพการผลิตไฟฟ้าให้เป็นไปตามข้อกำหนดของกฎหมาย เช่น ค่าก๊าซเสียที่ปล่อยสู่บรรยากาศ , ค่ามลพิษทางเสียง เป็นต้น
- ตรวจสอบประสิทธิภาพโดยรวมของระบบ, ตรวจสอบประสิทธิภาพของระบบย่อยแต่ละระบบ เพื่อให้สามารถปรับปรุงขบวนการผลิตเพื่อเพิ่มประสิทธิภาพของระบบได้
- ตรวจสอบการเสื่อมสภาพของอุปกรณ์ (degradation)

ซึ่งการวัดประสิทธิภาพของโรงไฟฟ้าที่การไฟฟ้าฝ่ายผลิตแห่งประเทศไทย (กฟผ.) ดำเนินการอยู่นั้น มักจะทำการทดสอบอย่างมากประมาณปีละครั้งสำหรับโรงไฟฟ้าพลังความร้อนร่วม และสองปีต่อครั้งสำหรับโรงไฟฟ้าพลังความร้อน โดยการทดสอบในแต่ละครั้งจะใช้เวลานานหลายวันและใช้เครื่องมือและอุปกรณ์จำนวนมาก มีค่าใช้จ่ายสูง ทั้งนี้เพื่อให้ถูกต้องและเป็นไปตามมาตรฐาน Performance Test Code ซึ่งการทดสอบตามวาระแบบนี้ จะให้ผลแม่นยำและถูกต้องมากที่สุดสำหรับโรงไฟฟ้าหนึ่งๆ แต่เนื่องจากการวัดประสิทธิภาพแบบนี้มีช่วงการตรวจวัดนานมากเป็น 1 ปีหรือสองปีต่อครั้ง ทำให้ข้อมูลการวัดไม่ทันสมัยและในบางครั้งเมื่อสภาพของอุปกรณ์เสื่อมสภาพเร็วกว่ากำหนด จะทำให้ไม่สามารถใช้ข้อมูลประสิทธิภาพที่วัดมาแล้วได้ ส่งผลให้

วิศวกรผู้เดินเครื่อง ไม่มีข้อมูลที่ถูกต้องและแม่นยำในการเดินเครื่องเพื่อให้ประหยัดเชื้อเพลิงมากที่สุด

แต่เนื่องจากภาระค่าเชื้อเพลิงที่เกิดขึ้น ทาง กฟผ. สามารถส่งต่อไปยังผู้ใช้ไฟฟ้าได้ ดังนั้นการรับรู้ข้อมูลประสิทธิภาพแบบทันทีทันใดจึงไม่จำเป็นมากนัก ทำให้การตรวจวัดปีละครั้งหรือสองปีต่อครั้งจึงเพียงพอสำหรับการใช้งาน

ในช่วงประมาณ 10 ปีที่ผ่านมารัฐบาลได้แก้ไขกฎหมายโดยอนุญาตให้เอกชนสามารถสร้างโรงไฟฟ้าเพื่อขายให้กับการไฟฟ้าฝ่ายผลิตแห่งประเทศไทย หรือสามารถขายส่งให้เขตอุตสาหกรรมหรือโรงงานขนาดใหญ่ได้ ซึ่งทำให้มีโรงไฟฟ้าเอกชนที่เรียกว่า Independent Power Producer (IPP) และ Small Power Producer (SPP) เกิดขึ้นหลายโรง ซึ่งโรงไฟฟ้าแต่ละโรงจะต้องประกันอัตราการใช้เชื้อเพลิงต่อหน่วยไฟฟ้าที่ผลิตได้ที่ค่าๆ หนึ่ง ซึ่งหากโรงไฟฟ้าใช้เชื้อเพลิงมากกว่าที่ประกันไว้ในสัญญา จะต้องรับภาระส่วนต่างค่าเชื้อเพลิงนี้เอง ส่วนต่างค่าเชื้อเพลิงนี้เป็นต้นทุนหลักที่สำคัญในการผลิตไฟฟ้า หากโรงไฟฟ้าเอกชนรายใดสามารถประหยัดเชื้อเพลิงได้มากจะมีกำไรในการผลิตไฟฟ้ามากตามไปด้วย แต่หากใช้เชื้อเพลิงมากกว่าอัตราที่ประกันไว้ในสัญญาก็อาจถึงขั้นขาดทุนได้ ทำให้โรงไฟฟ้าแต่ละโรงจำเป็นต้องรู้ประสิทธิภาพของโรงไฟฟ้าของตนตลอดเวลา เพื่อให้สามารถปรับปรุงและวางแผนการผลิตไฟฟ้าให้มีต้นทุนที่ต่ำที่สุด

งานวิจัยการใช้ข้อมูล Real Time ของโรงไฟฟ้าเพื่อใช้วิเคราะห์และประมวลผลด้านต่างๆ เริ่มมีมาตั้งแต่ระบบการควบคุมโรงไฟฟ้าเป็นแบบ Computerize แต่จะใช้ในการตรวจสอบสภาพของโรงไฟฟ้าเช่น การตรวจสอบความแม่นยำของเครื่องมือวัดแบบ Real Time ของ Pablo H. Ibarguengoytia [5], งานวิจัยการตรวจสอบความแม่นยำของเครื่องมือวัดโดยใช้ Hierarchical Mixture ของ Gary G. Yen และ Wei Feng [6] หรือใช้ข้อมูล Real Time เพื่อคำนวณต้นทุนเศรษฐศาสตร์ในการจ่ายกำลังของระบบไฟฟ้า ดังงานวิจัยของ Rasheet M. Rifatt [7] หรือในตลาดการแข่งขันราคาไฟฟ้า (Power Pool) ดังงานวิจัยของ B. Wharmby [8] และ งานวิจัยของ J. Aonso [9]

วิธีการใช้ข้อมูล Real Time ดังงานวิจัยที่กล่าวแล้วข้างต้น ไม่สอดคล้องกับสัญญาซื้อขายไฟฟ้าในประเทศไทยที่เป็นสัญญาแบบความพร้อมจ่ายและประกันราคาค่าไฟในเชิงปริมาณเชื้อเพลิงที่ใช้ และด้วยเหตุผลการวัดประสิทธิภาพตามวาระที่ กฟผ. ดำเนินการนั้น ไม่สามารถสนองตอบต่อความต้องการของผู้ผลิตไฟฟ้า IPP และ SPP ได้ ผู้วิจัยจึงได้ศึกษาถึงการคำนวณประสิทธิภาพของโรงไฟฟ้าแบบ Real Time โดยมีวัตถุประสงค์เพื่อนำมาใช้กับโรงไฟฟ้า IPP และ SPP ให้สามารถตรวจสอบและรับรู้ประสิทธิภาพของโรงไฟฟ้าของตนตลอดเวลา (Real Time)

## 1.2 วัตถุประสงค์ของการคำนวณประสิทธิภาพแบบ Real Time

ในโรงไฟฟ้าที่ผู้วิจัยได้ใช้เป็นต้นแบบในการคำนวณประสิทธิภาพแบบ Real time เป็นโรงไฟฟ้า IPP ที่ใหญ่และทันสมัยที่สุดแห่งหนึ่งในเอเชียตะวันออกเฉียงใต้ มีเทคโนโลยีสูงในการควบคุมโรงไฟฟ้า แต่ระบบดังกล่าวยังไม่ได้ออกแบบให้ตอบสนองต่อการซื้อขายไฟฟ้าในรูปแบบสัญญา PPA กับกฟผ. ได้ เพราะระบบควบคุมยังเป็นระบบปิด [2] แต่ความจำเป็นในการใช้งานยังมีอยู่ และเดิมใช้วิธีคำนวณโดยการพิมพ์ข้อมูลมาวิเคราะห์หรือเก็บข้อมูลเป็นรายวัน รายสัปดาห์ ซึ่งไม่ตอบสนองต่อการจ่ายค่าพลังงาน (Energy Payment) ซึ่งคำนวณเป็นช่วงเวลาละ 15 นาที ทำให้โรงไฟฟ้าจำเป็นจะต้องมีระบบคำนวณแบบ Real Time ที่ติดตามสถานการณ์ได้ทุกๆ นาที เพื่อให้สามารถวางแผนการเดินเครื่องและบำรุงรักษาได้อย่างมีประสิทธิภาพ

## 1.3 สมมติฐานของการศึกษา

การวัดประสิทธิภาพแบบเดิมที่โรงไฟฟ้าใช้งานอยู่จะทำโดยการเก็บข้อมูลตามวาระการซ่อมบำรุง ซึ่งอาจจะเป็น 1 ปีต่อครั้งหรือ 2 ปีต่อครั้งและการทดสอบแต่ละครั้งจะใช้เวลาและค่าใช้จ่ายสูง ทำให้วิศวกรเดินเครื่องมีข้อมูลประสิทธิภาพที่ไม่แม่นยำในการบริหารการใช้เชื้อเพลิง ส่งผลให้ต้นทุนการผลิตไฟฟ้าสูงขึ้นและความสามารถในการแข่งขันโรงไฟฟ้าต่ำลง

เพื่อแก้ปัญหาข้างต้นของโรงไฟฟ้า IPP/SPP ผู้วิจัยเสนอการคำนวณประสิทธิภาพแบบ Real Time โดยนำข้อมูลพารามิเตอร์ต่างๆ ของโรงไฟฟ้าที่จำเป็นในการคำนวณประสิทธิภาพ มาประมวลผลตามมาตรฐาน Performance Test Code และตามข้อกำหนดของสัญญาซื้อขายไฟฟ้า (PPA) โดยมีความถี่ของการคำนวณที่ระดับ 1 นาทีหรือต่ำกว่า เพื่อให้วิศวกรเดินเครื่องทราบข้อมูลประสิทธิภาพโรงไฟฟ้าอย่างต่อเนื่องทุกๆ นาทีและทราบสถานะการใช้เชื้อเพลิงตามที่ประกันไว้ ซึ่งจะทำให้ทราบความบกพร่องของอุปกรณ์และสามารถวางแผนการใช้เชื้อเพลิงให้มีประสิทธิภาพดีขึ้นได้

## 1.4 ทฤษฎีและแนวคิดที่ใช้ในการวิจัย

การคำนวณประสิทธิภาพแบบ Real time ที่ผู้วิจัยได้ดำเนินการนี้ต้องการการเปรียบเทียบประสิทธิภาพของโรงไฟฟ้าที่ประกันไว้ในสัญญาซื้อขายไฟฟ้า กับประสิทธิภาพของโรงไฟฟ้าขณะเดินเครื่อง เพื่อให้สามารถติดตามค่าใช้จ่ายด้านเชื้อเพลิงว่ามากหรือน้อยกว่าที่ประกันไว้ และระบบคำนวณประสิทธิภาพแบบ Real time นี้ยังสามารถคำนวณได้ว่าโรงไฟฟ้าแต่ละโรงมีอุปกรณ์ใบบ้าง

ที่บกพร่องหรือมีประสิทธิภาพด้อยกว่าปรกติ ซึ่งจะมีการคำนวณตามมาตรฐาน ASME Performance Test Code ที่เกี่ยวข้อง [11-16] เพื่อศึกษาและติดตามแนวโน้มของการความบกพร่องของอุปกรณ์ในระหว่างการเดินเครื่องปรกติ เพื่อให้ผู้บริหารโรงไฟฟ้า สามารถนำไปวางแผนการเดินเครื่องและบำรุงรักษาอุปกรณ์ให้สอดคล้องกับค่าใช้จ่ายมากที่สุด

## 1.5 การเปรียบเทียบระหว่างวิธีการที่นำเสนอกับวิธีการแบบเดิม

วิธีการคำนวณประสิทธิภาพแบบเดิมใช้เวลาเก็บข้อมูลและประมวลผลหลายวัน มีการหยุดเดินเครื่องเพื่อติดตั้งอุปกรณ์วัดและโรงไฟฟ้า IPP/SPP จะต้องรับภาระค่าความพร้อมจ่ายในระหว่างการทดสอบด้วย จึงทำให้สามารถทดสอบได้เฉพาะในช่วงงานซ่อมใหญ่ (Major Maintenance) เท่านั้น แต่วิธีที่ผู้วิจัยเสนอสามารถคำนวณแบบ Real Time ได้ทุกๆ นาทีโดยไม่ต้องหยุดเดินเครื่องเพื่อติดตั้งอุปกรณ์ สามารถใช้พารามิเตอร์จากระบบควบคุมโรงไฟฟ้าได้โดยตรง สามารถเปลี่ยนแปลงพารามิเตอร์, เปลี่ยนแปลงสูตรหรือสมการหรือค่าอื่นๆ ได้บนเครื่องคอมพิวเตอร์ส่วนบุคคล โดยไม่กระทบกับการจ่ายไฟฟ้า รวมทั้งสามารถเปรียบเทียบการใช้เชื้อเพลิงจริงกับค่าที่ประกันไว้ในสัญญาซื้อขายไฟฟ้า (PPA) ทำให้วิศวกรเดินเครื่องสามารถวางแผนการเดินเครื่องได้อย่างมีประสิทธิภาพและมีต้นทุนต่ำที่สุด

## 1.6 ขอบเขตการวิจัย

วิทยานิพนธ์นี้ นำเสนอการอ่านข้อมูลพารามิเตอร์สำหรับการคำนวณประสิทธิภาพจากระบบควบคุมโรงไฟฟ้าโดยใช้โปรแกรมต่อเชื่อม(Interface) และ โปรแกรมฐานข้อมูลที่มีอยู่แล้ว มาพัฒนาการประมวลผลด้วยโปรแกรมวิซวลเบสิก เวอร์ชัน 6 โดยคำนวณตามมาตรฐาน Performance Test Code ที่เกี่ยวข้องและคำนวณตามค่าที่กำหนดไว้ในสัญญาซื้อขายไฟฟ้าระหว่างโรงไฟฟ้า กับ กฟผ. การแสดงผลจะแสดงค่าพารามิเตอร์ทั่วไปในการเดินเครื่องปรกติ และค่าที่ผ่านการประมวลผลเช่นค่าประสิทธิภาพของหม้อต้มไอน้ำ, Steam Turbine, Gas Turbine, หม้อต้มไอน้ำแบบแลกเปลี่ยนความร้อน และแสดงค่าอัตราการใช้เชื้อเพลิงเปรียบเทียบกับเชื้อเพลิงที่ประกันไว้ในสัญญาฯ และสามารถแสดงผลเป็นหน่วยค่าความร้อนหรือเป็นเงินที่ได้รับเพิ่ม(กำไร) หรือที่ต้องจ่ายเพิ่ม(ขาดทุน) จากต้นทุนค่าเชื้อเพลิงในทุกๆ นาทีของการจ่ายไฟฟ้า

งานวิจัยนี้ออกแบบให้ใช้ได้กับโรงไฟฟ้าพลังความร้อนที่ใช้เชื้อเพลิงก๊าซหรือเชื้อเพลิงน้ำมันเตาและโรงไฟฟ้าพลังความร้อนร่วมที่ใช้เชื้อเพลิงก๊าซหรือเชื้อเพลิงน้ำมันดีเซล โดยให้ค่าความ

ผิดพลาดในระดับที่ยอมรับได้ แต่สำหรับโรงไฟฟ้าถ่านหิน, โรงไฟฟ้าชีวมวล สามารถนำวิธีการคำนวณไปปรับใช้ได้แต่ความแม่นยำจะลดลง

## 1.7 ขั้นตอนของการศึกษา

วิทยานิพนธ์ฉบับนี้ได้แบ่งเนื้อหาออกเป็น 7 บทด้วยกันคือ

บทที่ 1 กล่าวถึงความเป็นมาของงานวิจัย ความมุ่งหมายและวัตถุประสงค์ สมมติฐาน ทฤษฎีที่ใช้ การเปรียบเทียบวิธีการที่นำเสนอกับวิธีการเดิม ขอบเขตของการวิจัย และขั้นตอนการศึกษา

บทที่ 2 กล่าวถึงประสิทธิภาพของโรงไฟฟ้าตามสัญญาซื้อขายไฟฟ้า โดยอธิบายค่าความพร้อมจ่าย ค่าเชื้อเพลิง อัตราการใช้เชื้อเพลิงและประสิทธิภาพของโรงไฟฟ้า

บทที่ 3 กล่าวถึงประสิทธิภาพของโรงไฟฟ้าพลังความร้อน ซึ่งประกอบด้วยประสิทธิภาพของหม้อไอน้ำทั้งวิธี Input/Output และวิธี Heat Loss, ประสิทธิภาพของ Steam Turbine, สมดุลย์พลังงานในโรงไฟฟ้าพลังความร้อน

บทที่ 4 กล่าวถึงประสิทธิภาพของโรงไฟฟ้าพลังความร้อนร่วม ซึ่งประกอบด้วยประสิทธิภาพของกังหันก๊าซ, ประสิทธิภาพของหม้อไอน้ำแบบแลกเปลี่ยนความร้อน, ประสิทธิภาพของ Steam Turbine

บทที่ 5 กล่าวถึงระบบคำนวณประสิทธิภาพแบบ Real Time ซึ่งประกอบด้วยโครงสร้างของระบบทั้งโรงไฟฟ้าพลังความร้อนและโรงไฟฟ้าพลังความร้อนร่วม ลำดับการทำงานของโปรแกรม

บทที่ 6 กล่าวถึงการแสดงผลและการวิเคราะห์ประสิทธิภาพ เพื่อแสดงถึงผลการคำนวณและการนำไปใช้

บทที่ 7 บทสรุปและข้อเสนอแนะซึ่งประกอบด้วย ประสิทธิภาพตามสัญญาซื้อขายไฟฟ้า, ประสิทธิภาพของโรงไฟฟ้าพลังความร้อน, ประสิทธิภาพของโรงไฟฟ้าพลังความร้อนร่วมและข้อเสนอแนะในการศึกษาวิจัยต่อไปในอนาคต

## 1.8 ผลที่คาดว่าจะได้รับ

1. สามารถคำนวณประสิทธิภาพของโรงไฟฟ้าได้โดยไม่ต้องหยุดการจ่ายไฟฟ้า เพื่อติดตั้งอุปกรณ์

2. ประมวลผลประสิทธิภาพแบบ Real Time ทุกๆ นาทีอย่างต่อเนื่องโดยใช้พารามิเตอร์จากระบบควบคุมโรงไฟฟ้าโดยตรง

3. ระบบสามารถแสดงผลปริมาณการใช้เชื้อเพลิงเปรียบเทียบกับค่าที่ประกันไว้ในสัญญาซื้อขายไฟฟ้า

4. การแก้ไขตัวแปร สมการหรือพารามิเตอร์ สามารถทำบนเครื่องคอมพิวเตอร์ส่วนบุคคล โดยไม่ต้องแก้ไขระบบควบคุม

5. สามารถใช้งานได้ทั้งโรงไฟฟ้าพลังความร้อนและโรงไฟฟ้าพลังความร้อนร่วม

6. สามารถใช้งานในโรงไฟฟ้า IPP/SPP ได้

## บทที่ 2

# ประสิทธิภาพของโรงไฟฟ้าตามสัญญาซื้อขายไฟฟ้า

โรงไฟฟ้าของเอกชนรายใหญ่หรือ Independent Power Producer (IPP) ซึ่งมีสัญญาขายไฟฟ้าระยะยาวกับการไฟฟ้าฝ่ายผลิตแห่งประเทศไทย (กฟผ.) หรือสัญญา Power Purchase Agreement (PPA) โดยในสัญญาจะแบ่งเป็น 2 ส่วน คือ ค่าความพร้อมจ่ายหรือ Availability Payment (AP) อีกส่วนหนึ่งเรียกว่า ค่าเชื้อเพลิงหรือ Energy Payment (EP) ซึ่งรายละเอียดดังนี้

### 2.1 ค่าความพร้อมจ่าย (AP)

เป็นค่าความพร้อมของโรงไฟฟ้าในการผลิตไฟฟ้าเมื่อ กฟผ. สั่งการ โรงไฟฟ้าจะต้องมีความสามารถในการจ่ายไฟฟ้าตามคุณสมบัติที่ตกลงไว้ในสัญญา [3,4] ซึ่งได้แก่

1. Contracted Capacity (CC)
2. Minimum Generation
3. Reactive Power Capability
4. Loading Rates and Deloading Rates
5. Primary and Secondary Response

โดย กฟผ. จะจ่ายเงินแก่โรงไฟฟ้าตามชั่วโมงที่มีความพร้อมไม่ว่า โรงไฟฟ้าจะจ่ายไฟฟ้าเข้าระบบหรือไม่ แต่หากโรงไฟฟ้าไม่สามารถจ่ายไฟฟ้าตามคุณสมบัติที่กำหนดไว้จะถูกปรับโดยค่าปรับจะขึ้นอยู่กับความรุนแรงของแต่ละเหตุการณ์

#### 2.1.1 Contracted Capacity (CC)

ค่า Contract Capacity เป็นคุณสมบัติของโรงไฟฟ้าที่แสดงถึงขีดกำลังผลิตไฟฟ้าสูงสุดในหน่วย MW ที่ กฟผ. สามารถสั่งการได้ โดยโรงไฟฟ้าต้องเดินเครื่องที่กำลังผลิตนี้ได้อย่างต่อเนื่องและเป็นไปตามกฎหมายสิ่งแวดล้อมหรือกฎหมายอื่นที่เกี่ยวข้อง และยังคงรักษาคุณสมบัติข้อนี้ไว้ตลอดอายุสัญญาโรงไฟฟ้า 25 ปี(หรือ 20 ปีสำหรับ IPP อื่น) ค่า Contract capacity จะขึ้นอยู่กับขีดของเครื่องจักรในโรงไฟฟ้า, โหมดการเดินเครื่องและชนิดของเชื้อเพลิงที่ใช้ในการผลิตไฟฟ้า โดย IPP แต่ละรายจะต้องเสนอค่าพิกัดนี้ให้ กฟผ. พิจารณาในระหว่างการประกวดราคา หากเสนอค่า CC สูงค่าไฟฟ้าต่อหน่วยจะถูกหักค่า CC ค่าค่าไฟฟ้าต่อหน่วยก็จะแพงขึ้นซึ่งอาจทำให้ไม่ได้

ผ่านการพิจารณา แต่หากเสนอค่า CC สูงเกินไปโดยไม่ได้เผื่อค่าถดถอยของเครื่องจักร ก็จะถูกปรับในกรณีที่ กฟผ. สั่งเดินเครื่องแล้วจ่ายไฟฟ้าไม่ได้ตามที่ค่า CC ที่กำหนด

โรงไฟฟ้าพลังความร้อนที่ผู้วิจัยได้ทำการศึกษา นั้น มีค่า Contract capacity ตามตารางที่ 2.1 ค่า Contract Capacity ของโรงไฟฟ้าพลังความร้อนแห่งหนึ่ง (เชื้อเพลิงก๊าซ) และตารางที่ 2.2 ค่า Contract Capacity ของโรงไฟฟ้าพลังความร้อนแห่งหนึ่ง (เชื้อเพลิงน้ำมันเตา) โรงไฟฟ้าพลังความร้อนทั้ง 2 โรงมีค่าพิกัด Contract capacity เท่ากันที่ 720 MW (เชื้อเพลิงก๊าซ) และ 708 MW (เชื้อเพลิงน้ำมันเตา) ค่าดังกล่าวนี้เป็นค่าสูงสุดที่ กฟผ. สามารถสั่งการได้ตามสัญญาซื้อขายไฟฟ้าแต่ไม่ใช่ค่าสูงสุดที่โรงไฟฟ้าเดินเครื่องได้ โดยในระหว่างการทดสอบเพื่อตรวจรับโรงไฟฟ้า โรงไฟฟ้าพลังความร้อนทั้ง 2 โรงสามารถเดินเครื่องที่กำลังผลิตสูงสุด 840 MW

โรงไฟฟ้าพลังความร้อนรวมทั้ง 3 โรงที่ผู้วิจัยได้ทำศึกษามีค่า Contract capacity ตามที่แสดงไว้ในตารางที่ 2.3 ค่า Contract Capacity ของโรงไฟฟ้าพลังความร้อนร่วมแห่งหนึ่งเมื่อใช้เชื้อเพลิงก๊าซ และตารางที่ 2.4 ค่า Contract Capacity ของโรงไฟฟ้าพลังความร้อนร่วมแห่งหนึ่งเมื่อใช้เชื้อเพลิงน้ำมันดีเซล

จะเห็นว่าค่า Contract Capacity ของแต่ละโรงแตกต่างกัน แม้ว่าจะเป็นเครื่องจักรชนิดเดียวกันแต่ประสิทธิภาพของเครื่องจักรและการปรับแต่งระบบควบคุมไม่เหมือนกันก็ทำให้ค่าคุณสมบัตินี้แตกต่างกันได้ นอกจากนี้ในแต่ละเดือนค่า Contract capacity จะเปลี่ยนแปลงไปไม่คงที่เนื่องจากอุณหภูมิของอากาศมีผลโดยตรงกับกำลังผลิตของเครื่องกังหันก๊าซ ดังนั้นค่า Contract capacity จึงเปลี่ยนแปลงตามอุณหภูมิเฉลี่ยในแต่ละเดือนดังแสดงในตารางที่ 2.5 อุณหภูมิเฉลี่ยของโรงไฟฟ้า โดยในเดือนธันวาคมอุณหภูมิเฉลี่ยคือ 32 C โรงที่ 1 มีค่า Contract capacity 685 MW แต่ในเดือนเมษายนที่อุณหภูมิเฉลี่ยสูงขึ้นเป็น 37.5 C ค่า Contract capacity จะลดลงเป็น 659 MW

ตารางที่ 2.1 ค่า Contract Capacity ของโรงไฟฟ้าพลังความร้อนแห่งหนึ่ง (เชื้อเพลิงก๊าซ)

Generating Unit	Fuel	Contracted Capacity (MW)
1	Gas	720
2	Gas	720

ตารางที่ 2.2 ค่า Contract Capacity ของโรงไฟฟ้าพลังความร้อนแห่งหนึ่ง (เชื้อเพลิงน้ำมันเตา)

Generating Unit	Fuel	Oil Contracted Capacity(MW)
1	Oil	708
2	Oil	708

ตารางที่ 2.3 ค่า Contract Capacity ของโรงไฟฟ้าพลังความร้อนร่วมแห่งหนึ่งเมื่อใช้เชื้อเพลิงก๊าซ

Month	Generating Unit 1(MW)	Generating Unit 2(MW)	Generating Unit 3(MW)
January	676	666	672
February	666	657	662
March	662	652	658
April	659	649	655
May	661	651	657
June	678	668	674
July	680	670	676
August	682	672	678
September	682	672	678
October	682	672	678
November	684	674	680
December	685	675	681

ตารางที่ 2.4 ค่า Contract Capacity ของโรงไฟฟ้าพลังความร้อนร่วมแห่งหนึ่งเมื่อใช้เชื้อเพลิงน้ำมัน  
ดีเซล

Month	Generating Unit 1(MW)	Generating Unit 2(MW)	Generating Unit 3(MW)
January	685	675	681
February	675	666	671
March	671	661	666
April	668	658	663
May	670	660	665
June	687	677	683
July	689	679	684
August	691	681	687
September	691	681	687
October	691	681	687
November	693	683	688
December	694	684	690

ตารางที่ 2.5 อุณหภูมิเฉลี่ยของโรงไฟฟ้า

Month	Dry bulb(C)	Wet bulb(C)
January	33.9	24.1
February	36.0	25.0
March	37.0	25.6
April	37.5	26.5
May	37.0	27.0
June	33.3	26.3
July	33.0	26.0
August	32.5	26.0
September	32.5	26.0
October	32.4	26.6
November	32.1	25.8
December	32.0	24.5

### 2.1.2 Minimum Generation

Minimum Generation คือกำลังผลิตไฟฟ้าต่ำสุดที่ กฟผ. สามารถสั่งการได้ โดยโรงไฟฟ้าจะต้องจ่ายกำลังไฟฟ้าที่ระดับนี้ได้อย่างต่อเนื่องและมีเสถียรภาพรวมทั้งเป็นไปตามมาตรฐานสิ่งแวดล้อมที่กำหนด คุณสมบัติข้อนี้ขึ้นอยู่กับการออกแบบเครื่องจักรของผู้ผลิต โดยโรงไฟฟ้าที่ผู้วิจัยได้ศึกษานี้มีค่า Minimum Generation แสดงดังตารางที่ 2.6 ค่า Minimum Generation ของโรงไฟฟ้าพลังความร้อนแห่งหนึ่ง และตารางที่ 2.7 ค่า Minimum Generation ของโรงไฟฟ้าพลังความร้อนร่วมแห่งหนึ่ง

โรงไฟฟ้าพลังความร้อนร่วมมีค่า Minimum generation 490 MW เมื่อเดินเครื่องด้วยเชื้อเพลิงก๊าซและ 90 MW เมื่อเดินเครื่องด้วยเชื้อเพลิงน้ำมันดีเซล หากเดินเครื่องต่ำกว่านี้จะทำให้เกิดปัญหาเรื่องปริมาณออกไซด์ของไนโตรเจน ( $\text{No}_x$ ) ในไอเสียจากปล่องสูงเกินกว่ามาตรฐานที่กฎหมายกำหนด และยังทำให้การเผาไหม้ในกังหันก๊าซไม่มีเสถียรภาพซึ่งจะส่งผลให้ กังหันก๊าซ Trip ได้

โรงไฟฟ้าพลังความร้อนมีค่า Minimum generation 95 MW ทั้งเชื้อเพลิงก๊าซและเชื้อเพลิงน้ำมันเตา

### 2.1.3 Reactive Power Capability

ค่าคุณสมบัติ Reactive Power Capability คือค่าพิกัดกำลังไฟฟ้าเสมือนที่กฟผ. สามารถส่งการให้โรงไฟฟ้ารับหรือจ่าย Reactive power กับระบบ ซึ่งจะต้องรับหรือจ่ายได้อย่างต่อเนื่อง และไม่เป็นอันตรายต่อ generator ดังค่าในตารางที่ 2.8 ค่าคุณสมบัติ Reactive Power Capability ของโรงไฟฟ้าพลังความร้อนแห่งหนึ่ง และตารางที่ 2.9 ค่าคุณสมบัติ Reactive Power Capability ของโรงไฟฟ้าพลังความร้อนร่วมแห่งหนึ่ง โดยคุณสมบัติ Ia1,Ia2 แสดงค่า MVAR สูงสุดที่โรงไฟฟ้าสามารถจ่ายให้กับระบบขณะจ่ายกำลังไฟฟ้าที่ Minimum Generation และ Contract Capacity ตามลำดับ และคุณสมบัติ Ie1, Ie2 แสดงค่า MVAR สูงสุดที่โรงไฟฟ้าสามารถรับจากระบบขณะจ่ายกำลังไฟฟ้าที่ Minimum Generation และ Contract Capacity ตามลำดับ

### 2.1.4 Loading Rates and Deloading Rates

คุณสมบัติ Loading rate คืออัตราการส่งจ่ายกำลังไฟฟ้าเข้าระบบของโรงไฟฟ้า (MW/นาท) และ Deloading rate คืออัตราการลดกำลังไฟฟ้าจากระบบของโรงไฟฟ้า (MW/นาท) หากโรงไฟฟ้ามีคุณสมบัติข้อนี้สูง จะทำให้ กฟผ. ตอบสนองความต้องการของผู้ใช้ไฟฟ้าได้ดีมากขึ้นและยังควบคุมความถี่ของระบบได้ง่ายมีความมั่นคงมากยิ่งขึ้น โดยโรงไฟฟ้าที่ผู้วิจัยได้ทำการศึกษา มีค่าคุณสมบัติ Loading Rates and Deloading Rates ดังแสดงในตารางที่ 2.10 ค่าคุณสมบัติ Loading rates and Deloading rates ของโรงไฟฟ้าพลังความร้อนแห่งหนึ่ง (Unit1&Unit2) และ ตารางที่ 2.11ค่าคุณสมบัติ Loading rates and Deloading rates ของโรงไฟฟ้าพลังความร้อนร่วมแห่งหนึ่ง

ตารางที่ 2.6 ค่า Minimum Generation ของโรงไฟฟ้าพลังความร้อนแห่งหนึ่ง

เชื้อเพลิง	Unit 1 (MW)	Unit 2(MW)
Fuel gas	95	95
Fuel Oil	95	95

ตารางที่ 2.7 ค่า Minimum Generation ของโรงไฟฟ้าพลังความร้อนร่วมแห่งหนึ่ง

เชื้อเพลิง	Unit 1 (MW)	Unit 2(MW)	Unit 3(MW)
Fuel gas	490	490	490
Diesel Oil	90	90	90

ตารางที่ 2.8 ค่าคุณสมบัติ Reactive Power Capability ของโรงไฟฟ้าพลังความร้อนแห่งหนึ่ง

คุณสมบัติ	Unit 1		Unit 2	
	MVAR	MW	MVAR	MW
la1(at Minimum Generation)	620	95	620	95
la2(at Contract capacity)	480	720	480	720
Unity	0	756	0	756
le1(at minimum Generation)	-325	95	-325	95
le2(at Contract capacity)	-175	720	-175	720

ตารางที่ 2.9 ค่าคุณสมบัติ Reactive Power Capability ของโรงไฟฟ้าพลังความร้อนร่วมแห่งหนึ่ง

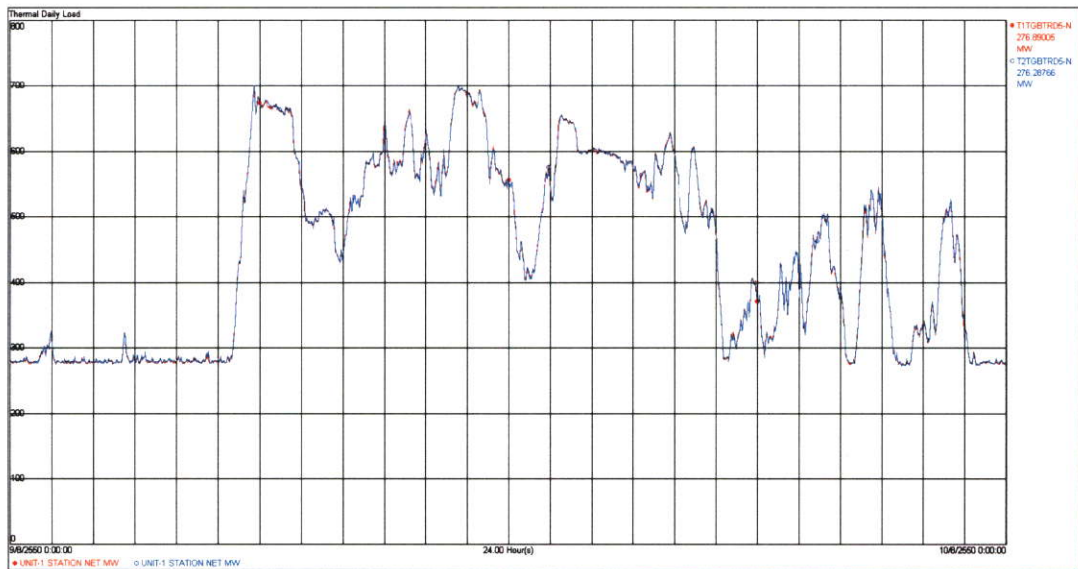
คุณสมบัติ	Unit 1		Unit 2		Unit 3	
	MVAR	MW	MVAR	MW	MVAR	MW
la1(at Minimum Generation)	676	490	676	490	676	490
la2(at Contract capacity)	586	685	598	675	591	681
Unity	0	685	0	675	0	681
le1(at minimum Generation)	-309	490	-309	490	-309	490
le2(at Contract capacity)	-290	685	-295	675	-292	681

ตารางที่ 2.10 ค่าคุณสมบัติ Loading rates and Deloading rates ของโรงไฟฟ้าพลังความร้อนแห่งหนึ่ง (Unit1&Unit2)

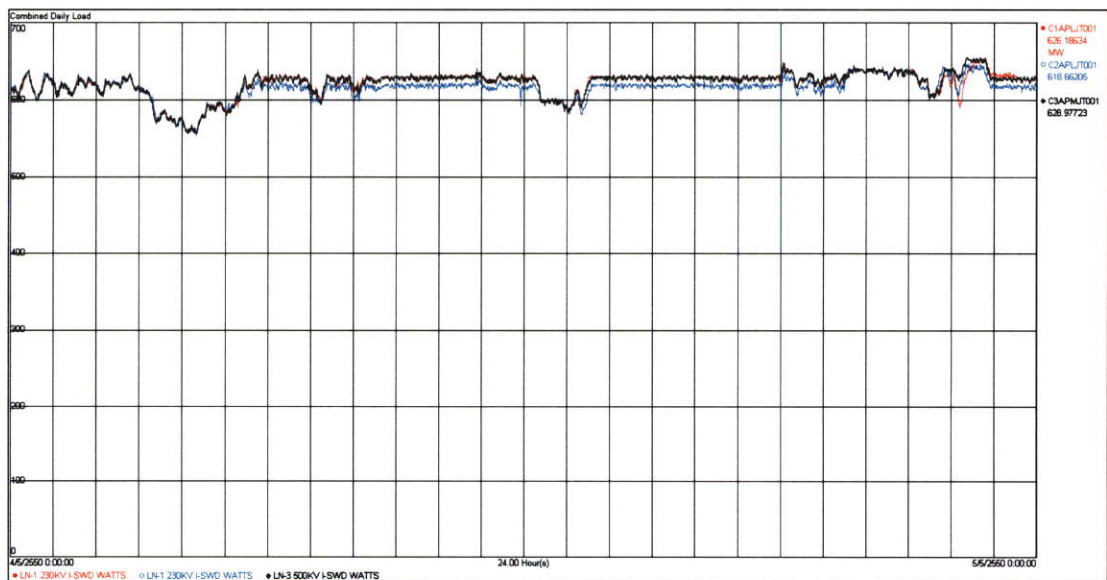
Output Range	Loading rates(MW/minute)	Deloading rates(MW/minute)
95<MW<200	7	7
200<MW<345	21	21
345<MW<596	37	37
596<MW<700	60	60
700<MW<720	4	4

ตารางที่ 2.11 ค่าคุณสมบัติ Loading rates and Deloading rates ของโรงไฟฟ้าพลังความร้อนร่วม  
แห่งหนึ่ง

Generating Unit	Loading rates(MW/minute)	Deloading rates(MW/minute)
Unit 1	9	9
Unit 2	9	9
Unit 3	9	9



รูปที่ 2.1 แสดงการเดินเครื่องประจำวันของโรงไฟฟ้าพลังความร้อน



รูปที่ 2.2 แสดงการเดินเครื่องประจำวันของโรงไฟฟ้าพลังความร้อนร่วม

จากตารางที่ 2.10 และ 2.11 จะเห็นว่าโรงไฟฟ้าพลังความร้อนจะมีค่าคุณสมบัติ Loading /DeLoading Rates สูงมาก บางช่วงสูงถึง 60 MW/นาทีก และมีกำลังผลิตที่สูงถึง 700 MW ทำให้ กฟผ. มักจะใช้โรงไฟฟ้าพลังความร้อนแห่งนี้ในการตอบสนองต่อภาระของระบบในแต่ละช่วงเวลาของวัน ทำให้โรงไฟฟ้าพลังความร้อนแห่งนี้มีการเดินเครื่องที่เปลี่ยนแปลงกำลังผลิตสูงมาก ดังแสดงในกราฟรูปที่ 2.1 แสดงการเดินเครื่องประจำวันของโรงไฟฟ้าพลังความร้อน

สำหรับโรงไฟฟ้าพลังความร้อนร่วมมีช่วงการผลิตไฟฟ้าตั้งแต่ 500 MW ถึง 700 MW และมี loading rate /deloading rate ไม่สูงมากนัก กฟผ. จึงสั่งเดินเครื่องค่อนข้างคงที่ มีการเปลี่ยนแปลงโหลดน้อยมาก ดังแสดงในกราฟรูปที่ 2.2 แสดงการเดินเครื่องประจำวันของโรงไฟฟ้าพลังความร้อนร่วม

### 2.1.5 Primary and Secondary response

คุณสมบัติข้อนี้เป็นคุณสมบัติที่บอกถึงความสามารถในการตอบสนองต่อความถี่ของระบบที่เปลี่ยนแปลงโดยทันทีทันใด โดยการจ่ายไฟฟ้าเข้าระบบตามความเปลี่ยนแปลงของความถี่ ซึ่งเหตุการณ์นี้มักจะเกิดขึ้นเมื่อมีโรงไฟฟ้าโรงใดโรงหนึ่งปลดออกจากระบบอย่างทันทีทันใด ทำให้ความถี่ระบบลดลง หรือเมื่อมีการเพิ่มโหลดด้วยการขนานปั๊มสูบน้ำของเขื่อนเข้าระบบก็จะทำให้ความถี่ระบบลดลงเช่นเดียวกัน

โรงไฟฟ้าที่ผู้วิจัยได้ทำการศึกษามีค่าคุณสมบัติ Primary Response ดังแสดงในตารางที่ 2.12 ค่าคุณสมบัติ Primary Response ของโรงไฟฟ้าพลังความร้อนแห่งหนึ่ง และตาราง 2.15 ค่าคุณสมบัติ Primary Response ของโรงไฟฟ้าพลังความร้อนร่วมแห่งหนึ่ง และค่าคุณสมบัติ Secondary Response 2 คุณสมบัติคือ Five minutes Response แสดงในตารางที่ 2.13 ค่าคุณสมบัติ Five Minutes Response ของโรงไฟฟ้าพลังความร้อนแห่งหนึ่ง และ 2.16 ค่าคุณสมบัติ Five Minutes Response ของโรงไฟฟ้าพลังความร้อนร่วมแห่งหนึ่ง และ Fifteen minutes response ดังแสดงในตารางที่ 2.14 ค่าคุณสมบัติ Fifteen Minutes Response ของโรงไฟฟ้าพลังความร้อนแห่งหนึ่งและ 2.17 ค่าคุณสมบัติ Fifteen Minutes Response ของโรงไฟฟ้าพลังความร้อนร่วมแห่งหนึ่ง

ตารางที่ 2.12 ค่าคุณสมบัติ Primary Response ของโรงไฟฟ้าพลังความร้อนแห่งหนึ่ง

Generating Unit	Falling Frequency (MW)	Rising Frequency (MW)
Unit 1	20	-20
Unit 2	20	-20

**ตารางที่ 2.13** ค่าคุณสมบัติ Five Minutes Response ของโรงไฟฟ้าพลังความร้อนแห่งหนึ่ง

Generating Unit	Falling Frequency (MW)	Rising Frequency (MW)
Unit 1	137	-137
Unit 2	137	-137

**ตารางที่ 2.14** ค่าคุณสมบัติ Fifteen Minutes Response ของโรงไฟฟ้าพลังความร้อนแห่งหนึ่ง

Generating Unit	Falling Frequency (MW)	Rising Frequency (MW)
Unit 1	420	-420
Unit 2	420	-420

**ตารางที่ 2.15** ค่าคุณสมบัติ Primary Response ของโรงไฟฟ้าพลังความร้อนร่วมแห่งหนึ่ง

Generating Unit	Falling Frequency (MW)	Rising Frequency (MW)
Unit 1	33	-33
Unit 2	33	-33
Unit 3	33	-33

**ตารางที่ 2.16** ค่าคุณสมบัติ Five Minutes Response ของโรงไฟฟ้าพลังความร้อนร่วมแห่งหนึ่ง

Generating Unit	Falling Frequency (MW)	Rising Frequency (MW)
Unit 1	58	-58
Unit 2	58	-58
Unit 3	58	-58

**ตารางที่ 2.17** ค่าคุณสมบัติ Fifteen Minutes Response ของโรงไฟฟ้าพลังความร้อนร่วมแห่งหนึ่ง

Generating Unit	Falling Frequency(MW)	Rising Frequency(MW)
Unit 1	148	-148
Unit 2	148	-148
Unit 3	148	-148

## 2.2 ค่าเชื้อเพลิง หรือ Energy Payment (EP)

ค่าเชื้อเพลิงคือปริมาณพลังงานในหน่วยความร้อนที่ กฟผ. จะจ่ายให้กับโรงไฟฟ้าเมื่อมีการสั่งการเดินเครื่องจ่ายกำลังไฟฟ้าเข้าระบบ [3,4] โดยคิดเป็นหน่วยความร้อน (บีทียู) ต่อหน่วยไฟฟ้าที่ส่งจ่ายเข้าระบบ ค่าดังกล่าวนี้จะไม่คงที่โดยจะขึ้นอยู่กับพลังไฟฟ้าที่ผลิตได้(MWh) และชนิดของเชื้อเพลิงที่ใช้ดังสมการต่อไปนี้ [3,4]

$$FCharge_{igx} = FRate_{gm} \times \left[ \frac{(FAllowMWhSent_{igx} \times MWhSentOut_{igx})}{(FAllowHrSynch_{igx} \times HrSynch_{igx})} \right] \times TempFactor_m \times AgeFactor_n \quad (2.1)$$

เมื่อ

$FCharge_{igx}$  คือ ค่าเชื้อเพลิงก๊าซ(บาท)ที่จ่ายให้สำหรับ Unit  $i$  ที่เดินเครื่องในช่วงเวลา  $x$

$FRate_{gm}$  คือ ราคาค่าเชื้อเพลิง(บาท/ล้านบีทียู) ในช่วงเวลา  $x$  ในเดือน  $m$

$FAllowMWhSent_{igx}$  คืออัตราการใช้เชื้อเพลิงต่อพลังไฟฟ้าที่ผลิตได้(BTUx10<sup>6</sup>/MWh) ของ Unit  $i$  ในช่วงเวลา  $x$

$MWhSentOut_{igx}$  คือค่าพลังไฟฟ้าที่ผลิตได้ (MWh) ในช่วงเวลา  $x$  ของ Unit  $i$  ซึ่งจะต้องเท่ากับหรือน้อยกว่า1.02 เท่าของMWh ที่ กฟผ. สั่งการ

$FAllowHrSynch_{igx}$  คือ ค่าเชื้อเพลิง(BTUx10<sup>6</sup>/h) ในแต่ละชั่วโมงที่ Unit  $i$  ได้จ่ายไฟฟ้าเข้าระบบ

$HrSynch_{igx}$  คือจำนวนชั่วโมงหรือส่วนของชั่วโมงที่ Unit  $i$  ได้ Synchronize กับระบบ

$TempFactor$  คือพารามิเตอร์ปรับปรุงอุณหภูมิรายเดือน

$AgeFactor$  คือ พารามิเตอร์ปรับปรุงรายปีตามอายุของโรงไฟฟ้า

ในสัญญาซื้อขายไฟฟ้า [3,4] ของโรงไฟฟ้าที่ผู้วิจัยได้ศึกษามีค่าประกันปริมาณพลังงานความร้อนที่ใช้ในการผลิตไฟฟ้าแสดงไว้ในตารางที่ 2.18 ค่าพลังความร้อนต่อหน่วยผลิตไฟฟ้าของโรงไฟฟ้าพลังความร้อนแห่งหนึ่งเมื่อเดินเครื่องด้วยเชื้อเพลิงก๊าซและ ตารางที่ 2.19 ค่าพลังความร้อนต่อหน่วยผลิตไฟฟ้าของโรงไฟฟ้าพลังความร้อนแห่งหนึ่งเมื่อเดินเครื่องด้วยเชื้อเพลิงน้ำมันเตา

ตารางที่ 2.18 ค่าพลังความร้อนต่อหน่วยผลิตไฟฟ้าของโรงไฟฟ้าพลังความร้อนแห่งหนึ่งเมื่อเดินเครื่องด้วยเชื้อเพลิงก๊าซ

Generating Unit	Net Output Range (MW)		<i>FAllowHrSynch</i>	<i>FAllowMWhSent</i>
	From	To	HHV BTUx10 <sup>6</sup> /h	HHV BTUx10 <sup>6</sup> /MWh
1	0	207	935.0496	6.4184
	>207	355	471.6069	8.6588
	>355	538	532.3493	8.4875
	>538	700	200.3991	9.1046
	>700	720	-427.9017	10.0007
2	0	207	935.0496	6.4184
	>207	355	471.6069	8.6588
	>355	538	532.3493	8.4875
	>538	700	200.3991	9.1046
	>700	720	-427.9017	10.0007

ตารางที่ 2.19 ค่าพลังความร้อนต่อหน่วยผลิตไฟฟ้าของโรงไฟฟ้าพลังความร้อนแห่งหนึ่งเมื่อเดินเครื่องด้วยเชื้อเพลิงน้ำมันเตา

Generating Unit	Net Output Range (MW)		<i>FAllowHrSynch</i>	<i>FAllowMWhSent</i>
	From	To	HHV BTUx10 <sup>6</sup> /h	HHV BTUx10 <sup>6</sup> /MWh
1	0	95	843.1759	6.8528
	>95	201	843.1759	6.8528
	>201	348	651.5148	7.8062
	>348	532	541.9912	8.1206
	>532	692	209.0590	8.7458
	>692	708	-325.6106	9.5183
2	0	95	843.1759	6.8528
	>95	201	843.1759	6.8528
	>201	348	651.5148	7.8062
	>348	532	541.9912	8.1206
	>532	692	209.0590	8.7458
	>692	708	-325.6106	9.5183

เนื่องจากราคาค่าเชื้อเพลิงไม่คงที่และผันแปรไปทุกๆ เดือนดังนั้นในสัญญาซื้อขายไฟฟ้าจึงระบุให้ กฟผ. เป็นผู้รับภาระราคาค่าเชื้อเพลิงซึ่งจะถูกส่งต่อไปยังผู้บริโภค ในส่วนของโรงไฟฟ้า IPP จึงประกันเฉพาะปริมาณเชื้อเพลิงที่จะต้องใช้ในการผลิตไฟฟ้าตามคำสั่งการของ กฟผ. ซึ่งมีตัวแปรที่สำคัญ คือ *FallowHrSynch* และ *FAllowMWhSent* เมื่อตัดตัวแปรราคาค่าเชื้อเพลิงออกจากสมการ 2.1 จะได้ว่า

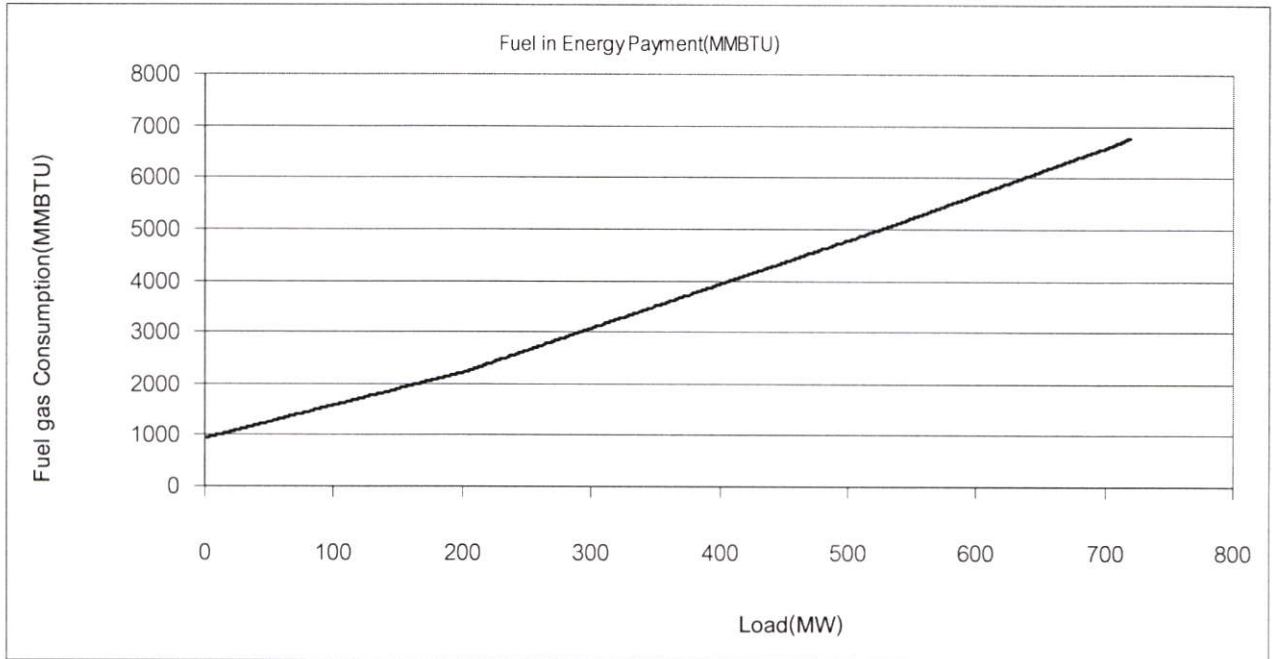
$$Fuel\ Consumption = \left[ \frac{(FAllowMWhSent_{igx} \times MWhSentOut_{igx})}{(FAllowHrSynch_{igx} \times HrSynch_{igx})} \right] \times TempFactor_m \times AgeFactor_n \quad (2.2)$$

เมื่อ *Fuel Consumption* คือปริมาณเชื้อเพลิงที่ใช้ในการผลิตไฟฟ้า ณ กำลังผลิต *MWhSentOut* เป็นเวลา *HrSynch* ชั่วโมง หน่วย MMBTU

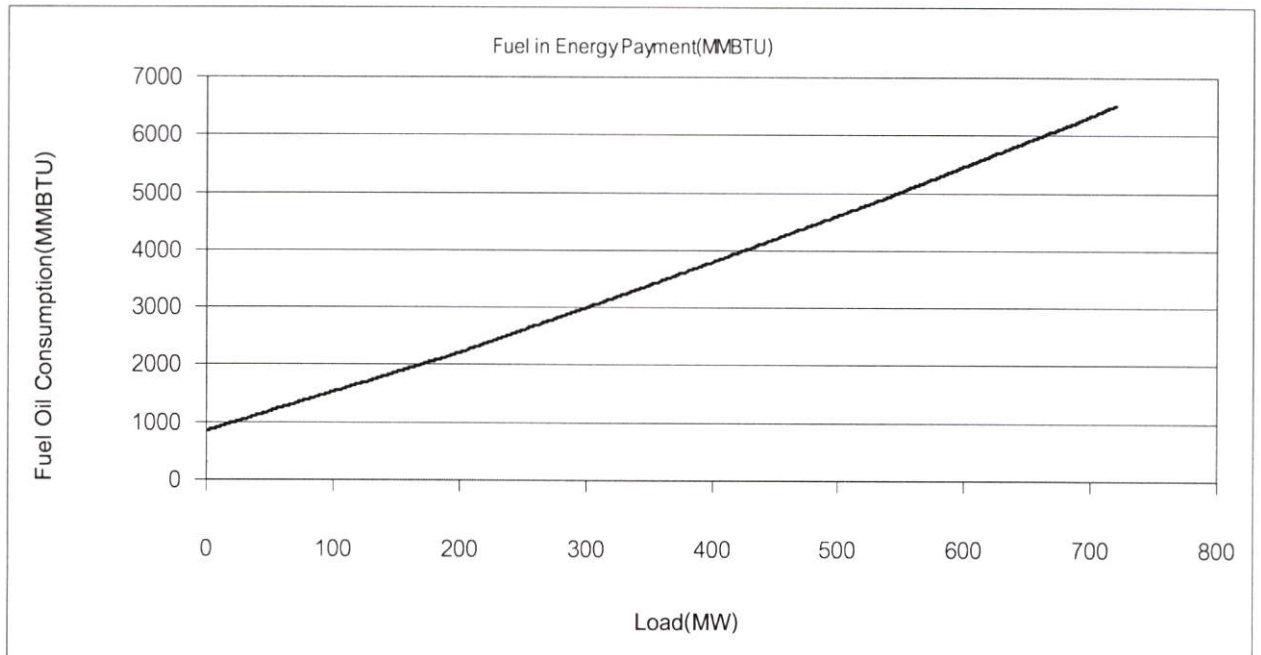
เมื่อนำค่า *Fuel Consumption* ในสมการ 2.2 และใช้ค่าจากตาราง 2.18 และ 2.19 มาพล็อตเป็นความสัมพันธ์ระหว่าง MW ที่โรงไฟฟ้าผลิตกับปริมาณการใช้เชื้อเพลิงที่ใช้จะได้กราฟดังรูปที่ 2.3 แสดงปริมาณเชื้อเพลิงก๊าซที่ใช้ (MMBTU) ต่อกำลังไฟฟ้าที่ผลิต (MW) ของโรงไฟฟ้าพลังความร้อนและ รูปที่ 2.4 แสดงปริมาณเชื้อเพลิงน้ำมันเตาที่ใช้ (MMBTU) ต่อกำลังไฟฟ้าที่ผลิต (MW) ของโรงไฟฟ้าพลังความร้อน

จากรูปที่ 2.3 และ 2.4 จะเห็นได้ว่าเมื่อโรงไฟฟ้าจ่ายไฟฟ้ามากขึ้นจะใช้เชื้อเพลิงในการเผาไหม้มากขึ้น ตัวอย่างเช่น โรงไฟฟ้าพลังความร้อนเดินเครื่องด้วยเชื้อเพลิงก๊าซจ่ายไฟฟ้าเข้าระบบ 100 MW จะใช้เชื้อเพลิง 1,576.89 ล้านบีทียู หากจ่ายไฟฟ้าเข้าระบบ 700 MW จะใช้เชื้อเพลิง 6,573.72 ล้านบีทียู และในกรณีเดินเครื่องด้วยเชื้อเพลิงน้ำมันเตาจ่ายไฟฟ้าเข้าระบบ 100 MW จะใช้เชื้อเพลิง 1,514.75 ล้านบีทียู หากจ่ายไฟฟ้าเข้าระบบ 700 MW จะใช้เชื้อเพลิง 6,337.20 ล้านบีทียู

นอกจากนี้ยังสามารถวิเคราะห์ได้เพิ่มเติมอีกว่า ที่กำลังผลิต 700 MW เท่ากันโรงไฟฟ้าพลังความร้อนเมื่อใช้เชื้อเพลิงก๊าซซึ่งมีราคาประมาณ 200 บาทต่อล้านบีทียู จะมีต้นทุนค่าเชื้อเพลิง 1,314,723.82 บาท แต่เมื่อใช้เชื้อเพลิงน้ำมันเตาซึ่งมีราคาประมาณ 293 บาทต่อล้านบีทียู จะมีต้นทุนค่าเชื้อเพลิง 1,860,000 บาท ซึ่งจะเห็นได้ชัดเจนว่าการเดินเครื่องด้วยก๊าซจะมีต้นทุนเชื้อเพลิงในการผลิตไฟฟ้าต่อหน่วยถูกกว่าน้ำมันเตา 41% หรือ 0.78 บาทต่อ kWh



รูปที่ 2.3 แสดงปริมาณเชื้อเพลิงก๊าซที่ใช้ (MMBTU) ต่อกำลังไฟฟ้าที่ผลิต (MW) ของโรงไฟฟ้าพลังความร้อน

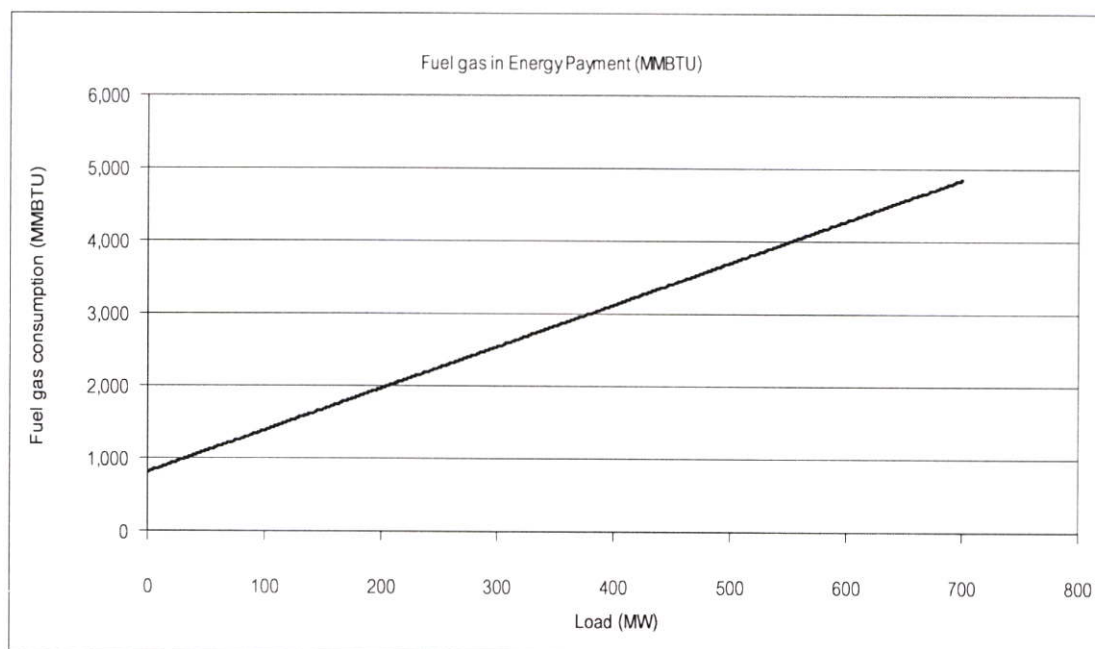


รูปที่ 2.4 แสดงปริมาณเชื้อเพลิงน้ำมันเตาที่ใช้ (MMBTU) ต่อกำลังไฟฟ้าที่ผลิต (MW) ของโรงไฟฟ้าพลังความร้อน

โรงไฟฟ้าพลังความร้อนร่วมที่ผู้วิจัยได้ศึกษาก็เป็นเช่นเดียวกันดังตารางที่ 2.20 ค่าพลังความร้อนต่อหน่วยผลิตไฟฟ้าของโรงไฟฟ้าพลังความร้อนร่วมแห่งหนึ่งเมื่อเดินเครื่องด้วยเชื้อเพลิงก๊าซ (Unit 1), ตารางที่ 2.21 ค่าพลังความร้อนต่อหน่วยผลิตไฟฟ้าของโรงไฟฟ้าพลังความร้อนร่วมแห่งหนึ่งเมื่อเดินเครื่องด้วยเชื้อเพลิงน้ำมันดีเซล (Unit 1), ตารางที่ 2.22 ค่าพลังความร้อนต่อหน่วยผลิตไฟฟ้าของโรงไฟฟ้าพลังความร้อนร่วมแห่งหนึ่งเมื่อเดินเครื่องด้วยเชื้อเพลิงก๊าซ (Unit 2), ตารางที่ 2.23 ค่าพลังความร้อนต่อหน่วยผลิตไฟฟ้าของโรงไฟฟ้าพลังความร้อนร่วมแห่งหนึ่งเมื่อเดินเครื่องด้วยเชื้อเพลิงน้ำมันดีเซล (Unit 2), ตารางที่ 2.24 ค่าพลังความร้อนต่อหน่วยผลิตไฟฟ้าของโรงไฟฟ้าพลังความร้อนร่วมแห่งหนึ่งเมื่อเดินเครื่องด้วยเชื้อเพลิงก๊าซ (Unit 3), และตารางที่ 2.25 ค่าพลังความร้อนต่อหน่วยผลิตไฟฟ้าของโรงไฟฟ้าพลังความร้อนร่วมแห่งหนึ่งเมื่อเดินเครื่องด้วยเชื้อเพลิงน้ำมันดีเซล (Unit 3) และเมื่อค่าตัวแปรไปพล็อตเป็นกราฟระหว่าง MW และ *Fuel Consumption* แล้วจะได้กราฟดังรูปที่ 2.5 แสดงปริมาณเชื้อเพลิงก๊าซที่ใช้ (MMBTU) ต่อกำลังไฟฟ้าที่ผลิต (MW) ของโรงไฟฟ้าพลังความร้อนร่วมหน่วยผลิตที่ 1, รูปที่ 2.6 แสดงปริมาณเชื้อเพลิงน้ำมันดีเซลที่ใช้ (MMBTU) ต่อกำลังไฟฟ้าที่ผลิต (MW) ของโรงไฟฟ้าพลังความร้อนร่วมหน่วยผลิตที่ 1, รูปที่ 2.7 แสดงปริมาณเชื้อเพลิงก๊าซที่ใช้ (MMBTU) ต่อกำลังไฟฟ้าที่ผลิต (MW) ของโรงไฟฟ้าพลังความร้อนร่วมหน่วยผลิตที่ 2, รูปที่ 2.8 แสดงปริมาณเชื้อเพลิงน้ำมันดีเซลที่ใช้ (MMBTU) ต่อกำลังไฟฟ้าที่ผลิต (MW) ของโรงไฟฟ้าพลังความร้อนร่วมหน่วยผลิตที่ 2, รูปที่ 2.9 แสดงปริมาณเชื้อเพลิงก๊าซที่ใช้ (MMBTU) ต่อกำลังไฟฟ้าที่ผลิต (MW) ของโรงไฟฟ้าพลังความร้อนร่วมหน่วยผลิตที่ 3, รูปที่ 2.10 แสดงปริมาณเชื้อเพลิงน้ำมันดีเซลที่ใช้ (MMBTU) ต่อกำลังไฟฟ้าที่ผลิต (MW) ของโรงไฟฟ้าพลังความร้อนร่วมหน่วยผลิตที่ 3

ตารางที่ 2.20 ค่าพลังความร้อนต่อหน่วยผลิตไฟฟ้าของโรงไฟฟ้าพลังความร้อนร่วมแห่งหนึ่งเมื่อเดินเครื่องด้วยเชื้อเพลิงก๊าซ (Unit 1)

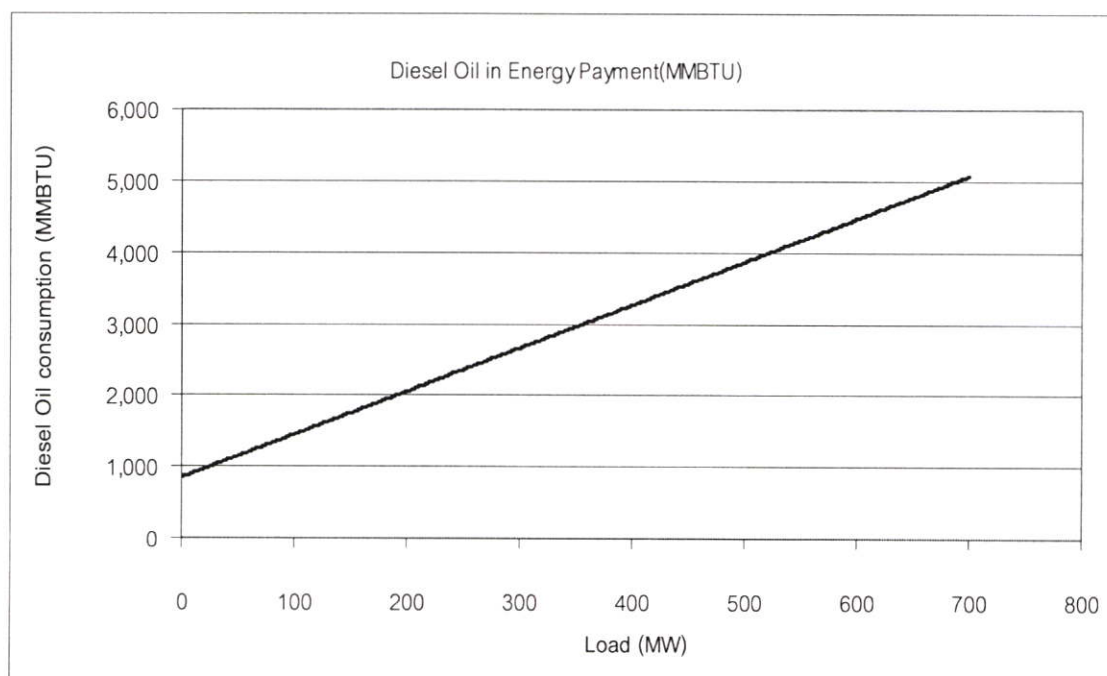
Operating Mode	No of GTs On	Net Output Range (MW)		<i>FAllowHrSynch</i>	<i>FAllowMWhSent</i>
		From	To	HHV BTU*10 <sup>6</sup> /h	HHV BTU*10 <sup>6</sup> /MWh
CC	2	0	490	807.71064	5.77306
		>490	571	807.71064	5.77306
		>571	685	489.43689	6.33048
	1	0	240	429.59422	5.80966
		>240	281	429.59422	5.80966
		>281	339	324.87728	6.18252
OC	2	0	290	1389.54098	7.78605
		>290	354	1389.54098	7.78605
		>354	436	1005.45448	8.87055
	1	0	140	737.94892	7.61348
		>140	176	737.94892	7.61348
		>176	212	499.26699	8.97086



รูปที่ 2.5 แสดงปริมาณเชื้อเพลิงก๊าซที่ใช้ (MMBTU) ต่อกำลังไฟฟ้าที่ผลิต (MW) ของโรงไฟฟ้าพลังความร้อนร่วมหน่วยผลิตที่ 1

ตารางที่ 2.21 ค่าพลังความร้อนต่อหน่วยผลิตไฟฟ้าของโรงไฟฟ้าพลังความร้อนร่วมแห่งหนึ่งเมื่อเดินเครื่องด้วยเชื้อเพลิงน้ำมันดีเซล (Unit 1)

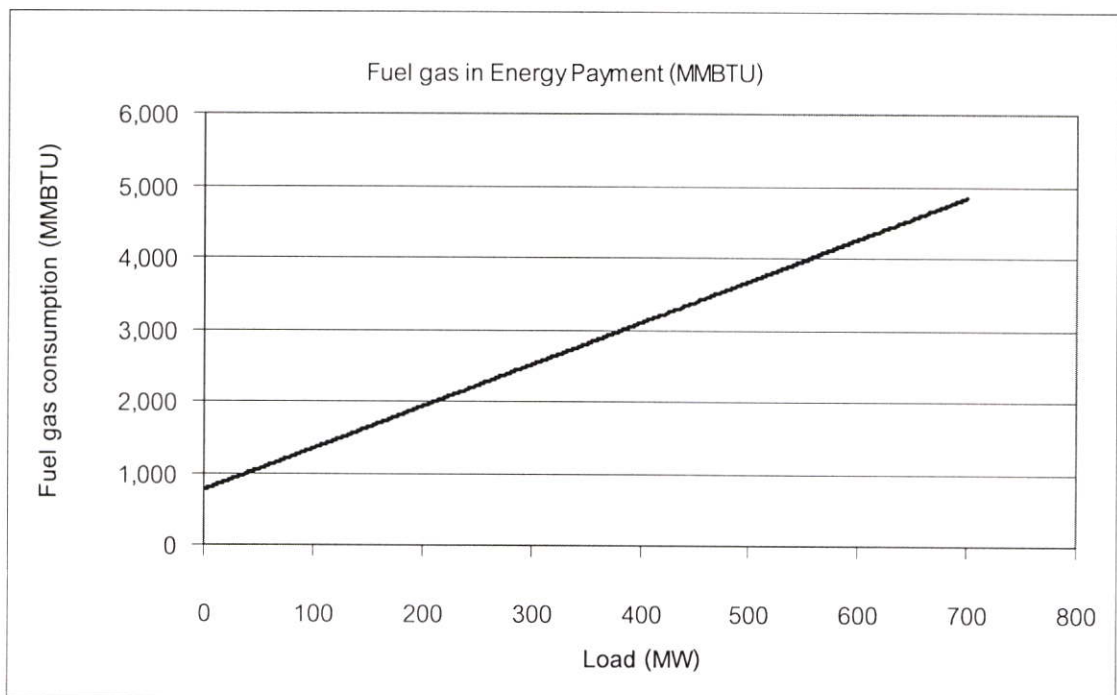
Operating Mode	No of GTs On	Net Output Range (MW)		<i>FAllowHrSynch</i>	<i>FAllowMWhSent</i>
		From	To	HHV BTU*10 <sup>6</sup> /h	HHV BTU*10 <sup>6</sup> /MWh
CC	2	0	90	845.25303	6.04139
		>90	571	845.25303	6.04139
		>571	694	512.18592	6.62472
	1	0	45	449.56176	6.07970
		>45	281	449.56176	6.07970
		>281	343	339.97758	6.46988
OC	2	0	50	1428.30917	8.00329
		>50	354	1428.30917	8.00329
		>354	445	1033.50666	9.11803
	1	0	25	758.53769	7.82590
		>25	176	758.53679	7.82590
		>176	216	513.19654	9.22114



รูปที่ 2.6 แสดงปริมาณเชื้อเพลิงน้ำมันดีเซลที่ใช้ (MMBTU) ต่อกำลังไฟฟ้าที่ผลิต (MW) ของโรงไฟฟ้าพลังความร้อนร่วมหน่วยผลิตที่ 1

ตารางที่ 2.22 ค่าพลังความร้อนต่อหน่วยผลิตไฟฟ้าของโรงไฟฟ้าพลังความร้อนร่วมแห่งหนึ่งเมื่อเดินเครื่องด้วยเชื้อเพลิงก๊าซ (Unit 2)

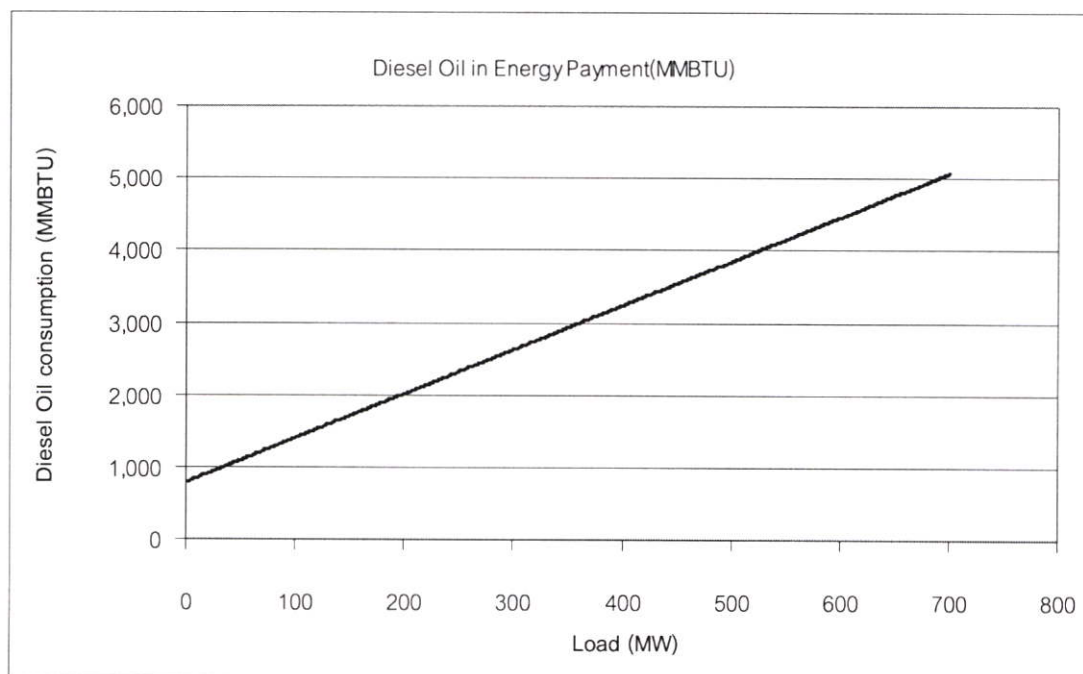
Operating Mode	No of GTs On	Net Output Range (MW)		<i>FAllowHrSynch</i>	<i>FAllowMWhSent</i>
		From	To	HHV BTU*10 <sup>6</sup> /h	HHV BTU*10 <sup>6</sup> /MWh
CC	2	0	490	754.83804	5.83938
		>490	566	754.83804	5.83938
		>566	675	480.98625	6.32320
	1	0	240	430.88902	5.79008
		>240	272	430.88902	5.79008
		>272	330	370.25611	6.01266
OC	2	0	290	1412.66192	7.57311
		>290	357	1412.66192	7.57311
		>357	429	977.99798	8.78984
	1	0	140	739.28904	7.46864
		>140	175	739.28904	7.46864
		>175	209	528.23856	8.67392



รูปที่ 2.7 แสดงปริมาณเชื้อเพลิงก๊าซที่ใช้ (MMBTU) ต่อกำลังไฟฟ้าที่ผลิต (MW) ของโรงไฟฟ้าพลังความร้อนร่วมหน่วยผลิตที่ 2

ตารางที่ 2.23 ค่าพลังความร้อนต่อหน่วยผลิตไฟฟ้าของโรงไฟฟ้าพลังความร้อนร่วมแห่งหนึ่งเมื่อเดินเครื่องด้วยเชื้อเพลิงน้ำมันดีเซล ( Unit 2)

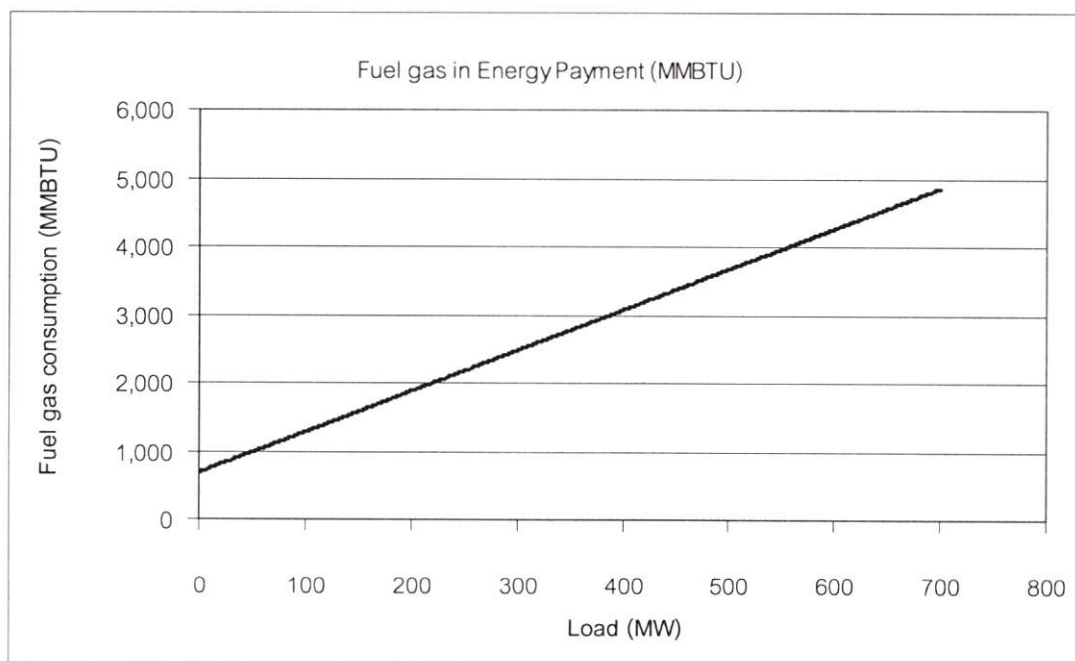
Operating Mode	No of GTs On	Net Output Range (MW)		<i>FAllowHrSynch</i>	<i>FAllowMWhSent</i>
		From	To	HHV BTU*10 <sup>6</sup> /h	HHV BTU*10 <sup>6</sup> /MWh
CC	2	0	90	789.92291	6.11080
		>90	566	789.922291	6.11080
		>566	684	503.34249	6.61710
	1	0	45	450.91674	6.05920
		>45	272	450.91674	6.05920
		>272	334	387.46562	6.29212
OC	2	0	50	1452.07519	7.78440
		>50	357	1452.07519	7.78440
		>357	438	1005.28412	9.03507
	1	0	25	759.91521	7.67702
		>25	175	759.91521	7.67702
		>175	213	542.97642	8.91592



รูปที่ 2.8 แสดงปริมาณเชื้อเพลิงน้ำมันดีเซลที่ใช้ (MMBTU) ต่อกำลังไฟฟ้าที่ผลิต (MW) ของโรงไฟฟ้าพลังความร้อนร่วมหน่วยผลิตที่ 2

ตารางที่ 2.24 ค่าพลังความร้อนต่อหน่วยผลิตไฟฟ้าของโรงไฟฟ้าพลังความร้อนร่วมแห่งหนึ่งเมื่อเดินเครื่องด้วยเชื้อเพลิงก๊าซ ( Unit 3)

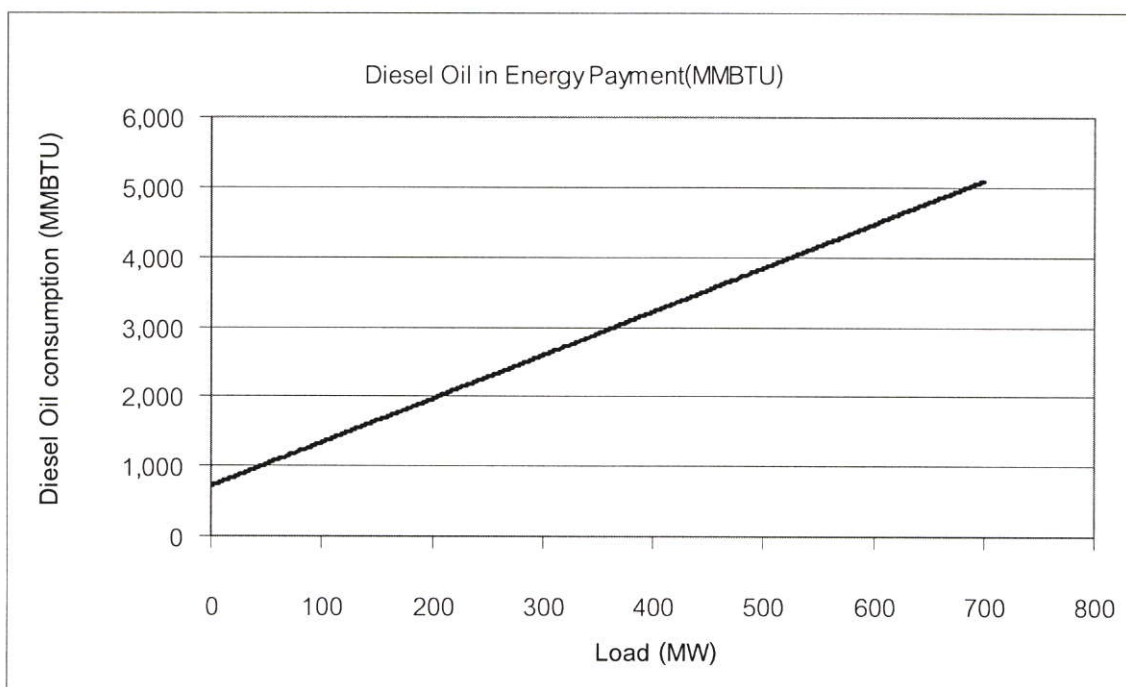
Operating Mode	No of GTs On	Net Output Range (MW)		<i>FAllowHrSynch</i>	<i>FAllowMWhSent</i>
		From	To	HHV BTU*10 <sup>6</sup> /h	HHV BTU*10 <sup>6</sup> /MWh
CC	2	0	490	683.14251	5.96872
		>490	569	683.14251	5.96872
		>569	681	534.48022	6.23005
	1	0	240	425.48223	5.77797
		>240	278	425.48223	5.77797
		>278	333	256.10760	6.38639
OC	2	0	290	1317.47509	8.01472
		>290	353	1317.47509	8.01472
		>353	432	1206.85293	8.32828
	1	0	140	643.47136	8.00382
		>140	178	643.47136	8.00382
		>178	214	454.95649	9.06255



รูปที่ 2.9 แสดงปริมาณเชื้อเพลิงก๊าซที่ใช้ (MMBTU) ต่อกำลังไฟฟ้าที่ผลิต (MW) ของโรงไฟฟ้าพลังความร้อนร่วมหน่วยผลิตที่ 3

ตารางที่ 2.25 ค่าพลังความร้อนต่อหน่วยผลิตไฟฟ้าของโรงไฟฟ้าพลังความร้อนร่วมแห่งหนึ่งเมื่อเดินเครื่องด้วยเชื้อเพลิงน้ำมันดีเซล (Unit 3)

Operating Mode	No of GTs On	Net Output Range (MW)		<i>FAllowHrSynch</i>	<i>FAllowMWhSent</i>
		From	To	HHV BTU*10 <sup>6</sup> /h	HHV BTU*10 <sup>6</sup> /MWh
CC	2	0	90	714.89498	6.24615
		>90	569	714.89498	6.24615
		>569	690	559.32286	6.51963
	1	0	45	445.25864	6.04653
		>45	278	445.25864	6.04653
		>278	337	268.01148	6.68323
OC	2	0	50	1354.23265	8.23833
		>50	353	1354.23265	8.23833
		>353	440	1240.52413	8.56064
	1	0	25	661.42421	8.22712
		>25	178	661.42421	8.22712
		>178	218	467.64978	9.31540



รูปที่ 2.10 แสดงปริมาณเชื้อเพลิงน้ำมันดีเซลที่ใช้ (MMBTU) ต่อกำลังไฟฟ้าที่ผลิต (MW) ของโรงไฟฟ้าพลังความร้อนร่วมหน่วยผลิตที่ 3

จากรูปที่ 2.5-2.10 จะเห็นได้ว่าเมื่อโรงไฟฟ้าพลังความร้อนร่วมจ่ายไฟฟ้าเข้าระบบมากขึ้น จะใช้เชื้อเพลิงในการเผาไหม้มากขึ้น ตัวอย่างเช่น โรงไฟฟ้าพลังความร้อนร่วมหน่วยที่ 1 เดินเครื่อง ด้วยเชื้อเพลิงก๊าซจ่ายไฟฟ้าเข้าระบบ 500 MW จะใช้เชื้อเพลิงก๊าซ 3,694.24 ล้านบีทียู หากจ่ายไฟฟ้าเข้าระบบ 700 MW จะใช้เชื้อเพลิงก๊าซ 4,848.85 ล้านบีทียู และในกรณีเดินเครื่องด้วยเชื้อเพลิงน้ำมันดีเซลจ่ายไฟฟ้าเข้าระบบ 500 MW จะใช้เชื้อเพลิง 3,678.66 ล้านบีทียู หากจ่ายไฟฟ้าเข้าระบบ 700 MW จะใช้เชื้อเพลิง 5,074.23 ล้านบีทียู

นอกจากนี้ยังสามารถวิเคราะห์ได้เพิ่มเติมอีกว่า ที่กำลังผลิต 700 MW เท่ากัน โรงไฟฟ้าพลังความร้อนร่วมเมื่อใช้เชื้อเพลิงก๊าซซึ่งมีราคาประมาณ 200 บาทต่อล้านบีทียู จะมีต้นทุนค่าเชื้อเพลิง 969,770.53 บาท แต่เมื่อใช้เชื้อเพลิงน้ำมันดีเซลซึ่งมีราคาประมาณ 687.99 บาทต่อล้านบีทียู จะมีต้นทุนค่าเชื้อเพลิง 3,487,479.03 บาท ซึ่งจะเห็นได้ชัดเจนว่าการเดินเครื่องด้วยก๊าซจะมีต้นทุนเชื้อเพลิงในการผลิตไฟฟ้าต่อหน่วยถูกกว่าน้ำมันดีเซล 260% หรือ 3.60 บาทต่อ kWh

## 2.3 อัตราการใช้เชื้อเพลิงและประสิทธิภาพของโรงไฟฟ้าตามสัญญา PPA

### 2.3.1 อัตราการใช้เชื้อเพลิงหรือ Heat Rate

อัตราการใช้เชื้อเพลิงคือปริมาณเชื้อเพลิงในหน่วยความร้อนที่ใช้ในการผลิตไฟฟ้าหนึ่งหน่วยกิโลวัตต์ชั่วโมง ซึ่งกำหนดได้จากสมการ

$$\text{Heat Rate} = \frac{\text{Fuel Consumption (BTU)}}{\text{Power Output (kWh)}}, \text{ BTU/kWh} \quad (2.3)$$

เมื่อ

*Fuel Consumption* คือปริมาณเชื้อเพลิงที่ใช้ในการผลิตไฟฟ้า, BTU

โดยคำนวณได้จากสมการ 2.2

*Power Output* คือกำลังไฟฟ้าที่ผลิต, kWh

### 2.3.2 ประสิทธิภาพของโรงไฟฟ้า

ประสิทธิภาพของโรงไฟฟ้ากำหนดได้จากสมการ [16]

$$\text{Efficiency (\%)} = 100 \times \frac{\text{Output}}{\text{input}} \quad (2.4)$$

โดย *Output* คือ พลังงานไฟฟ้าที่ผลิตได้ในรูปพลังงานความร้อน

*Input* คือพลังงานจากเชื้อเพลิงที่ใช้ในการเผาไหม้

จากพลังงานหนึ่งหน่วยกิโวลต์ชั่วโมงเท่ากับพลังงานความร้อน 3,413 บีทียู จะได้ว่า

$$\text{Efficiency (\%)} = 100 \times \frac{3413 \times \text{Power output (kWh)}}{\text{Fuel Consumption (BTU)}} \quad (2.5)$$

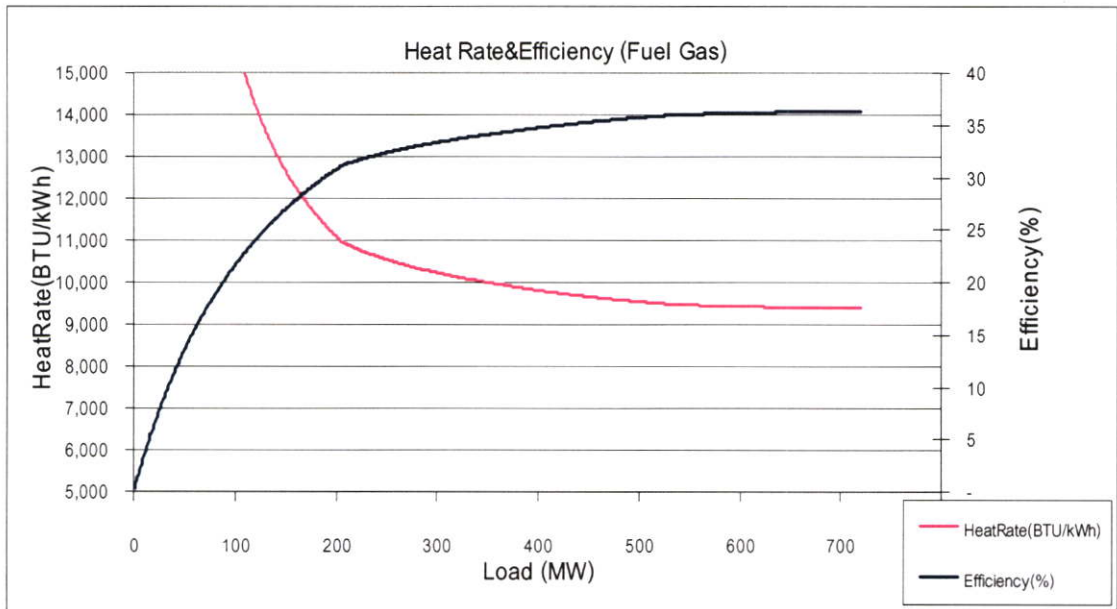
จากสมการ 2.3 และ 2.5 นำมาพล็อตกราฟความสัมพันธ์ระหว่าง อัตราการใช้เชื้อเพลิง (Heat Rate) และประสิทธิภาพกับกำลังไฟฟ้าที่ผลิต (MW) โดยใช้ค่า Fuel Consumption จากการคำนวณในสมการ 2.2 จะได้กราฟดังรูปที่ 2.11 แสดงอัตราการใช้เชื้อเพลิงก๊าซและประสิทธิภาพของโรงไฟฟ้าต่อกำลังไฟฟ้าที่ผลิตได้ของโรงไฟฟ้าพลังความร้อนแห่งหนึ่ง และ รูปที่ 2.12 แสดงอัตราการใช้เชื้อเพลิงน้ำมันเตาและประสิทธิภาพของโรงไฟฟ้าต่อกำลังไฟฟ้าที่ผลิตได้ของโรงไฟฟ้าพลังความร้อนแห่งหนึ่ง

จากกราฟ 2.11 และ 2.12 จะเห็นว่าที่กำลังผลิตต่ำๆ จะมีประสิทธิภาพต่ำหรือมี Heat Rate สูง แต่หากเดินเครื่องที่พิกัด base load แล้วประสิทธิภาพจะดีที่สุดหรือมี Heat Rate ต่ำที่สุด และถ้าเปรียบเทียบการเดินเครื่องของโรงไฟฟ้าพลังความร้อนด้วยเชื้อเพลิงต่างชนิดกันที่การจ่ายไฟฟ้า 700 MW เท่ากันจะได้ผลดังตารางที่ 2.26 เปรียบเทียบอัตราการใช้เชื้อเพลิงและประสิทธิภาพของโรงไฟฟ้าพลังความร้อนเมื่อใช้เชื้อเพลิงต่างชนิดกัน

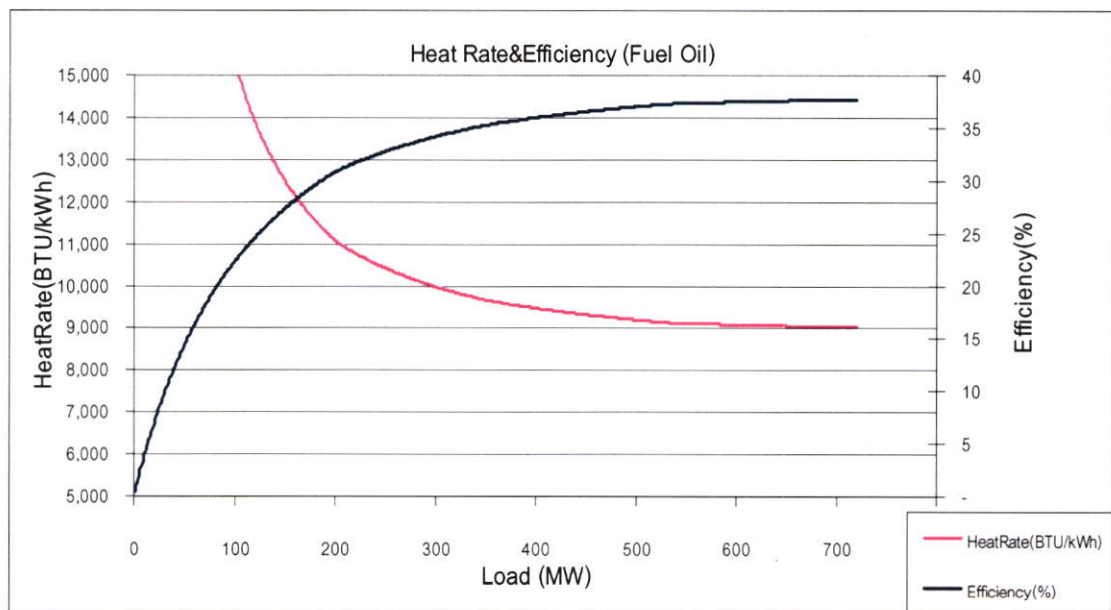
ตารางที่ 2.26 เปรียบเทียบอัตราการใช้เชื้อเพลิงและประสิทธิภาพของโรงไฟฟ้าพลังความร้อนเมื่อใช้เชื้อเพลิงต่างชนิดกัน

กำลังผลิต(MW)	เชื้อเพลิงก๊าซ			เชื้อเพลิงน้ำมันเตา		
	Fuel Consumption (MMBTU)	Heat Rate (BTU/kWh)	Efficiency (%)	Fuel Consumption (MMBTU)	Heat Rate (BTU/kWh)	Efficiency (%)
300	3,069.2469	10,230.82	33.35	2,993.3748	9,977.92	34.20
700	6,573.6191	9,390.88	36.33	6,337.1994	9,053.14	37.69

จะเห็นว่าโรงไฟฟ้าพลังความร้อนแห่งนี้เมื่อเดินเครื่องด้วยน้ำมันเตาจะมีประสิทธิภาพสูงกว่าการเดินเครื่องด้วยก๊าซธรรมชาติต่างๆ ที่ปรกติจะเดินเครื่องด้วยเชื้อเพลิงก๊าซเป็นหลัก สาเหตุเป็นเพราะว่าโรงไฟฟ้าแห่งนี้ได้ออกแบบมาเพื่อเดินเครื่องด้วยน้ำมันเตา ภายหลังในช่วง Commissioning ได้มีการปรับปรุงระบบหัวฉีดและการเผาไหม้ให้สามารถใช้เชื้อเพลิงก๊าซได้ แต่ระบบเครื่องกลในหม้อไอน้ำอื่นๆ เช่น ท่อน้ำ, ท่อไอน้ำ ยังเป็นเหมือนการออกแบบเดิมที่ใช้กับเชื้อเพลิงน้ำมันเตา จึงทำให้มีประสิทธิผลต่ำกว่า

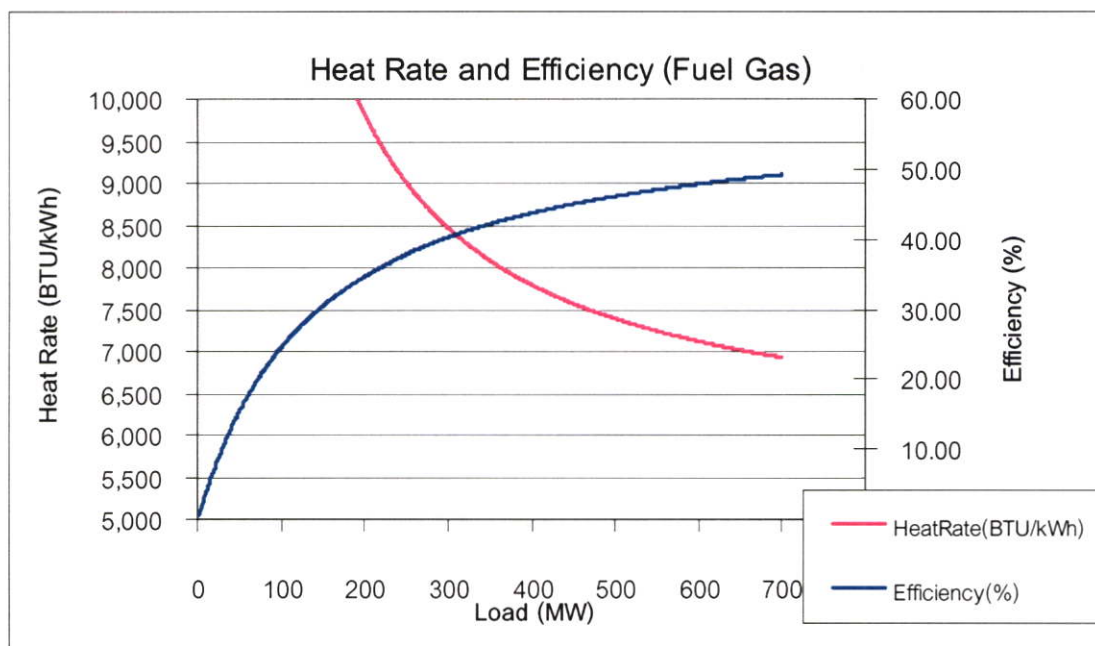


รูปที่ 2.11 แสดงอัตราการใช้เชื้อเพลิงก๊าซและประสิทธิภาพของโรงไฟฟ้าต่อกำลังไฟฟ้าที่ผลิตได้ของโรงไฟฟ้าพลังความร้อนแห่งหนึ่ง

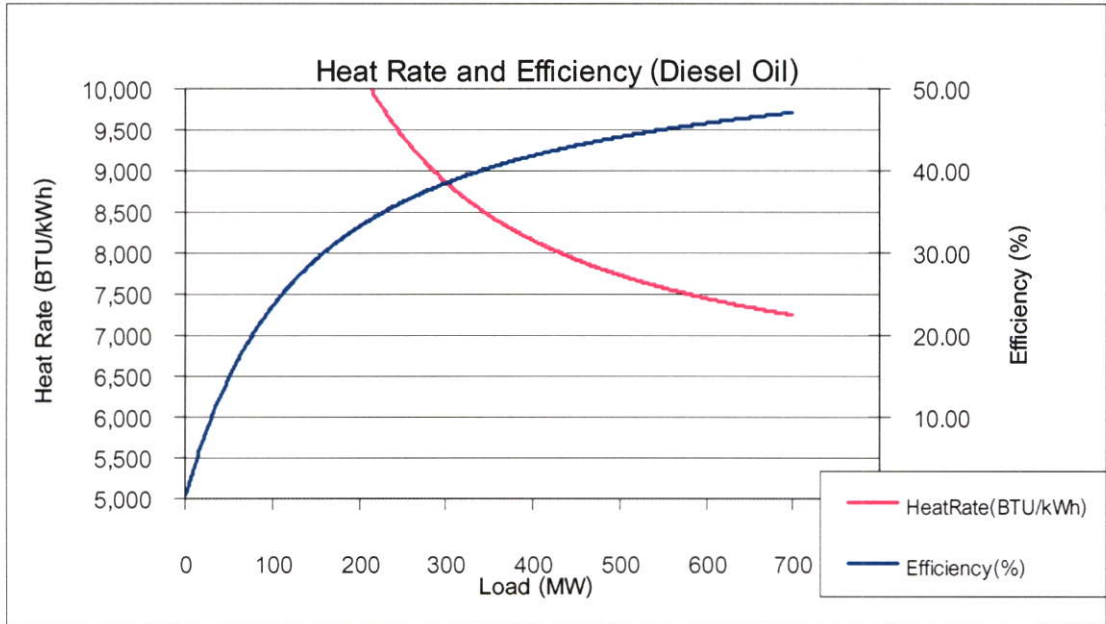


รูปที่ 2.12 แสดงอัตราการใช้เชื้อเพลิงน้ำมันเตาและประสิทธิภาพของโรงไฟฟ้าต่อกำลังไฟฟ้าที่ผลิตได้ของโรงไฟฟ้าพลังความร้อนแห่งหนึ่ง

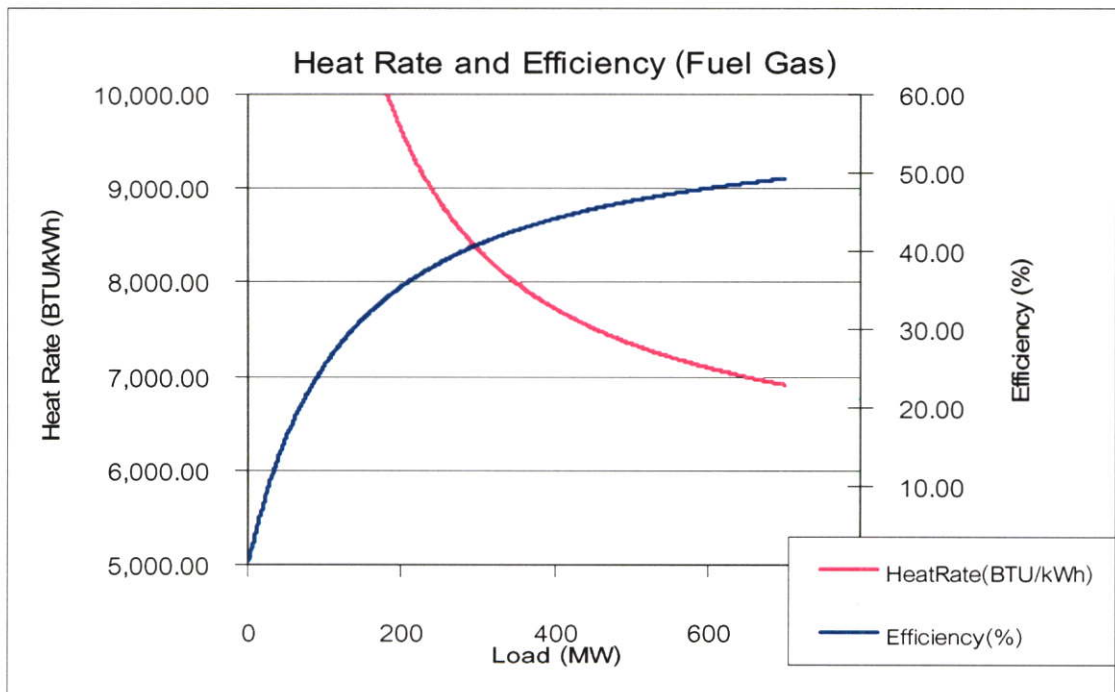
ในกรณีของโรงไฟฟ้าพลังความร้อนร่วม เมื่อนำความสัมพันธ์ตามสมการ 2.3 และ 2.5 มาพล็อตกับกำลังไฟฟ้าที่ผลิต จะได้กราฟรูปที่ 2.13 แสดงอัตราการใช้เชื้อเพลิงก๊าซและประสิทธิภาพของโรงไฟฟ้าพลังความร้อนร่วมต่อกำลังไฟฟ้าที่ผลิตได้ (Unit1), รูปที่ 2.14 แสดงอัตราการใช้เชื้อเพลิงน้ำมันดีเซลและประสิทธิภาพของโรงไฟฟ้าพลังความร้อนร่วมต่อกำลังไฟฟ้าที่ผลิตได้ (Unit1), รูปที่ 2.15 แสดงอัตราการใช้เชื้อเพลิงก๊าซและประสิทธิภาพของโรงไฟฟ้าพลังความร้อนร่วมต่อกำลังไฟฟ้าที่ผลิตได้ (Unit 2), รูปที่ 2.16 แสดงอัตราการใช้เชื้อเพลิงน้ำมันดีเซลและประสิทธิภาพของโรงไฟฟ้าพลังความร้อนร่วมต่อกำลังไฟฟ้าที่ผลิตได้ (Unit 2), รูปที่ 2.17 แสดงอัตราการใช้เชื้อเพลิงก๊าซและประสิทธิภาพของโรงไฟฟ้าพลังความร้อนร่วมต่อกำลังไฟฟ้าที่ผลิตได้ (Unit 3), รูปที่ 2.18 แสดงอัตราการใช้เชื้อเพลิงน้ำมันและประสิทธิภาพของโรงไฟฟ้าพลังความร้อนร่วมต่อกำลังไฟฟ้าที่ผลิตได้ (Unit 3)



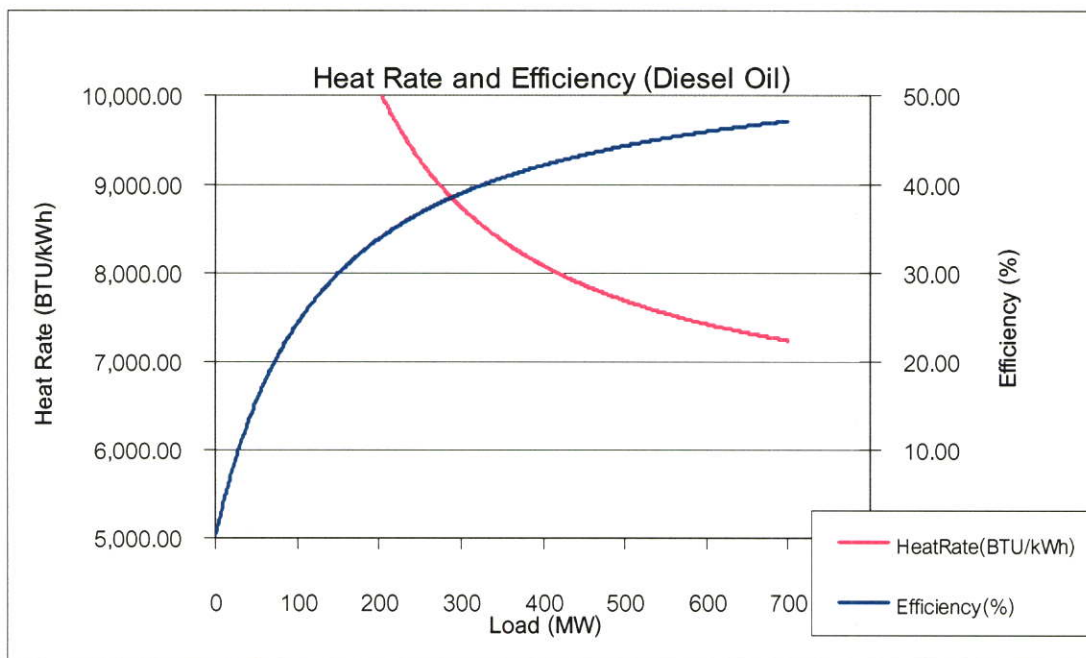
รูปที่ 2.13 แสดงอัตราการใช้เชื้อเพลิงก๊าซและประสิทธิภาพของโรงไฟฟ้าพลังความร้อนร่วมต่อกำลังไฟฟ้าที่ผลิตได้ (Unit1)



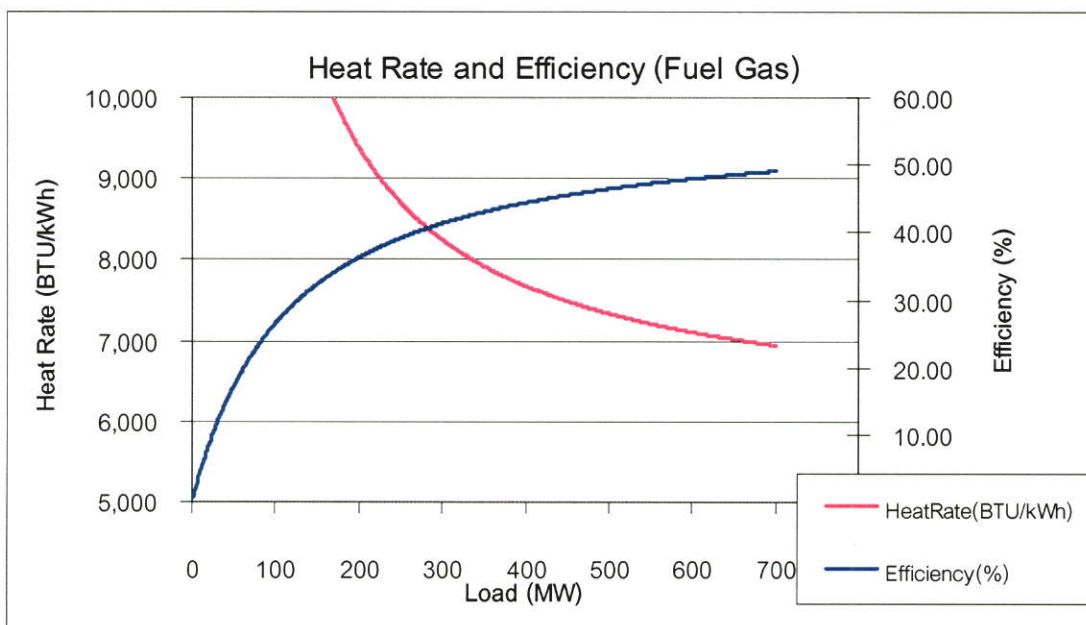
รูปที่ 2.14 แสดงอัตราการใช้เชื้อเพลิงน้ำมันดีเซลและประสิทธิภาพของโรงไฟฟ้าพลังความร้อนร่วมต่อกำลังไฟฟ้าที่ผลิตได้ (Unit1)



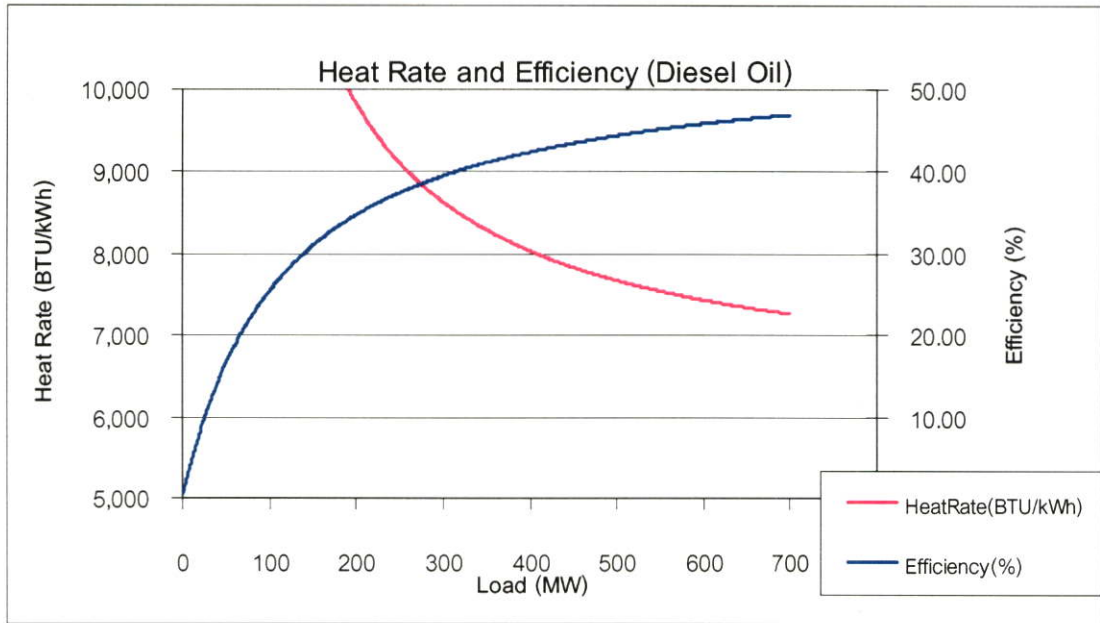
รูปที่ 2.15 แสดงอัตราการใช้เชื้อเพลิงก๊าซและประสิทธิภาพของโรงไฟฟ้าพลังความร้อนร่วมต่อกำลังไฟฟ้าที่ผลิตได้ (Unit 2)



รูปที่ 2.16 แสดงอัตราการใช้เชื้อเพลิงน้ำมันดีเซลและประสิทธิภาพของโรงไฟฟ้าพลังความร้อนร่วมต่อกำลังไฟฟ้าที่ผลิตได้ (Unit 2)



รูปที่ 2.17 แสดงอัตราการใช้เชื้อเพลิงก๊าซและประสิทธิภาพของโรงไฟฟ้าพลังความร้อนร่วมต่อกำลังไฟฟ้าที่ผลิตได้ (Unit 3)



**รูปที่ 2.18** แสดงอัตราการใช้เชื้อเพลิงน้ำมันและประสิทธิภาพของโรงไฟฟ้าพลังความร้อนร่วมต่อกำลังไฟฟ้าที่ผลิตได้ (Unit 3)

จากสมการ 2.3 และ 2.5 และกราฟตามรูปที่ 2.13- 2.18 เมื่อเปรียบเทียบที่กำลังผลิตเท่ากันแล้วจะพบว่าโรงไฟฟ้าพลังความร้อนร่วมหน่วยที่ 2 มีประสิทธิภาพสูงที่สุดหรือมี Heat Rate ต่ำสุด ดังแสดงในตารางที่ 2.27 แสดงการเปรียบเทียบประสิทธิภาพและอัตราการใช้เชื้อเพลิงก๊าซของโรงไฟฟ้าพลังความร้อนร่วม และตารางที่ 2.28 แสดงการเปรียบเทียบประสิทธิภาพและอัตราการใช้เชื้อเพลิงน้ำมันดีเซลของโรงไฟฟ้าพลังความร้อนร่วม

**ตารางที่ 2.27** แสดงการเปรียบเทียบประสิทธิภาพและอัตราการใช้เชื้อเพลิงก๊าซของโรงไฟฟ้าพลังความร้อนร่วม

หน่วยผลิตที่	เชื้อเพลิงก๊าซ	กำลังผลิต	
		500 MW	650 MW
1	Fuel Consumption(MMBTU)	3,694.24	4,560.20
	Heat Rate(BTU/kWh)	7,388.48	7,015.69
	Efficiency (%)	46.18	48.64
2	Fuel Consumption(MMBTU)	3,674.53	4,550.44
	Heat Rate(BTU/kWh)	7,349.06	7,000.67
	Efficiency (%)	46.43	48.74
3	Fuel Consumption(MMBTU)	3,667.50	4,562.81
	Heat Rate(BTU/kWh)	7,335.01	7,019.71
	Efficiency (%)	46.52	48.61

ตารางที่ 2.28 แสดงการเปรียบเทียบประสิทธิภาพและอัตราการใช้เชื้อเพลิงน้ำมันดีเซลของโรงไฟฟ้าพลังความร้อนร่วม

หน่วยผลิตที่	เชื้อเพลิงน้ำมันดีเซล	กำลังผลิต	
		500 MW	650 MW
1	Fuel Consumption(MMBTU)	3,865.95	4,772.16
	Heat Rate(BTU/kWh)	7,731.90	7,341.78
	Efficiency (%)	44.13	46.48
2	Fuel Consumption(MMBTU)	3,845.32	4,761.94
	Heat Rate(BTU/kWh)	7,690.65	7,326.07
	Efficiency (%)	44.37	46.58
3	Fuel Consumption(MMBTU)	3,837.97	4,774.89
	Heat Rate(BTU/kWh)	7,675.94	7,345.99
	Efficiency (%)	44.45	46.45

นอกจากนี้ยังจะเห็นได้ว่า สำหรับโรงไฟฟ้าพลังความร้อนร่วมแล้วการเดินเครื่องด้วยน้ำมันดีเซล มีประสิทธิภาพต่ำกว่าการเดินเครื่องด้วยเชื้อเพลิงก๊าซ เนื่องจากเครื่องกังหันก๊าซถูกออกแบบให้เดินเครื่องด้วยเชื้อเพลิงก๊าซเป็นหลัก มีหัวฉีดแบบ Dry Low NO<sub>x</sub> แต่เมื่อเดินเครื่องด้วยน้ำมันดีเซลจะใช้วิธีลด NO<sub>x</sub> ด้วยการฉีดน้ำเพื่อลดอุณหภูมิเผาไหม้ ทำให้สิ้นเปลืองพลังงานมากกว่า

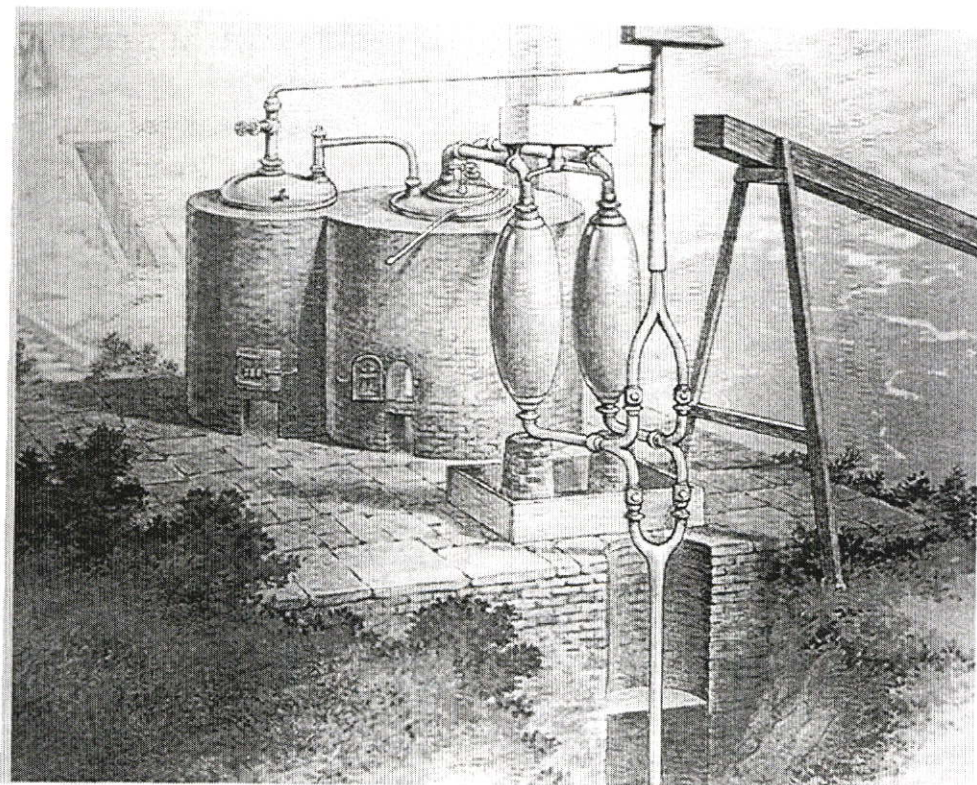
## บทที่ 3

# ประสิทธิภาพของโรงไฟฟ้าพลังความร้อน

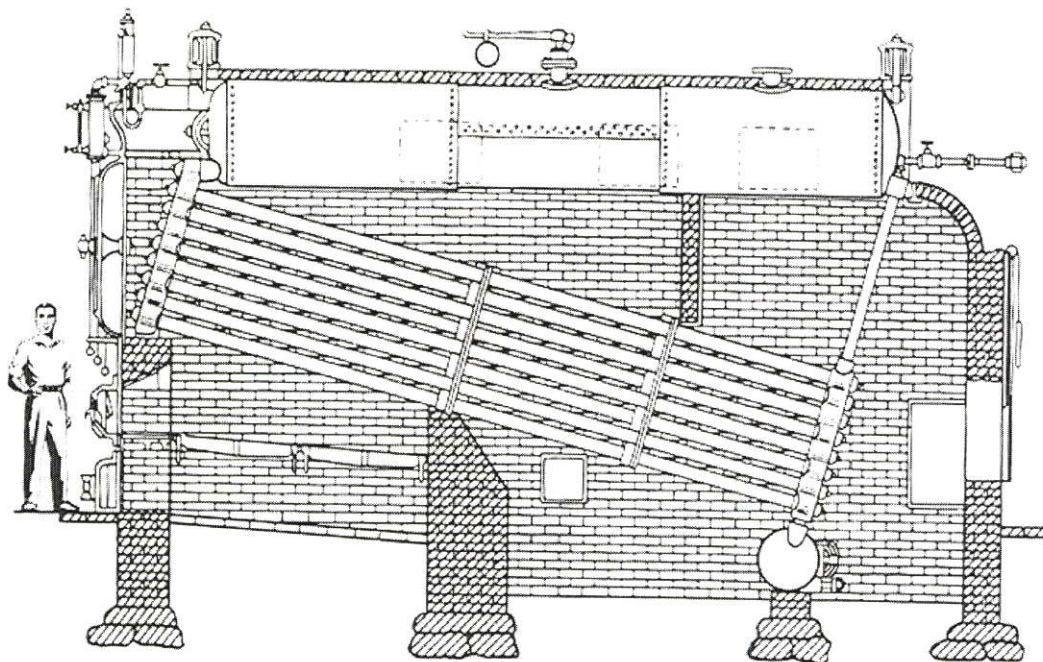
### 3.1 บทนำ

การใช้งานพลังงานไอน้ำในอุตสาหกรรมเริ่มใช้งานตั้งแต่ปลายคริสต์ศตวรรษที่ 17 โดยนำมาใช้เพื่อสูบน้ำจากเหมืองถ่านหิน โดยใช้เครื่องจักรไอน้ำของซาวารี ดังรูปที่ 3.1 และมีการพัฒนา มาใช้ในการผลิตไฟฟ้าโดยเอ็ดสันในปี 1887 ดังรูป 3.2 แสดงหม้อไอน้ำที่ใช้ในปี 1887

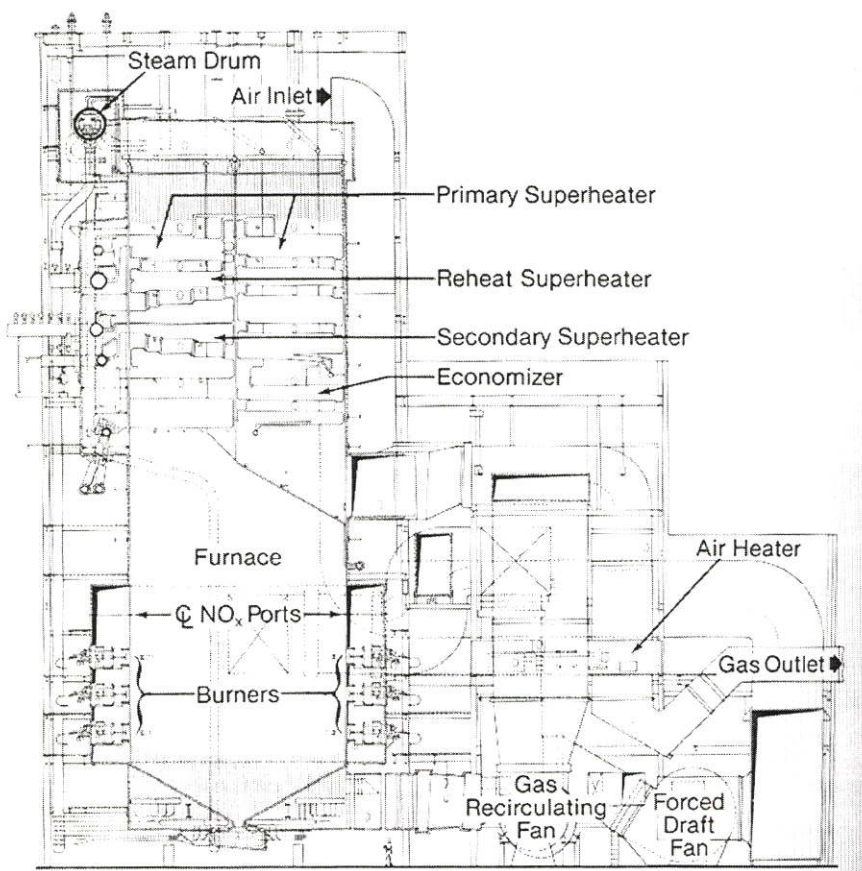
ปัจจุบันการใช้หม้อไอน้ำส่วนใหญ่จะผลิตไอน้ำเพื่อใช้กระบวนการผลิตไฟฟ้า โดยโรงไฟฟ้าชนิดที่ใช้การเผาไหม้ในหม้อไอน้ำเพื่อนำไอน้ำที่ได้ไปปั่นกังหันและนำไปปั่น generator เพื่อผลิตไฟฟ้าเราเรียกว่าโรงไฟฟ้าพลังความร้อน ดังตัวอย่างในรูปที่ 3.3 แสดงหม้อไอน้ำแบบ EL Paso Radiant(RBE) เชื้อเพลิงก๊าซและน้ำมัน และรูปที่ 3.4 หม้อไอน้ำเชื้อเพลิงถ่านหิน โรงไฟฟ้าพลังความร้อนสามารถออกแบบหม้อไอน้ำให้ใช้เชื้อเพลิงได้หลายชนิดทั้งเชื้อเพลิงเหลวและเชื้อเพลิงแข็งเช่นเชื้อเพลิงก๊าซ น้ำมันเตา ถ่านหิน แกลบ ชานอ้อย หรือแม้กระทั่งขยะ ก็สามารถนำมาใช้เป็นเชื้อเพลิงได้



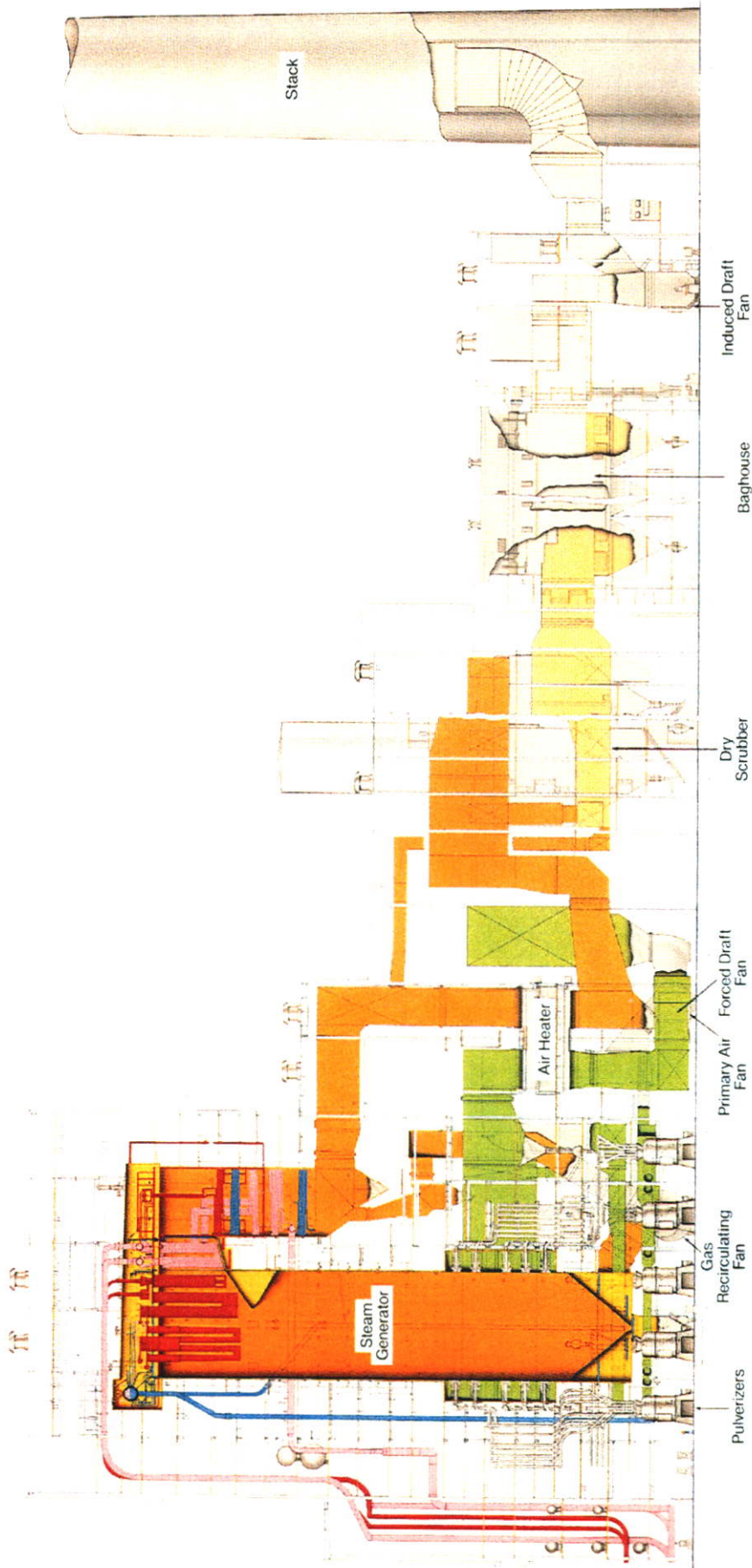
รูปที่ 3.1 แสดงเครื่องจักรไอน้ำของซาวารี



รูปที่ 3.2 แสดงหม้อไอน้ำที่ใช้ในปี 1877



รูปที่ 3.3 แสดงหม้อไอน้ำแบบ EL Paso Radiant(RBE) เชื้อเพลิงก๊าซและน้ำมัน



รูป 3.4 แสดงหม้อไอน้ำเชื้อเพลิงถ่านหิน

## 3.2 ประสิทธิภาพของหม้อไอน้ำ

ประสิทธิภาพของหม้อไอน้ำคืออัตราของพลังงานที่นำไปใช้ได้ในรูปแบบของไอน้ำต่อพลังงานความร้อนในรูปแบบของเชื้อเพลิงหน่วยเป็นเปอร์เซ็นต์ โดยทั่วไป ประสิทธิภาพของหม้อไอน้ำในอุตสาหกรรมขนาดใหญ่จะอยู่ระหว่าง 75%-95% ซึ่งขึ้นอยู่กับตัวแปรหลายตัวเช่น การออกแบบ, ลักษณะการเดินเครื่อง, เชื้อเพลิงที่ใช้ เป็นต้น

ประสิทธิภาพของหม้อไอน้ำสามารถคำนวณได้ 2 วิธี คือวิธี Input/Output Method และวิธี Heat Loss Method ซึ่งมีการมาตรฐานการคำนวณโดย ASME โดยมีมาตรฐานที่เกี่ยวข้องคือ Performance Test Code (PTC) 4, Fired Steam Generator [16] โดยมีขอบเขตการคำนวณตามไดอะแกรมในรูป 3.5 ของหม้อไอน้ำเชื้อเพลิงน้ำมันเตาและเชื้อเพลิงก๊าซและรายละเอียดการคำนวณจะแสดงดังต่อไปนี้

### 3.2.1 วิธี Input/Output Method

วิธี Input/Output Method เป็นวิธีที่ง่ายสำหรับการคำนวณประสิทธิภาพของหม้อไอน้ำ โดยวิธีนี้จะวัดพลังงานความร้อนของเชื้อเพลิงเข้าและพลังงานความร้อนที่ถูกนำไปใช้งานในรูปแบบของไอน้ำ ซึ่งสามารถแสดงได้ดังสมการ [16]

$$\eta_b = 100 \times \frac{Q_{abs}}{Q_{fuel}} \quad (3.1)$$

เมื่อ

$\eta_b$  = ประสิทธิภาพของหม้อไอน้ำในหน่วยเปอร์เซ็นต์

$Q_{abs}$  = พลังงานความร้อนที่ใช้งานได้ในรูปแบบของหม้อไอน้ำ, หน่วย BTU/h  
 $= \sum m_o h_o - m_i h_i$

$m_o h_o$  = อัตราการไหลของมวล-เอนทาลปี(พลังงานขาออก)ของไอน้ำที่นำไปใช้งาน (ซึ่งรวมไอน้ำใน main steam, hot reheat steam, blow down, soot blowing steam)

$m_i h_i$  = อัตราการไหลของมวล-เอนทาลปี(พลังงานขาเข้า)ของหม้อไอน้ำซึ่งรวมถึง feed water, cold reheat, desuperheat spray เป็นต้น

$Q_{fuel}$  = พลังงานความร้อนในรูปแบบของเชื้อเพลิงและความร้อนเข้าทางอื่น (Heat Credit), BTU/h

$$= m_{fuel} \times H_{fuel}$$

$m_{fuel}$  = อัตราการไหลของเชื้อเพลิงเข้าหม้อไอน้ำ lb/h

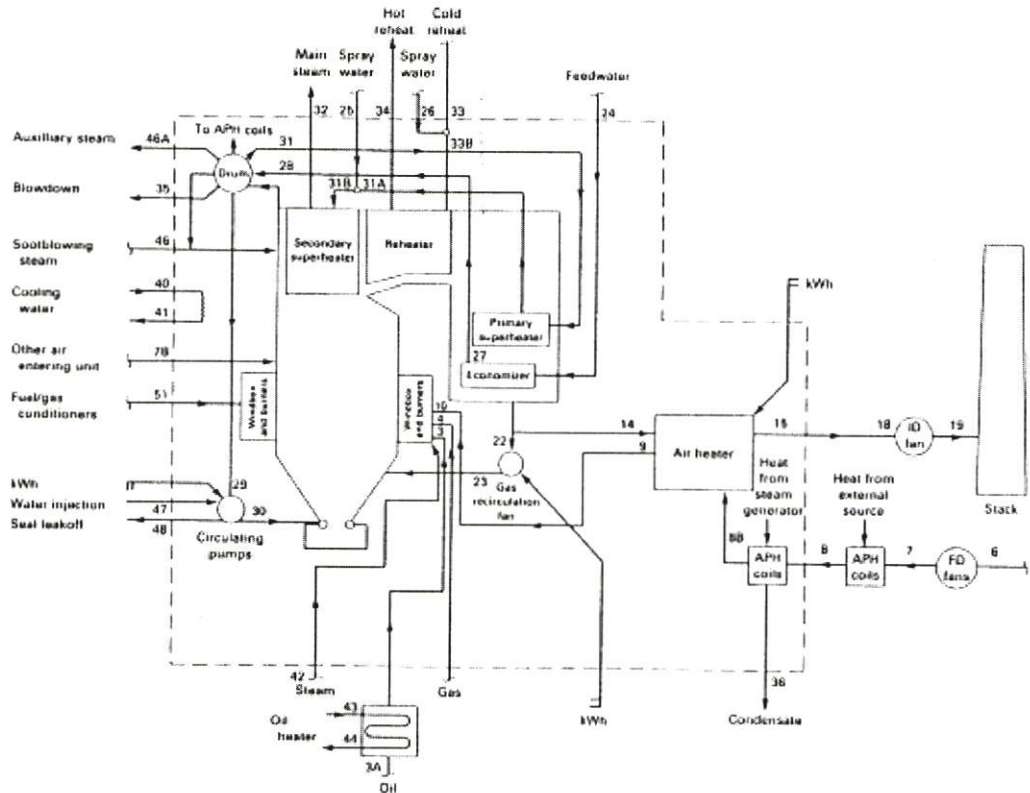
$H_{fuel}$  = ค่าความร้อนของเชื้อเพลิง, BTU/h

ในวิธี Input/Output Method จะมีรูปแบบของสมการที่ง่ายและใช้เครื่องมือวัดจำนวนน้อย ซึ่งจะมีอยู่แล้วในขบวนการผลิตโดยทั่วไป แต่เนื่องจากความแม่นยำของอุปกรณ์วัดเหล่านี้ โดย

เฉพาะการวัดอัตราการไหลและค่าความร้อนของเชื้อเพลิงซึ่งอาจไม่แม่นยำเพียงพอ ในหม้อไอน้ำที่ใช้เชื้อเพลิงก๊าซหรือน้ำมัน ผลลัพธ์ของการคำนวณโดยวิธีนี้อยู่ในระดับที่ยอมรับได้ เพราะเครื่องมือวัดมีความแม่นยำเพียงพอแต่สำหรับหม้อไอน้ำที่ใช้ถ่านหินเป็นเชื้อเพลิง การวัดอัตราการไหลของเชื้อเพลิงและค่าความร้อนของเชื้อเพลิงมีความคลาดเคลื่อนสูง ดังนั้นการคำนวณโดยใช้วิธี Input/Output Method จึงมีความคลาดเคลื่อนสูงตามไปด้วย วิธีที่เหมาะสมกว่าจึงเป็นวิธีการคำนวณประสิทธิภาพอีกวิธีหนึ่งซึ่งเรียกว่าวิธี Heat Loss Method

การพิจารณาประสิทธิภาพของโรงไฟฟ้าโดยวิธี input/output method จะต้องมีการวัด input และ output โดยตรงและต้องมีความแม่นยำสูง โดยตัวแปรที่ต้องวัดมีดังต่อไปนี้

- อัตราการไหลของน้ำป้อนเข้าหม้อไอน้ำ
- อัตราการไหลของน้ำ desuperheat
- อัตราการไหลของไอน้ำที่จุดต่างๆ เช่น blowdown, auxiliary steam เป็นต้น
- อุณหภูมิและความดันของน้ำและไอน้ำ ณ จุดต่างๆ เช่น น้ำป้อนเข้าหม้อไอน้ำ, ไอน้ำออกจากหม้อไอน้ำ, superheater, reheater, auxiliary steam เป็นต้น
- อัตราการไหลของเชื้อเพลิง
- ค่าความร้อนของเชื้อเพลิง
- ความร้อนสูญเสียอื่นๆ



รูปที่ 3.5 ไดอะแกรมมาตรฐานสำหรับหม้อไอน้ำเชื้อเพลิงก๊าซและน้ำมัน[16]

### 3.2.2 วิธี Heat Loss Method

ในวิธี Input/Output Method จะวัดพลังงานขาเข้า/ขาออกของหม้อไอน้ำแต่ในวิธีของ Heat Loss Method จะวัดเฉพาะพลังงานสูญเสีย(Heat Loss) หรือพลังงานความร้อนที่ไม่ถูกนำไปใช้งานโดยพลังงานสูญเสียและพลังงานส่วนเพิ่มที่เกิดขึ้นในหม้อต้มไอน้ำแสดงได้ดังรูปที่ 3.5 แสดงไดอะแกรมมาตรฐานสำหรับหม้อไอน้ำเชื้อเพลิงก๊าซและน้ำมัน และการคำนวณโดยละเอียดแสดงได้ดังนี้ [16]

$$n_b = 100 \times \frac{Q_{abs}}{Q_{fuel}} \quad (3.2)$$

$$Q_{abs} = Q_{fuel} - Q_{loss} + Q_{credit} \quad (3.3)$$

$$\begin{aligned} n_b &= 100 \times \frac{(Q_{fuel} - Q_{loss} + Q_{credit})}{Q_{fuel}} \\ &= 100 \times \left( 1 - \frac{Q_{loss} - Q_{credit}}{Q_{fuel}} \right) \\ &= 100 - 100 \times \left( \frac{Q_{loss} - Q_{credit}}{Q_{fuel}} \right) \end{aligned} \quad (3.4)$$

เมื่อ

$Q_{loss}$  = พลังงานความร้อนที่สูญเสียในหม้อไอน้ำ

$Q_{credit}$  = พลังงานความร้อนที่เข้าหม้อไอน้ำ

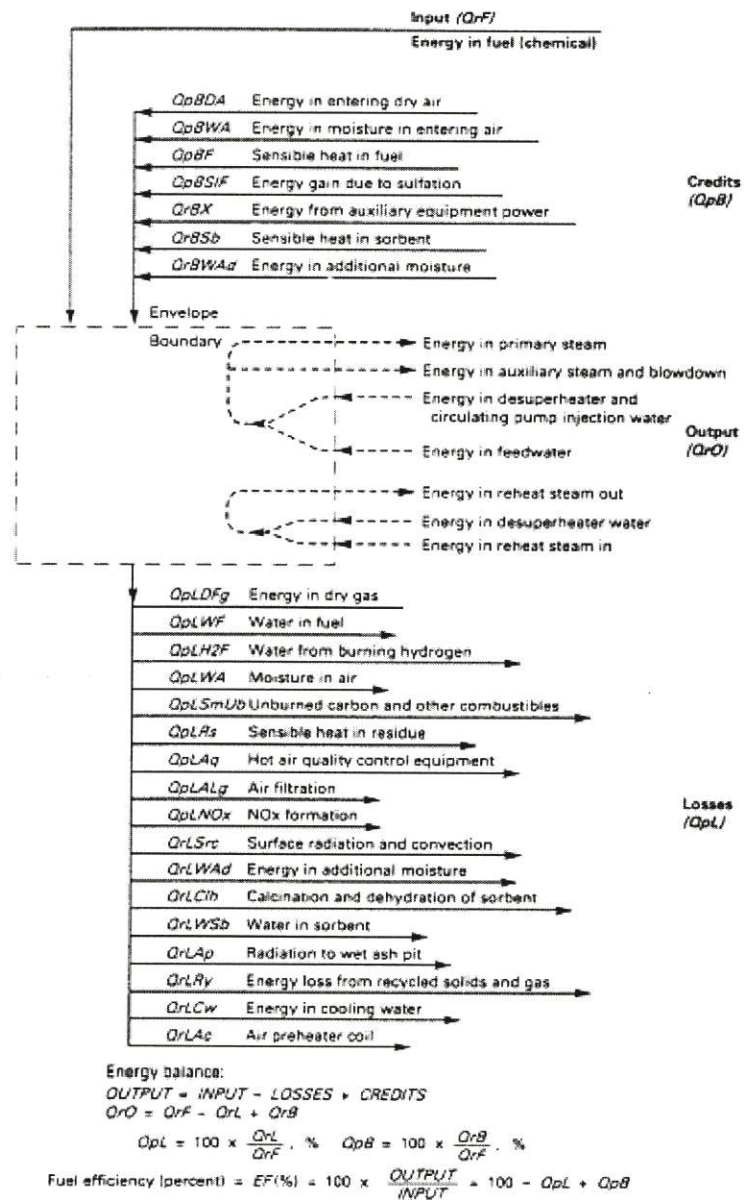
ซึ่งถ้าคิดในรูปของอัตราการไหลของเชื้อเพลิงจะได้ว่า

$$\eta_b = 100 - 100 \times \frac{(\sum H_{loss} - \sum H_{credit})}{H_{fuel}} \quad (3.5)$$

เมื่อ

$\sum H_{loss}$  = ผลรวมของความร้อนสูญเสียแต่ละตัวต่ออัตราการไหลของเชื้อเพลิง

$\sum H_{credit}$  = ผลรวมของความร้อนเข้า(Credit) ต่ออัตราการไหลของเชื้อเพลิง



รูปที่ 3.6 ไดอะแกรมของพลังงานสูญเสียและพลังงานส่วนเพิ่มในหม้อไอน้ำมาตรฐาน[16]

จากสมการข้างต้นจะเห็นได้ว่าวิธี Heat Loss Method จะมุ่งสนใจเฉพาะความร้อนสูญเสีย ซึ่งเป็นส่วนที่ทำให้ประสิทธิภาพของหม้อไอน้ำไม่เป็น 100% โดยทั่วไปประสิทธิภาพของหม้อไอน้ำในอุตสาหกรรมจะอยู่ระหว่าง 75%-95%

ความแม่นยำในการวัดและการคำนวณประสิทธิภาพของหม้อไอน้ำจะขึ้นอยู่กับว่าอะไรถูกวัดและปริมาณที่ถูกวัด ตัวอย่างเช่นถ้าความแม่นยำของอุปกรณ์วัดทุกตัวมีค่าเป็น 1% ความคลาดเคลื่อนในการคำนวณตามวิธี Input/Output Method จะเป็น  $1\% \times 80\% = 0.8\%$  (ประสิทธิภาพของหม้อไอน้ำ 80%) ในกรณีเดียวกันถ้าคำนวณตามวิธี Heat loss Method จะพิจารณาเฉพาะความร้อนสูญเสีย ดังนั้นถ้าความแม่นยำของอุปกรณ์วัดเท่ากันที่ 1% ความคลาดเคลื่อนจะเป็น  $1\% \times 20\% = 0.2\%$  (ความร้อนสูญเสีย 20%) ดังนั้นสำหรับหม้อไอน้ำเชื้อเพลิงถ่านหินวิธี Heat Loss Method จึงเป็นวิธีที่มีความแม่นยำมากกว่า วิธี Input/Output Method

ความร้อนสูญเสียและความร้อนส่วนเพิ่มในวิธี Heat Loss Method ประกอบด้วย

ความร้อนสูญเสีย

- ความร้อนจากไอเสียแห้ง
- ความร้อนแฝงของน้ำในเชื้อเพลิง
- ความร้อนแฝงของไอน้ำในเชื้อเพลิง
- ความร้อนแฝงของน้ำในอากาศที่ใช้เผาไหม้
- ความร้อนสูญเสียอื่นๆ

ความร้อนส่วนเพิ่ม

- ความร้อนจากอากาศเข้า
- ความร้อนจากอุปกรณ์ประกอบ
- ความร้อนจากสถานะของเชื้อเพลิง

อ้างอิงการวิธีการคำนวณ Heat Loss Method ตามมาตรฐาน ASME PTC 4.1 part 7.3

[16,17] ซึ่งจะได้ว่า

$$\eta_b = 100 - \frac{L}{H_f + B} \times 100 \quad (3.6)$$

เมื่อ

$\eta_b$  คือประสิทธิภาพของหม้อไอน้ำในหน่วยเปอร์เซ็นต์

L คือ ผลรวมของความร้อนสูญเสียในหม้อไอน้ำ kJ/kg ของเชื้อเพลิง

$H_f$  คือ ค่าความร้อน(High heating Value) ของเชื้อเพลิง kJ/kg ของเชื้อเพลิง

B คือ ผลรวมของความร้อนเพิ่มในหม้อไอน้ำ kJ/kg ของเชื้อเพลิง

L และ B จะเป็นผลรวมของความร้อนดังสมการต่อไปนี้ [16,17]

$$L = L_{G'} + L_{mf} + L_H + L_{mA} + L_z + L_{UC} + L_B \quad (3.7)$$

$$B = B_f + B_z + B_x + B_A \quad (3.8)$$

ความร้อนสูญเสีย (Heat Loss, L)

$L_{G'}$  : ความร้อนจากไอเสียแห้ง

$L_{mf}$  : ความร้อนจากน้ำในเชื้อเพลิง

$L_H$  : ความร้อนจากน้ำเนื่องจากการเผาไหม้ของไฮโดรเจน

$L_{mA}$  : ความร้อนจากน้ำในอากาศเผาไหม้

$L_z$  : ความร้อนจาก atomizing steam (ในกรณีที่ใช้เชื้อเพลิงน้ำมันเตา)

$L_{UC}$  : ความร้อนจาก unburned carbon

$L_B$  : ความร้อนจากการสูญเสียเนื่องจาก Radiation และ Convection

ความร้อนเพิ่ม (Heat credit, B)

$B_f$  : ความร้อนจากสถานะของเชื้อเพลิง

$B_z$  : ความร้อนจาก Atomizing Steam (ในกรณีที่ใช้เชื้อเพลิงน้ำมันเตา)

$B_x$  : ความร้อนจาก Gas Recirculating Fan

$B_A$  : ความร้อนจากอากาศเผาไหม้

### 3.1.3 การคำนวณความร้อนสูญเสีย [16,17]

#### 3.1.3.1 ความร้อนสูญเสียจากไอเสียแห้ง $L_{G'}$

$$L_{G'} = W_{G'} \times C_{PG'} (t_{G15} - t_{RA}) \times 4.1868 \quad \text{kJ/kg ของเชื้อเพลิง} \quad (3.9)$$

$$W_{G'} = \frac{44.01CO_2 + 32.00O_2 + 28.02N_2 + 28.01CO}{12.01(CO_2 + CO)} \times \left( C_b + \frac{12.01S}{32.07} \right) \quad (3.10)$$

เมื่อ  $CO_2, O_2, N_2$  และ  $CO$  คือเปอร์เซ็นต์โดยปริมาตรของไอเสียแห้งที่ Air Heater Outlet

$C_b$  คือปริมาณของคาร์บอนหน่วยกิโลกรัมต่อกิโลกรัมของเชื้อเพลิง

$$C_b = C - \frac{W_{d'p'} \times C_{d'p'}}{100} \quad (3.11)$$

C คือปริมาณของคาร์บอนที่ถูกเผาไหม้

$W_{d'p'}$ ,  $C_{d'p'}$  คือรายละเอียดในหัวข้อถัดไป

S คือปริมาณของซัลเฟอร์หน่วยกิโลกรัมต่อหน่วยของเชื้อเพลิง

$C_{PG}$  คือ ค่าความร้อนจำเพาะของ ไอเสียแห้ง , BTU/lb/F, kcal/kg/C

$t_{G15}$  คืออุณหภูมิของก๊าซไอเสียซึ่งในกรณีนี้คืออุณหภูมิขาออกของ Air heater, C

$t_{RA}$  คืออุณหภูมิอ้างอิง (ในกรณีนี้คืออุณหภูมิบรรยากาศ), C

### 3.1.3.2 ความร้อนสูญเสียเนื่องจากน้ำในเชื้อเพลิง ( $L_{mf}$ )

$$L_{mf} = m_f (h_{15} - h_{RW}) \times 4.1868 \quad \text{kJ/kg ของเชื้อเพลิง} \quad (3.12)$$

เมื่อ

$m_f$  คือปริมาณน้ำในเชื้อเพลิงหน่วยเป็นกิโลกรัมต่อกิโลกรัมของเชื้อเพลิง

$h_{15}$  คือค่าเอนทาลปีของ  $W$  ไอน้ำที่อุณหภูมิขาออกของ Air heater, kcal/kg

$h_{RW}$  คือค่าเอนทาลปีของ saturated liquid ที่อุณหภูมิอ้างอิง  $t_{RA}$ , kcal/kg

### 3.1.3.3 ความร้อนสูญเสียเนื่องจากน้ำจากการเผาไหม้ของไฮโดรเจน ( $L_H$ )

$$L_H = 8.936 \times H (h_{15} - h_{RW}) \times 4.1868 \quad \text{kJ/kg ของเชื้อเพลิง} \quad (3.13)$$

เมื่อ

$H$  คือ ปริมาณของไฮโดรเจนในส่วนประกอบของเชื้อเพลิง

### 3.1.3.4 ความร้อนสูญเสียเนื่องจาก unburned carbon ในไอเสียแห้ง ( $L_{UC}$ )

$$L_{UC} = W_{d'p'} \times H_{d'p'}, \quad \text{kJ/kg ของเชื้อเพลิง} \quad (3.14)$$

$$W_{d'p'} = W'_{d'p'} \times \frac{W_{G'}}{273 + 20} \times 10^{-6} \quad (3.15)$$

$$\gamma \times \frac{273}{273}$$

$W'_{d'p'}$  = ปริมาณเถ้าในไอเสียแห้ง, mg/Nm<sup>3</sup>

$\gamma$  = น้ำหนักจำเพาะของไอเสียแห้งที่ความดัน 1.0332 ata อุณหภูมิ 20 C, kg/m<sup>3</sup>

$$= 0.0401 \times \left[ \frac{CO_2}{35.11} + \frac{O_2}{48.28} + \frac{N_2}{55.14} + \frac{CO}{55.16} + \frac{SO_2}{24.12} \right] \times 16.02 \quad (3.16)$$

$H_{d'p'}$  = ค่าความร้อนของเชื้อเพลิง (High heating value), kJ/kg

$$= \frac{C_{d'p'}}{100} \times 33729 \quad (3.17)$$

$C_{d'p'}$  คือเปอร์เซ็นต์ของคาร์บอนที่เหลือในเถ้า

ค่า 33729 เป็นค่าความร้อนของคาร์บอน 1 กิโลกรัม (ตาม PTC 4.1)

### 3.1.3.5 ความร้อนสูญเสียเนื่องจากการแผ่รังสีที่ผิวของหม้อไอน้ำ ( $L_B$ )

ค่านี้ขึ้นอยู่กับารออกแบบของหม้อไอน้ำซึ่งอยู่ในกราฟมาตรฐานของ ABMA ตาม PTC 4.1 รูปที่ 8

### 3.1.3.6 ความร้อนเนื่องจากน้ำในอากาศ ( $L_{mA}$ )

$$L_{mA} = W_{mA'} \times W'_A (h_{15} - h_{RV}) \times 4.1868, \quad \text{kJ/kg ของเชื้อเพลิง} \quad (3.18)$$

เมื่อ

$W_{mA'}$  = ปริมาณของน้ำในหน่วยกิโลกรัมต่อกิโลกรัมของไอเสียแห้ง ตามกราฟในรูปที่ 10 Wet Air Diagram

$$W'_A = \frac{W_G N_2 - N}{0.7685} \quad (3.19)$$

$$W_G N_2 = \frac{28.02 N_2}{12.01(CO_2 + CO)} \left( Cb + \frac{12.01S}{32.07} \right) \quad (3.20)$$

เมื่อ

$N$  คือ ปริมาณของไนโตรเจนในหน่วยกิโลกรัมต่อกิโลกรัมของเชื้อเพลิง

$H_{RV}$  คือ ค่าเอนทัลปีของไอน้ำ (Saturate vapor) ที่อุณหภูมิ  $t_{RA}$ , kcal/kg

### 3.1.3.7 ความร้อนสูญเสียเนื่องจากความร้อนจาก atomizing steam ( $L_Z$ )

$$L_Z = \frac{W_{ze}}{W_{fe}} (h_{15} - h_{RV}) \times 4.1868, \quad \text{kJ/kg ของเชื้อเพลิง} \quad (3.21)$$

เมื่อ

$W_{ze}$  คือ อัตราการไหลของ atomizing steam , kg/h

$W_{fe}$  อัตราการไหลของเชื้อเพลิง, kg/kg ของเชื้อเพลิง

## 3.1.4 การคำนวณความร้อนส่วนเพิ่ม (Heat Credit) [16,17]

### 3.1.4.1 ความร้อนเพิ่มเนื่องจากสถานะของเชื้อเพลิง ( $B_f$ )

$$B_f = 1 \times C_{Pf} \times (t_{3,4} - t_{RA}) \times 4.1868, \quad \text{kJ/kg ของเชื้อเพลิง} \quad (3.22)$$

เมื่อ

1 คือ อัตราการไหลของเชื้อเพลิงต่อกิโลกรัมของเชื้อเพลิง

$C_{Pf}$  คือ ค่าความร้อนจำเพาะของเชื้อเพลิง, kcal/kg/C

$t_{3,4}$  คือ อุณหภูมิของเชื้อเพลิง, C

3.1.4.2 ความร้อนส่วนเพิ่มเนื่องจาก atomizing steam ( $B_Z$ )

$$B_Z = \frac{W_{ze}}{W_{fe}} (h_{z42} - h_{RV}) \times 4.1868, \quad \text{kJ/kg ของเชื้อเพลิง} \quad (3.23)$$

เมื่อ

$W_{ze}$  คืออัตราการไหลโดยประมาณของ atomizing steam, kJ/kg ของเชื้อเพลิง

$W_{fe}$  คืออัตราการไหลของเชื้อเพลิง, kJ/h

$h_{z42}$  คือค่าเอนทาลปีของ atomizing steam

$h_{RV}$  คือค่าเอนทาลปีของไอน้ำที่อุณหภูมิอ้างอิง, kcal/kg

3.1.4.3 ความร้อนเพิ่มจาก Gas Recirculating Fan, GRF ( $B_x$ )

$$B_x = \frac{3600 \times (E_x \times \eta_x)}{W_{fe}} \times 10^{-2}, \quad \text{kJ/kg ของเชื้อเพลิง} \quad (3.24)$$

เมื่อ

$E_x$  คือ ค่ากำลังไฟฟ้าของมอเตอร์ของ GRF, kWh

$\eta_x$  คือ ประสิทธิภาพโดยรวมของมอเตอร์, %

3.1.4.4 ความร้อนเพิ่มจากอากาศเข้า ( $B_A$ )

$$B_A = W'_A \times C'_{pA} \times (t_{A8} - t_{RA}) \times 4.1868, \quad \text{kJ/kg ของเชื้อเพลิง} \quad (3.25)$$

เมื่อ

$W'_A$  คือ ปริมาณของอากาศเข้าต่อปริมาณเชื้อเพลิง, kg/kg

$C'_{pA}$  คือ ค่าความร้อนจำเพาะของอากาศเข้า, kcal/kg/C

$t_{A8}$  คือ อุณหภูมิอากาศเข้าวัดที่ Air heater inlet

ตัวแปรหลักที่จะต้องวัดในการพิจารณาประสิทธิภาพโดยวิธี Heat loss method ได้แก่การวิเคราะห์ทางเคมีของเชื้อเพลิง, สัดส่วนก๊าซเสียจากปล่อง, ค่าความร้อนของเชื้อเพลิง, อุณหภูมิของอากาศและไอเสีย นอกจากนี้ยังมีตัวแปรอื่นๆ อีกที่จะต้องใช้ในการคำนวณแต่ส่วนใหญ่แล้วมีผลกระทบในการคำนวณน้อยมาก ซึ่งในทางปฏิบัติมักจะประมาณค่าของพลังงานสูญเสียเหล่านั้นโดยไม่ต้องวัด

ข้อดีและข้อเสียของวิธีการวัดประสิทธิภาพทั้งสองวิธีแสดงไว้ในตารางที่ 3.1 เปรียบเทียบวิธีการคำนวณประสิทธิภาพระหว่างวิธี Input/Output กับวิธี Heat Loss ในหลายๆ กรณีวิธี Heat loss method จะให้ผลความคลาดเคลื่อนของประสิทธิภาพน้อยกว่าวิธี input/output นอกจากนี้วิธี Heat loss method ยังให้ข้อมูลในการพิจารณาแนวทางปรับปรุงประสิทธิภาพผ่านการสูญเสียที่คำนวณได้

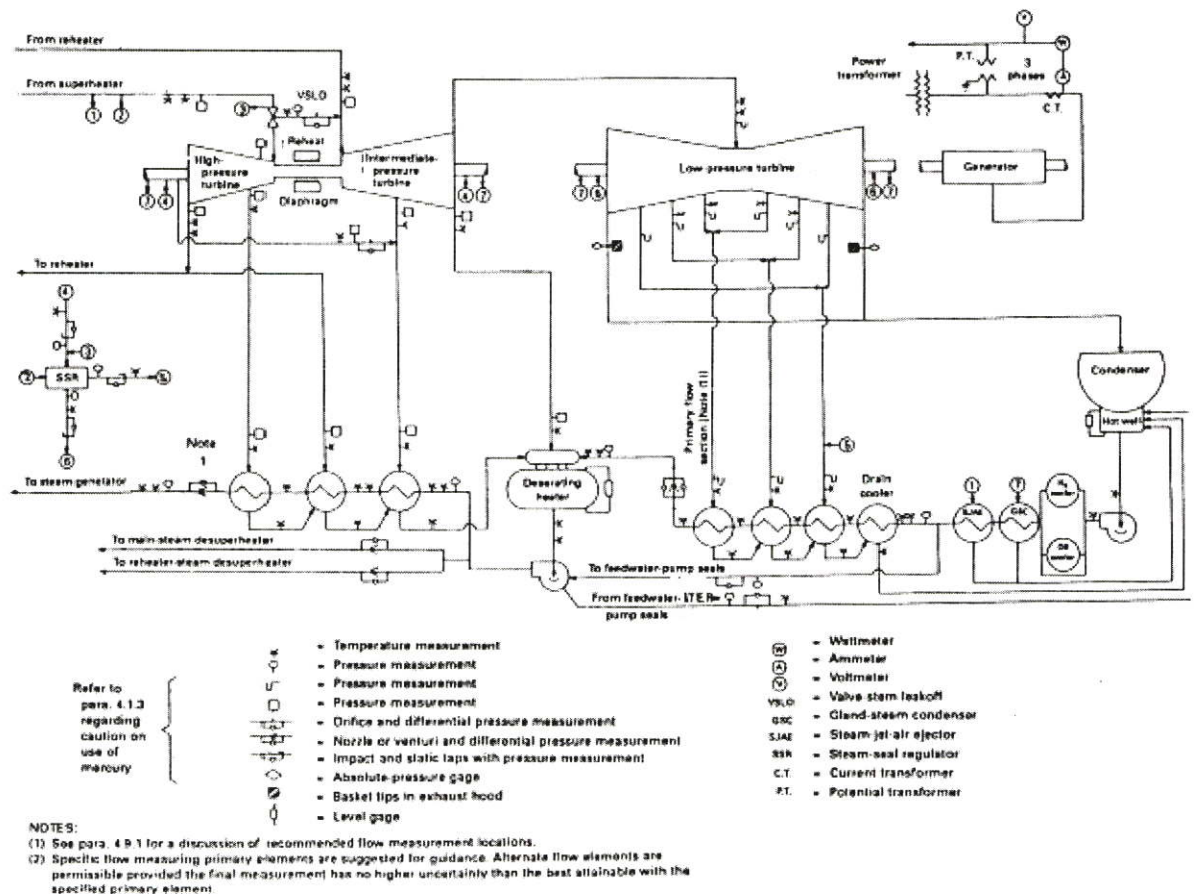
ตารางที่ 3.1 เปรียบเทียบวิธีการคำนวณประสิทธิภาพระหว่างวิธี Input/Output กับวิธี Heat Loss

Method	ข้อดี	ข้อเสีย
Input/output	วัดตัวแปรหลักโดยตรง	อัตราไหลและค่าความร้อนของเชื้อเพลิง, อัตราไหลของไอน้ำและคุณสมบัติของไอน้ำจะต้องมีความแม่นยำในการวัดสูง
	ใช้เครื่องมือวัดน้อย	ไม่สามารถบอกถึงจุดบกพร่องหรือพลังงานสูญเสียในหม้อไอน้ำ
	ไม่ต้องประมาณค่าของพลังงานสูญเสีย	ไม่สามารถ correct ไปที่เงื่อนไขการเดินเครื่องที่ต่างกันได้
Heat loss	ตัวแปรหลักในการคำนวณ เช่น ปริมาณก๊าซไอเสีย, อุณหภูมิไอเสีย สามารถวัดได้แม่นยำมาก	ต้องการเครื่องมือวัดมากกว่า
	สามารถเพิ่มการ correction ไปที่เงื่อนไขการเดินเครื่องต่างๆ กันได้	ไม่สามารถระบุขนาดของ output ได้โดยตรง
	ผลการวัดมีความคลาดเคลื่อนต่ำ	พลังงานสูญเสียบางตัวไม่สามารถวัดได้ซึ่งจำเป็นต้องประมาณค่า
	ผลกระทบจากตัวแปรรองอื่นๆ มีน้อย	
	วิเคราะห์พลังงานสูญเสียในแต่ละส่วนได้ง่าย	

### 3.3 ประสิทธิภาพของ Steam Turbine

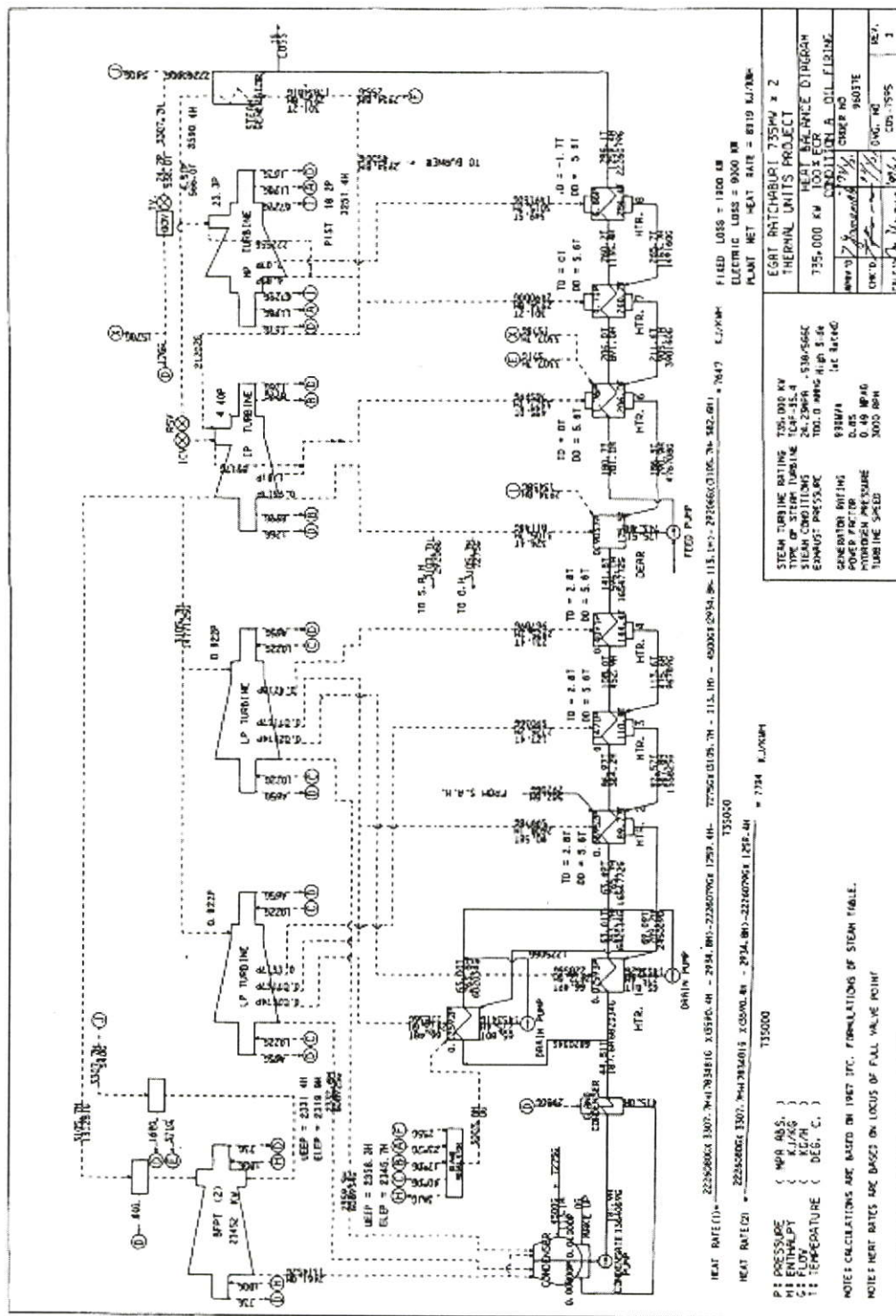
Steam Turbine เป็นเครื่องจักรที่เป็นส่วนประกอบสำคัญในการเปลี่ยนรูปพลังงานในโรงไฟฟ้า หน้าที่ของ Steam Turbine จะเปลี่ยนพลังงานความร้อนในรูปของไอน้ำแรงดันสูง อุณหภูมิสูงจากหม้อไอน้ำ เป็นพลังงานกลด้วยการหมุนใน Turbine ซึ่งต่อเพลาพร้อมกับ generator ที่เป็นเครื่องจักรในการเปลี่ยนพลังงานกลเป็นพลังงานไฟฟ้าต่อไป ในการพิจารณาประสิทธิภาพของ Steam Turbine ในที่นี้จะเน้นประสิทธิภาพของวัฏจักร Steam Turbine ทั้งหมดซึ่งรวมถึง generator ด้วย

ตามมาตรฐาน Performance Test Code 6 on Steam Turbine, Performance Test [12] จะมีไคอะแกรมมาตรฐานของ Steam Turbine และจุดวัดค่าพารามิเตอร์สำหรับใช้ในการคำนวณตามรูปที่ 3.7 ไคอะแกรมของ steam turbine และจุดติดตั้งเครื่องมือวัด



รูปที่ 3.7 ไคอะแกรมของ steam turbine และจุดติดตั้งเครื่องมือวัด

สำหรับโรงไฟฟ้าพลังความร้อนที่ผู้วิจัยได้ทำการศึกษาจะมีไดอะแกรมดังแสดงในรูปที่ 3.8 Heat balance diagram ของโรงไฟฟ้าพลังความร้อนแห่งหนึ่ง (เชื้อเพลิงน้ำมันเตา) และรูปที่ 3.9 Heat balance diagram ของโรงไฟฟ้าพลังความร้อนแห่งหนึ่ง (เชื้อเพลิงก๊าซ)



รูปที่ 3.8 Heat balance diagram ของโรงไฟฟ้าพลังความร้อนแห่งหนึ่ง (เชื้อเพลิงน้ำมันเตา)



ประสิทธิภาพของ Steam Turbine หมายถึงปริมาณความร้อนที่ส่งให้กับ Steam Turbine ต่อพลังงานในหน่วยไฟฟ้าที่ผลิตได้หรือเขียนเป็นสมการได้ดังนี้ [18]

$$\text{HeatRate} = \frac{\text{Heat Consumption}}{\text{Steam Turbine Power}} \quad (3.26)$$

โดย *Heat Consumption* เป็นค่าพลังงานทั้งหมดที่จ่ายให้กับ Steam Turbine ลบด้วยพลังงานที่ส่งให้กับระบบ feed water heater ในส่วนของหม้อไอน้ำ, *Steam Turbine Power* คือกำลังงานที่เกิดขึ้นใน Steam Turbine

จากสมการอย่างง่ายข้างต้นเมื่อพิจารณาในส่วนของ Steam Turbine ตามไดอะแกรมแล้ว จะได้ว่า [18]

$$HR = \frac{W_1 h_1 + W_3 (h_3 - h_2) + W_{11} h_{11} - Q_S (h_{SS} - h_{SD}) - Q_O (h_{OS} - h_{OD}) - Q_B (h_{BS} - h_{BD})}{kW_g} \quad (3.27)$$

เมื่อ

*HR* คือ ค่า Heat Rate ของ Turbine (kJ/kWh)

*W* คือ อัตราการไหล (kg/h)

*h* คือ ค่าเอนทาลปี (kJ/kg)

*kW<sub>g</sub>* คือ กำลังไฟฟ้าที่ผลิตได้ที่ Generator Terminal ลบด้วย กำลังไฟฟ้าที่ใช้ในส่วนของ excitation

1: ตำแหน่งที่ inlet ของ Turbine (main stop valve)

2: ตำแหน่งที่ outlet ของ High pressure turbine

3: ตำแหน่งที่ inlet ของ Reheat stop valve

11: ตำแหน่งที่ขาออกของ final feed water heater

*Q<sub>S</sub>*: อัตราการไหลของ Steam ที่ส่งให้กับ Steam air heater

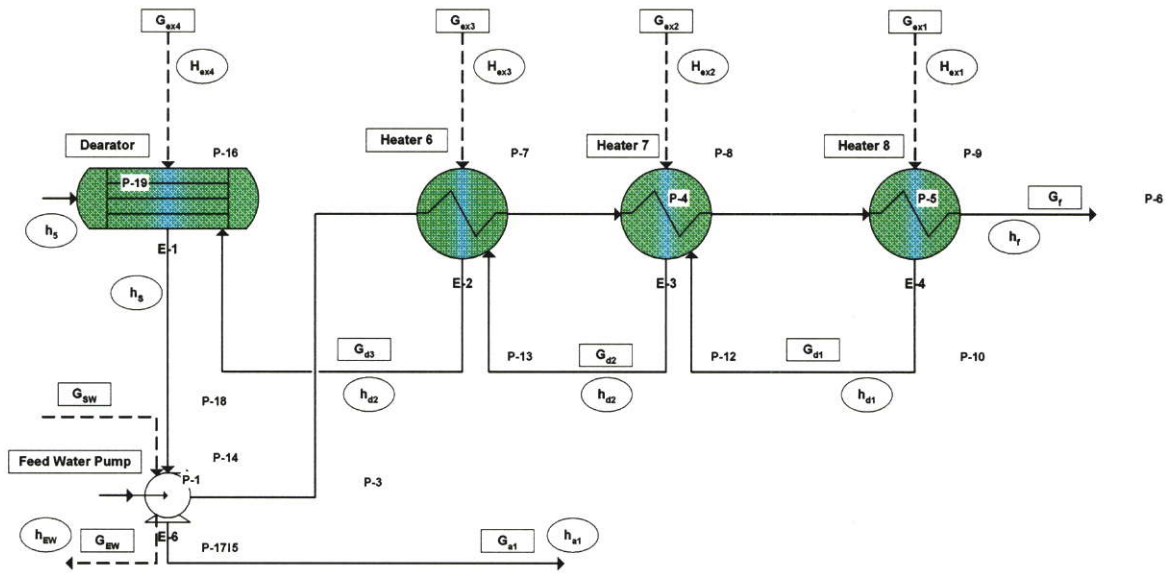
*H<sub>SS</sub>, h<sub>SD</sub>*: เอนทาลปีของ Steam ที่จ่ายและออกจาก Steam air heater

*Q<sub>O</sub>*: อัตราการไหลของ Steam ที่ส่งให้กับ Oil heater

*H<sub>OS</sub>, h<sub>OD</sub>*: เอนทาลปีของ Steam ที่จ่ายและออกจาก Oil heater

*Q<sub>B</sub>*: อัตราการไหลของ Steam สำหรับการทำให้ boiler atomize

*H<sub>BS</sub>, h<sub>BD</sub>*: เอนทาลปีของ Steam ที่จ่ายและออกจากระบบ boiler atomize

3.3.1 การคำนวณหา Feed water flow,  $G_f$  [18]

รูปที่ 3.10 ไลอะแกรมของน้ำก่อนเข้าหม้อต้มไอน้ำ

$$G_f = \frac{(1+e) \times G_c - G_{d1} + \Delta G_{DRTR} - G_{LW}}{1 - (a+b+c+d)} \quad (3.28)$$

เมื่อ

$$a = \frac{h_f - h_2}{H_{ex1} - h_{d1}} \quad (3.39)$$

$$b = \frac{(h_2 - h_3) - (h_{d1} - h_{d2}) \times a}{H_{ex2} - h_{d2}} \quad (3.30)$$

$$c = \frac{(h_3 - h_4) - (h_{d2} - h_{d3}) \times (a+b)}{H_{ex3} - h_{d3}} \quad (3.31)$$

$$d = \frac{(h_s - h_{d3}) \times (a+b+c)}{H_{ex4} - h_s} \quad (3.32)$$

$$e = \frac{h_s - h_5}{H_{ex4} - h_s} \quad (3.33)$$

$$G_{LW} = \frac{h_{EW} - h_{SW}}{h_4 - h_{SW}} \times G_{SW} \quad (3.34)$$

เมื่อ

$G_C$  คือ อัตราการไหลของน้ำจาก Condensate

$\Delta G_{DRTTR}$  คืออัตราการเปลี่ยนแปลงของระดับน้ำใน Deaerator

$G_{a1}$  คือ อัตราไหลของ Reheater Spray Water

$G_{SW}$  คืออัตราไหลเข้าของน้ำที่ใช้หล่อเย็น Boiler Feed Pump

$G_{EW}$  คืออัตราการไหลออกของน้ำที่ใช้หล่อเย็น Boiler Feed Pump

$G_{LW}$  คืออัตราการไหลของน้ำที่รั่วจากระบบหล่อเย็น Boiler Feed Pump

### 3.3.2 Main Steam Flow ( $W_1$ )

Main Steam Flow ( $W_1$ ) = Feed Water Flow ( $G_f$ ) – Unaccounted for change in system storage

Unaccounted flow rate สามารถคำนวณได้จาก make up flow – Burner atomize + Condenser Tank level change+ Deaerator Tank level change –Account Loss

### 3.3.3 Hot reheat Steam Flow ( $W_3$ )

$$W_3 = W_1 - G_L - G_{ex1} - G_{ex2} + G_{a1} - G_{IPC} - G_{BNR} \quad (3.35)$$

เมื่อ

$G_L$  คือ High pressure Leakage flow

$G_{ex1}$  คือ Steam ที่จ่ายเข้า High pressure heater 8

$G_{ex2}$  คือ Steam ที่จ่ายเข้า High pressure heater 7

$G_{a1}$  คือ Reheater Spray flow

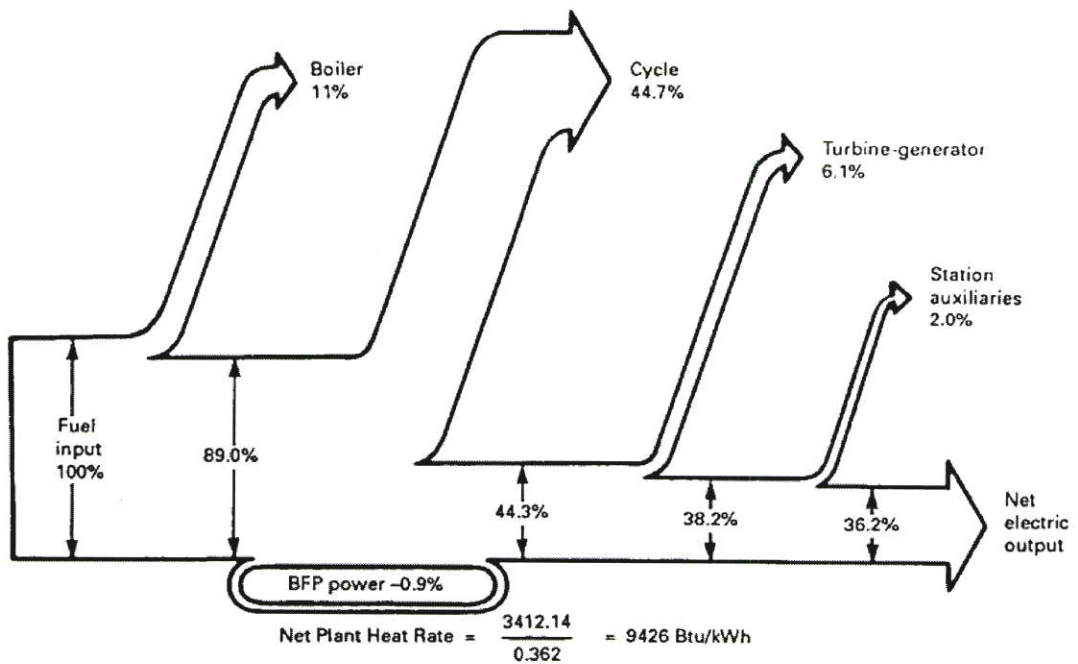
$G_{IPC}$  คือ IP Inlet cooling steam flow

$G_{BNR}$  คือ Steam ที่จ่ายเข้า Burner

### 3.4 สมดุลพลังงานในโรงไฟฟ้าพลังความร้อน

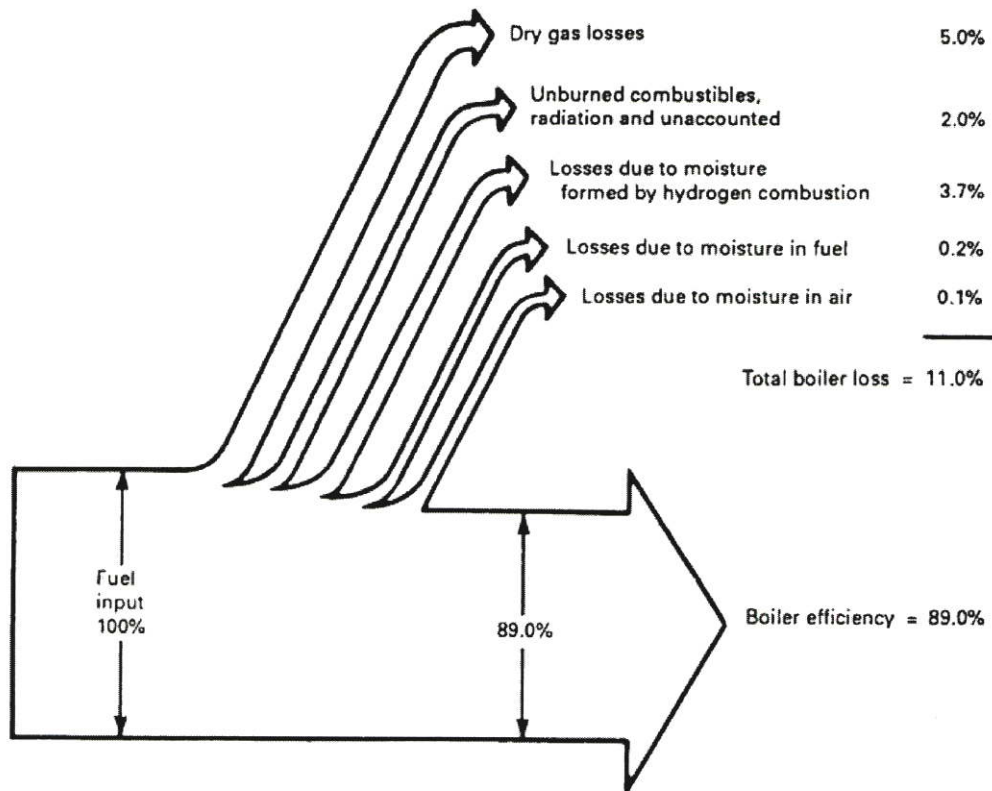
หลักอย่างหนึ่งในการพิจารณาประสิทธิภาพของโรงไฟฟ้าคือการแจกแจงและทำการสมดุลพลังงานทั้งหมดที่เกิดขึ้นในโรงไฟฟ้า โดยวิศวกรประสิทธิภาพโรงไฟฟ้าจะต้องเข้าใจความสัมพันธ์และปริมาณพลังงานที่เกิดขึ้นว่าเกิดขึ้นจากอะไร ถูกใช้ไปในระบบอะไร มีความสูญเสียเกิดขึ้นที่ใดบ้าง เพื่อจะได้พิจารณาต่อไปว่าจะมีมาตรการดำเนินการอย่างไรในการปรับปรุงหรือแก้ไขให้มีประสิทธิภาพที่สูงขึ้น

โดยทั่วไปขนาดของพลังงานสูญเสียในโรงไฟฟ้าจะจำแนกได้คร่าวๆ ตาม Performance Test Code PM-1993 Performance Monitoring Guideline for Steam Power Plant [11] ดังรูปที่ 3.11 แสดงสมดุลพลังงานในโรงไฟฟ้าพลังความร้อน

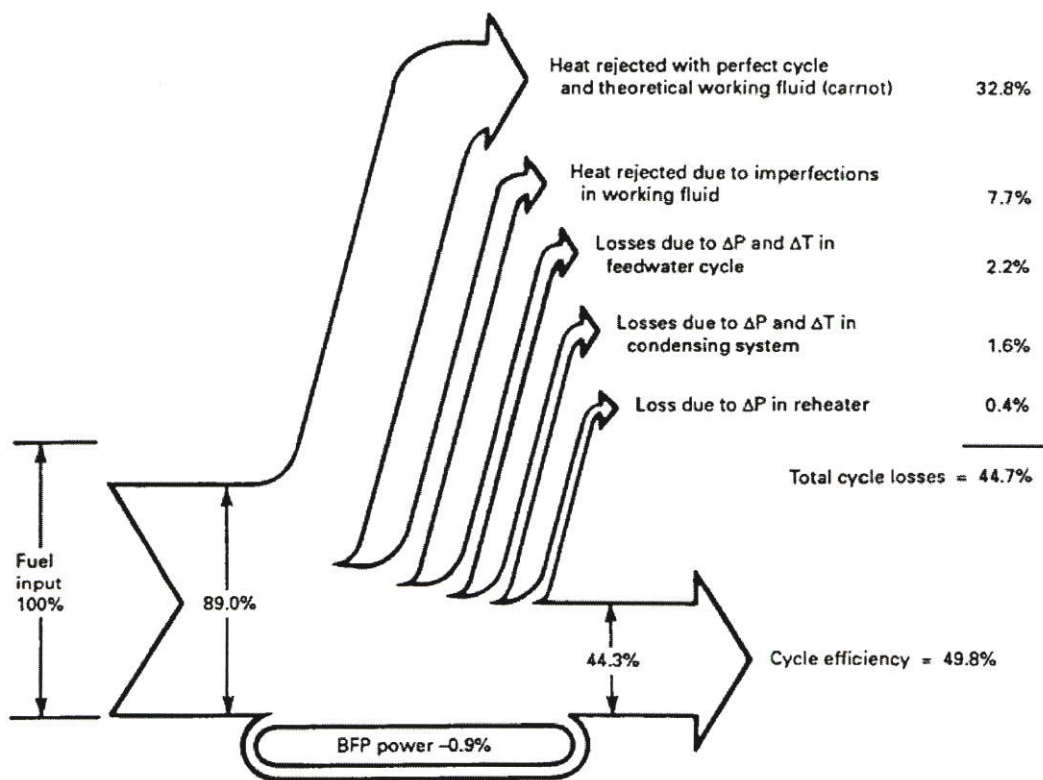


รูปที่ 3.11 แสดงสมดุลพลังงานในโรงไฟฟ้าพลังความร้อน

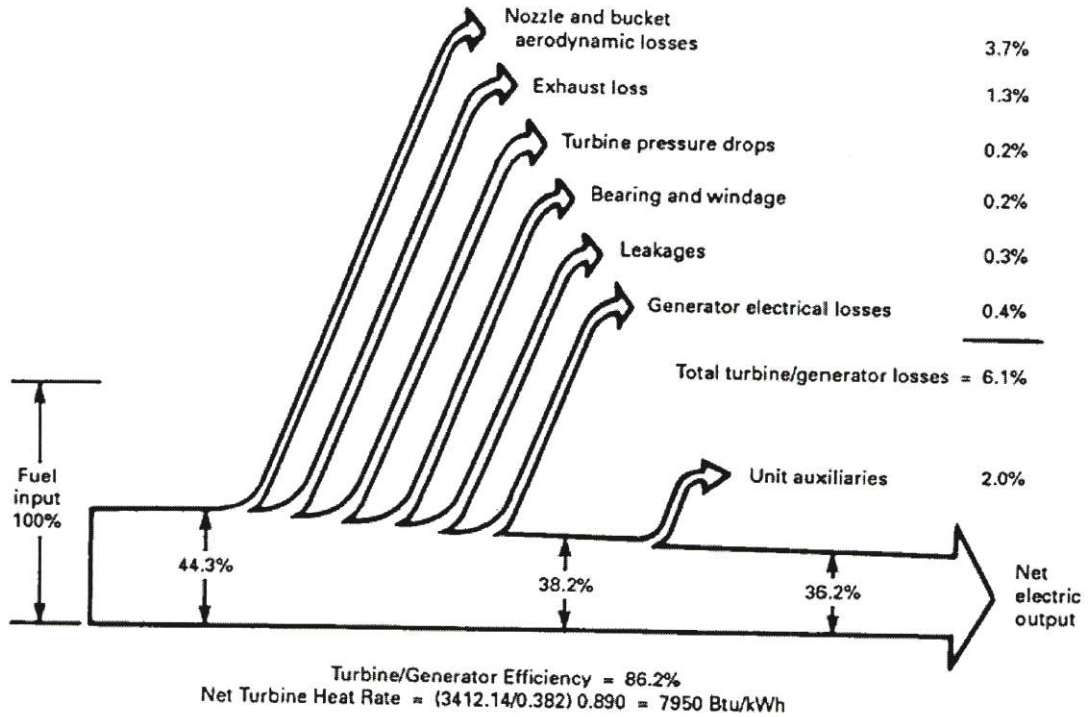
จากสมดุลพลังงานจะเห็นว่าพลังงานจากเชื้อเพลิงใน 100 % จะสูญเสียในหม้อไอน้ำ 11% สูญเสียในวัฏจักร Steam Turbine มากที่สุด 44.7% สูญเสียในการเปลี่ยนรูปพลังงานไอน้ำเป็นพลังงานไฟฟ้า 6.1% และใช้ในระบบเองอีก 2.0% เหลือเป็นพลังงานไฟฟ้าที่ใช้ได้ 36.2% ถ้าพิจารณาโดยละเอียดแยกเฉพาะส่วนของ หม้อไอน้ำและวัฏจักร Steam Turbine จะได้สมดุลพลังงานของหม้อไอน้ำดังแสดงในรูป 3.11 แสดงสมดุลพลังงานในหม้อไอน้ำโรงไฟฟ้าพลังความร้อนและวัฏจักร Steam Turbine แสดงในรูป 3.12 แสดงสมดุลพลังงานในหม้อไอน้ำโรงไฟฟ้าพลังความร้อน



รูปที่ 3.12 แสดงสมดุลย์พลังงานในหม้อไอน้ำโรงไฟฟ้าพลังความร้อน



รูปที่ 3.13 แสดงสมดุลย์พลังงานในวัฏจักร Steam Turbine โรงไฟฟ้าพลังความร้อน



รูปที่ 3.14 แสดงสมมูลย์พลังงานใน Steam Turbine และ Generator โรงไฟฟ้าพลังความร้อน

ในสมมูลย์พลังงานของหม้อไอน้ำ พลังงานจากเชื้อเพลิง 100% จะเปลี่ยนรูปเป็นไอน้ำส่งเข้า Steam Turbine 89% โดยมีพลังงานสูญเสียเกิดขึ้นจากไอเสียแห้งมากที่สุด 5% รองลงมาคือพลังงานแฝงในไอน้ำที่เกิดจากการระบวมการเผาไหม้ 3.7% และพลังงานสูญเสียเนื่องจากการเชื้อเพลิงเผาไหม้ไม่หมดและการแผ่ความร้อน 2.0% พลังงานสูญเสียเนื่องจากน้ำในเชื้อเพลิงและน้ำในอากาศอีก 0.2% และ 0.1% ตามลำดับ

พลังงานสูญเสียจากไอเสียแห้งสามารถลดลงได้โดยการปรับลดอากาศเข้าห้องเผาไหม้ แต่จะมีผลทำให้การเผาไหม้ไม่สมบูรณ์มีผลต่อมลพิษทางอากาศ และจะเพิ่มพลังงานสูญเสียจากการเผาไหม้ไม่หมด การปรับแต่งการเผาไหม้จะต้อง optimize ที่สุดซึ่งปรกติมักจะปรับแต่งโดยวิศวกรจากผู้ผลิตเท่านั้น พลังงานสูญเสียจากไอน้ำทั้งหมดเป็นพลังงานสูญเสียที่เกิดเนื่องจากสถานะของเชื้อเพลิงและสถานะของอากาศ ซึ่งโดยปรกติแล้วไม่สามารถปรับแต่งได้ พลังงานสูญเสียจากการแผ่ความร้อนสามารถลดได้โดยการหุ้มฉนวนให้ดีขึ้นโดยมีการตรวจสอบสภาพทุกปี

รูปที่ 3.13 แสดงสมมูลย์พลังงานของวัฏจักร Steam Turbine โรงไฟฟ้าพลังความร้อน โดยพลังงานไอน้ำจากหม้อไอน้ำ 89% มีการสูญเสียในวัฏจักรคาร์โนต์หรือส่วนของคอนเด็นเซอร์จำนวน 32.8% ความร้อนสูญเสียเนื่องจากความไม่สมบูรณ์ของน้ำตัวกลาง 7.7% ความสูญเสียเนื่องจากระบบน้ำป้อน 2.2% ความสูญเสียเนื่องจากระบบคอนเด็นซิ่ง 1.6% ความสูญเสียจากระบบ Reheater 0.4% โดยรวมแล้วจะเหลือพลังงานจำนวน 44.3% เพื่อใช้งานในระบบ Turbine

สมมูลย์พลังงานในส่วนของ Turbine และ Generator ตามรูปที่ 3.14 จากพลังงาน 44.3% จะสูญเสียไปกับไบทัดและการสูญเสียทางพลศาสตร์ของไอน้ำที่กระทบไบทัด 3.7% สูญเสียเนื่องจาก exhaust 1.3% สูญเสียเนื่องจากแรงดันตกคร่อม Turbine 0.2% สูญเสียเนื่องจากความร้อนใน Bearing และการกั้นรั่ว 0.2% สูญเสียเนื่องจากการรั่วของไอน้ำ 0.3% สูญเสียที่ Generator 0.4% และถูกใช้ไปกับ auxiliary system 2.0%

## บทที่ 4

# ประสิทธิภาพของโรงไฟฟ้าพลังความร้อนร่วม

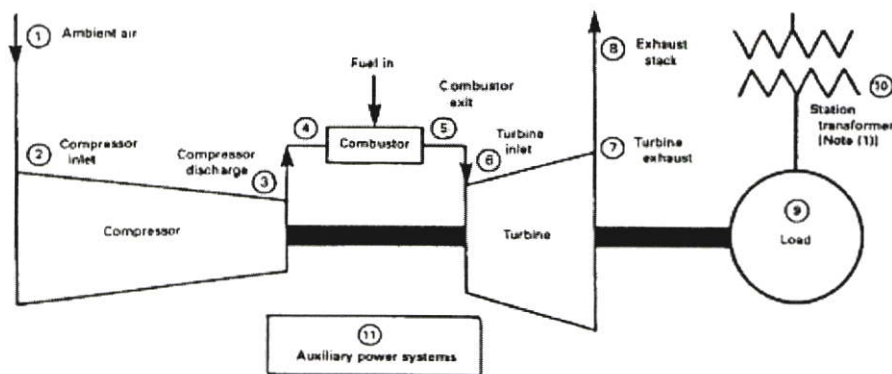
### 4.1 บทนำ

โรงไฟฟ้าพลังความร้อนร่วมประกอบด้วยวัฏจักรการเปลี่ยนรูปพลังงาน 2 วัฏจักรคือวัฏจักรกังหันก๊าซและวัฏจักรกังหันไอน้ำ ซึ่งเป็นการออกแบบเพื่อเพิ่มประสิทธิภาพในการใช้เชื้อเพลิงให้ได้มากที่สุด ในปัจจุบัน โรงไฟฟ้าชนิดนี้เป็นที่นิยมสร้างเป็นจำนวนมากเนื่องจากมีประสิทธิภาพสูงประมาณ 50%-60% และใช้ได้กับเชื้อเพลิงเหลวหรือก๊าซเท่านั้น

โรงไฟฟ้าพลังความร้อนร่วมประกอบด้วยอุปกรณ์หลักหลายตัวเช่น ก๊าซเทอร์ไบน์, หม้อไอน้ำแบบแลกเปลี่ยนความร้อน (Heat Recovery Steam Generator), สตีมเทอร์ไบน์ และคอนเดนเซอร์ บางโรงไฟฟ้าใช้ Cooling tower ในการหล่อเย็นของคอนเดนเซอร์ โรงไฟฟ้าประเภทนี้สามารถเป็นได้ทั้งระบบจ่ายไฟฟ้าและระบบจ่ายไอน้ำให้อุตสาหกรรมหรือที่เรียกกันว่า co-generation การคำนวณประสิทธิภาพของโรงไฟฟ้าชนิดนี้สามารถคำนวณแต่ละชนิดของอุปกรณ์และประสิทธิภาพโดยรวม

### 4.2 ประสิทธิภาพของกังหันก๊าซ (Gas Turbine)

การคำนวณประสิทธิภาพของกังหันก๊าซถูกกำหนดไว้ในมาตรฐาน ASME PTC 22-1997 Performance Test Code on Gas Turbines [14] โดยมีไดอะแกรมอย่างง่ายของระบบการผลิตไฟฟ้ากังหันก๊าซ ดังแสดงในรูปที่ 4.1 แสดงไดอะแกรมอย่างง่ายของโรงไฟฟ้ากังหันก๊าซ



GENERAL NOTE:  
Test scope and boundaries should be determined prior to the test  
(see para. 3.1.1 (m)).

NOTE:  
11) If included in generator drive test.

รูป 4.1 แสดงไดอะแกรมอย่างง่ายของโรงไฟฟ้ากังหันก๊าซ

เครื่องจักรกังหันก๊าซจะทำงาน โดยมีคอมเพรสเซอร์ดูดอากาศเพื่ออัดให้มีความดันและอุณหภูมิสูงเพื่อนำไปเผาไหม้กับเชื้อเพลิงในห้องเผาไหม้ ก๊าซร้อนที่เกิดขึ้นจะมีอุณหภูมิสูงมากประมาณ 1,300 C ซึ่งจะถูกนำไปถ่ายเทพลังงานให้กับกังหันและเปลี่ยนรูปพลังงานเป็นพลังงานกล ผลักให้เพลลาของกังหันหมุนและต่อเข้ากับเครื่องกำเนิดไฟฟ้าเพื่อจ่ายไฟฟ้าเข้าสู่ระบบต่อไป

#### 4.2.1 Gas Turbine Heat Rate

Gas Turbine Heat Rate คืออัตราส่วนของความร้อนขาเข้าต่อกำลังไฟฟ้าที่ผลิตได้ ดังสมการ [19]

$$\text{Gas Turbine Heat Rate} = \frac{W_F LHV_F}{P_{GT}}, \quad \text{BTU/kWh} \quad (4.1)$$

เมื่อ

$W_F$  คืออัตราการไหลของเชื้อเพลิง, SCF/h

$LHV_F$  คือค่าความร้อนของเชื้อเพลิง (Low Heating Value), BTU/SCF

$P_{GT}$  คือกำลังไฟฟ้าที่ผลิตได้, kW

#### 4.2.2 Gas Turbine Efficiency

ประสิทธิภาพของ Gas Turbine คืออัตราส่วนของความร้อนที่ถูกนำไปใช้งาน (ในรูปของไฟฟ้าที่ผลิตได้) ต่อความร้อนในรูปของเชื้อเพลิง ในหน่วยของเปอร์เซ็นต์ ดังสมการ[19]

$$\text{Gas Turbine Efficiency} = 100 \times \frac{3412.14 P_{GT}}{W_F LHV_F}, \quad \% \quad (4.2)$$

### 4.3 ประสิทธิภาพของหม้อไอน้ำแบบแลกเปลี่ยนความร้อน (Heat Recovery Steam Generator, HRSG)

การวัดประสิทธิภาพของ HRSG ถูกกำหนดไว้ในมาตรฐาน ASME PTC 4.4-1981 Gas Turbine Heat Recovery Steam Generator [12] โดยมาตรฐานนี้ระบุวิธีการคำนวณประสิทธิภาพโดยวิธี Input-Output Method และวิธี Loss Method โดยไดอะแกรมการทำงานของหม้อไอน้ำแบบแลกเปลี่ยนความร้อนจากไอเสียแสดงไว้ในรูปที่ 4.2 แสดงไดอะแกรมการทำงานของหม้อไอน้ำแบบแลกเปลี่ยนความร้อน



วิธี Input –Output Method ประสิทธิภาพของ HRSG คืออัตราส่วนของพลังงานขาออกต่อพลังงานขาเข้า มีหน่วยเป็นเปอร์เซ็นต์ พลังงานขาออกคือผลรวมของพลังงานความร้อนทั้งหมดที่จ่ายให้กับน้ำจนกลายเป็นไอน้ำ พลังงานขาเข้าคือพลังงานความร้อนในรูปของก๊าซร้อนจาก Exhaust ของ Gas Turbine รวมกับพลังงานความร้อนจาก Supplemental fuel (ถ่าน) รวมกับความร้อนส่วนเพิ่มที่อื่นๆ เช่นอากาศ, สถานะของเชื้อเพลิงและความร้อนอื่นใดในระบบ โดยใช้อุณหภูมิอ้างอิง ( $t_R$ ) เป็นอุณหภูมิของอากาศก่อนเข้าคอมเพรสเซอร์ของ Gas Turbine ซึ่งแสดงได้ดังสมการ

$$HRSG \text{ Efficiency} = 100 \left( \frac{\text{Heat absorbed by HRSG's Working fluids}}{\text{Heat input from GT, HRSG fuel and Credits}} \right) \quad (4.4)$$

$$HRSG \text{ Efficiency} = 100 \left( \frac{W_{HP}(h_{HP} - h_{FW}) + W_{IP}(h_{IP} - h_{FW}) + W_{LP}(h_{LP} - h_{FW})}{B_{GT} + B_{HRSG\_F} + B_{HRSG}} \right) \quad (4.5)$$

เมื่อ

$W_{HP}, W_{IP}, W_{LP}$  คือ อัตราการไหลของสเต็มที่ความดันต่างกัน, (kg/h)

$H_{HP}, h_{IP}, h_{LP}$  คือ เอนทาลปีของสเต็ม BTU/kg

$H_{FW}$  คือเอนทาลปีของน้ำ feed water, BTU/kg

$B_{GT}$  คือ ความร้อนจาก exhaust ของ Gas Turbine, BTU/h

$B_{HRSG\_F}$  คือความร้อนจาก supplementary fuel (ถ่าน) , BTU/h

$B_{HRSG}$  คือความร้อนส่วนเพิ่ม (Heat credit), BTU/h

วิธีการคำนวณประสิทธิภาพแบบ input-output method ต้องการเครื่องมือวัดหลายๆ ตัว เช่น อุณหภูมิ, ความดัน, อัตราการไหล เพื่อคำนวณความร้อนที่ถูกนำไปใช้งานโดย Working fluid และยังรวมถึง feed water, economizer, blowdown, desuperheat spray, reheat steam ด้วย ดังนั้นสมการที่เกี่ยวข้องจะมีมากขึ้นกว่าที่แสดงไว้ข้างต้น

ความร้อนจาก exhaust ของ Gas Turbine ( $B_{GT}$ ) พิจารณาได้จากการสมดุลความร้อนของ Gas Turbine ซึ่งจะได้ว่า

$$B_{GT} = GLF \{ W_F LHV_F CEF + B_{inj} + B_F - 3412.14(P_{GT} + PL_{GT}) \} \quad (4.6)$$

เมื่อ

$G_{LF}$  คือ อัตราการรั่วของ bypass stack damper

$W_F$  คือ อัตราการไหลของเชื้อเพลิงเข้า Gas Turbine, kg/h

$LHV_F$  คือค่าความร้อนของเชื้อเพลิง (Low Heating Value), BTU/SCF

$CEF$  คือประสิทธิภาพการเผาไหม้ของ Gas Turbine , %

$B_{inj}$  คือ ความร้อนจากการ water injection หรือ steam injection , BTU/h

$B_F$  คือความร้อนจากสถานะของเชื้อเพลิง, BTU/SCF

$P_{GT}$  คือกำลังไฟฟ้าที่ผลิตได้, MW

$P_{LGT}$  คือความสูญเสียทั้งหมดในส่วนของ Generator, MW

3412.14 คือ Conversion factor

## 4.4 ประสิทธิภาพของ Steam Turbine

การคำนวณประสิทธิภาพของ Steam Turbine สำหรับโรงไฟฟ้าพลังความร้อนร่วมถูกกำหนดไว้ในมาตรฐาน ASME PTC 6S-1988 Procedures for Routine Performance Tests of Steam Turbine ซึ่งได้ระบุถึงวิธีการคำนวณของประสิทธิภาพของ Steam Turbine และ วัฏจักรของ Steam ในที่นี้จะกล่าวถึงเฉพาะส่วนของการคำนวณประสิทธิภาพในวัฏจักรของ Steam เท่านั้น

### 4.4.1 Steam Turbine Heat Rate

Steam Turbine Heat Rate กำหนดได้จากสมการดังต่อไปนี้

$$\text{Net Turbine Cycle Heat Rate} = \frac{\text{Heat supplied} - \text{Heat returned}}{\text{Generator Output}} \quad (4.7)$$

*Heat Supplied* คือความร้อนที่จ่ายให้กับวัฏจักรกังหันไอน้ำเป็นพลังความร้อนที่ได้จากสตีมน้ำมาจาก HRSG

*Heat returned* คือความร้อนที่นำกลับเข้าสู่ HRSG ใหม่หลังจากผ่านวัฏจักรแล้ว ได้แก่ความร้อนจาก feed water

*Generator Output* คือกำลังไฟฟ้าที่ผลิตได้จาก Generator

ซึ่งสามารถเขียนเป็นสมการโดยละเอียดได้ดังนี้

$$HR = \frac{W_{HP}h_{HP} + W_{IP}h_{IP} + W_{LP}h_{LP} - W_{FW}h_{FW} - W_{HPP}h_{HPP} - W_{IPP}h_{IPP} - W_{LPP}h_{LPP} + W_{CR}h_{CR}}{P_{ST}} \quad (4.8)$$

เมื่อ

$W_{HP}$  คืออัตราการไหลของ high pressure steam เข้า Turbine, kg/h

$h_{HP}$  คือเอนทาลปีของ high pressure steam เข้า Turbine, BTU/kg

$W_{IP}$  คืออัตราการไหลของ intermediate pressure steam เข้า Turbine, kg/h

$h_{IP}$  คือเอนทาลปีของ intermediate pressure steam เข้า Turbine, BTU/kg

$W_{LP}$  คืออัตราการไหลของ low pressure steam เข้า Turbine, kg/h

$h_{LP}$  คือเอนทาลปีของ low pressure steam เข้า Turbine, BTU/kg

$W_{HPP}$  คืออัตราการไหลของ high pressure steam ออกจาก Turbine, kg/h

$h_{HPP}$  คือเอนทาลปีของ high pressure steam ออกจาก Turbine, BTU/kg

$W_{IPP}$  คืออัตราการไหลของ intermediate pressure steam ออกจาก Turbine, kg/h

$h_{IPP}$  คือเอนทาลปีของ intermediate pressure steam ออกจาก Turbine, BTU/kg

$W_{LPP}$  คืออัตราการไหลของ low pressure steam ออกจาก Turbine, kg/h

$h_{LPP}$  คือเอนทาลปีของ low pressure steam ออกจาก Turbine, BTU/kg

$W_{CR}$  คืออัตราการไหลของคอนเดนเสสเข้าวัฏจักร, kg/h

$h_{CR}$  คือเอนทาลปีของน้ำในคอนเดนเสส, BTU/kg

$P_{ST}$  คือ กำลังไฟฟ้าจาก Steam Turbine Generator , MW

## บทที่ 5

# ระบบคำนวณประสิทธิภาพแบบ Real Time

### 5.1 บทนำ

โรงไฟฟ้าที่ผู้วิจัยได้ศึกษาและทดสอบการคำนวณประสิทธิภาพแบบ Real Time คือโรงไฟฟ้าราชบุรีซึ่งเป็นโรงไฟฟ้าที่มีขนาดใหญ่ที่สุดในเอเชียตะวันออกเฉียงใต้ มีกำลังผลิตรวมทั้งหมด 3,645 เมกกะวัตต์ประกอบด้วยโรงไฟฟ้าพลังความร้อนขนาด 735 MW จำนวน 2 โรงและโรงไฟฟ้าพลังความร้อนร่วมขนาด 725 MW จำนวน 3 โรง โดยโรงไฟฟ้าพลังความร้อนสามารถเดินเครื่องด้วยก๊าซธรรมชาติและน้ำมันเตาและโรงไฟฟ้าพลังความร้อนร่วมเดินเครื่องด้วยก๊าซธรรมชาติเป็นเชื้อเพลิงหลักมีน้ำมันดีเซลเป็นเชื้อเพลิงสำรอง โรงไฟฟ้าทั้ง 5 โรงมีสัญญาซื้อขายไฟฟ้า [3,4] กับการไฟฟ้าฝ่ายผลิตแห่งประเทศไทย เป็นระยะเวลา 25 ปี

ผู้วิจัยได้ใช้ข้อมูลจากสัญญาซื้อขายไฟฟ้า, มาตรฐานการทดสอบของ กฟผ., มาตรฐานการทดสอบ Performance Test Code ที่เกี่ยวข้อง [10-16] และมาตรฐานการทดสอบของผู้ผลิต [17-19] ดังรายละเอียดที่กล่าวไปแล้วในบทที่ 2,3 และ 4 และพัฒนาระบบข้อมูล Real Time จากระบบควบคุมโรงไฟฟ้า (DCIS) มาสร้างโปรแกรมคำนวณประสิทธิภาพแบบ Real Time และนำมาแสดงผลในคอมพิวเตอร์ส่วนบุคคลผ่านระบบเครือข่าย เพื่อให้ผู้ใช้งานทั้งที่เป็นวิศวกรเดินเครื่องประจำในโรงไฟฟ้าและผู้บริหาร สามารถใช้ประโยชน์ในการติดตามตรวจสอบและควบคุมประสิทธิภาพของโรงไฟฟ้าได้ตลอดเวลา

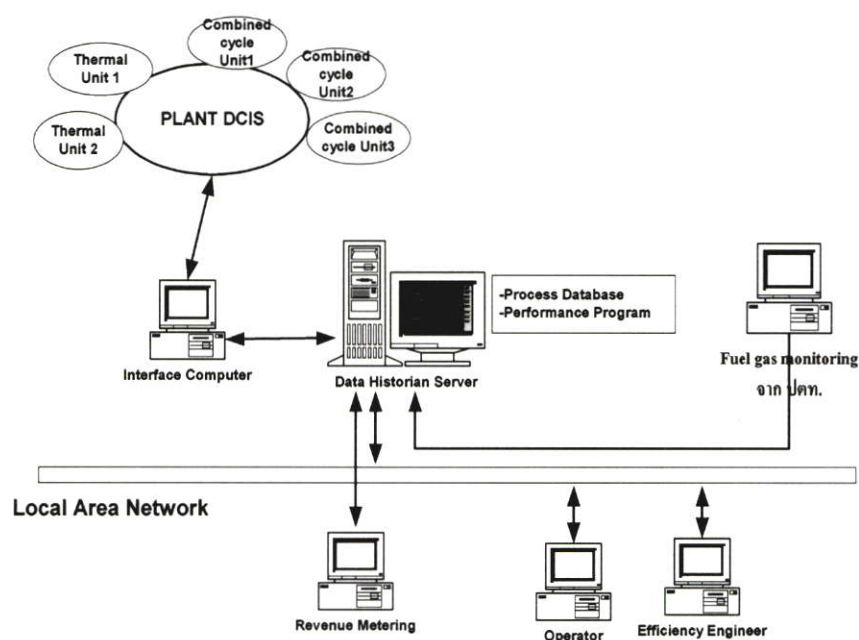
### 5.2 โครงสร้างของระบบ

โครงสร้างของระบบตามรูปที่ 5.1 โครงสร้างระบบคำนวณประสิทธิภาพโรงไฟฟ้าแบบ Real Time ประกอบด้วย

1. Plant DCIS คือระบบควบคุมการเดินเครื่องของโรงไฟฟ้า
2. Interface Computer ทำหน้าที่เป็นตัวกลางติดต่อระหว่าง Plant DCIS กับ Data Historian Server
3. Data Historian Server ทำหน้าที่เป็น Process database ซึ่งจะเก็บข้อมูลพารามิเตอร์ที่จำเป็นสำหรับการคำนวณประสิทธิภาพของโรงไฟฟ้าไว้และเก็บข้อมูลประสิทธิภาพที่ได้จากการคำนวณแบบ Real time

4. Real Time Performance Program ทำงานโดยใช้ข้อมูลจาก Data Historian Server มาคำนวณหาประสิทธิภาพของแต่ละระบบ และส่งผลการคำนวณกลับไป Server
5. Revenue Metering จะอ่านค่า Net MW ที่โรงไฟฟ้าจ่ายเข้าระบบจาก Revenue Meter
6. Operator เป็นคอมพิวเตอร์แสดงผลการคำนวณประสิทธิภาพโรงไฟฟ้าแจ้งให้ Operator ทราบ
7. Efficiency Engineer เป็นคอมพิวเตอร์แสดงผลการคำนวณประสิทธิภาพให้หน่วยงานแผนการผลิตและประสิทธิภาพโรงไฟฟ้าเพื่อตรวจสอบระบบที่ประสิทธิภาพลดลงกว่าเดิมและเป็นแนวทางในการปรับปรุงแก้ไข

ข้อมูลค่าพารามิเตอร์ในการคำนวณประสิทธิภาพจากระบบ DCIS ของโรงไฟฟ้าทั้งโรงไฟฟ้าพลังความร้อน 2 โรงและโรงไฟฟ้าพลังความร้อนร่วม 3 โรงจะถูกอ่านด้วย Interface Computer และนำไปเก็บไว้ที่คอมพิวเตอร์ฐานข้อมูล ซึ่งจะทำงานโดยโปรแกรมประมวลผลประสิทธิภาพตามวิธีการในสัญญาซื้อขายไฟฟ้า (PPA) และตามมาตรฐาน ASME Performance Test Code โดยโปรแกรมจะทำการคำนวณทุกๆ นาที และนำผลที่ได้แสดงแก่วิศวกรประสิทธิภาพและวิศวกรเดินเครื่องให้ทราบค่าประสิทธิภาพแบบ Real Time เพื่อเป็นประโยชน์ในการวางแผนการผลิตและการเดินเครื่องให้ประหยัดเชื้อเพลิงและเป็นประโยชน์ในการวางแผนบำรุงรักษาเพื่อซ่อมแซมอุปกรณ์ที่เสื่อมสภาพก่อนกำหนด



รูปที่ 5.1 โครงสร้างระบบคำนวณประสิทธิภาพโรงไฟฟ้าแบบ Real Time

### 5.3 ระบบควบคุมของโรงไฟฟ้าพลังความร้อน

ในโรงไฟฟ้าพลังความร้อนผู้วิจัยได้ติดตั้ง Interface Computer 1 เครื่องต่อเข้ากับระบบ DCIS ของโรงไฟฟ้าที่ Common Control Loop โดยติดตั้งผ่าน RS-232 port เข้ากับ Computer Interface Unit ของ DCIS ดังแสดงในรูป 5.2-5.4 Interface Computer จะต่อกับเข้าระบบฐานข้อมูล Plant Information ของโรงไฟฟ้าพลังความร้อนผ่านทางระบบ LAN และโปรแกรมคำนวณประสิทธิภาพจะนำข้อมูลพารามิเตอร์ต่างๆ ที่ใช้ในการคำนวณไปประมวลผลต่อตามสมการที่ได้อธิบายไปแล้ว และนำไปแสดงผลต่อไป

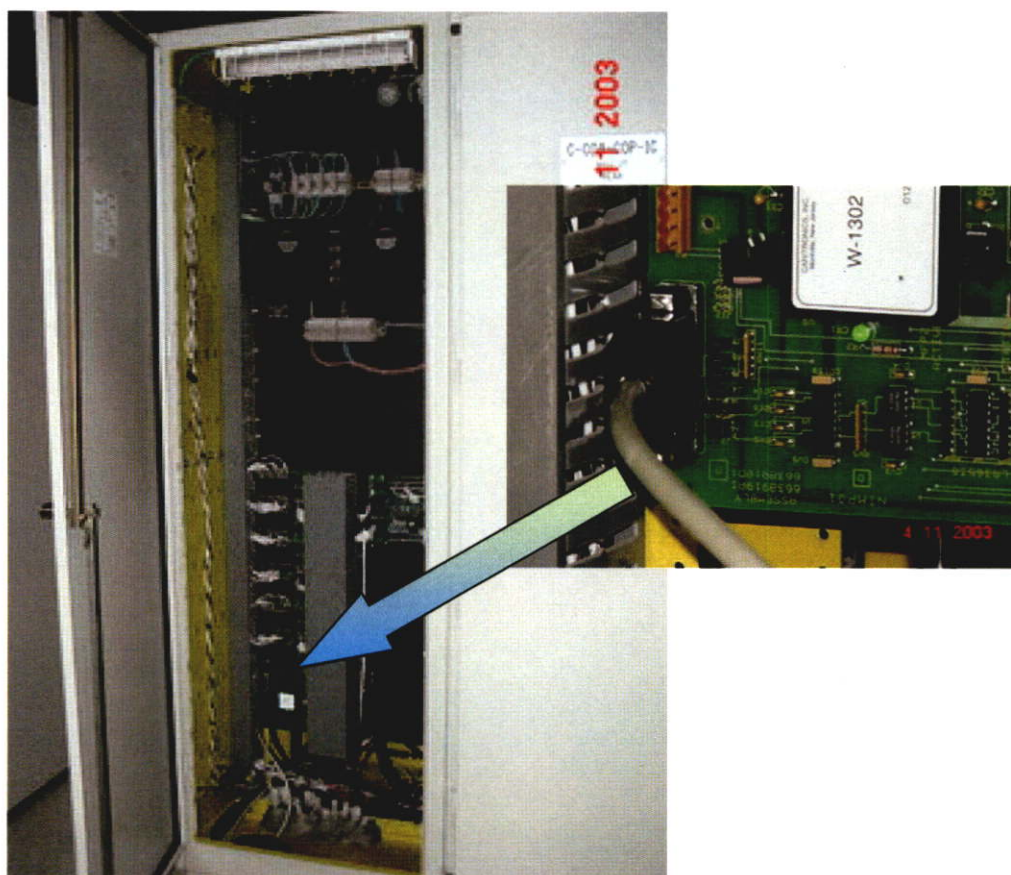
จากรูปที่ 5.5 การต่อระบบ Real Time Performance เข้ากับระบบควบคุมโรงไฟฟ้าพลังความร้อน คอมพิวเตอร์ Database จะเก็บข้อมูลของโรงไฟฟ้าเพื่อส่งข้อมูลให้กับโปรแกรมคำนวณประสิทธิภาพและเก็บผลลัพธ์การคำนวณไว้เพื่อใช้ในการแสดงผลและวิเคราะห์ต่อไป



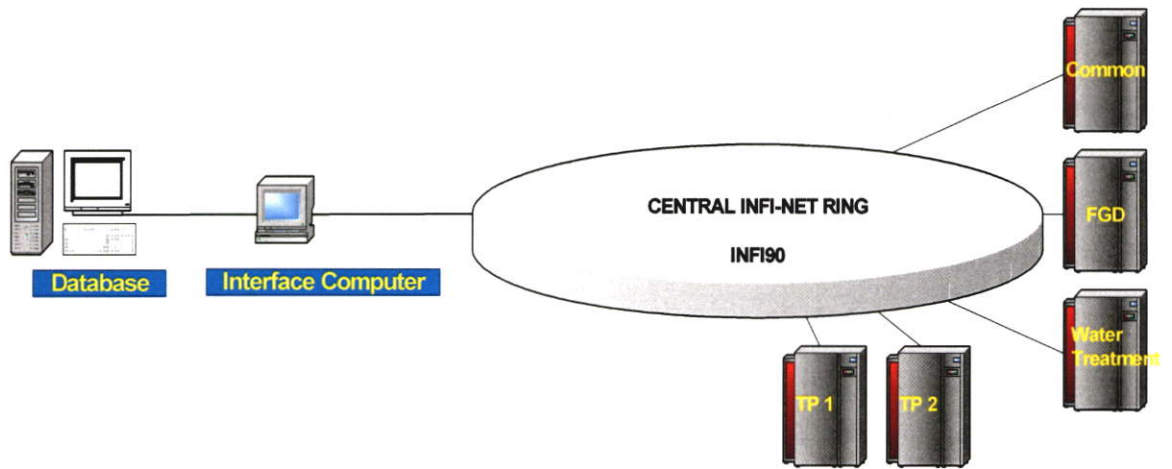
รูปที่ 5.2 แสดงตู้ DCIS สำหรับต่อ Interface computer



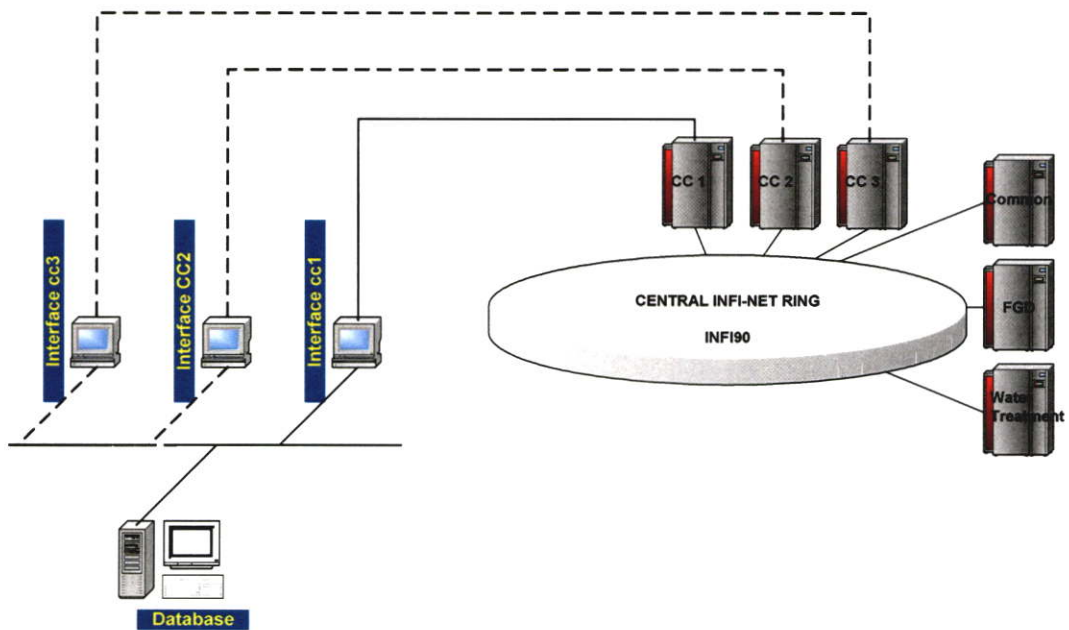
รูปที่ 5.3 แสดงการ์ด Computer Interface Unit INICT12



รูปที่ 5.4 แสดงการต่อ port RS-232 เข้ากับระบบ DCIS



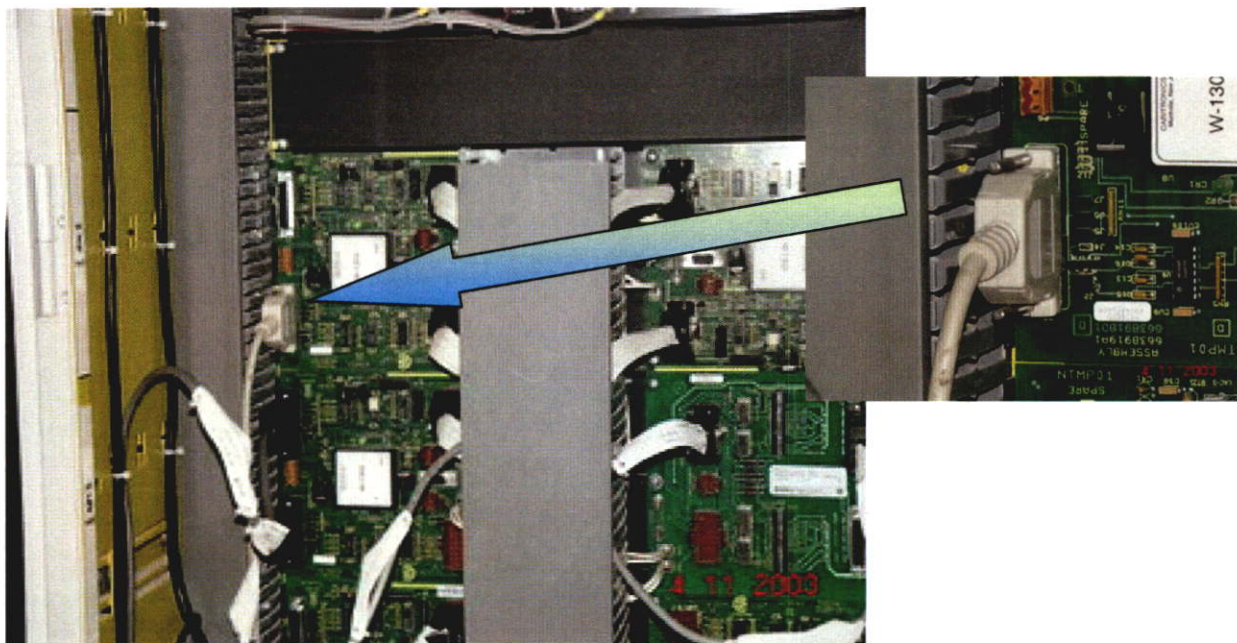
รูปที่ 5.5 การต่อระบบ Real Time Performance เข้ากับระบบควบคุมโรงไฟฟ้าพลังความร้อน



รูปที่ 5.6 การต่อระบบ Real Time Performance เข้ากับระบบควบคุมโรงไฟฟ้าพลังความร้อนร่วม



รูปที่ 5.7 แสดง Computer Interface Card INICT01 ของโรงไฟฟ้าพลังความร้อนร่วม



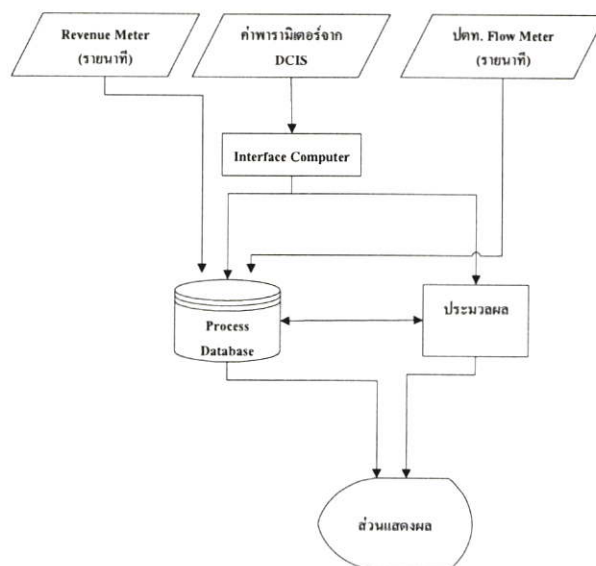
รูปที่ 5.8 แสดงการต่อ port RS-232 เข้ากับระบบ DCIS

## 5.4 ระบบควบคุมโรงไฟฟ้าพลังความร้อนร่วม

ผู้วิจัยได้ติดตั้ง Interface Computer จำนวน 1 ตัวต่อเข้ากับระบบควบคุม DCIS ของโรงไฟฟ้าพลังความร้อนร่วม 3 โรง ตามรูปที่ 5.6 การต่อระบบ Real Time Performance เข้ากับระบบควบคุมโรงไฟฟ้าพลังความร้อนร่วม เพื่อใช้ดึงข้อมูลและพารามิเตอร์ต่างๆ ผ่าน port RS-232 ต่อเข้ากับ Computer Interface Unit CIU01 ดังแสดงในรูปที่ 5.7 แสดง Computer Interface Card INICT01 ของโรงไฟฟ้าพลังความร้อนร่วม และรูปที่ 5.8 แสดงการต่อ port RS-232 เข้ากับระบบ DCIS ข้อมูลที่ได้จะเก็บไว้ที่คอมพิวเตอร์ฐานข้อมูลก่อนนำไปประมวลผลต่อไป (หมายเหตุ ในรูปจะมี Interface computer 3 ตัว เนื่องจากพบว่าเมื่อใช้งานข้อมูลจำนวนมากแล้วทำให้บางครั้ง Card จะเกิด traffic และหยุดส่งข้อมูลหลายครั้ง ผู้วิจัยจึงวางแผนจะเพิ่มการ interface ให้ใช้แยกกันในแต่ละโรง เพื่อลดความคับคั่งของสัญญาณ

## 5.5 ลำดับการทำงานของระบบ Real Time Performance Calculation

ข้อมูลจากระบบควบคุมโรงไฟฟ้าตามรูปที่ 5.5 และรูปที่ 5.6 จะถูกส่งเข้าระบบ ฐานข้อมูล (Process Database) และโปรแกรมประมวลผลจะนำพารามิเตอร์ต่างๆ ไปคำนวณตามวิธีที่อธิบายไปแล้วในบทที่ผ่านมา เมื่อได้ผลลัพธ์จะนำเข้าไปเก็บในฐานข้อมูลตัวเดิม เพื่อให้ส่วนแสดงผลนำข้อมูลไปแสดงต่อไป ดังแสดงในรูปที่ 5.9 โฟลว์ชาร์ตการทำงานอย่างย่อของระบบ Real Time Performance



รูปที่ 5.9 โฟลว์ชาร์ตการทำงานอย่างย่อของระบบ Real Time Performance

ผู้วิจัยได้แบ่งการเขียนโปรแกรมออกเป็น 2 โปรแกรมคือโปรแกรมส่วนประมวลผลและโปรแกรมส่วนแสดงผล ทั้งสองโปรแกรมเป็นอิสระต่อกัน เพื่อให้สามารถพัฒนาเพิ่มเติมแยกส่วนได้ง่ายในอนาคต และสามารถเลือกได้ว่าจะปรับปรุงโปรแกรมใดให้เหมาะสมกับโรงไฟฟ้าที่จะใช้งาน

### 1. โปรแกรมประมวลผลประสิทธิภาพ

โปรแกรมประมวลผลประสิทธิภาพ พัฒนาด้วยวิชวลเบสิก เวอร์ชัน 6 บนวินโดวส์แพลตฟอร์ม ซึ่งเป็น OS ที่เป็นมาตรฐานและใช้งานได้ทั่วไปโดยไม่ต้องจัดซื้อโปรแกรมอื่นๆ เพิ่มเติม โปรแกรมประมวลผลจะอ่านข้อมูลพารามิเตอร์โรงไฟฟ้าผ่านทางฐานข้อมูลโรงไฟฟ้า โดยใช้การต่อเชื่อม(Interface Connection) แบบ OLE DB ซึ่งเป็นมาตรฐานการต่อเชื่อมฐานข้อมูลที่ใช้งานกับฐานข้อมูลได้แทบทุกชนิด ทำให้ไม่ผูกติดกับระบบฐานข้อมูลชนิดใดชนิดหนึ่ง การอ่านข้อมูลจะ refresh ข้อมูลทุกๆ นาทีอย่างต่อเนื่อง เพื่อนำมาประมวลผลตามสมการที่กล่าวไว้ในบทที่ผ่านมา โดยข้อมูลพารามิเตอร์ที่นำเข้าประกอบสัญญาณจากโรงไฟฟ้างดังต่อไปนี้

#### 1.1 PPA Efficiency

ตารางที่ 5.1 Input parameter tag ของการคำนวณ PPA Efficiency

Type	Tag name	Description
Power Output	T1TGBTRD5-N	Thermal Unit #1 Net MW Output
	T2TGBTRD5-N	Thermal Unit #2 Net MW Output
	C1APLJT001	Combined Cycle Unit #1 Net MW Output
	C2APLJT001	Combined Cycle Unit #2 Net MW Output
	C3APMJT001	Combined Cycle Unit #3 Net MW Output
Fuel gas Flow	T1FGAFT1B-ASCF	Thermal Unit #1 Fuel gas flow
	T2FGAFT1B-ASCF	Thermal Unit #2 Fuel gas flow
	C1FGAFT1ASCF	Combined cycle Block1 GT 1A Fuel gas flow
	C1FGAFT1BSCF	Combined cycle Block1 GT 1B Fuel gas flow
	C2FGAFT1ASCF	Combined cycle Block2 GT 1A Fuel gas flow
	C2FGAFT1BSCF	Combined cycle Block2 GT 1B Fuel gas flow
	C3FGAFT1ASCF	Combined cycle Block2 GT 1A Fuel gas flow
	C3FGAFT1BSCF	Combined cycle Block2 GT 1B Fuel gas flow
Heating Value	PTTFGSHHVMIN	PTT Fuel gas Heating Value (SAT)

ตารางที่ 5.2 Output tag ของการคำนวณ PPA Efficiency

Type	Tag name	Description
Heat Rate	T1HR_ACTUAL	Thermal Unit #1 Net Actual Heatrate
	T1HR_TARGET	Thermal Unit #1 Net Target Heatrate
	T2HR_ACTUAL	Thermal Unit #2 Net Actual Heatrate
	T2HR_TARGET	Thermal Unit #2 Net Target Heatrate
	C1HR_ACTUAL	Combined Cycle Block1 Net Actual Heatrate
	C1HR_TARGET	Combined Cycle Block1 Net Target Heatrate
	C2HR_ACTUAL	Combined Cycle Block2 Net Actual Heatrate
	C2HR_TARGET	Combined Cycle Block2 Net Target Heatrate
	C3HR_ACTUAL	Combined Cycle Block3 Net Actual Heatrate
	C3HR_TARGET	Combined Cycle Block3 Net Target Heatrate
Efficiency	T1EFF_ACTUAL	Thermal Unit #1 Net Actual Efficiency
	T1EFF_TARGET	Thermal Unit #1 Net Target Efficiency
	T2EFF_ACTUAL	Thermal Unit #2 Net Actual Efficiency
	T2EFF_TARGET	Thermal Unit #2 Net Target Efficiency
	C1EFF_ACTUAL	Combined Cycle Block1 Net Actual Efficiency
	C1EFF_TARGET	Combined Cycle Block1 Net Target Efficiency
	C2EFF_ACTUAL	Combined Cycle Block2 Net Actual Efficiency
	C2EFF_TARGET	Combined Cycle Block2 Net Target Efficiency
	C3EFF_ACTUAL	Combined Cycle Block3 Net Actual Efficiency
	C3EFF_TARGET	Combined Cycle Block3 Net Target Efficiency

## 1.2 Thermal Plant Efficiency

ตารางที่ 5.3 Input tag ของการคำนวณ Thermal Plant Boiler Efficiency (Unit #1)

Type	Tag name	Description
Power	T1TGBTRD5-N	Thermal Unit #1 Net MW Output
	T1CCEFAN10A.IK	GRF Power Consumption A
	T1CCEFAN10B.IK	GRF Power Consumption B
Fuel gas Property	PTTFGSHHVMIN	PTT Fuel gas Heating Value (SAT)
	CCFGAYHR1001A	PTT Fuel gas % MOLE NO2
	CCFGAYHR1003A	PTT FUEL GAS % MOLE CO2
	CCFGAYHR1005A	PTT FUEL GAS % MOLE METHANE
	CCFGAYHR1007A	PTT FUEL GAS % MOLE ETHANE
	CCFGAYHR1009A	PTT FUEL GAS % MOLE PROPANE
	CCFGAYHR1011A	PTT FUEL GAS % MOLE I-BUTANE
	CCFGAYHR1013A	PTT FUEL GAS % MOLE N-BUTANE
	CCFGAYHR1015A	PTT FUEL GAS % MOLE I-PENTANE
	CCFGAYHR1017A	PTT FUEL GAS % MOLE N-PENTANE
	CCFGAYHR1019A	PTT FUEL GAS % MOLE C6+ 47/35/17
	CCFGAYHR1021A	PTT FUEL GAS HEATING VAL GROSS BTU DRY
	CCFGAYHR1023A	PTT FUEL GAS HEATING VALUE NET BTU DRY
	CCFGAYHR1025A	PTT FUEL GAS RELATIVE DENSITY GAS CORR
	T1FGAFT101.B-A	Fuel gas flow
	T1FGATE.102B	Fuel gas temperature
Dry Flue gas Property	T1SGAANZ105A-C	CO Content Analyzer
	T1SAAANZ101-BA	Oxygen Content Analyzer
	T1GGAIS0009.B	SO2 Content Analyzer
	T1GGAIS0001	NOX Content Analyzer
	T1GGAIS0008	Flue gas temperature
Ambient Air	T1SGBTE.112A-A	Reference Air Temperature
	CCCCPT200	Atmospheric Pressure
Air Heater	T1SGBTE.104A-A	Air Heater Inlet Temperature
	T1SGBTE.107A-A	Air Heater Outlet Temperature

**ตารางที่ 5.4** Output tag ของการคำนวณ Thermal Plant Boiler Efficiency (Unit #1)

Type	Tag name	Description
Efficiency	T1BLREFF	Thermal Unit #1 Boiler Efficiency
	T1BLRQout	Thermal Unit #1 Boiler Output

ในกรณีของ Thermal Unit 2 จะมี Tag name เช่นเดียวกันแต่ต่างที่ T1 จะเปลี่ยนเป็น T2 เช่น T1TGBTRD5-N เป็น Tag name ของ Unit1, T2TGBTRD5-N เป็น Tag name ของ Unit 2

**ตารางที่ 5.5** Input tag ของการคำนวณ Thermal Plant Steam Turbine Efficiency (Unit #1)

Type	Tag name	Description
Power	T1TGBTRD5-N	Thermal Unit #1 Net MW
Steam/Water flow	T1SAHFT.101A	Air Heating Steam Flow
	T1PSA.FT.401	Burner steam flow
	T1FWFFT.501	Make up water flow
	T1FWAFT.404A	RH Spray water flow
	T1FWCFT.3	Condensate water flow
Steam/Water pressure	T1SGGPT.257A	Main steam pressure
	T1SGJPT.354A	Hot reheat steam pressure
	T1SGJPT.351A	Cold reheat steam pressure
	T1FWAPT.503	BFP outlet feed water pressure
	T1FWAPT.504A	DEA. Outlet feed water pressure
	T1FWAPT.503	BFP outlet feed water pressure
	T1TEAPT.1A	8HTR extraction steam pressure
	T1TEAPT.3A	6HTR extraction steam pressure
	T1TEAPT.4	DEA. Extraction steam pressure

ตารางที่ 5.6 Input tag ของการคำนวณ Thermal Plant Steam Turbine Efficiency (Unit #1)

Type	Tag name	Description
Steam/Water temperature	T1SGGTE.205A	Main steam temperature
	T1SGJTE.313A	Hot reheat steam temperature
	T1SGJTE.320A	Cold reheat steam temperature
	T1FWATE.410	Final feed water temperature
	T1FWATE.508A	7HTR outlet feed water temperature
	T1FWATE.507A	6HTR outlet feed water temperature
	T1FWATE.501A	DEA. Outlete feed water temperature
	T1FWATE.402	RH spray water temperature
	T1FWATE.302A	6HTR inlet feed water temperature
	T1TEATE.2A	8HTR extraction steam temperature
	T1TEATE.5A	6HTR extraction steam temperature
	T1TEATE.7	DEA extraction steam temperature
	T1TEDTE.1A	8HTR drain temperature
	T1TEDTE.2A	7HTR drain temperature
	T1TEDTE.3A	6HTR drain temperature
	T1FWCTE.501	Make up water temperature
	T1SAHTE.101A	Air heating drain temperature
	T1FWCTE.10	4HTR outlet condensate water temperature

ตารางที่ 5.7 Output tag ของการคำนวณ Thermal Plant Steam Turbine Efficiency (Unit #1)

Type	Tag name	Description
Heatrate	T1SteamHR	Steam Turbine Heat rate
Efficiency	T1SteamEff	Steam Turbine Efficiency

## 2. โปรแกรมแสดงผลประสิทธิภาพ

โปรแกรมแสดงผลประสิทธิภาพ พัฒนาด้วยวิซวลเบสิก เวอร์ชัน 6 บนวินโดวส์แพลตฟอร์ม เช่นเดียวกับโปรแกรมประมวลผลประสิทธิภาพ โดยโปรแกรมจะติดต่อกับฐานข้อมูลโรงไฟฟ้า ผ่านทาง interface connection แบบ OLE DB ซึ่งจะอ่าน Tag name output ที่ผ่านการคำนวณแล้ว จากตารางข้างต้น มาแสดงผลเป็นภาพกราฟฟิคและกราฟ

ตารางที่ 5.8 ตัวอย่างข้อมูล Input ของโปรแกรม

Tag name	30 ต.ค. 2550 08:31 น.	4 ต.ค. 2550 03:00 น.
C1APLJT001	699.81	509.73
C2APLJT001	629.53	494.59
C3APMJT001	630.91	492.87
C1FGAFT1ASCF	2,935.19	2,221.22
C1FGAFT1BSCF	2,829.83	2,152.68
C2FGAFT1ASCF	2,615.60	2,106.46
C2FGAFT1BSCF	2,635.12	2,150.54
C3FGAFT1ASCF	2,646.70	2,124.53
C3FGAFT1BSCF	2,661.09	2,124.53
PTTFGSHHVMIN	833.46	833.31

ตารางที่ 5.9 ตัวอย่างข้อมูล Output ของอัตราการใช้เชื้อเพลิงและประสิทธิภาพ

Tag name	30 ต.ค. 2550 08:31 น.	4 ต.ค. 2550 03:00 น.
C1HR_ACTUAL	6,866.01	7,150.53
C1HR_TARGET	7,029.86	7,290.68
C2HR_ACTUAL	6,951.62	7,172.37
C2HR_TARGET	7,087.24	7,295.69
C3HR_ACTUAL	7,011.86	7,183.96
C3HR_TARGET	7,077.21	7,314.47
C1EFF_ACTUAL	49.70	47.72
C1EFF_TARGET	48.54	46.80
C2EFF_ACTUAL	49.08	47.57
C2EFF_TARGET	48.14	46.77
C3EFF_ACTUAL	48.66	47.50
C3EFF_TARGET	48.21	46.65

## บทที่ 6

# การแสดงผลและการวิเคราะห์ประสิทธิภาพ

### 6.1 บทนำ

ในบทนี้จะแสดงถึงการนำค่าประสิทธิภาพและอัตราการใช้เชื้อเพลิงที่ได้คำนวณมาแล้วในโปรแกรมประมวลผลซึ่งเก็บไว้ในฐานข้อมูลโรงไฟฟ้า มาแสดงผลในรูปแบบต่างๆ การแสดงผลสามารถทำได้หลายรูปแบบขึ้นอยู่กับความต้องการของผู้ใช้งานโดยวิทยานิพนธ์ นี้แสดงการใช้งานผ่านโปรแกรมวิซวลเบสิก ซึ่งติดต่อฐานข้อมูล SQL database ผ่านทาง OLE DB การแสดงผลสามารถนำข้อมูลสถานะการผลิตของโรงไฟฟ้า, สถานะการใช้เชื้อเพลิงของโรงไฟฟ้า, ประสิทธิภาพของโรงไฟฟ้าเปรียบเทียบกับสัญญาซื้อขายไฟฟ้า, ประสิทธิภาพของหม้อต้มไอน้ำ, ประสิทธิภาพของกังหันไอน้ำ เป็นต้น

การแสดงผลจะเน้นรูปแบบที่ง่ายและให้ข้อมูลที่ชัดเจนและทำงานบนเครื่องคอมพิวเตอร์ทั่วไป เพื่อให้ผู้ใช้งานอื่นๆ นอกเหนือจากวิศวกรเดินเครื่อง ได้ทราบข้อมูลของโรงไฟฟ้าเช่นเดียวกัน ทำให้เพิ่มศักยภาพการใช้ประโยชน์ของข้อมูลโรงไฟฟ้า ไปยังหน่วยงานต่างๆ เพื่อให้สามารถช่วยวิเคราะห์และหาแนวทางปรับปรุงการเดินเครื่องให้ดียิ่งขึ้นไปอีก

### 6.2 การแสดงผลสถานะการผลิตและภาพรวมของระบบ

ส่วนแสดงผลจะแสดงผลค่าสถานะการผลิตดังรูปที่ 6.1 สถานะกำลังผลิตปัจจุบันของโรงไฟฟ้าแห่งหนึ่ง เมื่อวันที่ 1 กรกฎาคม 2546 ผู้ใช้งานสามารถตรวจสอบและติดตามกำลังการผลิตของโรงไฟฟ้าแต่ละโรงได้ในหน้าจอเดียวกัน และยังสามารถดูข้อมูลสถานะการผลิตย้อนหลังของโรงไฟฟ้าทั้งหมดได้อีกด้วย

หมายเลข 1 แสดงกำลังผลิตโดยรวมของโรงไฟฟ้าแห่งหนึ่ง

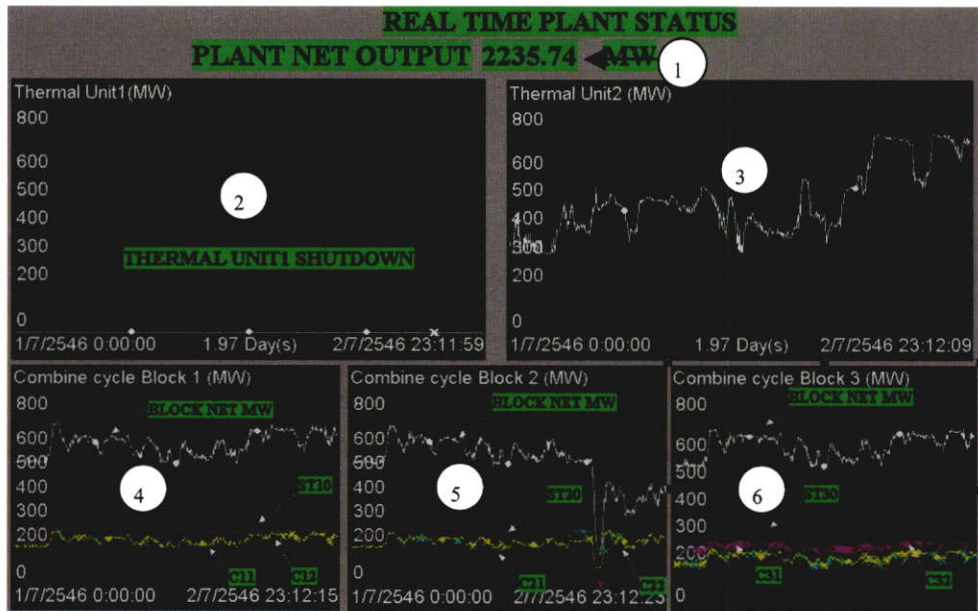
หมายเลข 2 กราฟแสดงปริมาณไฟฟ้าที่ผลิตได้ของโรงไฟฟ้าพลังความร้อนเครื่องที่ 1 (ในขณะนี้กำลังอยู่ระหว่างหยุดเดินเครื่องเพื่อซ่อมอุปกรณ์)

หมายเลข 3 กราฟแสดงปริมาณไฟฟ้าที่ผลิตได้ของโรงไฟฟ้าพลังความร้อนเครื่องที่ 2

หมายเลข 4 กราฟแสดงปริมาณไฟฟ้าที่ผลิตได้ของโรงไฟฟ้าพลังความร้อนร่วมเครื่องที่ 1

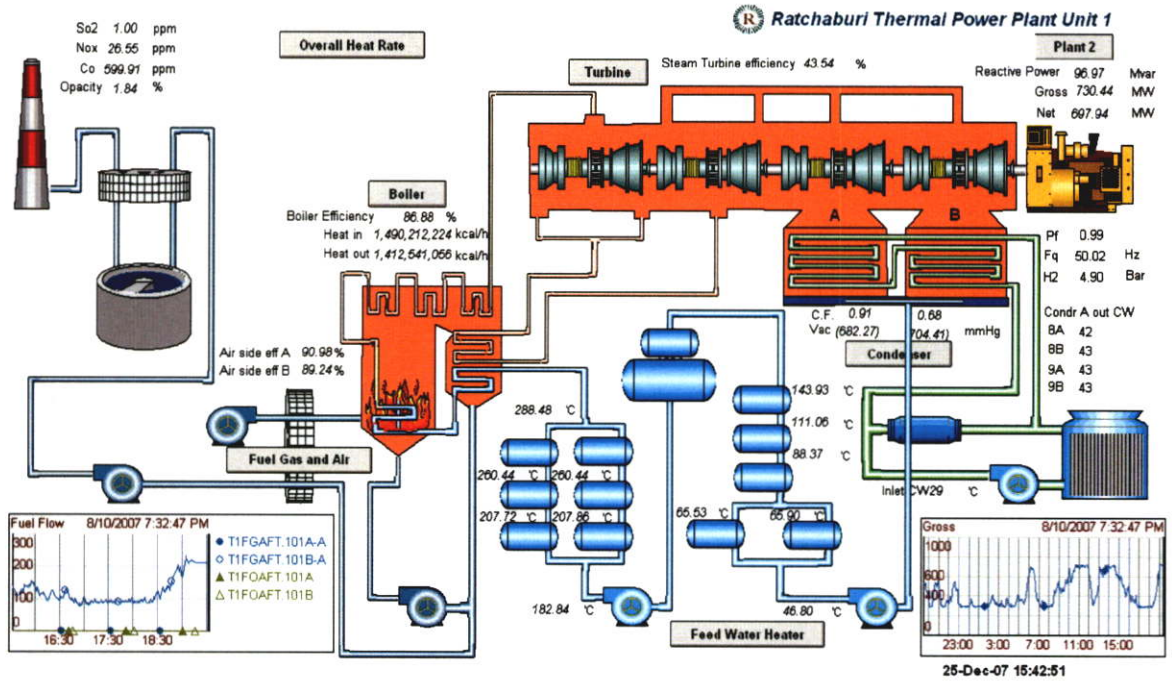
หมายเลข 5 กราฟแสดงปริมาณไฟฟ้าที่ผลิตได้ของโรงไฟฟ้าพลังความร้อนร่วมเครื่องที่ 2

หมายเลข 6 กราฟแสดงปริมาณไฟฟ้าที่ผลิตได้ของโรงไฟฟ้าพลังความร้อนร่วมเครื่องที่ 3

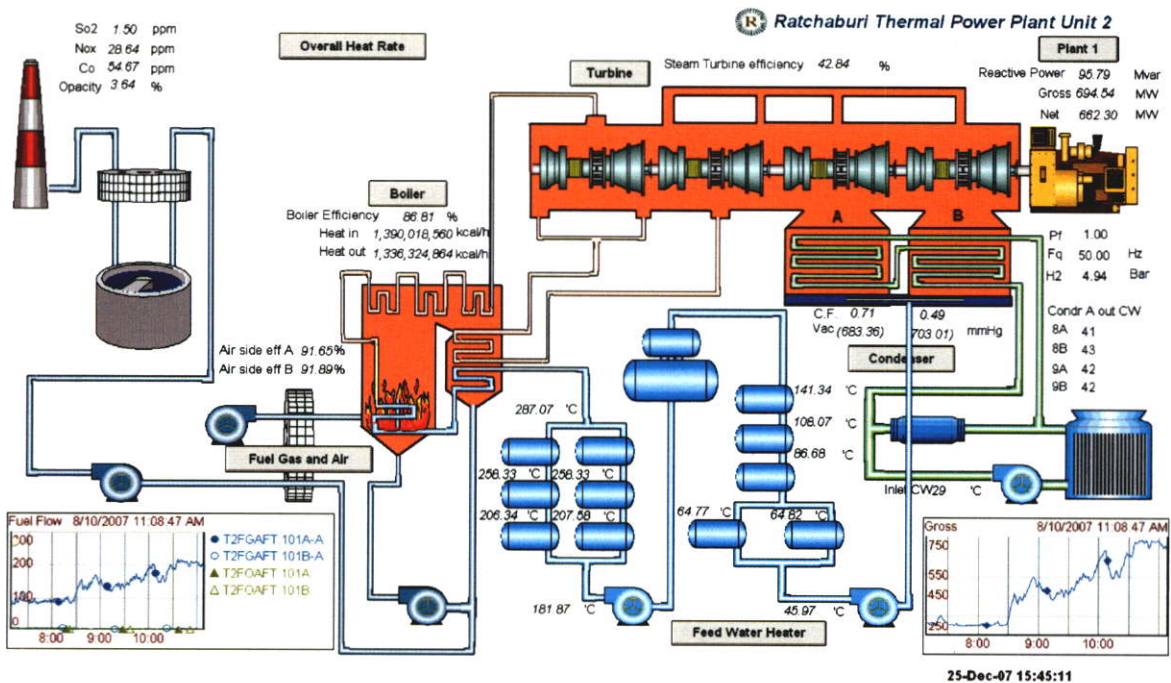


รูปที่ 6.1 สถานะกำลังผลิตปัจจุบันของโรงไฟฟ้าแห่งหนึ่ง

การแสดงผลภาพรวมของระบบหรือ Plant Overview ของโรงไฟฟ้าตามรูปที่ 6.2 Plant Overview diagram ของโรงไฟฟ้าพลังความร้อน Unit 1 และรูปที่ 6.3 Plant Overview diagram ของโรงไฟฟ้าพลังความร้อน Unit 2 ซึ่งแสดงสถานะปรกติในการเดินเครื่องของโรงไฟฟ้า ซึ่งปรกติต้องดูจากคอมพิวเตอร์ควบคุมเท่านั้น แต่ในระบบ Real Time Efficiency ที่ผู้วิจัยได้จัดทำขึ้น ผู้เกี่ยวข้องสามารถดูสถานะการผลิตได้จากคอมพิวเตอร์ส่วนบุคคลทั่วไปที่ต่ออยู่รับระบบ Real Time Efficiency ผ่านทางระบบเครือข่าย (LAN) โดยโรงไฟฟ้าพลังความร้อน Unit 1 ในวันที่ 8 ตุลาคม 2550 เวลา 19:32 น. เดินเครื่องที่ 697.94 MW มีประสิทธิภาพของหม้อต้มไอน้ำ 86.88% ประสิทธิภาพของกังหันไอน้ำ 43.54% ค่า Emission อยู่ในมาตรฐาน, โรงไฟฟ้าพลังความร้อน Unit 2 ในวันที่ 8 ตุลาคม 2550 เวลา 11:08 น. เดินเครื่องที่ 662.30 MW ประสิทธิภาพหม้อต้มไอน้ำ 86.81% ประสิทธิภาพกังหันไอน้ำ 42.84% ค่า Emission อยู่ในเกณฑ์มาตรฐานและแสดงให้เห็นถึงภาพรวมของการทำงานทั้งหมดของโรงไฟฟ้า โดยแสดงข้อมูลที่จำเป็นได้แก่ระบบ Turbine, ระบบ Boiler, ระบบ Feed water Heater, ระบบ Fuel gas and Air และระบบ Condenser ผู้ใช้งานสามารถตรวจสอบภาพรวมได้ในครั้งเดียว แต่ในการแสดงผลแบบนี้ เป็นการแสดงผลเพียงอย่างเดียวไม่สามารถควบคุมการเดินเครื่องได้



รูปที่ 6.2 Plant Overview diagram ของโรงไฟฟ้าพลังความร้อน Unit 1



รูปที่ 6.3 Plant Overview diagram ของโรงไฟฟ้าพลังความร้อน Unit 2

### 6.3 การแสดงผลประสิทธิภาพของหม้อต้มไอน้ำ

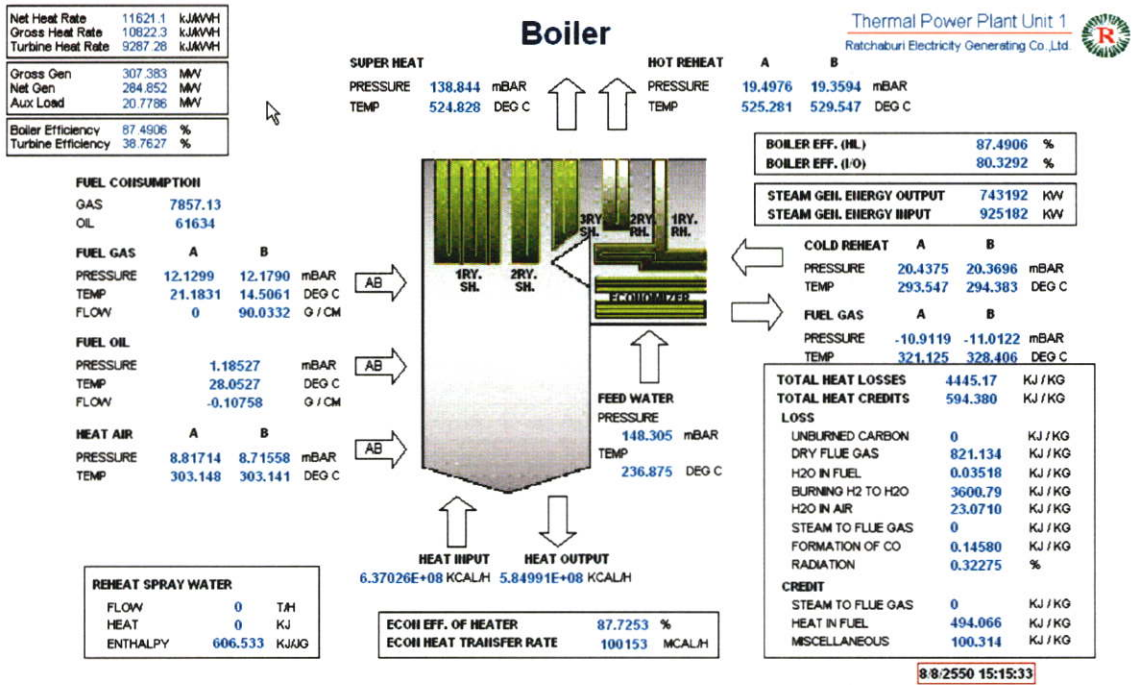
การแสดงผลประสิทธิภาพของหม้อต้มไอน้ำ แสดงตัวอย่างได้ดังรูปที่ 6.4 Boiler Performance ของโรงไฟฟ้าพลังความร้อน Unit 1 และ รูปที่ 6.5 Boiler Performance ของโรงไฟฟ้าพลังความร้อน Unit 2 โดย ณ วันที่ 8 สิงหาคม 2550 เวลา 15:15:33 น. โรงไฟฟ้าพลังความร้อน Unit 1 จ่ายไฟฟ้าเข้าระบบ 284.85 MW มี อัตราการใช้เชื้อเพลิงสุทธิ(Heat Rate) 11,621.1 kJ/kWh ปริมาณการใช้เชื้อเพลิงก๊าซ 90.033 kNm<sup>3</sup>/h มีประสิทธิภาพ Boiler ตามมาตรฐาน ASME 87.49%

โรงไฟฟ้าพลังความร้อน Unit 2 ณ วันที่ 8 สิงหาคม 2550 เวลา 15:00:08 น. จ่ายไฟฟ้าเข้าระบบ 336.50 MW มี อัตราการใช้เชื้อเพลิงสุทธิ(Heat Rate) 11,300.3 kJ/kWh ปริมาณการใช้เชื้อเพลิงก๊าซ 103.189 kNm<sup>3</sup>/h มีประสิทธิภาพ Boiler ตามมาตรฐาน ASME 87.61%

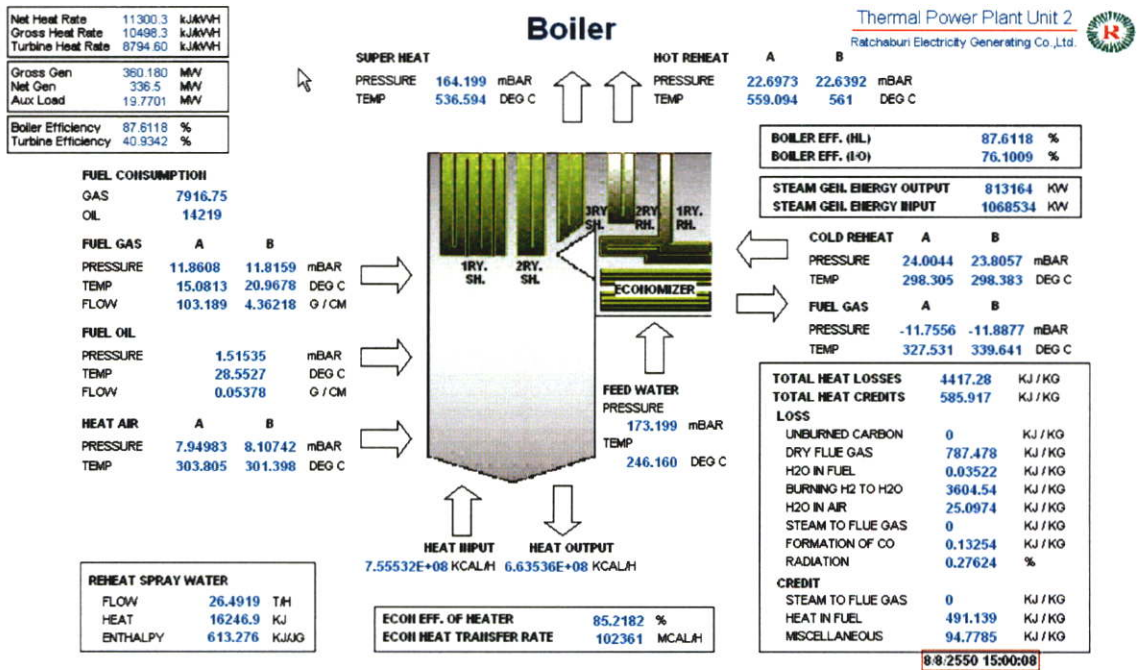
### 6.4 การแสดงผลประสิทธิภาพของกังหันไอน้ำ

รูปที่ 6.6 ประสิทธิภาพของ Steam Turbine ของโรงไฟฟ้าพลังความร้อน Unit 1 แสดงภาพของ Steam Turbine ที่ประกอบด้วย Turbine 3 ชุดคือ High Pressure Turbine (HP), Intermediate Pressure Turbine และ Low Pressure Turbine (LP) ซึ่งต่อเพลาพร้อมกับ Generator โดย Steam Turbine รับพลังงานไอน้ำจากหม้อไอน้ำ มาเปลี่ยนรูปพลังงานเป็นพลังงานไฟฟ้าที่ Generator โดยในวันที่ 8 สิงหาคม 2550 เวลา 15:14:48 น.จ่ายไฟฟ้าเข้าระบบที่ 286.35 MW โดยเชื้อเพลิงก๊าซ Overall Heatrate 11,860 kJ/kWh ประสิทธิภาพ Steam Turbine ตามมาตรฐาน ASME 38.41%

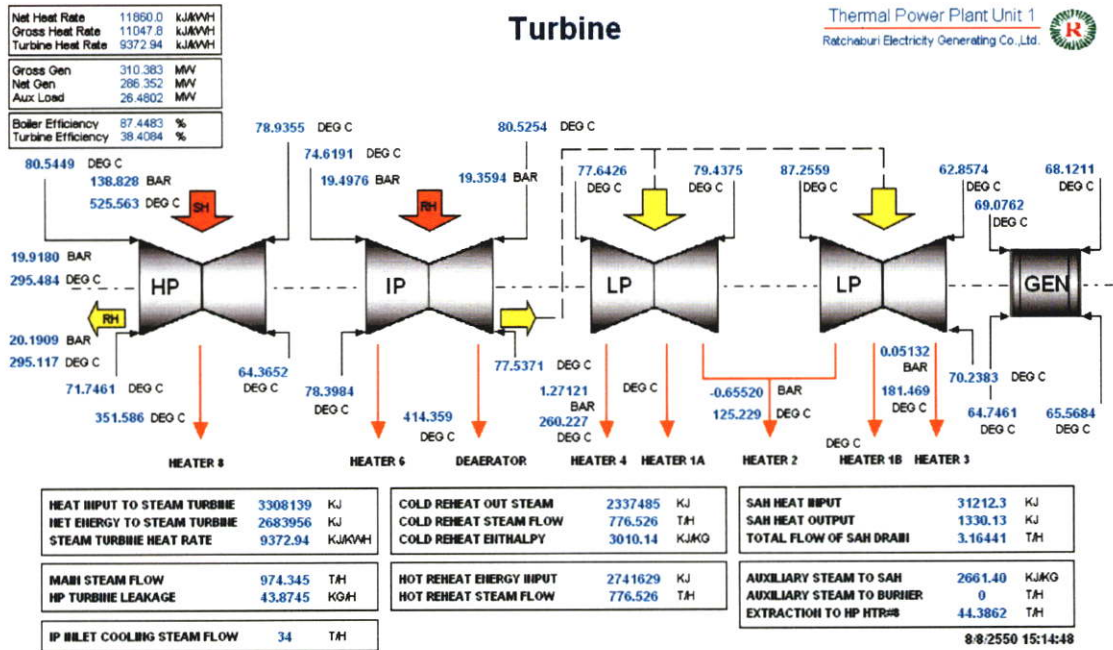
รูปที่ 6.7 ประสิทธิภาพของ Steam Turbine ของโรงไฟฟ้าพลังความร้อน Unit 2 แสดงภาพของ Steam Turbine ที่ประกอบด้วย Turbine 3 ชุดคือ High Pressure Turbine (HP), Intermediate Pressure Turbine และ Low Pressure Turbine (LP) ซึ่งต่อเพลาพร้อมกับ Generator โดย Steam Turbine รับพลังงานไอน้ำจากหม้อไอน้ำ มาเปลี่ยนรูปพลังงานเป็นพลังงานไฟฟ้าที่ Generator โดยในวันที่ 8 สิงหาคม 2550 เวลา 15:02:13 น.จ่ายไฟฟ้าเข้าระบบที่ 310.96 MW โดยเชื้อเพลิงก๊าซ Overall Heatrate 11,863 kJ/kWh ประสิทธิภาพ Steam Turbine ตามมาตรฐาน ASME 40.39%



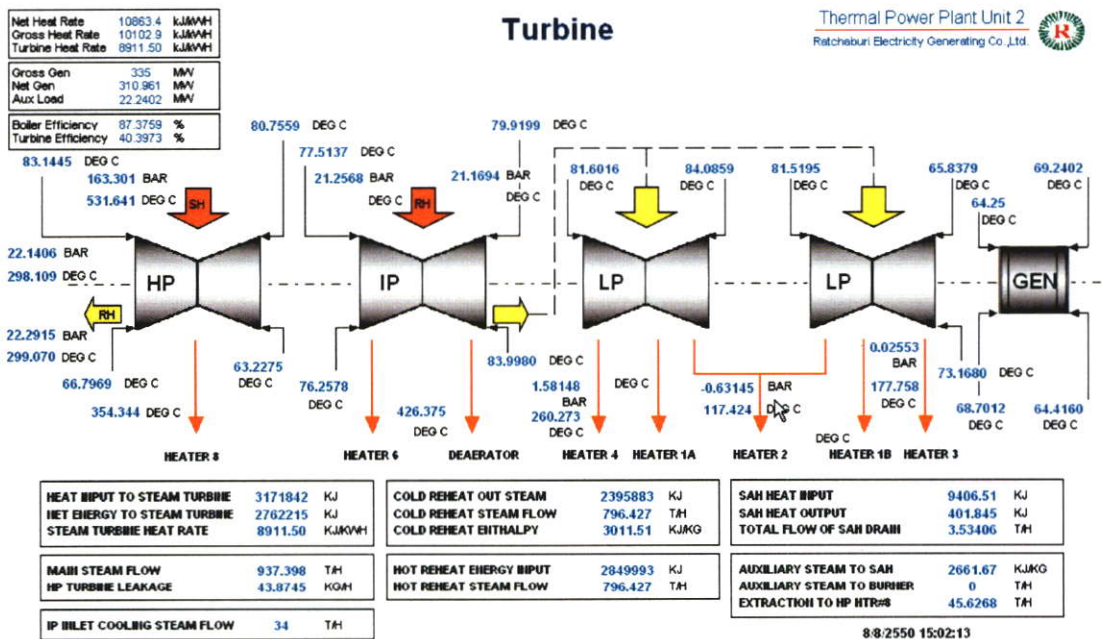
รูปที่ 6.4 Boiler Performance ของโรงไฟฟ้าพลังความร้อน Unit 1



รูปที่ 6.5 Boiler Performance ของโรงไฟฟ้าพลังความร้อน Unit 2



รูปที่ 6.6 ประสิทธิภาพของ Steam Turbine ของโรงไฟฟ้าพลังความร้อน Unit 1

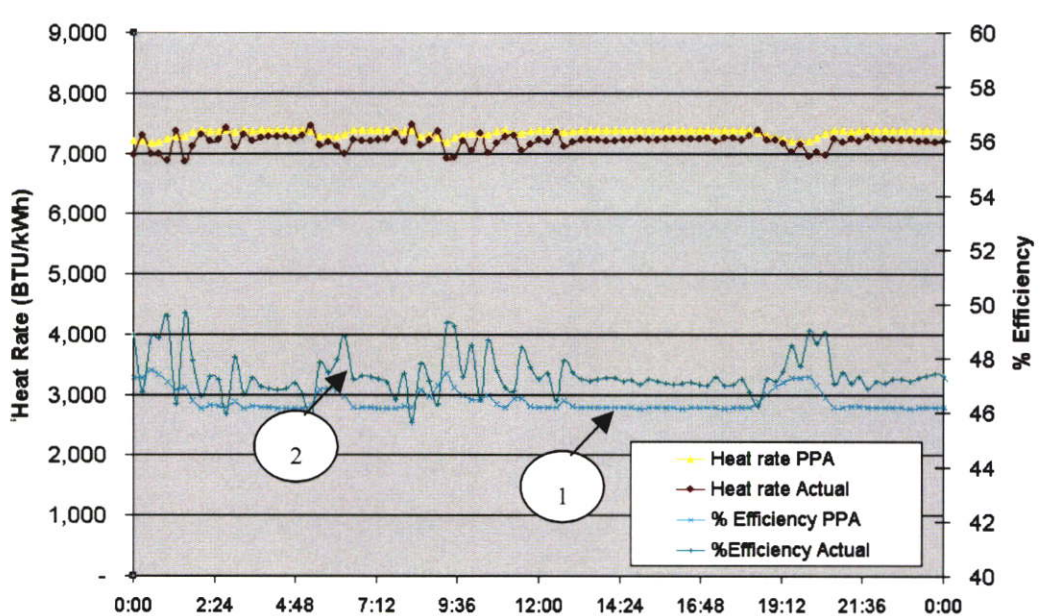


รูปที่ 6.7 ประสิทธิภาพของ Steam Turbine ของโรงไฟฟ้าพลังความร้อน Unit 2

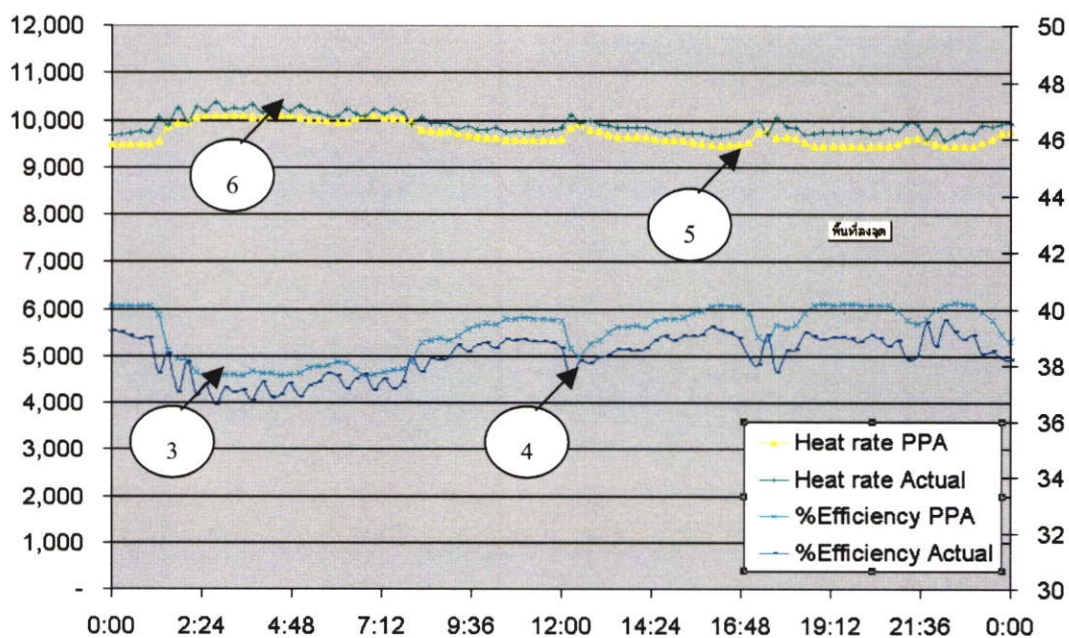
## 6.5 การแสดงผลเปรียบเทียบประสิทธิภาพการใช้เชื้อเพลิง

จากรูปที่ 6.8 แสดงตัวอย่างเปรียบเทียบประสิทธิภาพการใช้เชื้อเพลิงของโรงไฟฟ้าพลังความร้อนร่วม หน่วยที่ 1 ในวันที่ 1 มิ.ย. 2546 ซึ่งมีประสิทธิภาพขณะเดินเครื่อง (เส้นหมายเลข 2) สูงกว่าค่าที่ประกันไว้ในสัญญา PPA (เส้นหมายเลข 1) ประมาณ 0.5-2.0% แสดงว่าสามารถควบคุมการเดินเครื่องได้ดีมีประสิทธิภาพตลอดเวลา

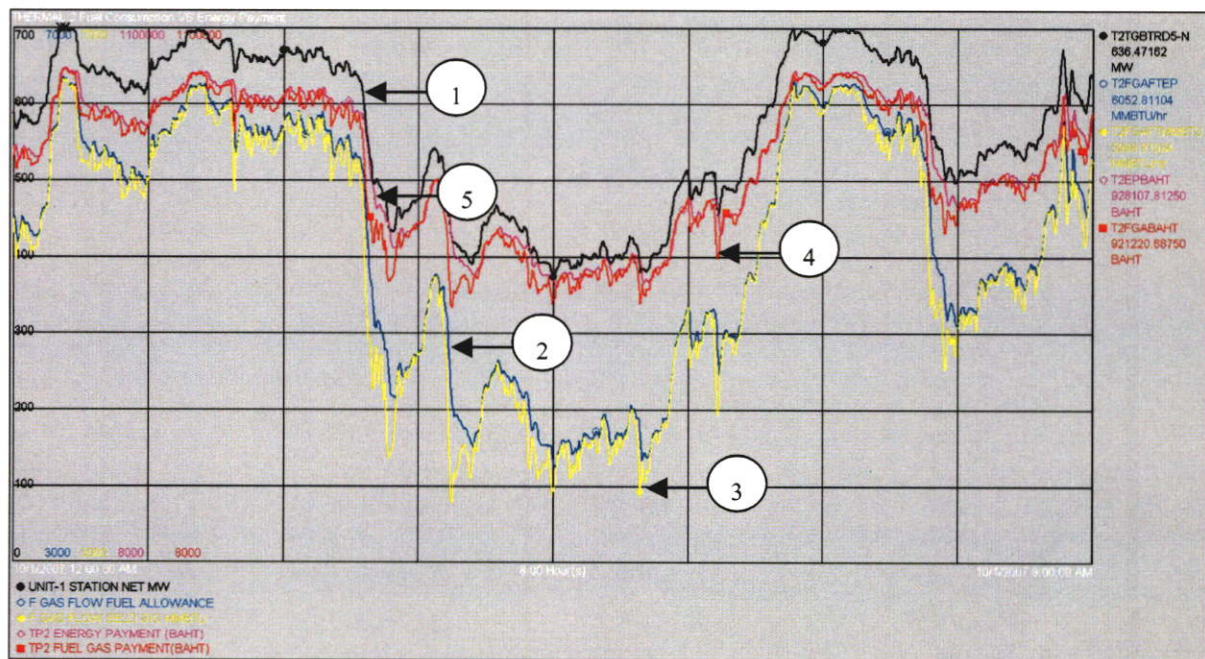
จากรูปที่ 6.9 แสดงตัวอย่างเปรียบเทียบประสิทธิภาพการใช้เชื้อเพลิงของโรงไฟฟ้าพลังความร้อน หน่วยที่ 1 วันที่ 1 เม.ย. 2546 ซึ่งมีประสิทธิภาพการเดินเครื่อง(เส้นหมายเลข 4) ต่ำกว่าค่าที่ประกันไว้ในสัญญา PPA (เส้นหมายเลข 3) หรืออีกนัยหนึ่ง โรงไฟฟ้ามีอัตราการใช้เชื้อเพลิง (Heat Rate) เมื่อเดินเครื่อง (เส้นหมายเลข 6) สูงกว่าค่าที่ประกันไว้ในสัญญา(เส้นหมายเลข 5) ซึ่งเมื่อตรวจสอบภายหลังในแต่ละระบบ พบว่า Cooling Tower มีประสิทธิภาพลดลงมาก และเมื่อตรวจสอบที่อุปกรณ์พบว่าคริบแลกเปลี่ยนความร้อนถูกหินปูนเกาะจำนวนมาก ซึ่งจะต้องดำเนินการเปลี่ยนต่อไป



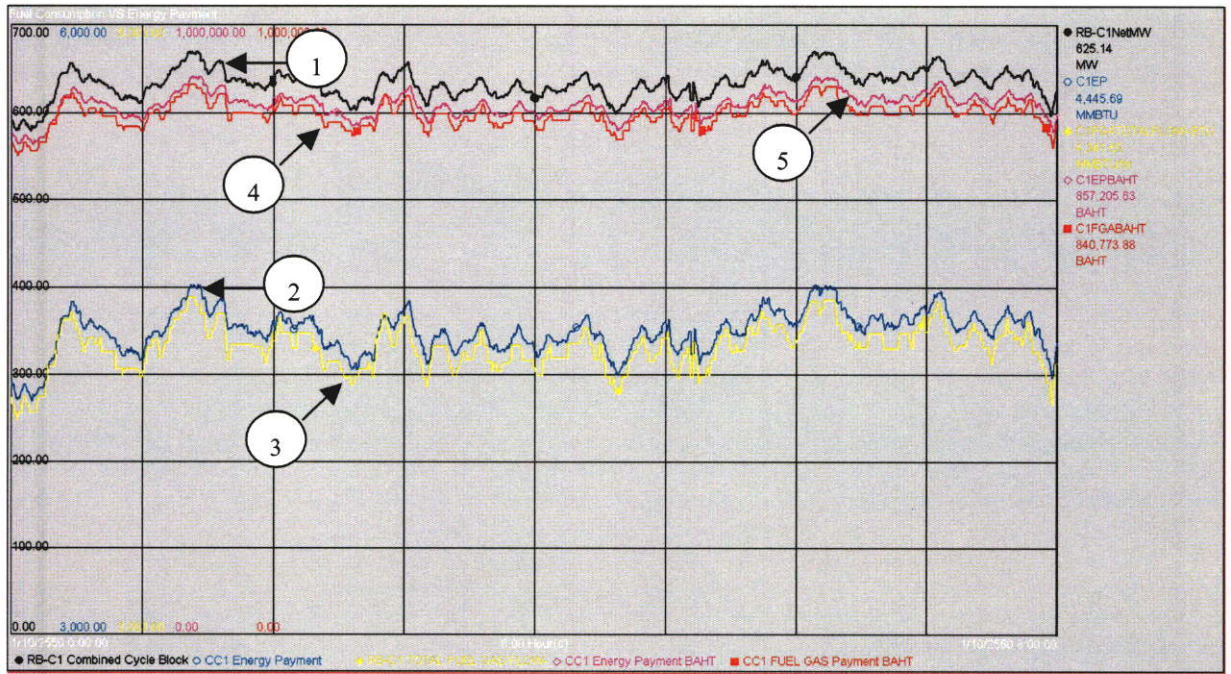
รูปที่ 6.8 ตัวอย่างกราฟเปรียบเทียบระหว่างเชื้อเพลิงที่ได้รับจาก กฟผ. กับเชื้อเพลิงที่ใช้จริงของวันที่ 1 มิ.ย.46 (Combined cycle)



รูปที่ 6.9 ตัวอย่างกราฟเปรียบเทียบระหว่างเชื้อเพลิงที่ได้รับจาก กฟผ. กับเชื้อเพลิงที่ใช้จริงของวันที่ 1 เม.ย.46 (Thermal Plant)



รูปที่ 6.10 ตัวอย่างกราฟเปรียบเทียบระหว่างเชื้อเพลิงที่ได้รับจาก กฟผ. กับเชื้อเพลิงที่ใช้จริงของวันที่ 1 ต.ค. 50 (Thermal Plant Unit 2)



รูปที่ 6.11 ตัวอย่างกราฟเปรียบเทียบระหว่างเชื้อเพลิงที่ได้รับจาก กฟผ. กับเชื้อเพลิงที่ใช้จริงของ วันที่ 1 ต.ค. 50 (Combined cycle plant block 1)

จากรูปที่ 6.10 ตัวอย่างกราฟเปรียบเทียบระหว่างเชื้อเพลิงที่ได้รับจาก กฟผ. กับเชื้อเพลิงที่ใช้จริงของวันที่ 1 ต.ค. 50 เวลา 08:00 น. (Thermal Plant Unit 2) กราฟนี้แสดงถึงการเดินเครื่องจ่ายโหลดเข้าระบบอย่างต่อเนื่อง (เส้นหมายเลข 1) มีการใช้เชื้อเพลิงก๊าซ (เส้นหมายเลข 3, T2FGAFTMMBTU) น้อยกว่าที่ประกันไว้กับ กฟผ. (เส้นหมายเลข 2, T2FGAFTEP) ซึ่งจะทำให้ได้กำไรจากค่าเชื้อเพลิงโดยสังเกตได้จากเส้นหมายเลข 5 (จำนวนเงินที่ได้รับจาก กฟผ.) จะสูงกว่าเส้นหมายเลข 4 (จำนวนเงินที่เป็นค่าเชื้อเพลิง) โดยในกราฟ ที่ 636.47 MW จะได้รับค่า EP จากกฟผ. 928,107 บาท แต่จ่ายค่าเชื้อเพลิงจำนวน 921,220 บาท มีกำไรประมาณ 0.74%

จากรูปที่ 6.11 ตัวอย่างกราฟเปรียบเทียบระหว่างเชื้อเพลิงที่ได้รับจาก กฟผ. กับเชื้อเพลิงที่ใช้จริงของ วันที่ 1 ต.ค. 50 (Combined cycle plant block 1) โรงไฟฟ้าพลังความร้อนร่วม Block 1 (C1EP) ใช้เชื้อเพลิงน้อยกว่าที่ประกันไว้ในสัญญา กับ กฟผ. (C1FGATOTALFLOW-BTU) ซึ่งจะทำให้ได้กำไรจากค่าเชื้อเพลิงโดยสังเกตได้จากกราฟหมายเลข 5 (จำนวนเงินที่ได้รับจาก กฟผ.) จะสูงกว่าเส้นหมายเลข 4 (จำนวนเงินที่เป็นค่าเชื้อเพลิง) โดยในกราฟ ที่ 625.14 MW จะได้รับค่า EP จากกฟผ. 857,205 บาท แต่จ่ายค่าเชื้อเพลิงจำนวน 840,773 บาท มีกำไรประมาณ 1.92% ซึ่งสูงมาก ทั้งนี้เนื่องจากโรงไฟฟ้าเพิ่งผ่านงาน Major Overhaul ทำให้เครื่องมีประสิทธิภาพดีขึ้นกว่าเดิม

## บทที่ 7

# บทสรุปและข้อเสนอแนะ

การคำนวณประสิทธิภาพโรงไฟฟ้าแบบ Real time โดยรับข้อมูลจากระบบควบคุมโรงไฟฟ้าโดยตรง ทำให้วิศวกรเดินเครื่องสามารถตรวจสอบประสิทธิภาพและอัตราการใช้เชื้อเพลิงต่อหน่วยผลิตไฟฟ้าของโรงไฟฟ้าได้ตลอดเวลา หากพบว่าระบบใดมีประสิทธิภาพลดลงก็สามารถปรับปรุงขบวนการผลิตเพื่อเพิ่มประสิทธิภาพได้ หรือหากไม่สามารถแก้ไขได้ก็ยังสามารถใช้ประโยชน์ในการวางแผนการซ่อมบำรุงเพื่อเพิ่มประสิทธิภาพได้

ด้วยเทคนิคการคำนวณประสิทธิภาพโรงไฟฟ้าแบบ Real Time นี้จะทำให้โรงไฟฟ้า IPP และ SPP สามารถบริหารการใช้เชื้อเพลิงได้อย่างทันเวลาและดีกว่าการทดสอบประสิทธิภาพโรงไฟฟ้าตามวาระแบบเดิม ทำให้สามารถเพิ่มศักยภาพในการแข่งขันราคาในตลาดซื้อขายไฟฟ้าในอนาคตได้

### 7.1 ประสิทธิภาพตามสัญญาซื้อขายไฟฟ้า

การคำนวณเปรียบเทียบอัตราการใช้เชื้อเพลิงและประสิทธิภาพของโรงไฟฟ้ากับค่าเชื้อเพลิง (Energy Payment) ที่โรงไฟฟ้า IPP/SPP ได้รับจาก กฟผ. ผ่านสัญญาซื้อขายไฟฟ้า ซึ่งระบบจะทำการประมวลผลทุกๆ นาทีแบบ Real Time ทำให้วิศวกรเดินเครื่องและผู้บริหารโรงไฟฟ้า ตรวจสอบได้ง่ายว่าปริมาณเชื้อเพลิงที่ใช้อยู่ในการเดินเครื่องปัจจุบันมากหรือน้อยกว่าที่ประกันไว้ในสัญญา โดยไม่ต้องรอสรุปผลประจำเดือน การได้ข้อมูลอย่างรวดเร็วเช่นนี้ทำให้สามารถตรวจสอบความบกพร่องของอุปกรณ์ได้อย่างรวดเร็วและสามารถแข่งขันธุรกิจผลิตไฟฟ้าได้ หากพบว่ามี ความบกพร่องของอุปกรณ์ก็สามารถปรับแต่งการเดินเครื่องใหม่ หรือวางแผนการบำรุงรักษาได้อย่างมีประสิทธิภาพ ลดต้นทุนการผลิตไฟฟ้า และเพิ่มกำไรให้กับโรงไฟฟ้าในที่สุด

### 7.2 ประสิทธิภาพของโรงไฟฟ้าพลังความร้อน

ด้วยการคำนวณตามมาตรฐาน Performance Test Code แบบ Real Time ทำให้วิศวกรเดินเครื่องติดตามประสิทธิภาพของหม้อไอน้ำและกังหันไอน้ำได้ตลอดเวลา ซึ่งดีกว่าการใช้ข้อมูลจากการทดสอบตามวาระบำรุงรักษาที่ดำเนินการ 2 ปีต่อครั้ง ทำให้มีข้อมูลที่ทันสมัยจึงมีความถูกต้องและแม่นยำกว่า ข้อมูลประสิทธิภาพนี้ทำให้วิศวกรเดินเครื่องทราบสถานะถดถอยของเครื่องจักรหรือความบกพร่องในเครื่องจักรในทันทีที่เกิดทำให้สามารถปรับแต่ง เปลี่ยนวิธีการเดินเครื่องหรือ

ปรับปรุงอุปกรณ์ หรือวางแผนการบำรุงรักษาไว้ล่วงหน้าเพื่อรักษาสภาพของโรงไฟฟ้าให้มีประสิทธิภาพดีอยู่ตลอดเวลา

### 7.3 ประสิทธิภาพของโรงไฟฟ้าพลังความร้อนร่วม

ด้วยการคำนวณประสิทธิภาพโรงไฟฟ้าแบบ Real Time ตามมาตรฐาน Performance Test Code ทำให้วิศวกรเดินเครื่องทราบประสิทธิภาพและอัตราการใช้เชื้อเพลิง (Heat Rate) ได้ทุกๆ นาที ซึ่งดีกว่าการทดสอบประสิทธิภาพตามวาระ 1 ปีต่อครั้ง ประสิทธิภาพของกังหันก๊าซ, หม้อไอน้ำ และกังหันก๊าซ จะถูกตรวจสอบและติดตามอย่างต่อเนื่อง จึงเหมาะสำหรับโรงไฟฟ้าประเภทนี้เป็นอันมาก เพราะมีการเปลี่ยนแปลงของประสิทธิภาพในสภาวะการณ์ต่างๆ สูงมาก การเสื่อมถอยของอุปกรณ์ในระยะเวลา 1 ปีอาจมากกว่า 1% การทราบข้อมูลที่ทันสมัยทำให้สามารถปรับแต่งการเดินเครื่องให้สอดคล้องกับความสามารถของเครื่องจักร และสามารถวางแผนบำรุงรักษาให้สอดคล้องกับสภาพของอุปกรณ์ได้อีกด้วย

การมีข้อมูลที่รวดเร็วและถูกต้องทำให้โรงไฟฟ้าสามารถลดต้นทุนเชื้อเพลิงและมีกำไรในการจำหน่ายไฟฟ้าตามเป้าหมายที่วางไว้

### 7.4 ผลที่ได้รับจากวิทยานิพนธ์

ในวิทยานิพนธ์นี้ผู้วิจัยได้ดำเนินการตามขอบเขตและเป้าหมายที่ได้ตั้งไว้เป็นอย่างดี ดังนี้

7.4.1 ดำเนินการเขียนโปรแกรมโดยใช้ภาษาเบสิกบนวิซวลเบสิก เวอร์ชัน 6 เพื่ออ่านข้อมูลพารามิเตอร์ เครื่องมือวัดจากฐานข้อมูลโรงไฟฟ้าแบบ Real Time ทุกๆ นาที โดยไม่ต้องติดตั้งเครื่องมือวัดเพิ่มเติมและไม่ต้องหยุดเดินเครื่องเพื่อเก็บข้อมูล

7.4.2 การอ่านข้อมูลและการคำนวณจะทำทุกๆ นาทีอย่างต่อเนื่อง ข้อมูลพารามิเตอร์ที่อ่านได้จะนำมาประมวลผลผ่านโปรแกรมคำนวณตามมาตรฐาน Performance Test Code และตามสมการในสัญญาซื้อขายไฟฟ้าระหว่างโรงไฟฟ้ากับการไฟฟ้าฝ่ายผลิตแห่งประเทศไทย และผลลัพธ์จากการคำนวณอันได้แก่ค่าประสิทธิภาพหม้อไอน้ำ, ประสิทธิภาพกังหันไอน้ำ, ประสิทธิภาพตามสัญญาซื้อขายไฟฟ้า จะส่งกลับเข้าไปเก็บในฐานข้อมูลโรงไฟฟ้า เพื่อนำไปแสดงผลต่อไป

7.4.3 การแสดงผลจะทำโดยผ่านโปรแกรมแสดงผลซึ่งแยกเป็น 3 โมดูลได้แก่โมดูล PPA, โมดูลโรงไฟฟ้าพลังความร้อนและโมดูลโรงไฟฟ้าพลังความร้อนร่วม โดยการแสดงผลนี้เป็นแบบ Real Time ที่แสดงค่าอย่างต่อเนื่องทุกๆ นาทีเช่นเดียวกัน

7.4.4 สามารถแสดงผลเปรียบเทียบอัตราการใช้เชื้อเพลิงจริงกับอัตราการใช้เชื้อเพลิงที่ประกันไว้ในสัญญา ซึ่งแสดงได้ทั้งในหน่วยค่าความร้อน(บีทียู)และจำนวนเงิน(บาท)

7.4.5 พัฒนาโปรแกรมให้ใช้งานได้ที่ทั้งโรงไฟฟ้าพลังความร้อนและพลังความร้อนร่วม

7.4.6 พัฒนาโปรแกรมให้ใช้งานได้ในโรงไฟฟ้า IPP/SPP

7.4.7 การปรับแต่งโปรแกรมหรือตัวแปรต่างๆ สามารถทำได้บนเครื่องคอมพิวเตอร์ส่วนบุคคลทั้งหมดโดยไม่มีผลกระทบกับการควบคุมระบบ

## 7.5 ข้อเสนอแนะ

ในวิทยานิพนธ์นี้ผู้วิจัยได้ทำดำเนินการทำฐานข้อมูลโรงไฟฟ้าในระดับฐานรากไว้แล้ว มีผู้สนใจสามารถนำมาศึกษาต่อได้อีกหลายแนวทาง ได้แก่

7.5.1 ศึกษาการเสื่อมประสิทธิภาพหรือการถดถอยของอุปกรณ์ประกอบในโรงไฟฟ้าเช่น มอเตอร์, ปั๊มน้ำ, พัดลมขนาดใหญ่ หรือเครื่องจักรอื่นๆ โดยผู้สนใจสามารถศึกษาวิธีการคำนวณได้จากมาตรฐาน Performance Test Code ที่เกี่ยวข้องได้ แต่การใช้งานจริงจะต้องมีการเปรียบเทียบผลกับการทดสอบจริง เพื่อตรวจสอบความถูกต้องและแม่นยำของพารามิเตอร์ต่างๆ ด้วย

7.5.2 โครงสร้างของระบบออกแบบไว้ให้ทำงานบน Local Area Network ผู้สนใจสามารถพัฒนาโปรแกรมในการดึงข้อมูลจากฐานข้อมูลไปแสดงผลใน Internet หรือในลักษณะการสื่อสารระยะไกล (remote) ซึ่งจะทำให้ผู้เกี่ยวข้องอื่นๆ ที่ไม่ได้ประจำอยู่ในโรงไฟฟ้าเช่น ผู้ถือหุ้น ชุมชน สามารถติดตามข้อมูลของโรงไฟฟ้าได้

7.5.3 ด้วยฐานข้อมูลที่มีอยู่แล้ว ผู้สนใจอาจนำไปศึกษาถึงการวางแผนบำรุงรักษาอุปกรณ์แบบ Real Time ได้อีกด้วย

## เอกสารอ้างอิง

- [1] คงคา คุณพันธ์และศิริวัฒน์ โปธิเวชกุล. 2546 “การคำนวณประสิทธิภาพแบบ Real Time ของโรงไฟฟ้าพลังความร้อนและพลังความร้อนร่วม.” หน้า 156-161. ใน การประชุมวิชาการทางวิศวกรรมไฟฟ้า ครั้งที่ 26 : คณะวิศวกรรมศาสตร์ สถาบันเทคโนโลยีพระจอมเกล้าพระนครเหนือ, นนทบุรี.
- [2] คงคา คุณพันธ์และศิริวัฒน์ โปธิเวชกุล. 2547 “ประสบการณ์และการใช้ประโยชน์จากระบบข้อมูล Real Time ของโรงไฟฟ้า.” หน้า 241-244. ใน การประชุมวิชาการทางวิศวกรรมไฟฟ้า ครั้งที่ 27 : คณะวิศวกรรมศาสตร์ มหาวิทยาลัยขอนแก่น.
- [3] บริษัทผลิตไฟฟ้าราชบุรีจำกัด. 2543 “Power Purchase Agreement relating to the thermal power station at Ratchaburi, Thailand.”
- [4] บริษัทผลิตไฟฟ้าราชบุรีจำกัด. 2543 “Power Purchase Agreement relating to the combined cycle power station at Ratchaburi, Thailand.”
- [5] Pablo H. Ibarguengoytia. 2001. “Real Time Intelligent Sensor Validation.” **IEEE Transactions on Power Systems.**, vol. 16, no. 4, November 2001. pp. 770-775
- [6] Gary G. Yen and Wei Feng. 2000. “Intelligent Sensor Validation by a Hierarchical Mixture of Experts Network.” **School of Electrical and Computer Engineering.**, Oklahoma State University, USA.
- [7] Rasheek M. Rifaat. 1998 “Economic Dispatch of Combined Cycle Cogeneration Plants with Environmental Constrains.” **Delta Hudson Engineering Ltd.**, Calgary, Alberta, Canada.
- [8] J. Alonso, A. Trias, V. Gaitan and J.J. Alba. 1999. “Thermal Plant Bids and Market Clearing in an Electricity Pool. Minimization of Costs vs. Minimization of Consumer Payments.” **IEEE Transaction on Power Systems.**, vol. 14, no. 4, November 1999. pp. 1327-1334
- [9] Babcock&Wilcox a McDermott company. 1992. **Steam Its Generation and Use 40<sup>th</sup> Edition.** Ohio USA.
- [10] Rodney R. Gay, Carl A. Palmer and Michael R. Erbes. 2004. **Power Plant Performance Monitoring.** Woodland, CA, USA : R-square Publishing.
- [11] The Ameican Society of Mechanical Engineer. 1994. **Performance Monitoring Guidelines for Steam Power Plants, Performance Test Code, ASME PTC PM-1993.** New York USA

- [12] The American Society of Mechanical Engineer. 1994. **Performance Test Code 6 on Steam Turbine, Performance Test Code, ASME PTC 6-1976.** New York USA
- [13] The American Society of Mechanical Engineer. 1981. **Gas Turbine Heat Recovery Steam Generators, Performance Test Code, ASME PTC 4.4-1981.** New York USA
- [14] The American Society of Mechanical Engineer. 1996. **Performance Test Code on Gas Turbines, Performance Test Code, ASME PTC 22-1997.** New York USA
- [15] The American Society of Mechanical Engineer. 1989. **Procedure for Routine Performance Tests of Steam Turbines, Performance Test Code, ASME PTC 6S Report-1988.** New York USA
- [16] The American Society of Mechanical Engineer. 1998. **Performance Test Code 4 on Fired Steam Generators, Performance Test Code, ASME PTC 4-1998.** New York USA
- [17] Mitsubishi Heavy Industries,Ltd. 1999. "Ratchaburi Thermal Power Plant 1&2 Boiler Performance test Procedure" Japan.
- [18] Mitsubishi Heavy Industries,Ltd. 1999. "Ratchaburi Thermal Power Plant 1&2 Steam Turbine Performance test Procedure" Japan.
- [19] Mitsui&Co.Ltd. 2000. "Ratchaburi Combined Cycle Power Plant Performance Test Procedure." New York.

## ภาคผนวก ก.

### ผลงานทางวิชาการที่ได้รับการตีพิมพ์

1. เรื่องการคำนวณประสิทธิภาพแบบ Real Time ของโรงไฟฟ้าพลังความร้อนและพลังความร้อนร่วม. ในวารสารการประชุมวิชาการทางวิศวกรรมไฟฟ้า ครั้งที่ 26 คณะวิศวกรรมศาสตร์ สถาบันเทคโนโลยีพระจอมเกล้าพระนครเหนือ
2. เรื่องประสบการณ์และการใช้ประโยชน์จากระบบข้อมูล Real Time ของโรงไฟฟ้า. วารสารการประชุมวิชาการทางวิศวกรรมไฟฟ้า ครั้งที่ 27 คณะวิศวกรรมศาสตร์ มหาวิทยาลัยขอนแก่น.
3. เรื่องการวิเคราะห์สนามไฟฟ้าจาวีธีจำลองประจุโดยใช้คอมพิวเตอร์กราฟฟิค 3 มิติ. วารสารการประชุมวิชาการทางวิศวกรรมไฟฟ้า ครั้งที่ 16 คณะวิศวกรรมศาสตร์ สถาบันเทคโนโลยีพระจอมเกล้าเจ้าคุณทหารลาดกระบัง.

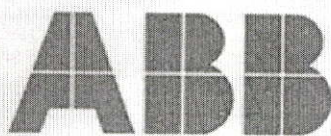
การประชุมวิชาการทางวิศวกรรมไฟฟ้า ครั้งที่ 26  
 26th Electrical Engineering Conference

Volume I

สาขาทดความ

-ไฟฟ้ากำลัง (PW)

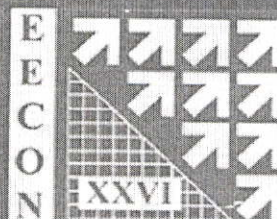
-งานวิจัยที่เกี่ยวข้องกับวิศวกรรมไฟฟ้า (GN)



6-7 พฤศจิกายน 2546

โรงแรมโกลเด้นแลนด์ ชะอำ จ.เพชรบุรี

ดำเนินการจัดประชุมโดย  
 ภาควิชาวิศวกรรมไฟฟ้า และภาควิชาเทคโนโลยีไฟฟ้าอุตสาหกรรม  
 คณะวิศวกรรมศาสตร์ สถาบันเทคโนโลยีพระจอมเกล้าพระนครเหนือ



# การคำนวณประสิทธิภาพแบบ Real Time ของโรงไฟฟ้าพลังความร้อนและพลังความร้อนร่วม Real Time Performance Calculation of Thermal and Combined Cycle Plant

คงคา ขุนพันธ์ และ ศิริวิวัฒน์ โทริเวชกุล

ภาควิชาวิศวกรรมไฟฟ้ากำลัง คณะวิศวกรรมศาสตร์ สถาบันเทคโนโลยีพระจอมเกล้าเจ้าคุณทหารลาดกระบัง

ถ. ฉลองกรุง เขตลาดกระบัง กรุงเทพมหานคร

โทร: 0-2123-4567 ต่อ 123 โทรสาร: 0-2123-4567 E-mail: [khongkhak@ratchgen.co.th](mailto:khongkhak@ratchgen.co.th), [kpsirawa@kmitl.ac.th](mailto:kpsirawa@kmitl.ac.th)

## บทคัดย่อ

งานวิจัยนี้ จะกล่าวถึงระบบการคำนวณประสิทธิภาพของโรงไฟฟ้าพลังความร้อนร่วมและโรงไฟฟ้าพลังความร้อน แบบ Real time โดยจะดึงค่าพารามิเตอร์ที่ตรวจวัดจากระบบควบคุมโรงไฟฟ้าโดยตรงนำมาประมวลผลตาม ASME/ANSI Performance Test Code สามารถแสดงผลการคำนวณให้วิศวกรเห็นเครื่องทราบถึงประสิทธิภาพโดยรวมของโรงไฟฟ้า, ประสิทธิภาพของระบบย่อยแต่ละระบบ รวมทั้งสามารถบ่งชี้ได้ว่าระบบใดมีประสิทธิภาพสูงหรือต่ำกว่าเกณฑ์ เพื่อเป็นข้อมูลให้วิศวกรเดินเครื่องตัดสินใจและวางแผนการเดินเครื่องเพื่อผลิตไฟฟ้าได้อย่างมีประสิทธิภาพและลดค่าใช้จ่ายด้านเชื้อเพลิงให้มากที่สุด

คำสำคัญ : ประสิทธิภาพโรงไฟฟ้า, อัลตรากริดเชื้อเพลิง, Real Time, โรงไฟฟ้าพลังความร้อนร่วม, โรงไฟฟ้าพลังความร้อน

## Abstract

A real time performance calculation system of thermal and combined cycle power plant is described in this paper. The power plant performance will be calculated base on ASME/ANSI performance test code and use parameters from plant's DCIS. Operator engineers can monitor overall plant efficiency, system efficiency and indicate which system is gain or loss. The system will provide useful efficiency information for operation manager to schedule their power generation in economic and minimize fuel consumption.

Keywords: Efficiency, Heat rate, Real time, Combined cycle power plant, Thermal power Plant

## 1. คำนำ

การวัดประสิทธิภาพของโรงไฟฟ้ามีความสำคัญต่อกระบวนการผลิตไฟฟ้าเป็นอย่างมากเพราะจะทำให้สามารถ

ตรวจสอบอัตราการสิ้นเปลืองของเชื้อเพลิงที่ใช้ในการผลิตไฟฟ้าเพื่อให้สามารถคำนวณต้นทุนการผลิตไฟฟ้าต่อหน่วย

ตรวจสอบประสิทธิภาพการผลิตไฟฟ้าให้เป็นไปตามข้อกำหนดของกฎหมาย เช่น ค่าก๊าซเสียที่ปล่อยสู่บรรยากาศ, ค่ามลพิษทางเสียง เป็นต้น

ตรวจสอบประสิทธิภาพโดยรวมของระบบ, ตรวจสอบประ

สิทธิภาพของระบบย่อยแต่ละระบบ เพื่อให้สามารถปรับปรุงการผลิตเพื่อเพิ่มประสิทธิภาพของระบบได้

-ตรวจสอบการเสื่อมสภาพของอุปกรณ์ (degradation)

ในการทดสอบประสิทธิภาพของโรงไฟฟ้าโดยทั่วไปที่โรงไฟฟ้าผลิตหนึ่งประเทศไทย(กฟผ.) ใช้ในการตรวจรับโรงไฟฟ้าที่คิดค้นเองหรือจ้างเหมาแบบบีกเสร็จ (Turn key), โรงไฟฟ้าจากผู้ผลิตไฟฟ้ารายใหญ่ (IPP), และโรงไฟฟ้าจากผู้ผลิตไฟฟ้ารายย่อย (SPP) จะอ้างเอาตามมาตรฐาน ASME Performance Test Code และจะปรับให้ใช้งานได้ตามเงื่อนไขของโรงไฟฟ้าแต่ละแห่ง โดยปกติแล้วการวัดประสิทธิภาพของโรงไฟฟ้าจะดำเนินการตามวาระ ในช่วงก่อนและหลังงานซ่อม (Plan Outage) สำหรับโรงไฟฟ้าพลังความร้อนร่วมจะทดสอบประมาณปีละครั้ง โรงไฟฟ้าพลังความร้อนจะทดสอบประมาณสองปีต่อครั้ง ผลการวัดประสิทธิภาพนี้จะใช้เป็นข้อมูลในการคำนวณหาต้นทุนการผลิตไฟฟ้าจนกว่าจะทำการศึกษาทดสอบใหม่ ซึ่งการวัดตามวาระนี้จะใช้วัดศึกษาประสิทธิภาพของโรงไฟฟ้าเปลี่ยนแปลงน้อย และไม่ถูกจำกัดด้านต้นทุนเชื้อเพลิง

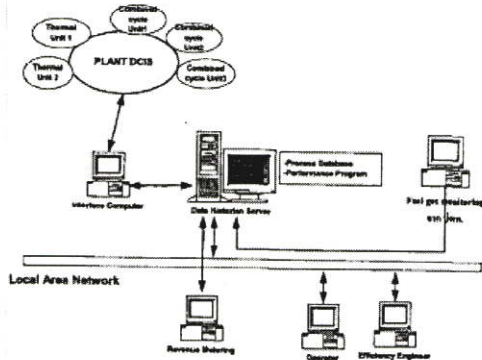
เนื่องจากปัจจุบัน โรงไฟฟ้าเอกชน IPP และ SPP เริ่มมีบทบาทในการผลิตไฟฟ้ามากขึ้นและโรงไฟฟ้าประเภทนี้จะซื้อขายไฟฟ้าผ่านสัญญาซื้อขายไฟฟ้า (Power Purchase Agreement, PPA) ซึ่งมีการซื้อขายไฟฟ้าในส่วนต้นทุนเชื้อเพลิงเป็นราย 15 นาที ทำให้โรงไฟฟ้าประเภทนี้จำเป็นต้องทราบประสิทธิภาพของโรงไฟฟ้าของตนตลอดเวลาที่ผลิตไฟฟ้า เพื่อให้สามารถทราบต้นทุนการผลิตที่แท้จริงของโรงไฟฟ้าและนำปรับปรุงขบวนการผลิตเพื่อลดต้นทุนด้านเชื้อเพลิงให้มากที่สุด รวมทั้งเป็นข้อมูลสำหรับโรงไฟฟ้าในการวางแผนการผลิตไฟฟ้าและวางแผนการซ่อมแซมอุปกรณ์เพื่อเพิ่มประสิทธิภาพในการผลิต

ด้วยเหตุผลที่กล่าวมาแล้ว การวัดประสิทธิภาพโรงไฟฟ้าตามเวลาในช่วงก่อนหรือหลังงานซ่อม จึงไม่สามารถตอบสนองต่อความต้องการของโรงไฟฟ้า IPP หรือ SPP ได้ ผู้วิจัยจึงได้พัฒนาระบบ Real Time Performance System ขึ้น โดยการนำข้อมูลและค่าพารามิเตอร์ที่จำเป็นในการคำนวณทั้งหมด ซึ่งปกติจะมีอยู่ในระบบควบคุมโรงไฟฟ้า หรือ Distribution Control Instrument System (DCIS) นำมาเข้าโปรแกรมการคำนวณประสิทธิภาพโรงไฟฟ้าและแสดงผลการคำนวณแบบ Real time ให้วิศวกรเดินเครื่องทราบประสิทธิภาพของโรงไฟฟ้า ณ เวลานั้นๆ ทั้งนี้

**โครงสร้างของระบบ**

โครงสร้างของระบบประกอบด้วย

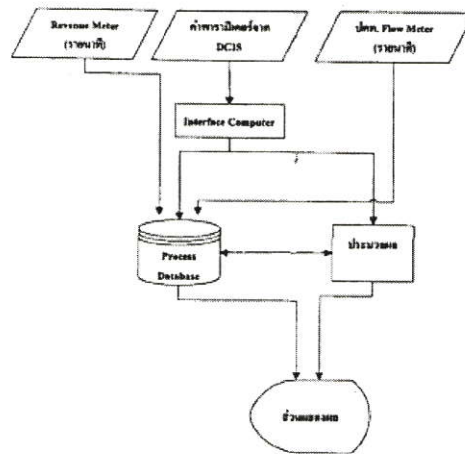
1. Plant DCIS คือระบบควบคุมการเดินเครื่องของโรงไฟฟ้า
2. Interface Computer ทำหน้าที่เป็นตัวกลางติดต่อระหว่าง Plant DCIS กับ Data Historian Server
3. Data Historian Server ทำหน้าที่เป็น Process database ซึ่งจะเก็บข้อมูลพารามิเตอร์ที่จำเป็นสำหรับกรคำนวณประสิทธิภาพของโรงไฟฟ้าไว้และเก็บข้อมูลประสิทธิภาพที่ได้จากการคำนวณแบบ Real time
4. Real Time Performance Program ทำงานโดยใช้ข้อมูลจาก Data Historian Server มาคำนวณหาประสิทธิภาพของแต่ละระบบและส่งผลการคำนวณกลับไป Server
5. Revenue Metering จะอ่านค่า Net MW ที่โรงไฟฟ้าจ่ายเข้าระบบจาก Revenue Meter
6. Operator เป็นคอมพิวเตอร์แสดงผลการคำนวณประสิทธิภาพโรงไฟฟ้าแจ้งให้ Operator ทราบ
7. Efficiency Engineer เป็นคอมพิวเตอร์แสดงผลการคำนวณประสิทธิภาพให้หน่วยงานแผนการผลิตและประสิทธิภาพโรงไฟฟ้าเพื่อตรวจสอบระบบที่ประสิทธิภาพลดลงกว่าเดิมและเป็นแนวทางในการปรับปรุงแก้ไข



รูปที่ 1 โครงสร้างระบบคำนวณประสิทธิภาพโรงไฟฟ้าแบบ Real Time

**3. การคำนวณประสิทธิภาพโรงไฟฟ้า**

การคำนวณ ประสิทธิภาพของโรงไฟฟ้าที่มีใช้กันอยู่ในประเทศไทยถึงแม้ว่าจะใช้อ้างอิงตามมาตรฐานของ ASME Performance Test Code แต่ในการใช้งานจริงจะมีการปรับพารามิเตอร์และปรับ วิธีคำนวณบางส่วนให้เป็นไปตามลักษณะการใช้งานดังต่อไปนี้



รูปที่ 2 ฟิล์วชาร์ตการทำงานอย่างต่อของระบบ Real Time Performance

1. การคำนวณประสิทธิภาพเพื่อใช้ในการตรวจรับโรงไฟฟ้า (Acceptance Test) จะใช้ในการตรวจรับโรงไฟฟ้าจากผู้สัญญาก่อสร้างโรงไฟฟ้า (Contractor) หรือผู้ผลิต ว่ามีประสิทธิภาพเป็นไปตามที่ประกันไว้หรือไม่ โดยปกติจะคำนวณที่ Base load และปรับค่าไปที่สภาพเครื่องใหม่ (new & clean)
  2. การคำนวณประสิทธิภาพแบบ Overall Efficiency ใช้ในการหาค่าประสิทธิภาพในขณะที่เดินเครื่องปกติ เพื่อหาค่าที่แท้จริงในการเดินเครื่อง ณ เวลานั้น การคำนวณประสิทธิภาพแบบนี้เป็นแบบใช้งานโดยทั่วไป
  3. การคำนวณประสิทธิภาพแบบ STEP Factor เป็นวิธีที่ใช้ผสมผสานระหว่างวิธีที่ 1 กับวิธีที่ 2 โดยจะหาอัตราส่วนเปรียบเทียบระหว่างค่าอัตราการใช้เชื้อเพลิง (Heat rate) จริงในปัจจุบันเทียบกับค่าเป้าหมายซึ่งมักจะเป็นค่าที่ได้จาก Acceptance Test ผลการคำนวณจะแสดงเป็นเปอร์เซ็นต์เทียบกับค่าเป้าหมาย หากค่าสูงมาก (ใกล้ถึง 100%) แสดงว่าอุปกรณ์มีประสิทธิภาพดี
  4. การคำนวณประสิทธิภาพแบบ PPA เป็นการคำนวณแบบใหม่ซึ่งใช้งานในโรงไฟฟ้าเอกชน (IPP และ SPP) โดยการคำนวณแบบนี้จะเน้นเฉพาะอัตราการใช้เชื้อเพลิงต่อค่าพลังงานไฟฟ้าที่ผลิตได้ในช่วงเวลา 15 นาที หากใช้เชื้อเพลิงมากกว่าค่าที่กำหนดในสัญญาซื้อขายไฟฟ้า (PPA) โรงไฟฟ้าจะต้องรับภาระเชื้อเพลิงเอง แต่หากใช้เชื้อเพลิงน้อยกว่าโรงไฟฟ้าก็จะมิได้รับจากค่าเชื้อเพลิงส่วนค่างนั้น
- การคำนวณประสิทธิภาพแบบ Real Time ที่ใช้ในบทความนี้จะคำนวณตามวิธี PPA เพื่อหาค่าประสิทธิภาพโดยรวมและปรับให้คล้ายกับวิธีของ STEP Factor โดยมีค่าเป้าหมาย 2 ค่า คือค่าเป้าหมายตาม PPA กับค่าเป้าหมายตาม Acceptance Test

4. ความสัมพันธ์ระหว่างประสิทธิภาพกับอัตราการใช้เชื้อเพลิงต่อหน่วยไฟฟ้า

นอกจากเราจะใช้ประสิทธิภาพของโรงไฟฟ้าเป็นตัวชี้วัดสมรรถนะของโรงไฟฟ้าแล้ว เรายังสามารถใช้อัตราการใช้เชื้อเพลิงต่อหน่วยไฟฟ้าที่ผลิตได้ (Heat rate) เป็นตัวชี้วัดอีกตัวหนึ่งซึ่งสองตัวมีความสัมพันธ์กันดังนี้ จาก [9],[16],[17]

$$\%Efficiency = \frac{Heat\ Output}{Heat\ Input} \times 100 \quad (1)$$

โดย Heat Input จะอยู่ในรูปของปริมาณเชิงความร้อนของเชื้อเพลิงที่ใช้หน่วยเป็น kJ

Heat Output จะอยู่ในรูปของปริมาณเชิงความร้อนของพลังงานไฟฟ้าที่จ่ายเข้าระบบ หน่วยเป็น kJ, จาก [9],[16],[17],[19]

$$NPHR = \frac{HC}{NPO} \quad (2)$$

เมื่อ NPHR คือ อัตราการใช้เชื้อเพลิงต่อพลังงานไฟฟ้าหรือ Heat rate, หน่วยเป็น kJ/kWh

HC คือปริมาณเชื้อเพลิงที่ใช้ต่อชั่วโมง, หน่วยเป็น kJ/hr

NPO คือกำลังไฟฟ้าที่จ่ายเข้าระบบ, หน่วยเป็น kW

จากสมการ (1) และ (2) จะได้ว่า

$$\%Efficiency = \frac{3600}{NPHR} \times 100 \quad (3)$$

5. การคำนวณประสิทธิภาพตามวิธี PPA

การคำนวณประสิทธิภาพโดยรวม (Overall Efficiency) ของโรงไฟฟ้าตามสัญญาซื้อขายไฟฟ้า (PPA) ที่ กฟผ. ทำกับโรงไฟฟ้าเอกชน (IPP หรือ SPP) จะตั้งอยู่บนเงื่อนไขโดยสรุปดังนี้ [20],[21]

1. โรงไฟฟ้าจะต้องจ่ายไฟฟ้าเข้าระบบตามปริมาณที่ กฟผ. สั่งการ
2. กฟผ. จะจ่ายค่าเชื้อเพลิงตามอัตราการใช้เชื้อเพลิงที่โรงไฟฟ้าได้ประกันไว้ตามวิธีคำนวณดังต่อไปนี้

$$FAllowance = MWhSentOut * FAllowMWhSent + FAllowHrSynch * HrSynch \quad (4)$$

เมื่อ FAllowance คือ ปริมาณเชื้อเพลิงที่ กฟผ. จะจ่ายให้โรงไฟฟ้า หน่วย MJ

MWhSentOut คือ กำลังไฟฟ้าที่ผลิตได้ตามที่ กฟผ. สั่งการ, หน่วย MWh

HrSynch คือ คาบเวลาที่โรงไฟฟ้า Synch กับระบบจ่าย จะคิดเป็นคาบเวลาละ 15 นาทีหรือ 0.25 ชั่วโมง

FAllowHrSynch และ FAllowMWhSent ได้มาจากการ Performance Test ที่โรงไฟฟ้าแต่ละแห่งประกันไว้กับ กฟผ. โดยอ้างอิงตารางที่ 1 และ 2

จากสมการ (3),(4) จะได้ว่า

$$NPHR_{PPA} = \frac{FAllowance}{MWhSentOut}$$

และ

$$\%Efficiency_{PPA} = \frac{3600}{NPHR_{PPA}} \times 100 \quad (6)$$

เมื่อ  $NPHR_{PPA}$  คือ อัตราการใช้เชื้อเพลิงต่อหน่วยไฟฟ้าตามวิธี PPA, หน่วย kJ/kWh

$\%Efficiency_{PPA}$  คือ ค่าประสิทธิภาพของโรงไฟฟ้าตามวิธี PPA, หน่วย %

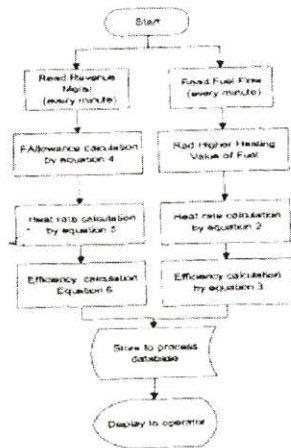
ตารางที่ 1 อัตราการใช้เชื้อเพลิงที่ประกันไว้ตามสัญญา PPA ของโรงไฟฟ้าพลังความร้อนแห่งหนึ่ง

Net Output Range (MW)	FAllowHrSynch (GJ/h)	FAllowMWhSent (GJ/MWh)
0 to 200	923.0231	6.4044
> 200 to 350	476.5049	8.5654
> 350 to 550	523.9344	8.5075
> 550 to 700	200.1910	9.0546

ตารางที่ 2 อัตราการใช้เชื้อเพลิงที่ประกันไว้ตามสัญญา PPA ของโรงไฟฟ้าพลังความร้อนร่วมแห่งหนึ่ง

Operating Mode	Number Of Operating GT	Net Output Range (MW)		Fallow HrSynch	Fallow MWhSent
		From	To	GJ/h	GJ/MWh
Combined Cycle	2	0	480	852.1800	6.0909
		>480	580	852.1800	6.0909
		>580	690	516.3833	6.6790
	1	0	220	453.2460	6.1295
		>220	280	453.2460	6.1295
		>280	340	342.7637	6.5229
Simple Cycle	2	0	300	1,466.0435	8.2147
		>300	358	1,466.0435	8.2147
		>358	440	1,060.8108	9.3589
	1	0	150	778.5774	8.0326
		>150	180	778.5774	8.0326
		>180	220	526.7546	9.4648

การคำนวณประสิทธิภาพและอัตราการใช้เชื้อเพลิงตามวิธี PPA ที่ใช้ในงานวิจัยนี้ โปรแกรมจะอ่านข้อมูล Real time เซ็นเซอร์ของโรงไฟฟ้าที่ผลิตได้ และปริมาณการใช้เชื้อเพลิงของโรงไฟฟ้า มาคำนวณตามสมการ 2 และ 3 ผลลัพธ์ที่ได้ไปแสดงผลเปรียบเทียบกับประสิทธิภาพและอัตราการใช้เชื้อเพลิงที่ กฟผ. ย้ำขอให้โรงไฟฟ้าตามสมการ 5 และ 6 ซึ่งแสดงตามไฟล์เวิร์ค ในรูปที่ 3



รูปที่ 3 ไฟล์เวิร์คการของโปรแกรมคำนวณประสิทธิภาพตามวิธี PPA

6. การคำนวณประสิทธิภาพในระบบต่างๆ ของโรงไฟฟ้า

การคำนวณประสิทธิภาพโดยรวม (Over all efficiency) และอัตราการใช้เชื้อเพลิงของโรงไฟฟ้า จะทำให้โรงไฟฟ้าทราบว่า เมื่อจับโรงไฟฟ้าใช้เชื้อเพลิงมากหรือน้อยกว่าค่าที่ประกันไว้กับ กฟผ. แต่ไม่สามารถบอกได้ว่าประสิทธิภาพของอุปกรณ์หรือระบบใด ดีหรือด้อยกว่าปกติ จึงจำเป็นต้องมีการหาประสิทธิภาพของแต่ละอุปกรณ์หรือระบบย่อย เพื่อให้วิศวกรเดินเครื่องสามารถปรับปรุงวิธีการเดินเครื่องหรือแจ้งหน่วยซ่อมให้แก่ผู้ใช้ที่มีประสิทธิภาพคือผู้เสนอ

ในงานวิจัยนี้ได้มีการหาประสิทธิภาพของอุปกรณ์และระบบย่อยของโรงไฟฟ้าโดยใช้พารามิเตอร์ Real time จาก ระบบควบคุมโรงไฟฟ้ามาคำนวณตามมาตรฐาน ASME โดยมีระบบหลักที่สำคัญดังนี้

1. Steam Generating Unit หรือ Boiler คำนวณโดยใช้วิธี Heat loss method ซึ่งแสดงได้โดยอยู่ใน part 7.3 ของ ASME PTC 4.1 [5] ดังนี้

$$\eta_b = 100 - \frac{L}{H_f + B} \times 100 \quad (7)$$

เมื่อ  $\eta_b$  คือ ประสิทธิภาพของ Boiler ตามวิธี Heat loss method, %  
 L คือ ความร้อนทั้งหมดที่สูญเสียจาก Boiler, kJ/kg ของเชื้อเพลิง  
 H<sub>f</sub> คือ ค่า Higher heating value ของ เชื้อเพลิง, kJ/kg ของเชื้อเพลิง  
 B คือ ปริมาณความร้อนทั้งหมดที่ใส่เข้า Boiler, kJ/kg ของเชื้อเพลิง

2. Steam Turbine คำนวณโดยใช้วิธีตาม ASME PTC 6 และ 6.1 ตาม [6] และ [7] ซึ่งแสดงไว้ดังสมการ ต่อไปนี้

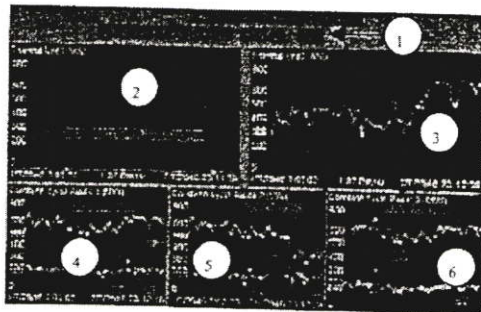
$$H.R. = \frac{W_1 h_1 + W_2 h_2 - W_3 h_3 - Q_4 (h_{35} - h_{30})}{kW_g} \quad (8)$$

เมื่อ H.R. คือ Turbine gross heat rate, kJ/kWh  
 W คือ Steam flow, kg/h  
 h คือ Enthalpy, kJ/kg  
 kW<sub>g</sub> คือ กำลังไฟฟ้าที่จ่ายออกจาก Generator หักด้วย Excitation  
 1 คือ จุดวัดที่ Turbine main stop valve  
 2 คือ จุดวัดที่ High pressure turbine outlet  
 3 คือ จุดวัดที่ Reheat stop valve inlet  
 H คือ จุดวัดที่ Final feed water heater  
 Q<sub>4</sub> คือ Extraction steam flow for steam air heater  
 H<sub>35</sub>, h<sub>30</sub> คือ Extraction steam enthalpy and drain enthalpy for steam air heater

3. ระบบย่อยอื่นๆ ขึ้นได้แก่ Condenser, Cooling tower, Heat Exchanger, Pump, Fan เป็นต้น คำนวณตามมาตรฐาน ASME ที่เกี่ยวข้อง

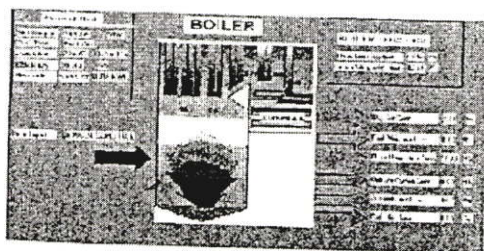
7. การแสดงผลและวิเคราะห์ประสิทธิภาพ

การแสดงผลการคำนวณประสิทธิภาพของโรงไฟฟ้าจะแสดงผลดังตัวอย่างต่อไปนี้



รูปที่ 4 สถานะกำลังผลิตปัจจุบันของโรงไฟฟ้าแห่งหนึ่ง

- หมายเลข 1 : แสดงกำลังผลิตโดยรวมของโรงไฟฟ้าแห่งหนึ่ง
- หมายเลข 2 : กราฟแสดงปริมาณไฟฟ้าที่ผลิตได้ของโรงไฟฟ้าถึงความร้อนเครื่องที่ 1 (ในขณะที่กำลังอยู่ระหว่างหยุดเดินเครื่องเพื่อซ่อมอุปกรณ์)
- หมายเลข 3 : กราฟแสดงปริมาณไฟฟ้าที่ผลิตได้ของโรงไฟฟ้าถึงความร้อนเครื่องที่ 2
- หมายเลข 4 : กราฟแสดงปริมาณไฟฟ้าที่ผลิตได้ของโรงไฟฟ้าถึงความร้อนร่วมเครื่องที่ 1
- หมายเลข 5 : กราฟแสดงปริมาณไฟฟ้าที่ผลิตได้ของโรงไฟฟ้าถึงความร้อนร่วมเครื่องที่ 2
- หมายเลข 6 : กราฟแสดงปริมาณไฟฟ้าที่ผลิตได้ของโรงไฟฟ้าถึงความร้อนร่วมเครื่องที่ 3

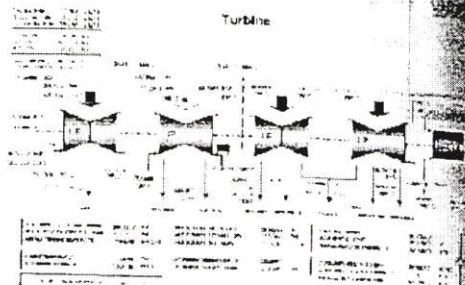


รูปที่ 5 ประสิทธิภาพของ Boiler ของโรงไฟฟ้าพลังความร้อนแห่งหนึ่ง

อธิบายการแสดงผล

จ่ายไฟฟ้าในระบบที่ 705.15 MW โดยเชื้อเพลิงก๊าซ  
อัตราการใช้เชื้อเพลิง 224.67 kNm<sup>3</sup>/hr

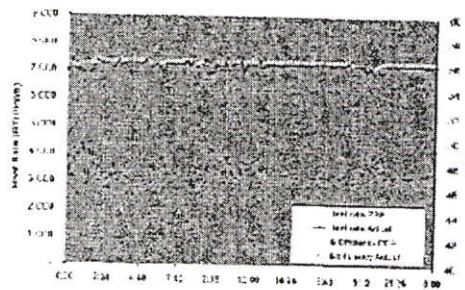
Heat rate ตามวิธี PPA 9,633.37 BTU/kWh  
ประสิทธิภาพโรงไฟฟ้าตามวิธี PPA 35.42%  
ประสิทธิภาพ Boiler ตามมาตรฐาน ASME 86.94%



รูปที่ 6 ประสิทธิภาพของ Steam Turbine ของโรงไฟฟ้าพลังความร้อนแห่งหนึ่ง

อธิบายการแสดงผล

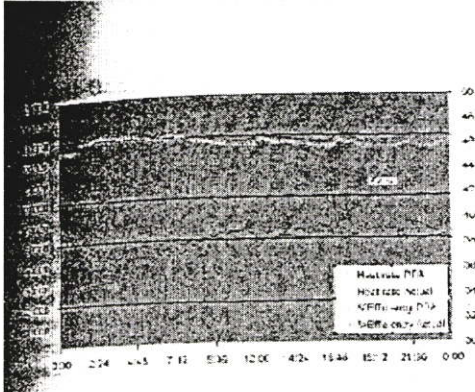
จ่ายไฟฟ้าในระบบที่ 676.382 MW โดยเชื้อเพลิงก๊าซ  
ประสิทธิภาพโดยรวมของโรงไฟฟ้าด้วยวิธี PPA 31.45%  
Heat rate ด้วยวิธี PPA 11,444.6 kJ/kWh  
ประสิทธิภาพ Steam Turbine ตามมาตรฐาน ASME 39.58%  
HP, IP, LP หมายถึง Turbine stage High pressure, Intermediate pressure และ Low pressure ตามลำดับ



รูปที่ 7 ตัวอย่างกราฟเปรียบเทียบระหว่างเชื้อเพลิงที่ได้รับจาก กฟผ. กับเชื้อเพลิงที่ใช้จริงของวันที่ 1 มี.ย.46 (Combined cycle)

วิเคราะห์ผล

โรงไฟฟ้า Combine cycle ใช้เชื้อเพลิงน้อยกว่าค่าที่ประกันไว้ในสัญญาซื้อขายไฟฟ้าประมาณ 0.5-2.0% แสดงว่าสามารถควบคุมการเดินเครื่องได้มีประสิทธิภาพตลอดเวลา



รูปที่ 8 ตัวอย่างกราฟเปรียบเทียบระหว่างเชื้อเพลิงที่ได้ปริมาณ กฟผ. กับเชื้อเพลิงที่ใช้จริงของวันที่ 1 เม.ย.46 (Thermal Plant)

**ภาวะที่ผล**

โรงไฟฟ้าพลังความร้อนใช้เชื้อเพลิงมากกว่าที่ประกันไว้ ในสัญญาซื้อขายไฟฟ้า ซึ่งเมื่อตรวจสอบภายหลังในแต่ละระบบพบว่า Cooling Tower มีประสิทธิภาพลดลงมาก และเมื่อตรวจสอบที่อุปกรณ์พบว่าปริมาณแลกเปลี่ยนความร้อนถูกหั่นป้อนจำนวนมาก ซึ่งจะห้ต้องดำเนินการเปลี่ยนต่อไป

**8. สรุปผล**

การคำนวณประสิทธิภาพโรงไฟฟ้าแบบ Real time โดยบริษัท บูลซิงเกอร์ระบบควบคุมโรงไฟฟ้าโดยตรง ทำให้วิศวกรเดินเครื่องสามารถตรวจสอบประสิทธิภาพและอัตราการใช้เชื้อเพลิงต่อหน่วยผลิตไฟฟ้าของโรงไฟฟ้าได้ตลอดเวลา หากพบว่าระบบใดมีประสิทธิภาพลดลงก็สามารถปรับปรุงขบวนการผลิตเพื่อเพิ่มประสิทธิภาพได้ หรือหากไม่สามารถแก้ไขได้ก็จะได้ใช้ประโยชน์ในการวางแผนการซ่อมบำรุงเพื่อเพิ่มประสิทธิภาพได้

ด้วยเทคนิคการคำนวณประสิทธิภาพโรงไฟฟ้าแบบ Real Time นี้จะทำให้โรงไฟฟ้า IPP และ SPP สามารถบริหารจัดการใช้เชื้อเพลิงได้อย่างทันเวลาและดีกว่าการทดสอบประสิทธิภาพโรงไฟฟ้าตามวาระแบบเดิม ทำให้สามารถเพิ่มศักยภาพในการแข่งขันราคาในตลาดซื้อขายไฟฟ้าในอนาคตได้

**9. กิจกรรรมประกาศ**

ผู้วิจัยขอขอบพระคุณการไฟฟ้าฝ่ายผลิตแห่งประเทศไทยและบริษัทผลิตไฟฟ้าราชบุรี จำกัด ที่ได้อนุญาตให้ใช้ข้อมูลของโรงไฟฟ้าเพื่อประโยชน์ในการทำวิจัย

**เอกสารอ้างอิง**

[1] ASME Performance Test Code 1 General Instruction

[2] ASME Performance Test Code 2 Code of definitions and values  
 [3] ASME Performance Test Code 3.1 Diesel and Burner Fuels  
 [4] ASME Performance Test Code 3.3 Gaseous Fuels  
 [5] ASME Performance Test Code 4.1 Steam Generating Units  
 [6] ASME Performance Test Code 6 Steam Turbines  
 [7] ASME Performance Test Code 6.1 Steam Turbines  
 [8] ASME Performance Test Code Report(1985) Steam Turbines  
 [9] ASME Performance Test Code 46 Overall Plant Performance  
 [10] ASME Performance Test Code 4.4 Gas Turbine Heat Recovery Steam Generator  
 [11] ASME Performance Test Code 22 Gas Turbine Plants  
 [12] AGA-Report 3 Fuel Flow Rate  
 [13] AGA- Report 8 Determination of Density of Natural Gas  
 [14] ASTM D-1480 Determination of Specific Gravity  
 [15] ASTM D-2382 Determination of H.H.V (High Heating Value)  
 [16] Performance Test Procedure of Ratchaburi Thermal Plant Unit 1&2  
 [17] Performance Test Report of Ratchaburi Thermal Plant Unit 1&2  
 [18] Heat Balance Diagram of Ratchaburi Thermal Plant Unit 1&2  
 [19] ABB,Asea Brown Boveri, Combustion Fossil Power  
 [20] Power Purchase Agreement for Ratchaburi Thermal Plant  
 [21] Power Purchase Agreement for Ratchaburi Combined cycle Plant



นายคณา กุณพันธ์ นักศึกษาปริญญาโท สาขาวิศวกรรมไฟฟ้า ส่วนวิจัยการศึกษาระดับปริญญาตรีที่สถาบันเทคโนโลยีพระจอมเกล้าเจ้าคุณทหารลาดกระบังเมื่อปี 2532 ปัจจุบันทำงานเป็นวิศวกร

ส่วนวิศวกรรมการผลิตและประสิทธิภาพ บริษัทผลิตไฟฟ้าราชบุรี งานวิจัยที่สนใจคือ Electric Field Calculation by CSM หรือ FEM. ปัจจุบันทำวิจัยด้านการปรับปรุงประสิทธิภาพของโรงไฟฟ้า



นายศิริวัฒน์ ทธิเวชกุล จบการศึกษา วศ.บ. ไฟฟ้า และ วศ.ม. ไฟฟ้า จากสถาบันเทคโนโลยีพระจอมเกล้าเจ้าคุณทหารลาดกระบัง ปัจจุบันดำรงตำแหน่งเป็นรองศาสตราจารย์ ประจำภาควิชาวิศวกรรมไฟฟ้า

สถาบันเทคโนโลยีพระจอมเกล้าเจ้าคุณทหารลาดกระบัง โดยทำงานวิจัยในด้าน วิศวกรรมไฟฟ้าแรงสูง, วิศวกรรมไฟฟ้า, การวิเคราะห์ระบบไฟฟ้ากำลังและการวิเคราะห์เสถียรของนิกสีในระบบไฟฟ้ากำลัง

การประชุมวิชาการทางวิศวกรรมไฟฟ้า ครั้งที่ 27  
27<sup>th</sup> Electrical Engineering Conference

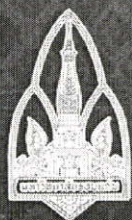
# Volume I

สาขาบทความ

- ไฟฟ้ากำลัง (PW)
- อิเล็กทรอนิกส์กำลัง (PE)
- งานวิจัยที่เกี่ยวข้องกับวิศวกรรมไฟฟ้า (GN)

11-12 พฤศจิกายน 2547

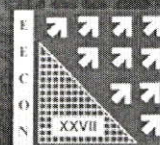
โรงแรมโซฟิเทล ราชา ออคิด ขอนแก่น



ดำเนินการจัดประชุมโดย

ภาควิชาวิศวกรรมไฟฟ้า คณะวิศวกรรมศาสตร์

มหาวิทยาลัยขอนแก่น



## ประสบการณ์และการใช้ประโยชน์จากระบบข้อมูล Real Time ของโรงไฟฟ้า An Experience and Application in Power Plant Real Time Information System

ทศพร คุณพันธ์ และ ศิววิวัฒน์ โพธิ์ขาวกุล

ภาควิชาวิศวกรรมไฟฟ้ากำลัง คณะวิศวกรรมศาสตร์ สถาบันเทคโนโลยีพระจอมเกล้าเจ้าคุณทหารลาดกระบัง

ถ. ฉลอมกรุงฯ เขตลาดกระบัง กรุงเทพมหานคร

โทร. 0-2123-4567 ต่อ 123 โทรสาร 0-2123-4567 E-mail: khongkhak@ratchgen.co.th, kpsirawa@kmitl.ac.th

### บทคัดย่อ

บทความนี้กล่าวถึงประสบการณ์และการใช้ประโยชน์จากระบบข้อมูล Real Time ของโรงไฟฟ้า ซึ่งเป็นการนำพารามิเตอร์และข้อมูลจากอุปกรณ์วัดจากระบบควบคุมโรงไฟฟ้ามาเชื่อมต่อกับระบบคอมพิวเตอร์ส่วนบุคคล เพื่อเก็บเป็นฐานข้อมูลและส่งข้อมูลไปใช้โปรแกรมเพื่อใช้ประโยชน์ในด้านต่างๆ เช่น รายงานสภาพการเดินเครื่อง การผลิตและสถานะของโรงไฟฟ้า, คำนวณประสิทธิภาพของโรงไฟฟ้า, วิเคราะห์สภาพของเครื่องจักร, วิเคราะห์ความถูกต้องของอุปกรณ์วัด เป็นต้น การดึงข้อมูลออกจากระบบควบคุมโรงไฟฟ้าที่เชื่อมกับคอมพิวเตอร์ส่วนบุคคล ทำให้แบ่งแยะระบบควบคุมและโปรแกรมคำนวณออกจากกัน เพิ่มความปลอดภัย สะดวกแก่ใจเพิ่มเติมได้ง่าย และยังสามารถเชื่อมต่อไปใช้ระบบเครือข่ายอื่นๆ หรือโรงไฟฟ้าอื่นได้ด้วย

คำสำคัญ : ระบบข้อมูล real time, โรงไฟฟ้า

### Abstract

The primary objective of this paper is to explain the experiences and the applications of power plant's real-time data system, which is to take parameter and data from Distributed Control & Information System (DCIS) to interface with the personal computer system in order to be kept as database and transmit to the program for various applications such as the report on the operation, production and status of the power plant, the power plant's efficiency calculation, the machine diagnostics, the sensor validation, etc. The data retrieval from DCIS to personal computer will separate the control system from the calculation program, increase the security and the convenience, and make the data easy to edit. Moreover, it is possible to connect to other networks or power plants.

Key words: Real time information system, power plant

### 1. บทนำ

เทคโนโลยีการควบคุมโรงไฟฟ้าที่มีอยู่ในประเทศไทย มักจะเป็นระบบปิดและถูกออกแบบมาเพื่อใช้ควบคุมการเดินเครื่องโรงไฟฟ้าเท่านั้น ทำให้การเพิ่มขีดความสามารถในด้านอื่นๆ ที่ไม่เกี่ยวข้องกับการควบคุมโรงไฟฟ้าทำได้ยาก คือใช้โปรแกรมที่ออกแบบเป็นการเฉพาะสำหรับระบบควบคุมนั้นๆ ซึ่งมักมีข้อจำกัดและมีค่าใช้จ่ายสูง การปรับปรุงแก้ไขทำได้ยาก และในบางกรณีมีความเสี่ยงต่อการหยุดเดินเครื่องอีกด้วย แต่ในช่วงสิบปีที่ผ่านมา ได้มีผู้พัฒนาโปรแกรมคอมพิวเตอร์ดึงข้อมูลจากระบบควบคุมโรงไฟฟ้าแบบเรียลไทม์ที่คอมพิวเตอร์ส่วนบุคคล และสามารถทำงานแบบ Real Time ไปพร้อมๆ กับการควบคุมโรงไฟฟ้าได้ จึงมีการพัฒนาโปรแกรมต่างๆ บนคอมพิวเตอร์ส่วนบุคคลเพื่อนำข้อมูลและพารามิเตอร์ต่างๆ ไปใช้งาน

ผู้เขียนบทความนี้จะกล่าวถึงประสบการณ์ในการใช้คอมพิวเตอร์ส่วนบุคคลเชื่อมต่อกับระบบควบคุมโรงไฟฟ้าและการนำพารามิเตอร์และค่าจากอุปกรณ์วัดมาเก็บเป็นฐานข้อมูล และนำไปประมวลผลและวิเคราะห์ในด้านต่างๆ ดังต่อไปนี้

1. การแสดงสถานะการผลิต การรายงานสภาพการเดินเครื่องของโรงไฟฟ้า
2. การคำนวณประสิทธิภาพของโรงไฟฟ้าแบบ Real Time
3. การวิเคราะห์สภาพของเครื่องจักร
4. การวิเคราะห์ความถูกต้องของอุปกรณ์วัด

### 2. โครงสร้างของระบบ

ระบบ Real Time Information System ประกอบด้วย

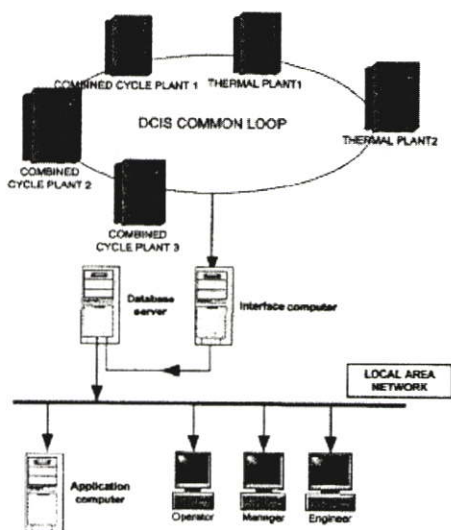
1. ระบบควบคุมโรงไฟฟ้า (DCIS) ควบคุมโรงไฟฟ้าที่นิยมใช้ในระบบควบคุมแบบกระจาย (Distributed Control & Information System) ทำหน้าที่ควบคุมการเดินเครื่องโรงไฟฟ้า โดยปกติมักเป็นระบบปิดไม่อนุญาตให้เชื่อมต่อกับเครื่องอื่น แต่ในระยะหลังมีผู้พัฒนาโปรแกรมเชื่อมต่อกับคอมพิวเตอร์ส่วนบุคคลทำให้สามารถนำข้อมูลและพารามิเตอร์จากระบบควบคุมมาใช้งานนอกกรอบได้

2. คอมพิวเตอร์ต่อเชื่อม (Interface computer): ทำหน้าที่ดึงข้อมูลจากระบบควบคุมโรงไฟฟ้า (DCIS) ส่งต่อให้คอมพิวเตอร์ฐานข้อมูล

3. คอมพิวเตอร์ฐานข้อมูล (Process database computer): ทำหน้าที่รับข้อมูลจากคอมพิวเตอร์ต่อเชื่อมเพื่อเก็บเป็นฐานข้อมูล โดยฐานข้อมูลที่เหมาะสมควรจะเป็น process database ไม่ใช่ SQL database เพื่อความถูกต้องและแม่นยำ คอมพิวเตอร์นี้จะรับส่งข้อมูลระหว่างโปรแกรมต่างๆ ปกติแล้วจะออกแบบให้เก็บค่าต่างๆ ได้ไม่น้อยกว่า 1 ปี

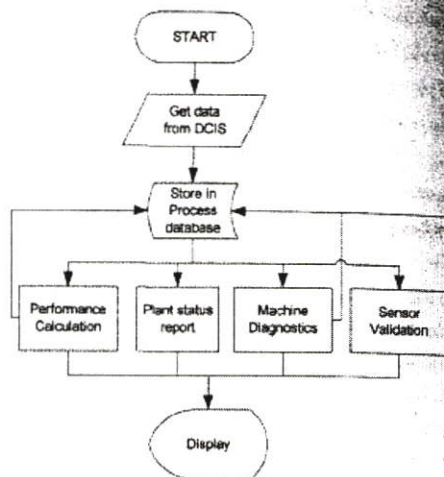
4. คอมพิวเตอร์ประมวลผล (Application computer) : ทำหน้าที่ประมวลผลโปรแกรมต่างๆ ที่ถูกพัฒนาขึ้นในระบบคอมพิวเตอร์ส่วนบุคคล โดยสามารถพัฒนาโดยใช้วิชวลเบสิก, เดลไฟซ์ หรือ ทำงานบนโปรแกรมเอกเซล ก็ได้

5. คอมพิวเตอร์ผู้ใช้งาน (User): คอมพิวเตอร์ผู้ใช้งานจะเชื่อมต่อกับคอมพิวเตอร์ฐานข้อมูลเพื่อรับข้อมูลที่ผ่านการคำนวณแล้วมาแสดงผล คอมพิวเตอร์กลุ่มนี้เป็นคอมพิวเตอร์ใช้งานทั่วไปในสำนักงาน ผู้ใช้ไม่จำเป็นต้องอยู่ที่ห้องควบคุมในโรงไฟฟ้า อาจอยู่ในสถานที่ห่างไกลเช่นอยู่ที่ศูนย์ถักควบคุมโรงไฟฟ้ารวม, ส่วนบริหารโรงไฟฟ้า, หรือที่ต่างๆ โดยสามารถเข้าถึงข้อมูลโรงไฟฟ้าได้โดยสะดวกและรวดเร็ว



รูปที่ 1 โครงสร้างของระบบ Real Time information system

3. โฟลว์ชาร์ตการทำงานของระบบ



รูปที่ 2 โฟลว์ชาร์ตการทำงานของระบบ Real time information system

4. การใช้ประโยชน์จากข้อมูลของระบบ Real time information system

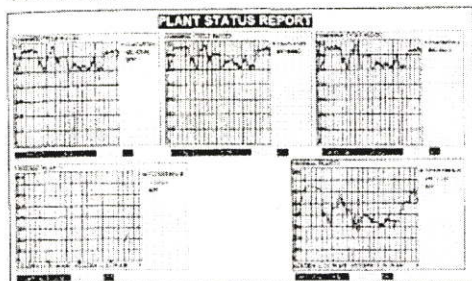
ข้อมูลจากอุปกรณ์วัดและพารามิเตอร์ที่ใช้ในการควบคุมโรงไฟฟ้าเป็นข้อมูลที่มีประโยชน์และสามารถนำไปแสดงผล ประมวลผล และทำการวิเคราะห์โดยใช้โปรแกรมต่างๆ ได้หลายวิธี ดังตัวอย่างต่อไปนี้

4.1 ระบบสถานะของโรงไฟฟ้าแบบ Real Time

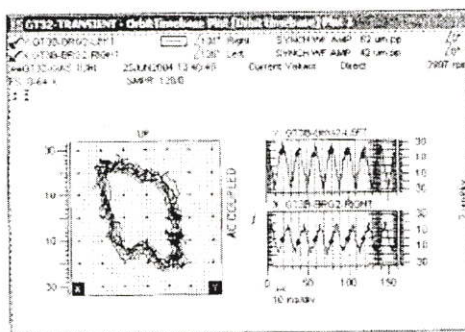
ในระบบเดิมการแสดงผลสถานะของการผลิตจะต้องแสดงผ่านคอมพิวเตอร์ควบคุมโรงไฟฟ้าที่ติดตั้งอยู่ในโรงไฟฟ้า ผู้ใช้งานจะต้องประจำอยู่ที่ห้องควบคุมโรงไฟฟ้าซึ่งหมายถึงวิศวกรเดินเครื่องเท่านั้น แต่ในการปฏิบัติการจริง โรงไฟฟ้าจำเป็นต้องได้รับการสนับสนุนจากฝ่ายซ่อมบำรุง ฝ่ายวางแผนการผลิต ผู้บริหาร ผู้ถือหุ้น หรือในบางกรณีก็จำเป็นต้องรายงานสภาพการผลิตต่อชุมชนด้วย

ระบบรายงานสถานะของโรงไฟฟ้าผ่านทางคอมพิวเตอร์ส่วนบุคคลได้ทำหน้าที่นี้ได้อย่างสมบูรณ์แบบ โดยสามารถรายงานสถานะการผลิต ค่าแรงไฟฟ้าที่ผลิตได้, ปริมาณเชื้อเพลิงที่ใช้, สถานะของเครื่องจักร, ค่าโอเอสจากปล่อง ผ่านทางระบบเครือข่ายคอมพิวเตอร์ปรกติ (LAN) หรือยังสามารถส่งทางระบบเครือข่าย internet ได้ นอกจากนี้

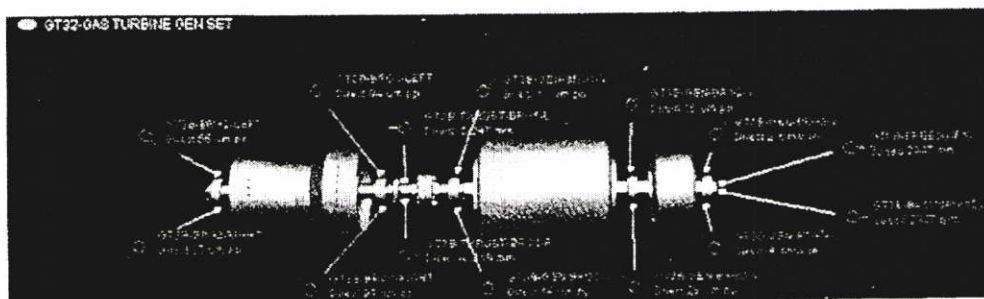
ยังสามารถรายงานความผิดปกติของอุปกรณ์ผ่านทางโทรศัพท์มือถือ, อีเมลหรือทวิตเตอร์อีกด้วย



รูปที่ 3 ตัวอย่างการแสดงผลสถานะการเดินของโรงไฟฟ้าแห่งนี้



รูปที่ 5 ตัวอย่างการแสดงผลการวัดค่าสั่นสะเทือนของ Gas Turbine ของโรงไฟฟ้าแห่งนี้



รูปที่ 4 ตัวอย่างการแสดงผลการวัดค่าสั่นสะเทือนของ Gas Turbine ของโรงไฟฟ้าแห่งนี้

#### 4.2 ระบบคำนวณประสิทธิภาพโรงไฟฟ้าแบบ Real Time

การวัดประสิทธิภาพโรงไฟฟ้าเดินจะทำการเก็บข้อมูลและทดสอบประมาณปีละไม่เกิน 1 ครั้งซึ่งมักจะทำในช่วงก่อนหรือหลังรวมจ่ายใหญ่ประจำปี ทั้งนี้เนื่องเพราะมีค่าใช้จ่ายสูง ต้องใช้บุคลากรพิเศษ, ใช้เวลาเก็บข้อมูลหลายวัน, ในบางกรณีอาจจำเป็นต้องหยุดเดินเครื่องด้วย ซึ่งการวัดประสิทธิภาพแบบนี้ ความเชื่อถือได้ของผลการวัดจะอยู่ในช่วง 2-3 เดือนแรกหลังการวัดเท่านั้นและจะคลาดเคลื่อนเพิ่มขึ้นเรื่อยๆตามเวลาการเดินเครื่องที่เพิ่มขึ้นในอนาคตจะมีการวัดประสิทธิภาพโรงไฟฟ้าอีกครั้งหนึ่ง การวัดประสิทธิภาพโรงไฟฟ้าแบบเรียลไทม์สำหรับโรงไฟฟ้า IPP หรือ SPP แล้ววัดจ่ายออกมาไม่ได้เนื่องจากความเสียหายซื้อขายไฟฟ้า (PPA) กำหนดจ่ายค่าเชื้อเพลิงเป็นราคา 15 นาที ทำให้โรงไฟฟ้าเอกชน จะต้องหาประสิทธิภาพและวัดการใช้จ่ายเชื้อเพลิงของโรงไฟฟ้าที่อยู่ตลอดเวลา

การคำนวณประสิทธิภาพแบบ Real Time ของโรงไฟฟ้าพลังความร้อนและพลังความร้อนร่วม [1] เป็นตัวอย่างที่ดีสำหรับการใช้ระบบแบบ real time information system โดยให้นำระบบการวัดการใช้เชื้อเพลิงและค่าส่งไฟฟ้าที่ผลิตได้มาคำนวณประสิทธิภาพโรงไฟฟ้าและเปรียบเทียบกับอัตราค่าเชื้อเพลิงคงที่โดยอ้างอิงค่าไฟฟ้า ซึ่งทำให้วิศวกรเดินเครื่องทราบต้นทุนการผลิตไฟฟ้าทุกนาที ทำให้วางแผนการเดินเครื่องและบำรุงรักษาเพื่อให้มีค่าใช้จ่ายต่ำที่สุดได้

#### 4.3 ระบบวิเคราะห์สภาพและความคิดปรกติของเครื่องจักร

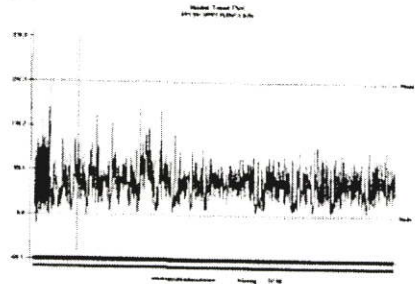
ในที่นี่จะกล่าวถึงเฉพาะระบบวัดการสั่นสะเทือนของเครื่องจักร เช่น ปั๊ม, มอเตอร์เท่านั้น ระบบตรวจสอบสภาพและความคิดปรกติของเครื่องจักรจะนำค่าความสั่นสะเทือนจากอุปกรณ์วัดที่ติดตั้งไว้ ในจุดต่างๆ ของเครื่องจักร มาทำการวิเคราะห์ ตรวจสอบสภาพตลอดเวลาที่เดินเครื่องจักรอยู่ (Real Time) ซึ่งจำเป็นต้องใช้ผู้เชี่ยวชาญในการแปล

ความหมาย แต่เนื่องจากมีโปรแกรมวิเคราะห์นี้คือคิดตั้งที่โรงไฟฟ้าเท่านั้น ทำให้ใช้งานไม่ได้สะดวกและไม่ทันเวลา เพราะผู้เฝ้าโรงไฟฟ้านั้นจะไม่ได้ประจำอยู่ที่โรงไฟฟ้า ส่วนใหญ่ประจำอยู่ที่หน่วยซ่อมบำรุง หรืออยู่ต่างประเทศที่แต่ด้วยระบบ Real time information system ทำให้สามารถส่งข้อมูลการสิ้นสิ้นของเครื่องจักรจากคอมพิวเตอร์ฐานข้อมูลผ่านระบบเครือข่าย ไปแสดงผลที่ผู้เชี่ยวชาญได้ ทำให้วิเคราะห์และแจ้งผลมาที่วิศวกรเดินเครื่องให้ไปปรับปรุงการเดินเครื่องได้ทันที

4.4 ระบบตรวจสอบอุปกรณ์วัด

ในโรงไฟฟ้า 1 แห่งจะมีอุปกรณ์ตรวจวัดหลายพันตัว อุปกรณ์วัดเหล่านี้จะส่งผลการวัดไปยังอุปกรณ์ควบคุมระบบโรงไฟฟ้า เพื่อให้ทำงานจากไฟฟ้าได้สมบูรณ์แบบ การสอบเทียบอุปกรณ์ที่ทำอยู่เดิมจะใช้วิธีเทียบเทียบ 100% ทำให้ใช้เวลานานและส่วนใหญ่แล้วอุปกรณ์วัดเหล่านี้มักจะไม่คลาดเคลื่อนมากนัก แต่เนื่องจากไม่มีวิธีการใดจะทดสอบได้ โลกไม่ได้ต้องการอุปกรณ์ ทำให้ต้องใช้เวลามากและค่าใช้จ่ายสูงมากในการดำเนินการ ด้วยเหตุนี้เองจึงมีผู้พัฒนาโปรแกรมเพื่อตรวจสอบการทำงานของอุปกรณ์วัดเหล่านี้ โดยใช้วิธีการทางคณิตศาสตร์ เพื่อให้สามารถทำนายผลการวัด เพื่อเปรียบเทียบกับค่าที่วัดได้จริง หากมีการคลาดเคลื่อนเกินขอบเขตที่ระบุไว้ก็จะแจ้งเตือนให้วิศวกรทราบเพื่อทำการสอบเทียบต่อไป ทำให้ไม่จำเป็นต้องสอบเทียบอุปกรณ์วัดทุกตัว ส่งผลให้ลดค่าใช้จ่ายไปได้

วิธีการนี้ค่อนข้างใหม่และยังไม่ได้ใช้กันเป็นแพร่หลาย เนื่องจากยังไม่มีผลการทดสอบที่ยืนยันได้เพียงพอเพียง แต่ก็เป็นวิธีที่น่าสนใจวิธีหนึ่ง



รูปที่ 6 ตัวอย่างการแสดงผลการวิเคราะห์ความถูกต้องของอุปกรณ์วัด

5 สรุป

ด้วยความรู้เชิงปัญญาของระบบผู้เชี่ยวชาญ การเข้าถึงข้อมูลตลอดเวลา (Real Time) ทุกที่ทุกเวลาที่มีความสำคัญซึ่งเมื่อก่อนนั้นแค่ระบบการผลิตไฟฟ้า การมีข้อมูลจากโรงไฟฟ้าที่ทันสมัย

การนี้จะช่วยให้ผู้บริหาร วิศวกร โรงไฟฟ้า สามารถวางแผนการผลิต การบำรุงรักษา รวมทั้งชี้แจงข้อผิดพลาด นักลงทุนรวมทั้งชุมชนรอบๆ โรงไฟฟ้าได้เป็นอย่างดี

5. กิตติกรรมประกาศ

ผู้เขียนบทความขอขอบคุณ การไฟฟ้าฝ่ายผลิตแห่งประเทศไทยและบริษัทผลิตไฟฟ้าราชบุรี ที่ให้ข้อมูลที่เป็นประโยชน์ในการเขียนบทความนี้

5. เอกสารอ้างอิง

[1] ทงศาคุณพันธ์, ศิริวัฒน์ โหริเวชกุล "คำนวณประสิทธิภาพแบบ Real time ของโรงไฟฟ้าหลังความถี่และพลังความร้อน", การประชุมวิชาการครั้งที่ 26



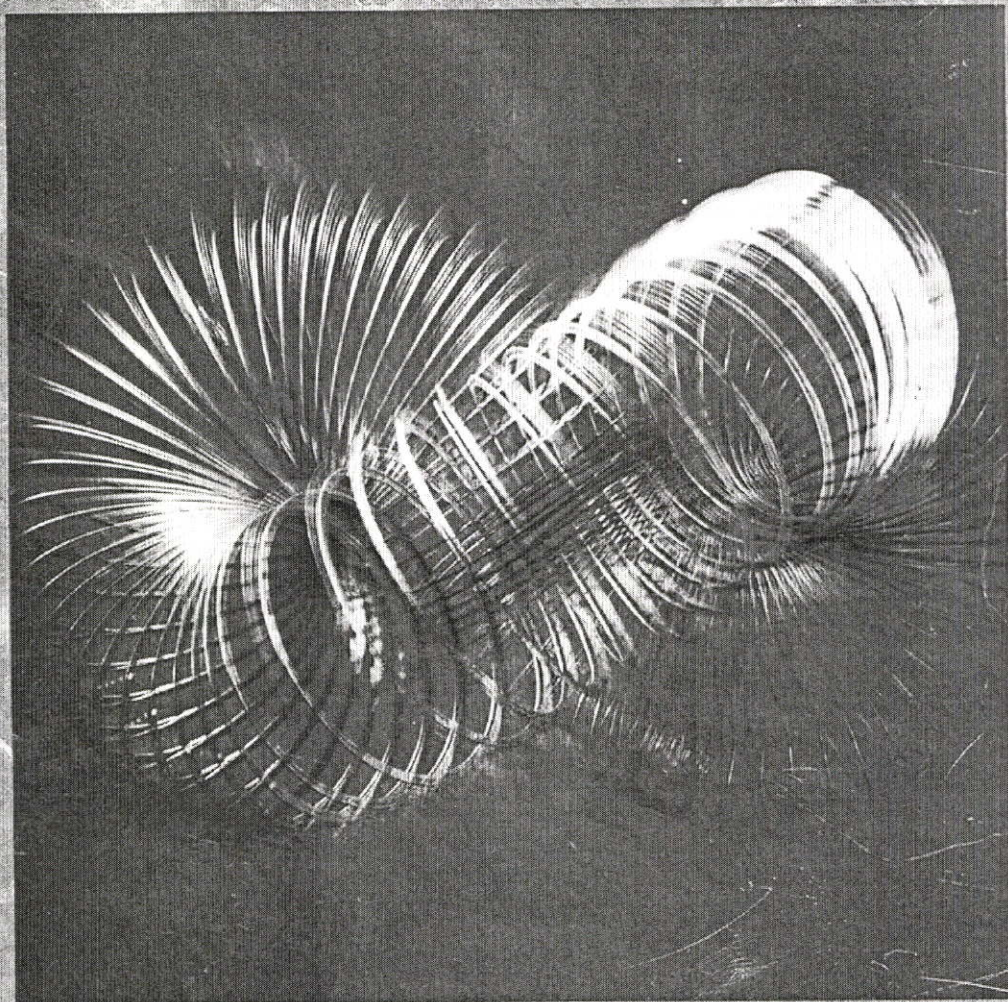
นายทงศา คุณพันธ์ นักศึกษาปริญญาโท สาขาวิศวกรรมไฟฟ้า สำเร็จการศึกษาในระดับปริญญาตรีที่สถาบันเทคโนโลยีพระจอมเกล้าเจ้าคุณทหารลาดกระบังเมื่อปี 2532 มีปัจจุบันทำงานเป็นวิศวกรส่วนวิศวกรรมการผลิตและประสิทธิภาพ บริษัทผลิตไฟฟ้าราชบุรี งานวิจัยที่สนใจคือ Electric Field Calculation by CSM หรือ FEM ปัจจุบันทำวิจัยด้านการปรับปรุงประสิทธิภาพของโรงไฟฟ้า



รศ. ศิริวัฒน์ โหริเวชกุล จบการศึกษา วศ.บ. ไฟฟ้า และ วศ.ม. ไฟฟ้า จากสถาบันเทคโนโลยีพระจอมเกล้าเจ้าคุณทหารลาดกระบัง มีปัจจุบันดำรงตำแหน่งเป็นรองศาสตราจารย์ ประจำภาควิชาวิศวกรรมไฟฟ้า สถาบันเทคโนโลยีพระจอมเกล้าเจ้าคุณทหารลาดกระบัง โดยทำงานวิจัยในด้าน วิศวกรรมไฟฟ้าแรงสูง, วิศวกรรมไฟฟ้า, การวิเคราะห์ระบบไฟฟ้ากำลังและการวิเคราะห์ฮาร์มอนิกส์ในระบบไฟฟ้ากำลัง



# การประชุมวิชาการ ทางวิศวกรรมไฟฟ้า ครั้งที่ 16



ณ คณะวิศวกรรมศาสตร์  
สถาบันเทคโนโลยีพระจอมเกล้าเจ้าคุณทหารลาดกระบัง  
25-26 พฤศจิกายน 2536

# การวิเคราะห์สนามไฟฟ้าจากวิธีจำลองประจุโดยใช้คอมพิวเตอร์กราฟฟิค ๓ มิติ (Electric field analysis from CSM presented by computer graphics 3D)

ภกษา คุณพันธ์ \*    ศิริวัฒน์ โทษะขุณ \*\*

**บทคัดย่อ** - การคำนวณหาค่าสนามไฟฟ้าและศักย์ไฟฟ้าในแถบของอิเล็กโตรดในบทความฉบับนี้ใช้วิธีจำลองประจุ โดยวิธีนี้จะสมมูลให้ประจุที่กระจายอยู่รอบเขตที่เรขาคณิตให้อยู่ในรูปแบบที่สามารถคำนวณได้ง่าย ซึ่งวิธีนี้ได้เปรียบกว่าการใช้วิธี FEM, FDM เพราะระบบที่เรขาคณิตที่ซับซ้อนไม่จำกัดและเป็นระบบที่สมมาตรในเชิง 3 มิติ ทำให้มีการคำนวณที่เร็วกว่า ใช้สมการทางคณิตศาสตร์ที่จับข้อเนื้อกว่าแต่ความแม่นยำใกล้เคียงกัน ค่าที่คำนวณได้จะถูกนำไปวิเคราะห์และแสดงการกระจายของสนามไฟฟ้าโดยใช้ความแตกต่างของระดับสีซึ่งทำให้มองเห็นความแตกต่างของการกระจายสนามไฟฟ้าระหว่างอิเล็กโตรดแต่ละแบบได้อย่างชัดเจน โดยวิธีจำลองประจุจะใช้คอมพิวเตอร์ส่วนบุคคล (PC) มาคำนวณหาสนามไฟฟ้าและศักย์ไฟฟ้าและใช้แสดงผลการวิเคราะห์สนามไฟฟ้าโดยสามารถหาค่าสนามไฟฟ้าที่จุดใดๆ ได้ทันทีโดยไม่ต้องเขียนโปรแกรมและค่าอื่นที่จำเป็น เราใช้ภาษาซีในการเขียนโปรแกรมซึ่งงานโดยทำให้อยู่ในรูปแบบซึ่งสามารถสั่งงานง่ายและเรียนรู้ได้รวดเร็ว

**Abstract** - The calculation of electric field and potential distribution in the gap between electrodes in this paper, uses a charge simulation method (CSM). This method will simulate charges which spread out widely in considered system to the simple charge's type that is easy to compute. The advantage of this method, when compare with FEM, FDM, is a faster speed of calculation, a less complicated mathematic and similar accuracy because of the limitless boundary and 3-dimension symmetrical system. The value of computed field will be analyzed and display the distribution of electric field by the difference of colour level that indicate clearly difference of field in each of electrode. By charge simulation technique, we use personal computer to estimate values of field and potential and use its monitor to display analyzed picture output. So we can find a field in any point instantaneous by only input a required position and some essential input. we use C language to program this job and it works in menu command that easily to use and quickly to learn.

### 1) บทนำ

การออกแบบสร้างอุปกรณ์ไฟฟ้าแรงสูงให้ผลิต มีประสิทธิภาพสูงและประหยัดค่าใช้จ่าย หรือสามารถทำการวิเคราะห์ปัญหาที่เกิดขึ้นได้ง่ายและถูกต้อง จำเป็นต้องทราบลักษณะการกระจายของสนามไฟฟ้าในบริเวณที่เรขาคณิตที่สนใจ ซึ่งในทางปฏิบัติ โครงสร้างอิเล็กโตรดของอุปกรณ์จะมีลักษณะที่ซับซ้อนและยุ่งยากเกินกว่าที่จะสามารถหาค่าสนามไฟฟ้าในรูปเชิงวิเคราะห์ (สูตร) ได้ วิศวกรจึงหลีกเลี่ยงไปหาค่าตอบโดยใช้วิธีการประมาณค่าเชิงค่าตอบ หรือนำมาอธิบาย ซึ่งพัฒนาขึ้นมาในปัจจุบัน วิธีหาค่าตอบโดยการประมาณค่าอีกวิธีหนึ่งที่ใช้ได้คือ วิธีจำลองประจุ ซึ่ง Steinbiger [6] ได้เป็นผู้ริเริ่ม และนำมาใช้ได้

ได้แพร่หลายในปัจจุบัน วิธีนี้อาศัยหลักการพื้นฐานของเกาส์ โดยการสมมูลให้ประจุที่กระจายอยู่ทั่วบริเวณ ในอิเล็กโตรดเป็นประจุแบบใดแบบหนึ่งหรือหลายแบบรวมกันซึ่งเราสามารถวิเคราะห์ได้โดยใช้ความเข้มข้นทางคณิตศาสตร์ ซึ่งมีการคำนวณที่ซับซ้อนมีขั้นตอนหลายขั้นตอน และใช้เวลานานในการคำนวณที่ซ้ำๆ กันมาก จึงต้องใช้คอมพิวเตอร์มาช่วยในการคำนวณเชิง About-Seada [7] ได้เสนอเป็นตัวอย่างไว้

การหาค่าสนามไฟฟ้าโดยวิธีจำลองประจุสามารถให้คำตอบได้รวดเร็วและใช้เวลาดำเนินการไม่มากนักเมื่อเทียบกับวิธี FEM หรือ FDM โดยเฉพาะอย่างยิ่งในระบบที่มีขอบเขตไม่จำกัดและมีความสมมาตรในเชิง 3 มิติหรือ 2 มิติ วิธีจำลองประจุจะใช้ได้ดีกว่า โดยที่ความแม่นยำไม่ลดลงมากนัก นอกจากนี้วิธีจำลองประจุยังสามารถใช้ได้กับระบบที่ไม่มีสมมาตรหรือระบบที่มีตัวกลางหลายชนิดได้อีกด้วย [6]

เมื่อหาค่าศักย์ไฟฟ้าและสนามไฟฟ้าที่จุดใดๆ ในแถบตามวิธีจำลองประจุได้แล้ว สิ่งสำคัญอีกประการหนึ่งในการศึกษาทางวิศวกรรมไฟฟ้าแรงสูงคือการวิเคราะห์ข้อมูลที่ได้คำนวณได้ ซึ่งการวิเคราะห์ข้อมูลเชิงตัวเลขหรือตารางเพียงอย่างเดียวไม่สามารถตอบสนองในเชิงรูปธรรมได้ บทความฉบับนี้จึงเสนอการนำค่าที่คำนวณได้มาวิเคราะห์โดยแทนความเข้มของสนามไฟฟ้าด้วยระดับของสี แต่ละสีจะแทนความเข้มของสนามไฟฟ้าแต่ละค่าแตกต่างกันไปตามความเข้มของสีนั้นๆ และวิเคราะห์โดยใช้กราฟฟิค 2 มิติด้วยวิธีนี้จะทำให้สามารถศึกษาการกระจายและเปรียบเทียบสนามไฟฟ้าในอิเล็กโตรดแบบต่างๆ ได้ง่ายขึ้น

ในบทความฉบับนี้ เราใช้คอมพิวเตอร์ส่วนบุคคล (PC) ในการคำนวณและวิเคราะห์ผลโดยใช้ภาษาซีในการเขียนโปรแกรมและออกแบบโปรแกรมในลักษณะเมนูที่สามารถสั่งงานได้ง่ายและสามารถดูผลลัพธ์ได้ทันที การใช้คอมพิวเตอร์มาช่วยจะทำให้เราสามารถทราบค่าสนามไฟฟ้าที่จุดใดๆ ที่ต้องการได้ทันที โดยไม่ต้องเขียนค่าตำแหน่งที่ต้องการทราบเท่านั้น โปรแกรมจะแสดงผลให้ทราบภายในเวลาไม่กี่วินาที รวมทั้งการกระจายของสีที่แทนค่าสนามไฟฟ้าแต่ละค่าที่ล้นกัน ทำให้ผู้ใช้งานจำเป็นต้องมีความรู้ทางด้านคณิตศาสตร์ไฟฟ้าแรงสูง มากนักที่สามารถเข้าใจได้

### 2) ทฤษฎี

#### 2.1) หลักการพื้นฐานของวิธีจำลองประจุ

สูตรพื้นฐานของวิธีจำลองประจุสามารถแสดงได้ดังมาจากโดยอาศัยหลักการของซูเปอร์โพสิชันซึ่งได้กล่าวไว้ว่า - ศักย์ไฟฟ้าที่จุดใดๆ หาได้จากผลรวมของศักย์ไฟฟ้าที่มาจากประจุแต่ละตัวในระบบ

ถ้าให้  $Q_j$  แทนประจุในระบบที่มีอยู่  $n$  ตัว  
 $\phi_i$  แทนศักย์ไฟฟ้าที่จุดใดๆ (ขึ้นอยู่กับโวลต์ที่คิดค่าไว้) จะได้ว่า

$$\phi_i = \sum_{j=1}^n P_{ij} Q_j \tag{1}$$

เมื่อ  $P_{ij}$  เป็นสัมประสิทธิ์ความต่างศักย์ซึ่งสามารถทราบค่าได้จากกรณีของประจุโดยใช้วิธีจากสมการปัวซองหรือสมการลาปลาซ [1], [2], [3], [6], [7]

\* นักศึกษามหาวิทยาลัยเทคโนโลยีพระจอมเกล้าเจ้าคุณทหารลาดกระบัง  
\*\* อาจารย์ ภาควิชาวิศวกรรมไฟฟ้ากำลัง คณะวิศวกรรมศาสตร์ สถาบันเทคโนโลยีพระจอมเกล้าเจ้าคุณทหารลาดกระบัง

2.2) ขั้นตอนการจำลองประจุ

วิธีการหาค่าศักย์ไฟฟ้า และความเข้มสนามไฟฟ้า โดยวิธีจำลองประจุ สามารถสรุปเป็นขั้นตอนได้ดังนี้

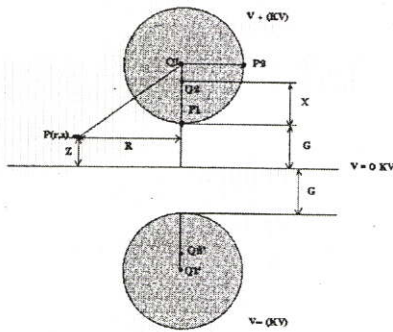
1. เลือกประจุสมมุติที่เหมาะสมกับระบบที่พิจารณาซึ่งอาจจะเป็นประจุแบบจุด, ประจุแบบเส้น หรือประจุแบบอื่นที่เหมาะสม
  2. กำหนด contour point ที่ผิวอิเล็กโทรดที่ทราบค่าศักย์
  3. วิธีวิธีของซูเปอร์โพสิชันซึ่งจะให้การเสริมกัน n สมการเมื่อ n เป็นจำนวนประจุที่พิจารณา
  4. แก้สมการเชิงเส้นเพื่อหาค่าประจุแต่ละตัวซึ่งในบทความนี้ใช้วิธีของ Gaussian elimination with maximum pivoting
  5. นำค่าประจุที่ได้มาคำนวณที่จุดทดสอบแล้วพิจารณาหา error ถ้าอยู่ในเกณฑ์ที่ยอมรับได้ก็ให้นำค่าประจุไปคำนวณ ถ้ายังไม่ยอมรับไม่ได้ให้เลือกตำแหน่งของประจุและ contour point ใหม่ หรืออาจเลือกการสมมุติประจุใหม่แล้วคำนวณตามขั้นตอนเดิมจนกว่าค่า error จะอยู่ในช่วงที่ยอมรับได้
  6. จำนวนค่าศักย์และสนามไฟฟ้าที่ตำแหน่งที่ต้องการจากประจุที่คำนวณได้ในข้อ 5 โดยวิธีซูเปอร์โพสิชัน ก็จะได้ออกมาต้องการ
- เราพบว่าหลักการที่สำคัญที่สุดในการใช้วิธีจำลองประจุคือ
1. การเลือกชนิดของประจุที่เหมาะสมกับระบบที่พิจารณา
  2. การเลือกตำแหน่งของประจุและ contour point ที่เหมาะสม
- ซึ่งวิธีการเลือกทั้งสองวิธีนี้ไม่มีหลักตายตัว และผู้สนใจสามารถศึกษาได้จากวิธี การของ A. Yializis และ E. Kafel [8]

2.3) การหาค่าสนามไฟฟ้าในอิเล็กโทรดทรงกลม

อิเล็กโทรดทรงกลมได้ถูกใช้กันมากในการทดลองหรือทดสอบทางไฟฟ้าแรงดันสูงซึ่งจะให้สนามไฟฟ้าที่ไม่สม่ำเสมอ สำหรับการหาสนามไฟฟ้าในบทความฉบับนี้ จะใช้วิธีคำนวณโดยวิธีจำลองประจุ ( Charge Simulation Method ) ซึ่งเพื่อความสะดวกจะคำนวณในรูป Per unit เพื่อลดการกระจายของศักย์และสนามไฟฟ้าในแง่ที่อยู่ระหว่างอิเล็กโทรดทรงกลม

2.3.1. การสมมุติประจุ

เนื่องจากอิเล็กโทรดเป็นรูปทรงกลมจึงนับประจุจำลองที่เหมาะสมน่าจะเป็นประจุแบบจุด เราจึงสร้างการจำลองประจุขึ้นมาก โดยจำลองว่าศักย์และสนามไฟฟ้าที่เกิดขึ้นในแง่ จะเกิดขึ้นเนื่องมาจากประจุ 2 ตัว โดยตัวที่ 1 อยู่ที่จุดศูนย์กลางทรงกลมและประจุตัวที่สองอยู่ระหว่างประจุตัวแรกกับผิวทรงกลมตามแนวแกนตั้ง ดังรูปที่ 1



รูปที่ 1 แสดงการจำลองประจุและ Contour point ในอิเล็กโทรดแบบทรงกลม

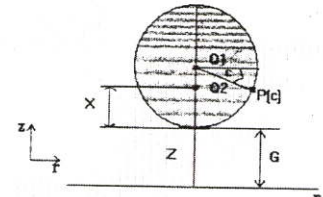
2.3.2. การกำหนด Contour point

เนื่องจากเราสนใจศักย์และสนามไฟฟ้าที่อยู่ในแง่ระหว่างทรงกลมดังนั้นเพื่อให้ Contour point ของเราครอบคลุมพื้นที่ที่ต้องการ เราจึงกำหนดให้

Contour point ที่ จุด P1 และ P2 ที่ตำแหน่ง ( 0,G ) และ ( 1, G-1 ) เมื่อพิจารณาตามโคออร์ดิเนต r,z ตามรูปที่ 1

2.3.3 การตรวจสอบความแม่นยำ

เราจะใช้จุดทดสอบ 19 จุดบนผิวอิเล็กโทรดทรงกลมโดยเริ่มจากจุดที่ C = 0 องศา ( รูปที่ 2 ) เมื่อค่า C ไปที่ละ 5 องศาจนกว่าจะถึง 90 องศา ถ้าต้องการความละเอียดมากกว่านี้ก็สามารถทำได้โดยให้เปลี่ยนค่า C น้อยกว่า 5 องศาตามที่เรากำลังต้องการ



รูปที่ 2 แสดงตำแหน่งของจุดทดสอบ P(r) บนผิวอิเล็กโทรดทรงกลม

3) ขั้นตอนการคำนวณ

พิจารณารูปที่ 1 เราให้จุดศูนย์กลางของอิเล็กโทรดทั้งสองอยู่ที่จุดตัดโคออร์ดิเนต เพื่อให้ง่ายในการพิจารณาและเนื่องจากระบบนี้สมมาตรแบบทรงกลมดังนั้นเราสามารถแทนจุดใด ๆ ในระบบนี้ด้วยแกนทั้ง 2 แกน คือ r และ z และที่ระนาบ z = 0 จะมีศักย์เป็นศูนย์เสมอ จากวิธีซูเปอร์โพสิชัน ศักย์ไฟฟ้า  $\phi_i$  ที่จุด P(r,z) ใดๆ จะเท่ากับผลรวมของศักย์ที่มาจากประจุแต่ละตัวซึ่งในระบบที่เรากำลังพิจารณารวมแทนด้วยจุดประจุ 2 ตัว

- ตัวที่ 1 Q1 อยู่ที่จุดศูนย์กลางของทรงกลมหรือที่จุด ( 0,G+1 )  
 ตัวที่ 2 Q2 อยู่บนแกน z ระหว่างประจุตัวที่ 1 กับผิวทรงกลมไปตามแนวแกน z หรือแทนด้วย จุด ( 0,G-x )

พิจารณารูปที่ 1 ศักย์ไฟฟ้า  $\phi_i$  ที่จุด P(r,z) ใดๆ หาได้จาก

$$\phi(r,z) = P_{Q1}(r,z) \cdot Q_1 + P_{Q2}(r,z) \cdot Q_2 \quad \dots\dots\dots (2)$$

เมื่อ  $P_{Q1}$  คือ สัมประสิทธิ์ความต่างศักย์ของระหว่างจุด P(r,z) กับประจุ Q1

$P_{Q2}$  คือ สัมประสิทธิ์ความต่างศักย์ของระหว่างจุด P(r,z) กับประจุ Q2

Q1, Q2 คือ จุดประจุสมมุติ

ซึ่งค่า  $P_{Q1} \cdot P_{Q2}$  สามารถหาได้จาก

$$P_{Q1}(r,z) = \frac{1}{\sqrt{r^2 + (G+1-z)^2}} - \frac{1}{\sqrt{r^2 + (G+1+z)^2}} \quad \dots\dots\dots (3)$$

$$P_{Q2}(r,z,x) = \frac{1}{\sqrt{r^2 + (G+x-z)^2}} - \frac{1}{\sqrt{r^2 + (G+x+z)^2}} \quad \dots\dots\dots (4)$$

และจะได้ว่าสนามไฟฟ้าที่จุด (r,z) ใดๆ เท่ากับ

$$E(r,z,x) = -\nabla \phi(r,z,x) = \left\{ -\frac{\partial \phi(r,z,x)}{\partial r} \cdot r - \frac{\partial \phi(r,z,x)}{\partial z} \cdot z \right\} \quad \dots\dots\dots (5)$$

จากสมการ 2 จะได้

$$E(r,z,x) = \left\{ -\frac{\partial}{\partial r} (Q_1 \cdot P_{Q1}(r,z) + Q_2 \cdot P_{Q2}(r,z,x)) \cdot r + \frac{\partial}{\partial z} (Q_1 \cdot P_{Q1}(r,z) + Q_2 \cdot P_{Q2}(r,z,x)) \cdot z \right\} \quad \dots\dots\dots (6)$$

เมื่อกระจายให้อยู่ในรูปอย่างง่ายจะได้ว่า

$$\begin{aligned} \frac{\partial}{\partial x} P_{Q1}(r,z) &= \frac{-r}{\sqrt{(r^2+(G+1-z)^2)^3}} + \frac{r}{\sqrt{(r^2+(G+1+z)^2)^3}} \\ \frac{\partial}{\partial x} P_{Q2}(r,z,x) &= \frac{-r}{\sqrt{(r^2+(G+x-z)^2)^3}} + \frac{r}{\sqrt{(r^2+(G+x+z)^2)^3}} \\ \frac{\partial}{\partial x} P_{Q1}(r,z) &= \frac{(G+1-z)}{\sqrt{(r^2+(G+1-z)^2)^3}} + \frac{(G+1+z)}{\sqrt{(r^2+(G+1+z)^2)^3}} \\ \frac{\partial}{\partial x} P_{Q2}(r,z,x) &= \frac{(G+x-z)}{\sqrt{(r^2+(G+x-z)^2)^3}} + \frac{(G+x+z)}{\sqrt{(r^2+(G+x+z)^2)^3}} \end{aligned} \quad (7)$$

เนื่องจากระบบ

เนื่องจาก Contour point ที่เราเลือกคือ ที่จุด P1 และ P2 นั้น เมื่อแปลงให้อยู่ในโคออร์ดิเนต (x,z) จะได้ว่าจุด P1 และ P2 อยู่ที่ตำแหน่ง (0,G) และ (1,G+1) ตามลำดับถ้าให้ P<sub>ij</sub> คือ สัมประสิทธิ์ความต่างศักย์ที่จุด i เนื่องจากประจุ j จะได้ว่า

$$\begin{aligned} P_{11} &= 1 - \frac{1}{2G+1} \\ P_{12} &= \frac{1}{x} - \frac{1}{2G+x} \\ P_{21} &= 1 - \frac{1}{\sqrt{1+4(G+1)^2}} \\ P_{22} &= \frac{1}{\sqrt{1+(1-x)^2}} - \frac{1}{\sqrt{1+(2G+x+1)^2}} \end{aligned}$$

เราจะได้สมการเชิงเส้น 2 สมการซึ่งเขียนในรูปเมทริกซ์ได้ดังนี้

$$\begin{bmatrix} P_{11} & P_{12} \\ P_{21} & P_{22} \end{bmatrix} \begin{bmatrix} Q_1 \\ Q_2 \end{bmatrix} = \begin{bmatrix} 1 \\ 1 \end{bmatrix} \quad (8)$$

การหาค่าตำแหน่งของประจุ Q2 ที่เหมาะสมที่สุด

เราจะใช้วิธีทางคณิตศาสตร์ที่ง่าย ในการหาจุดที่เหมาะสมที่สุดโดยการกำหนดจุดทดสอบ 19 จุดบนตัวอินทิเกรตซึ่งได้กล่าวมาแล้ว จากรูปที่ 3 จะได้ว่า สำหรับประจุ Q1 จะได้ว่า

$$P_1(c) = 1 - \frac{1}{\sqrt{\cos^2 c + (2F - \sin c)^2}} \quad (9)$$

สำหรับประจุ Q2 จะได้ว่า

$$P_2(c) = \frac{1}{\sqrt{\cos^2 c + (y - \sin x)^2}} - \frac{1}{\sqrt{\cos^2 c + (2(G+x) + y - \sin c)^2}} \quad (10)$$

เมื่อ P<sub>1</sub>, P<sub>2</sub> คือสัมประสิทธิ์ความต่างศักย์เนื่องจาก Q1 และ Q2 และ F = G+1, y=1-x

โดยอาศัยหลักการหาค่าเหมาะที่สุดจะได้ค่าความผิดพลาดน้อยที่สุดซึ่งมีค่าเท่ากับ x ค่าหนึ่งจะให้ผลรวมความผิดพลาดค่าหนึ่งสำหรับจุดทดสอบที่เรากำหนดจะเลื่อนค่า x ไปตามแนวแกน z จาก 0 ถึง 1 เพื่อหาค่า error ที่น้อยที่สุดตามสมการ

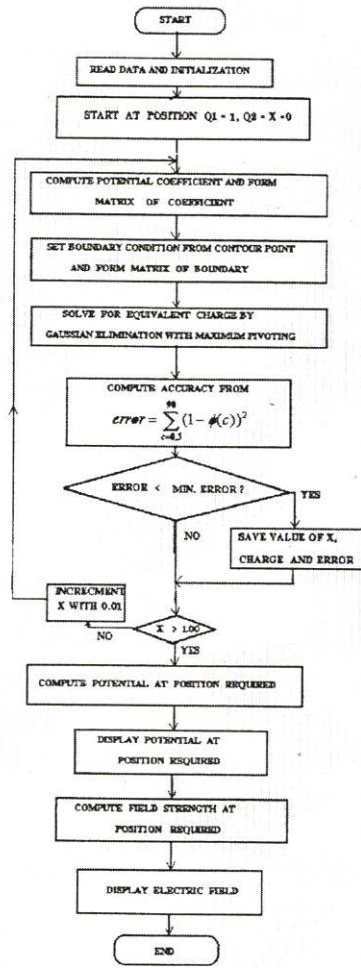
$$error = \sum_{c=0.5}^{90} (1 - \phi(c))^2 \quad (11)$$

เมื่อ φ(c) หมายถึงศักย์ไฟฟ้าที่ได้เมื่อประจุ Q2 อยู่ที่ตำแหน่ง x เมื่อเราได้ค่า error ที่น้อยที่สุดแล้วค่าตำแหน่งของ Q2 ที่ทำให้ค่า error น้อยที่สุดจะถูกใช้เพื่อคำนวณหาศักย์และสนามที่จุดใดๆ โดยวิธี ซุปเปอร์โพสิชัน ตามต้องการ

4) การวิเคราะห์สนามไฟฟ้าโดยใช้ระดับความเข้มของศักย์  
จากค่าสนามไฟฟ้าที่คำนวณได้จากวิธีจำลองประจุซึ่งอยู่ในรูปของ Per Unit เราจะนำมาเปรียบเทียบกับวิธีคำนวณด้วยวิธีที่คำนวณด้วยวิธีนี้

และมีความเข้มของศักย์ไฟฟ้า โดยเรียงลำดับของมิติแทนความเข้มสนามไฟฟ้าที่มากที่สุดไปหาสิที่แทนความเข้มสนามไฟฟ้าที่น้อยที่สุดคือนิโค, สีดำ, สีแดง, สีส้ม, สีเหลือง, สีเขียว, สีม่วง, สีฟ้า, สีน้ำเงิน, สีเทา และสีขาว วิธีที่ถือค้ำได้ดังนี้

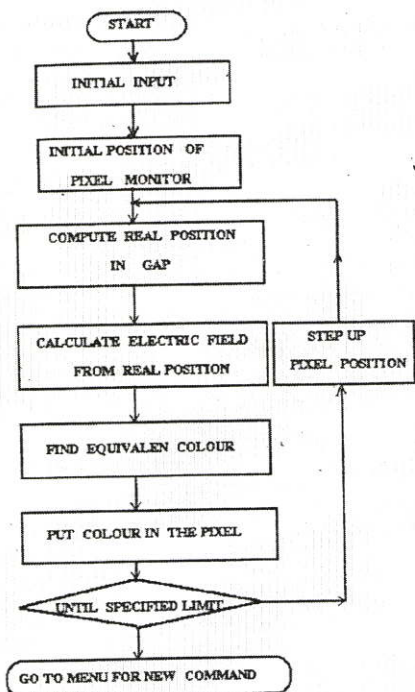
1. คำนวณค่าแห่งของจุดบนจอตัวรับค่าแห่งใดในแผนที่เรขาคณิต
2. หาค่าสนามไฟฟ้าโดยวิธีจำลองประจุจากค่าตำแหน่งในข้อ 1
3. นำค่าสนามไฟฟ้าที่ได้ไปเปรียบเทียบกับระดับสีที่กำหนดไว้บนตารางสีที่กำหนดขึ้น
4. นำค่าในตารางสีซึ่งเป็นค่าการผสมสีในแต่ละจุดบนจอภาพมาแสดงในตำแหน่งในข้อ 1 แล้วเปลี่ยนค่าแห่งของจุดบนจอไปหาวัดรวมขอบเขตที่ต้องการหรือ



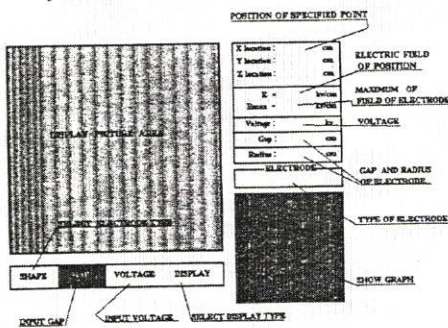
รูปที่ 3 โปรแกรมของการคำนวณหาสนามไฟฟ้าในอินทิเกรตวงกลม

5) การเขียนโปรแกรม

จากขั้นตอนที่ได้กล่าวมาแล้วจะนำมาเขียนเป็นโปรแกรมสั่งงานให้คอมพิวเตอร์ส่วนบุคคลโดยใช้ Turbo C 2.0 compiler ซึ่งโปรแกรมที่เขียนสามารถแสดงเป็น flow chart ได้ดังรูปที่ 3 และ 4



รูปที่ 4 โปรแกรมการแสดงผลตำแหน่งไฟฟ้าในอิเล็กโตรดหัวระดับ



รูปที่ 5 คำอธิบายการใช้งานโปรแกรมโดยย่อ

5.1) การคิดคัสและผังงานโปรแกรม

ความต้องการทรัพยากรของโปรแกรม

1. เครื่องคอมพิวเตอร์ส่วนบุคคลรุ่น 386SX ขึ้นไป
2. จอภาพ Super VGA
3. การแสดงผลอย่างใดอย่างหนึ่งดังต่อไปนี้

3.1 TSENG ET4000

3.2 TRIDENT 8900

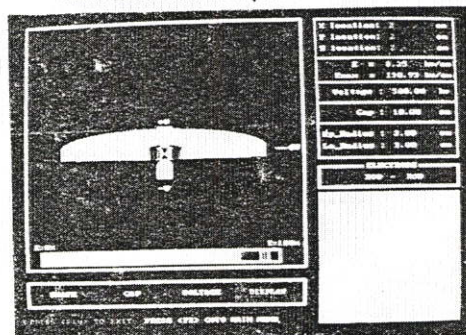
3.3 S3 VESA VGA หรือ VESA VGA

5.2) การใช้งาน

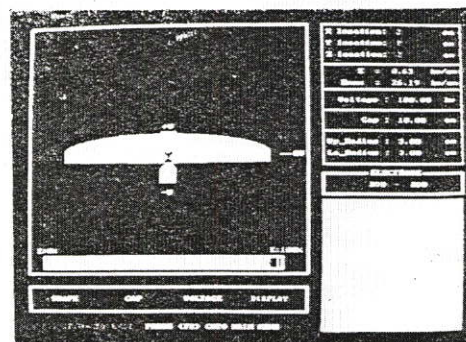
หลังจากโปรแกรมทำงานเรียบร้อยแล้วจอภาพจะแสดงผลหน้าจอดังรูปที่ 5 ซึ่งเราสามารถเลือกแบบอิเล็กโตรดที่เราจะพิจารณา แล้วใส่ค่าอื่นๆ ที่จำเป็นต่อการคำนวณเช่น ความต่างศักย์, แกป, รัศมีส่วนขอบ แล้วสั่งให้โปรแกรมพล็อตผลการกระจายของสนามไฟฟ้า หรือให้แสดงผลภาพในรูปแบบกราฟซึ่งที่ระนาบที่ตัวกับอิเล็กโตรดก็ได้ และสามารถหาค่าสนามไฟฟ้าในอิเล็กโตรดตามตำแหน่งที่เรากำหนดได้

6) สรุปและวิเคราะห์ผล

ค่าของสนามไฟฟ้าที่จุดใดๆ สามารถหาได้จากกรณีสอดตำแหน่งที่ต้องการทราบ ค่าศักย์ไฟฟ้าที่อิเล็กโตรด ระยะแกป และรัศมีส่วนขอบ แล้วสั่งให้โปรแกรมทำการคำนวณก็จะทราบได้ทันที การกระจายของสนามไฟฟ้าในอิเล็กโตรดแบบต่างๆ สามารถดูได้จากพื้นที่ของแคบและสีที่มีความกว้างมากก็ยิ่งได้ พื้นที่ของแคบและสีน้อยแสดงถึงสนามที่ไม่สม่ำเสมอมาก ถ้าพื้นที่ของแคบและสีมีความกว้างมากก็แสดงว่าบริเวณนั้นมีความสม่ำเสมอของสนามไฟฟ้ามาก จากผลของโปรแกรมเราสามารถสรุปได้ดังนี้

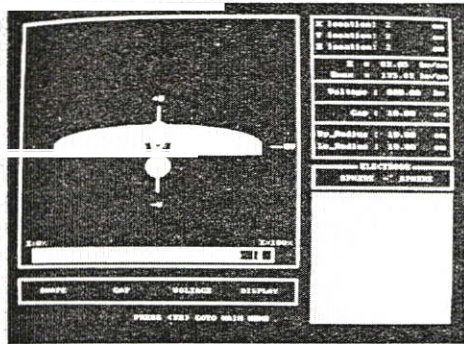


รูปที่ 6 ภาพการวิเคราะห์การกระจายของสนามไฟฟ้าในแบบ ระหว่งอิเล็กโตรดแบบปลายชน ที่ศักย์ป้อน 500 KV , Gap 10 cm. ,รัศมีปลายชน 3 cm.

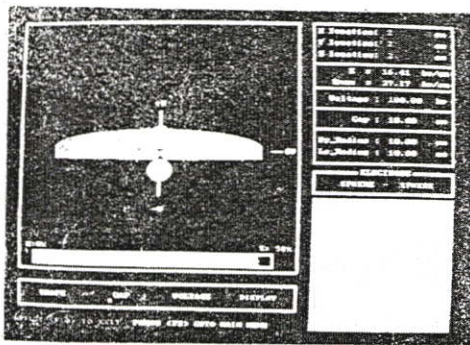


รูปที่ 7 ภาพการวิเคราะห์การกระจายของสนามไฟฟ้าในแบบ ระหว่งอิเล็กโตรดแบบปลายชน ที่ศักย์ป้อน 100 KV , Gap 10 cm. ,รัศมีปลายชน 3 cm.

- 6.1) เมื่อเปลี่ยนศึกษาร่วมอิเล็กโตรดแคบและรัศมีส่วนกลมคงที่
- 6.1.1) อิเล็กโตรดแบบปลายมน ความเข้มสนามไฟฟ้าจะสูงมากบริเวณปลายมน โดยสังเกตว่ามีระดับสีที่มีความเข้มสูงอยู่มากที่บริเวณปลายมน แต่มีพื้นที่การกระจายน้อย ซึ่งแสดงถึงค่าที่ลดค่าเองอย่างรวดเร็ว เมื่ออยู่ที่ระยะห่างออกไป ตามรูปที่ 6 กับ รูปที่ 7
- 6.1.2) อิเล็กโตรดแบบทรงกลม การกระจายของสนามไฟฟ้าจะมีลักษณะคล้ายๆ แบบปลายมนแต่พื้นที่การกระจายจะมากกว่าเล็กน้อย แสดงถึงการกระจายของสนามไฟฟ้าที่สม่ำเสมอมากกว่าแบบปลายมน ตามรูปที่ 8 กับ รูปที่ 9
- 6.1.3) ทั้งอิเล็กโตรดแบบปลายมนและทรงกลม เมื่อเพิ่มศึกษากว้างขึ้น จะทำให้ความเข้มสนามไฟฟ้าที่จุดเดียวกันมีค่ามากขึ้น

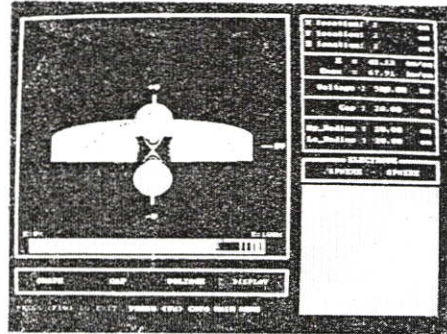


รูปที่ 8 ภาพการวิเคราะห์การกระจายของสนามไฟฟ้าในแถบ ระหว่างอิเล็กโตรดแบบทรงกลม ที่ศักดาป้อน 500 KV , Gap 10 cm. ,รัศมีทรงกลม 10 cm.

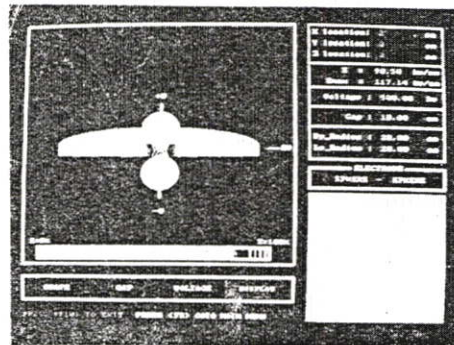


รูปที่ 9 ภาพการวิเคราะห์การกระจายของสนามไฟฟ้าในแถบ ระหว่างอิเล็กโตรดแบบทรงกลม ที่ศักดาป้อน 500 KV , Gap 10 cm. ,รัศมีทรงกลม 10 cm.

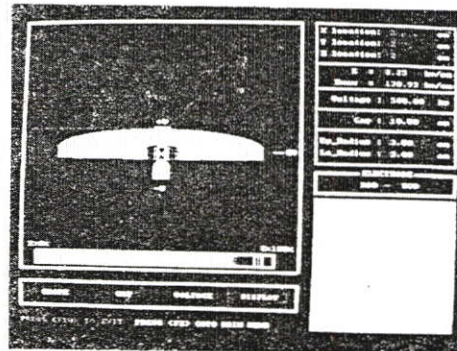
- 6.2) เมื่อเปลี่ยนแถบ แต่ศึกษาร่วมอิเล็กโตรดและรัศมีส่วนกลมคงที่
- ค่าสนามไฟฟ้าสูงสุดของอิเล็กโตรดทั้งสองแบบที่แถบที่มากกว่าจะมีค่าน้อยกว่าและความไม่สม่ำเสมอของสนามไฟฟ้าจะเพิ่มขึ้นเมื่อแถบมากขึ้นตามรูปที่ 10 และ 11



รูปที่ 10 ภาพการวิเคราะห์การกระจายของสนามไฟฟ้าในแถบ ระหว่างอิเล็กโตรดแบบทรงกลม ที่ศักดาป้อน 500 KV , Gap 20 cm. ,รัศมีทรงกลม 20 cm.



รูปที่ 11 ภาพการวิเคราะห์การกระจายของสนามไฟฟ้าในแถบ ระหว่างอิเล็กโตรดแบบทรงกลม ที่ศักดาป้อน 500 KV , Gap 10 cm. ,รัศมีทรงกลม 20 cm.



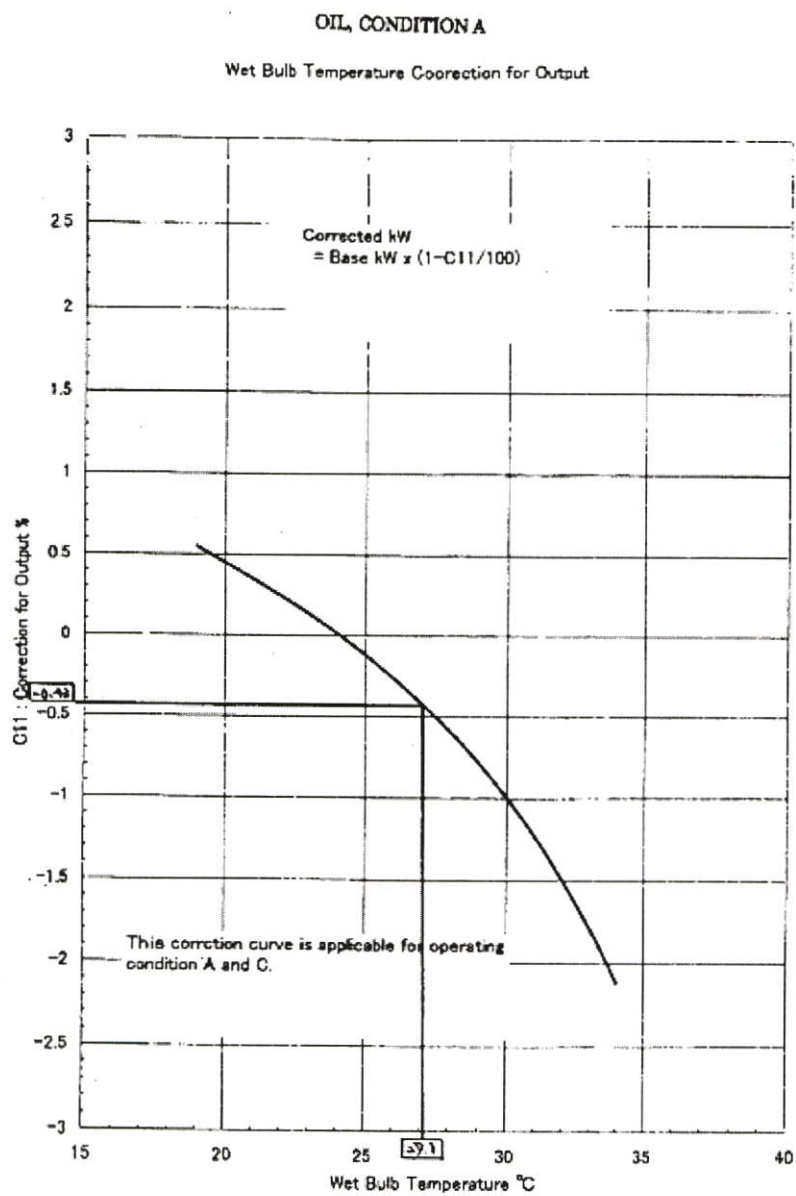
รูปที่ 12 ภาพการวิเคราะห์การกระจายของสนามไฟฟ้าในแถบ ระหว่างอิเล็กโตรดแบบปลายมน ที่ศักดาป้อน 500 KV , Gap 10 cm. ,รัศมีปลายมน 3 cm.



ภาคผนวก ข.

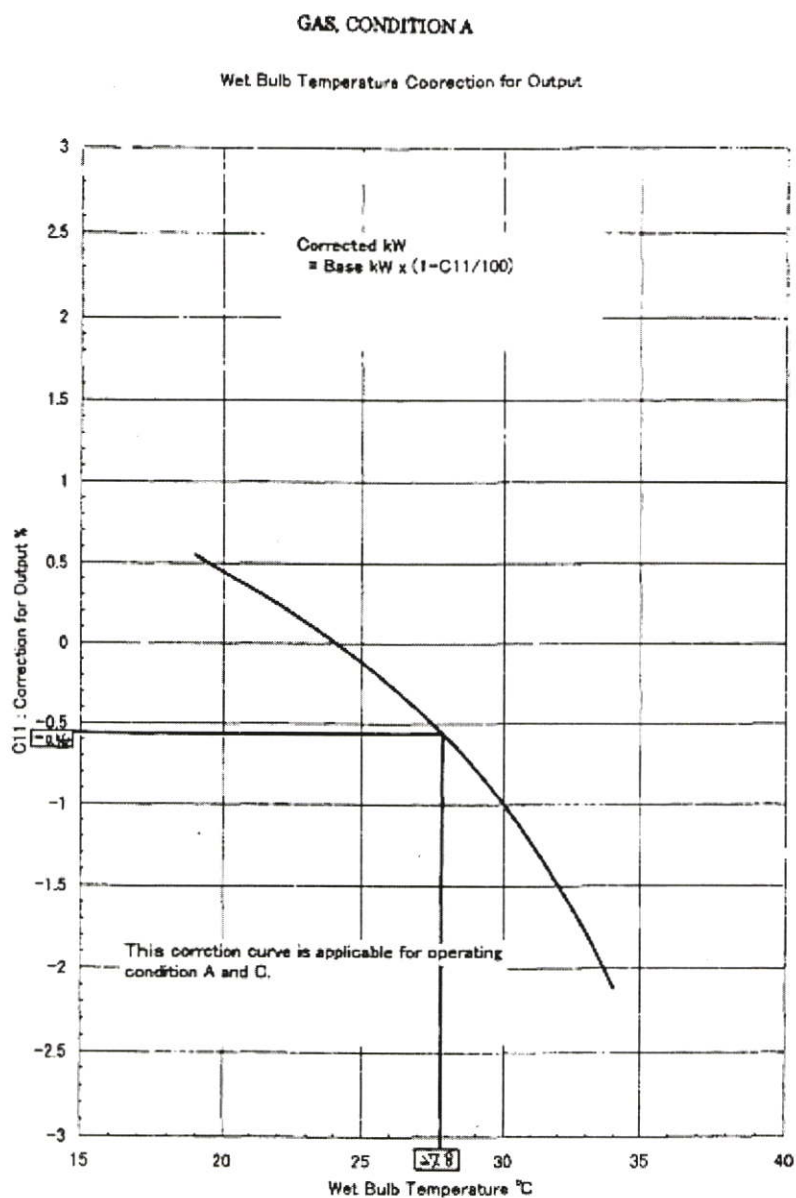
**Correction Curve** ของ โรงไฟฟ้าพลังความร้อน

C25-D834



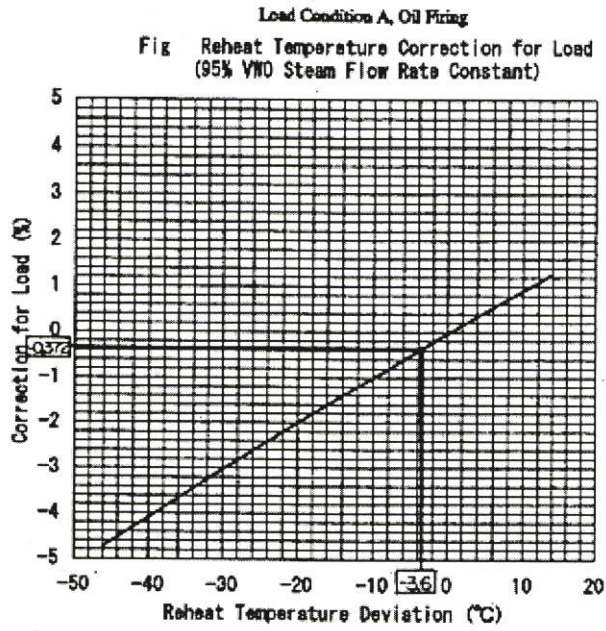
รูปที่ ข.1 Correction curve ของอุณหภูมิกระเปาะเปียก กรณีเดินเครื่องด้วยน้ำมันเตา

G25-D834



รูปที่ ข.2 Correction curve ของอุณหภูมิกระเปาะเปียก กรณีเดินเครื่องด้วยก๊าซ

C20-788



รูปที่ ๓.3 Correction curve ของ Reheat Temperature Deviation

2000/10/13  
 Condition A  
 OIL  
 (for NPHR)

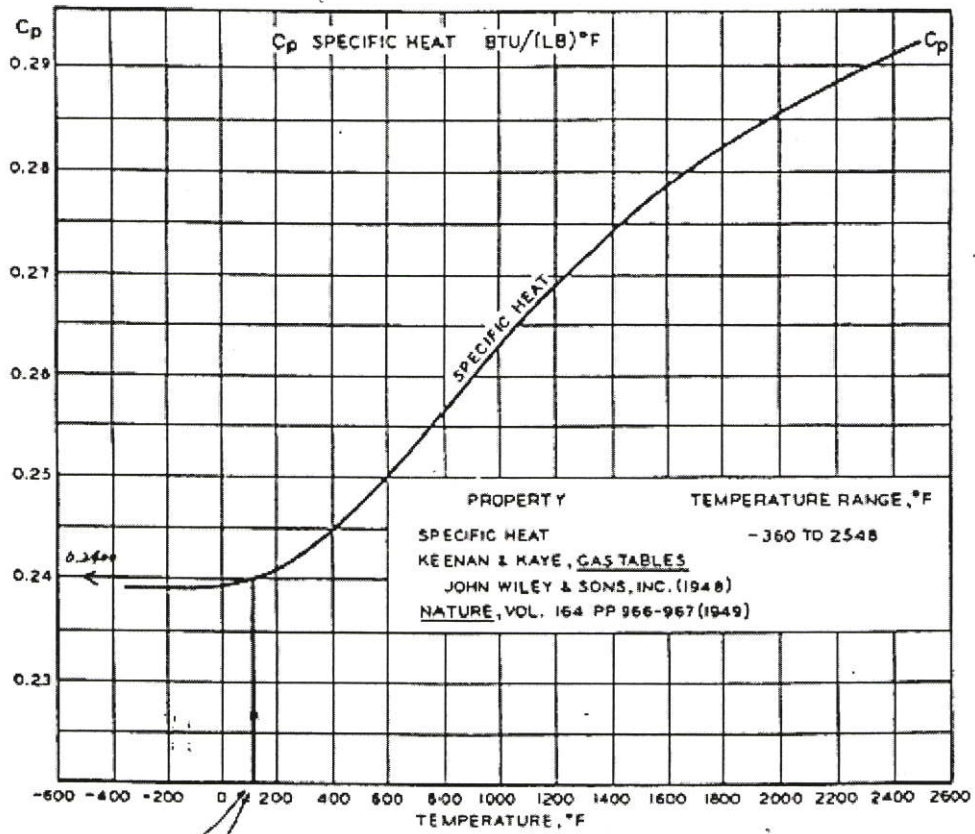


FIG. 3 INSTANTANEOUS SPECIFIC HEAT OF AIR

$$\frac{(31.6 + 65.6)}{2} = 48.6^{\circ}\text{C}$$

$$= 119.5^{\circ}\text{F (measured)}$$

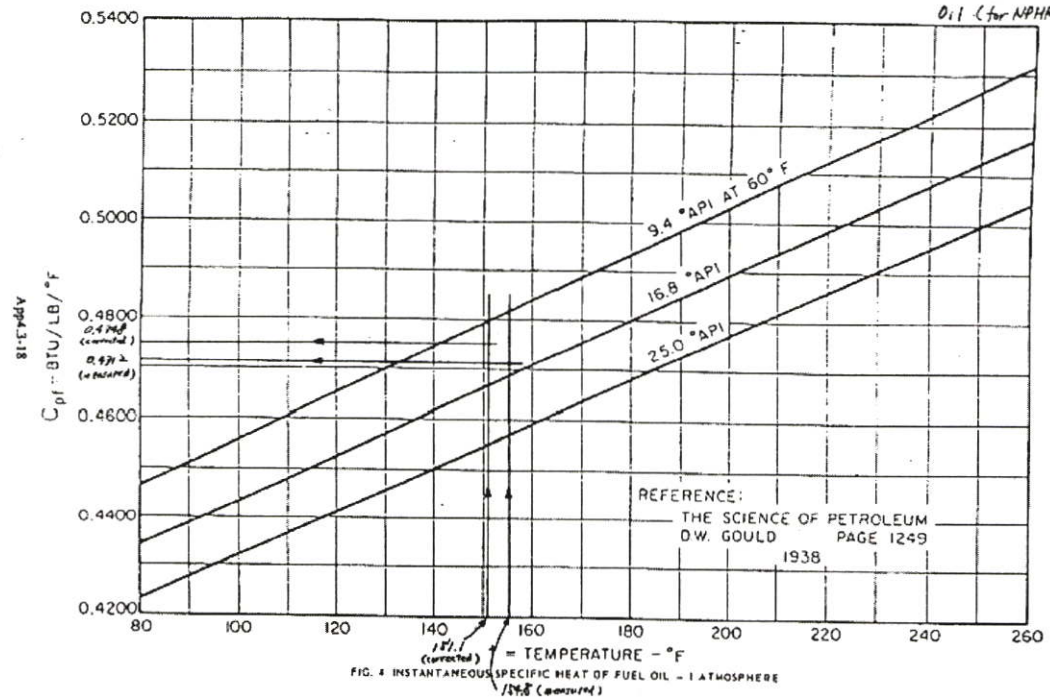
$$\frac{(225 + 640)}{2} = 432.5^{\circ}\text{C}$$

$$= 810.5^{\circ}\text{F (corrected)}$$

รูปที่ ข.4 ค่า Specific Heat ของอากาศ

๒๘  
๕๗

2000/10/13  
Condition A  
Oil (for NPHR)



รูปที่ ๕.5 ค่า Specific Heat ของน้ำมันเตา

2000/10/13

Condition A

OIL (for NPHR)

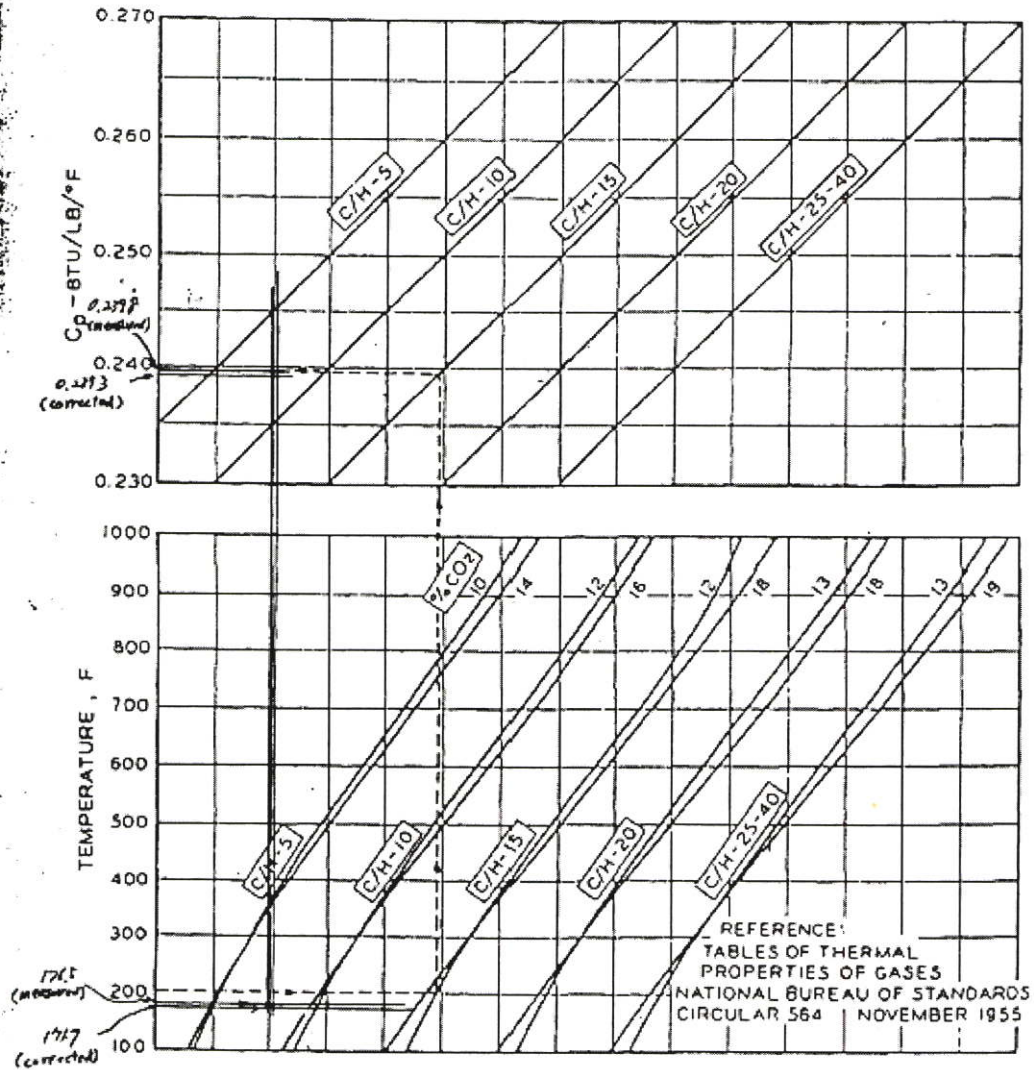


FIG. 7 INSTANTANEOUS SPECIFIC HEAT OF DRY FLUE GAS FOR CARBON HYDROGEN RATIOS (FUEL) - 5 - 40

รูปที่ ข.6 ค่า Specific Heat ของ Flue gas

2000/10/26  
 0:1  
 Condition C  
 (for NPMR)

A FURNACE WALL MUST HAVE AT LEAST ONE THIRD ITS PROJECTED SURFACE COVERED BY WATER COOLED SURFACE BEFORE REDUCTION IN RADIATION LOSS IS PERMITTED. AIR THRU COOLED WALLS MUST BE USED FOR COMBUSTION IF REDUCTION IN RADIATION LOSS IS TO BE MADE. EXAMPLE: UNIT GUAR FOR MAX. CONT. OUTPUT OF 400 MILLION BTU/HR WITH THREE WATER COOLED WALLS.  
 LOSS AT 400 = 0.33% LOSS AT 200 = 0.68%

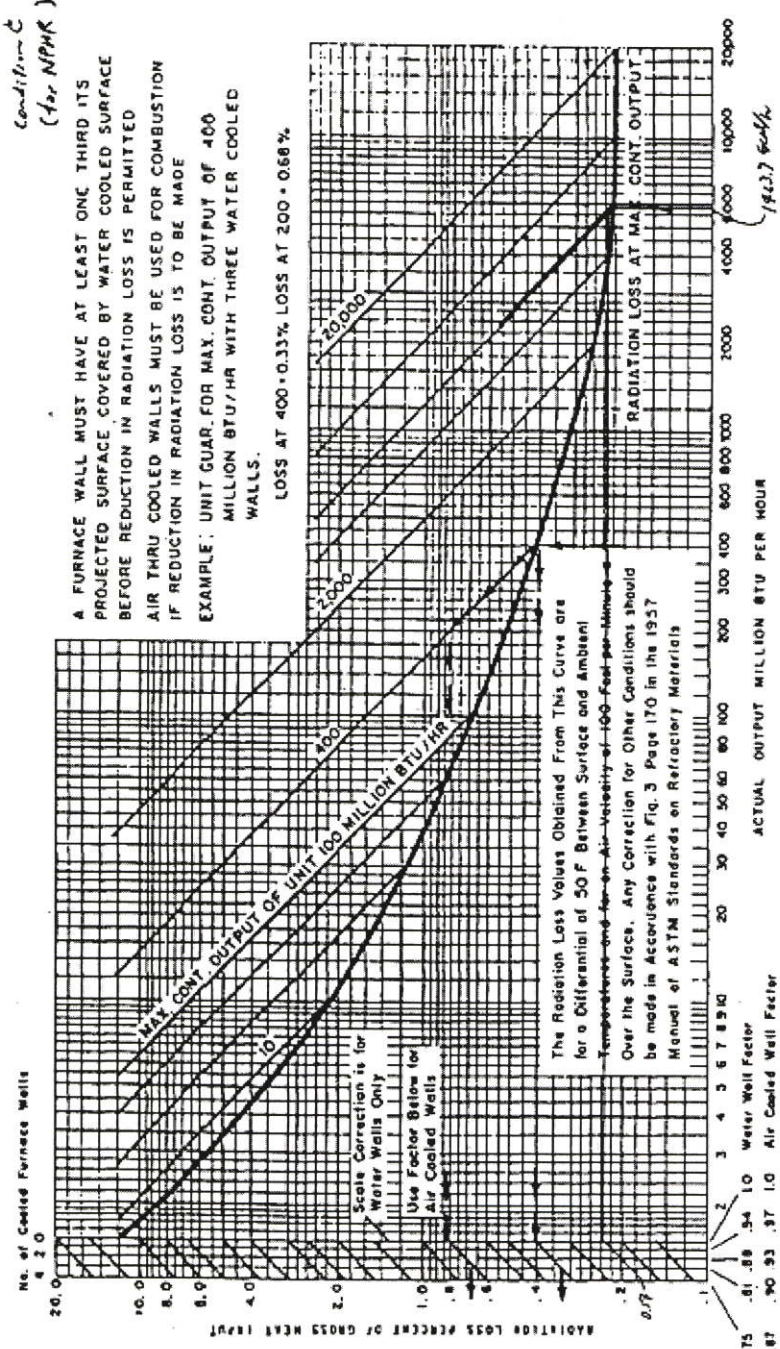


FIG. 8 ABMA STANDARD RADIATION LOSS CHART

To facilitate the use of the major correction which is for air velocity, this correction is included in the Code on Fig. 9, the lower curve of which is the basis of the ABMA curve.

(Published through the courtesy of the American Boiler Manufacturers Association.)

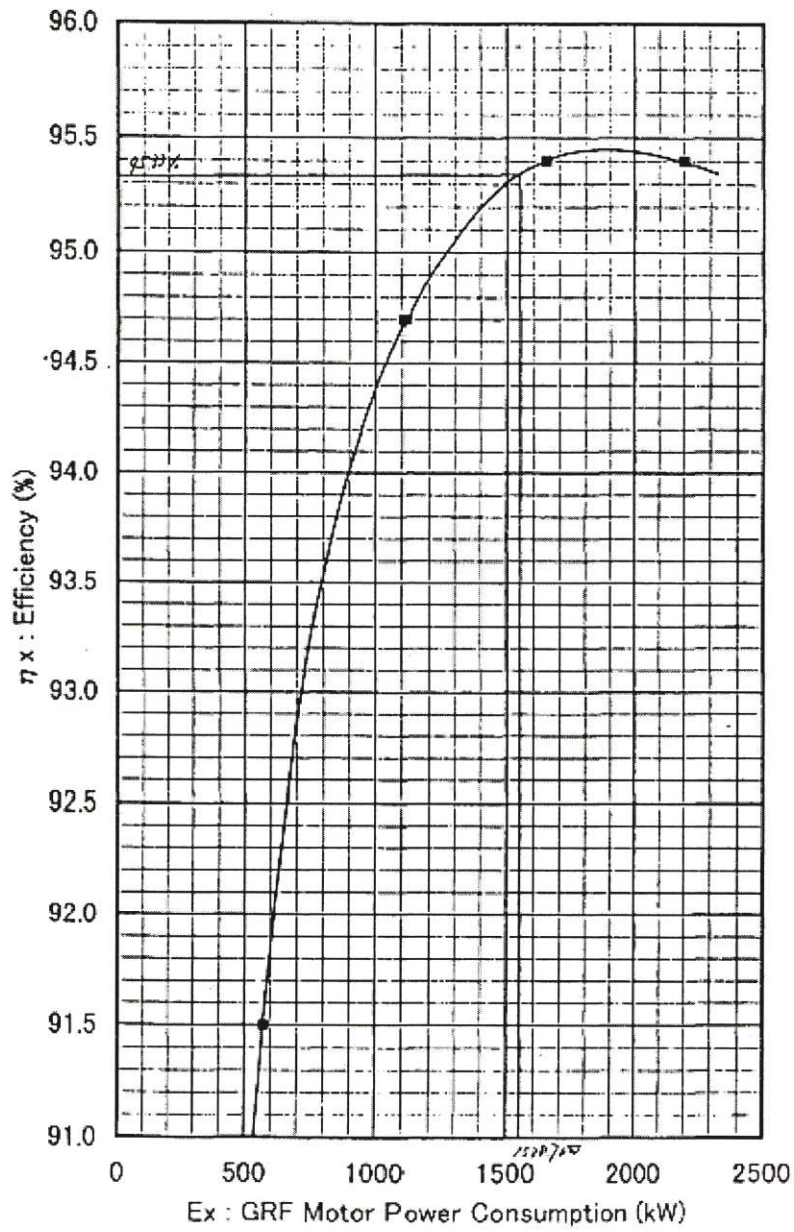
67  
 92  
 96

App4.3-27

รูปที่ ๗.7 ABMA Standard Radiation Loss Chart

Fig. 9 Efficiency of GRF Motor

2000/10/14  
 O.L.  
 CONVICTION

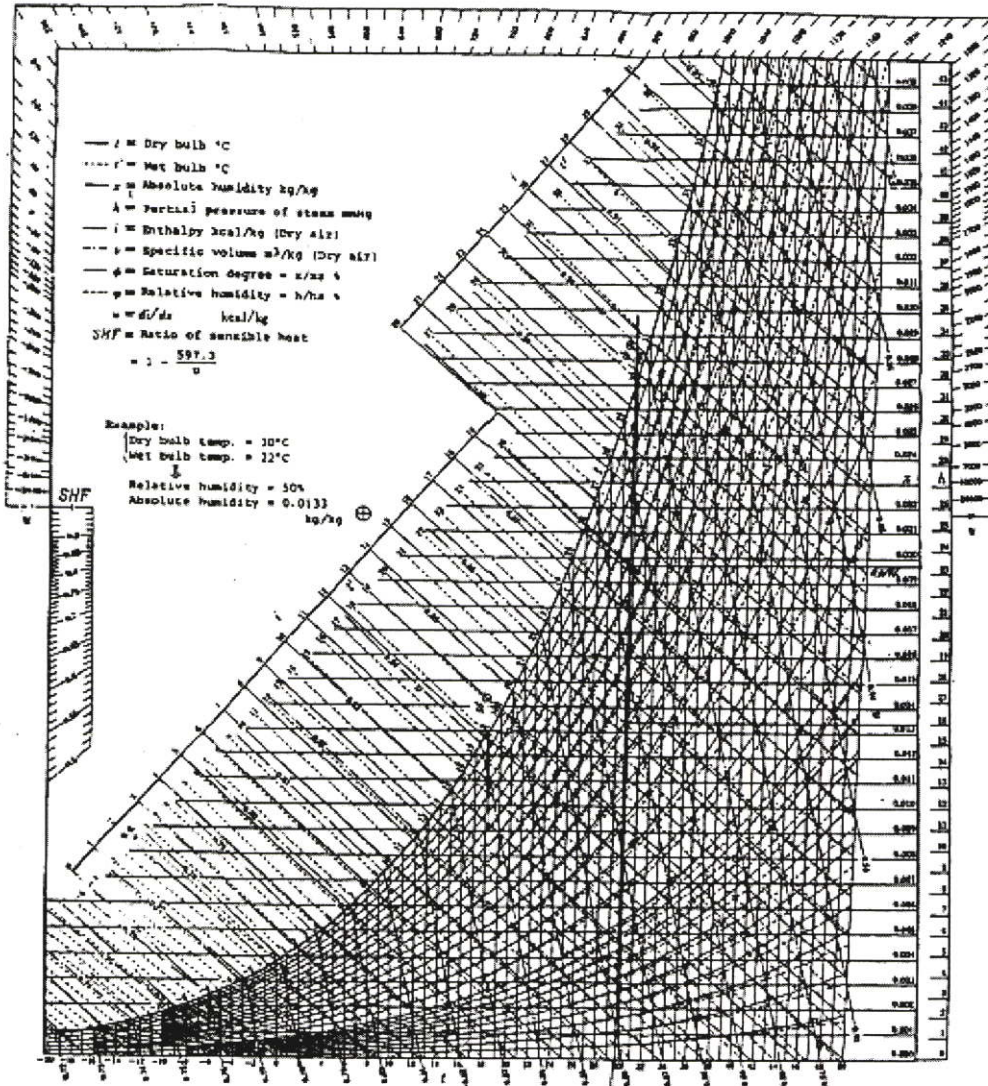


รูปที่ ๖.๘ Efficiency & Power Consumption ของ GRF Motor

FIG. 10. WET AIR DIAGRAM [MC DIAGRAM]  
(at -20 to 50°C, Ambient Press. 760 mmHg)

OIL

Condition C



168  
20  
69

App4.3-29

รูปที่ ข.9 Wet Air Diagram

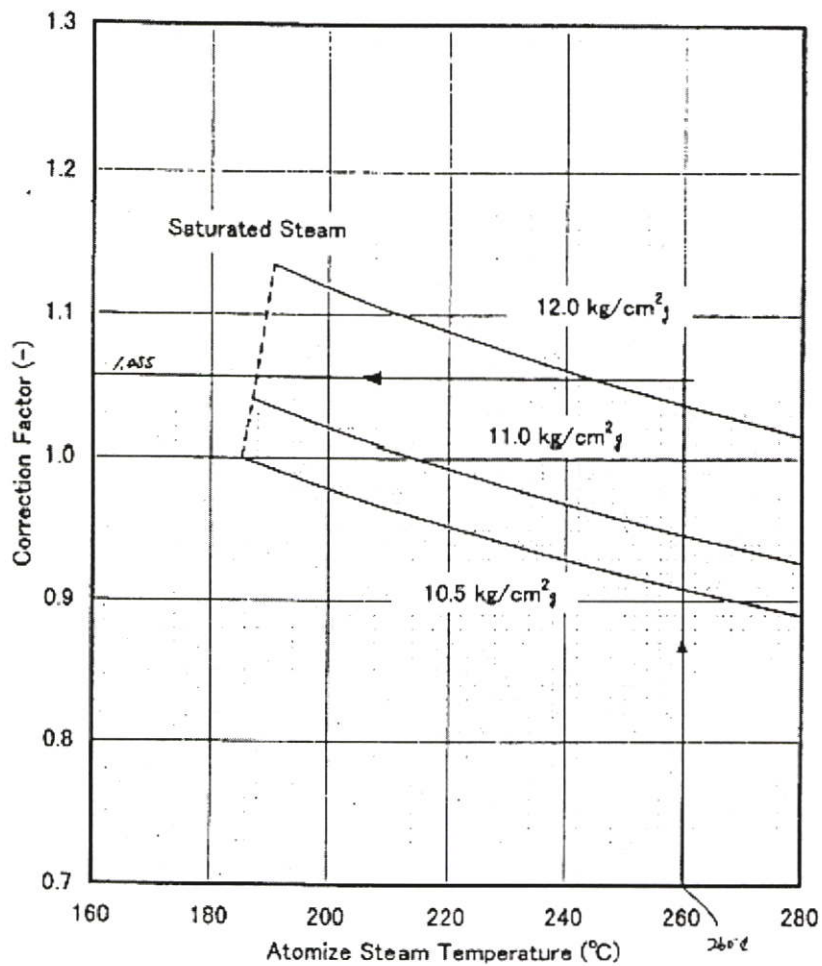
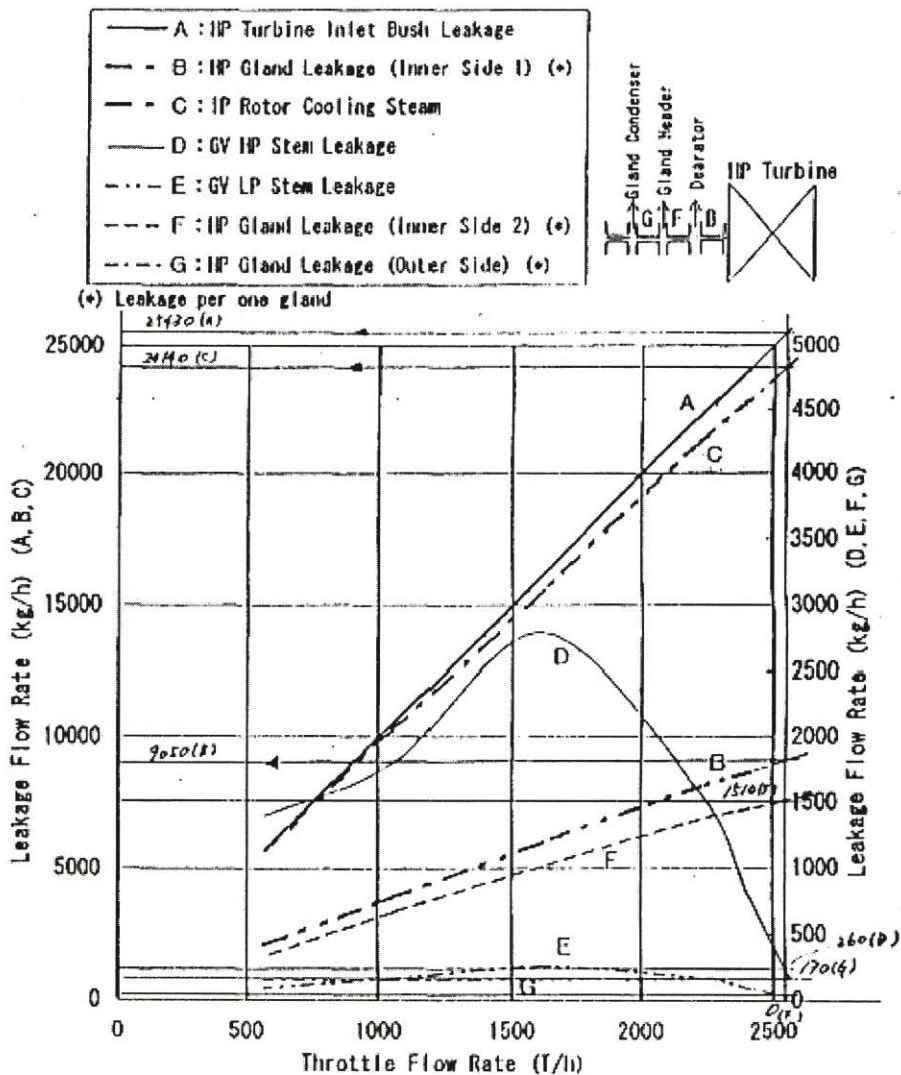


Fig. 11b

รูปที่ ๑.10 Correction Factor ของ Atomize Steam Temperature

Condition V  
C30-614

Fig IIP Turbine Leakage Flow vs Throttle Flow



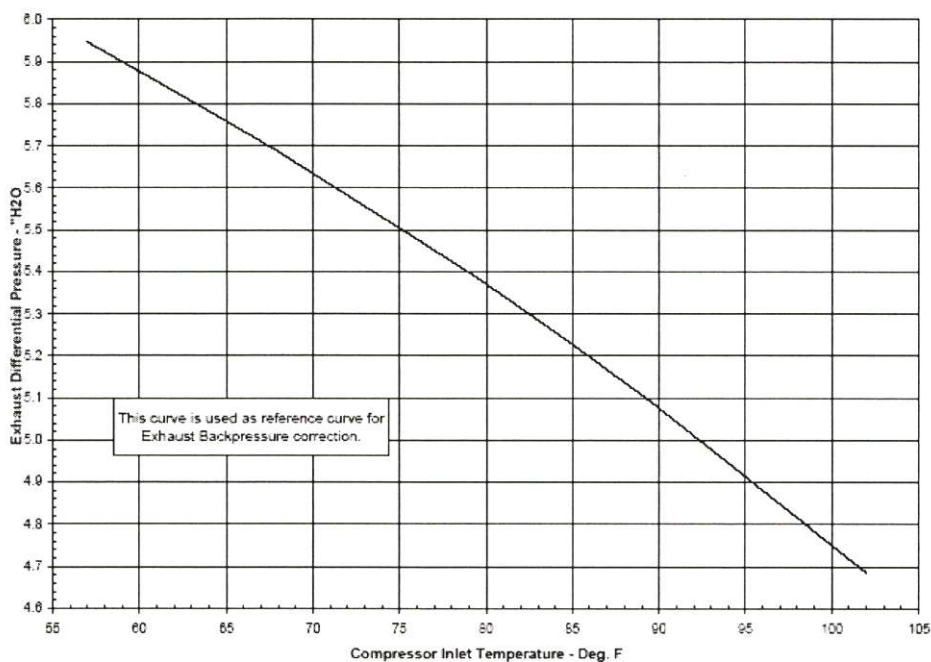
รูปที่ ข.11 อัตราการสูญเสีย Steam ใน แต่ละ Stage ของ Turbine ของโรงไฟฟ้าพลังความร้อน

ภาคผนวก ค.

## Correction Curve ของ โรงไฟฟ้าพลังความร้อนร่วม

### General Electric Model PG9351 Gas Turbine EGAT - Rachaburi GR0381

Estimated Performance  
Effect of Compressor Inlet Temperature on Exhaust Pressure  
Design Values Referenced on 102HA2023 Rev A Sheet 1  
Fuel: Gas  
Mode: Base  
Gas Turbine Generator(s) 296991 ONLY



	Units									
Compressor Inlet Temperature	F	57.00	60.00	65.00	70.00	77.97	82.00	88.00	95.00	102.00
Exhaust DP	inH <sub>2</sub> O	5.95	5.88	5.75	5.63	5.43	5.31	5.20	5.14	4.66

Ben Morlang  
08/30/06

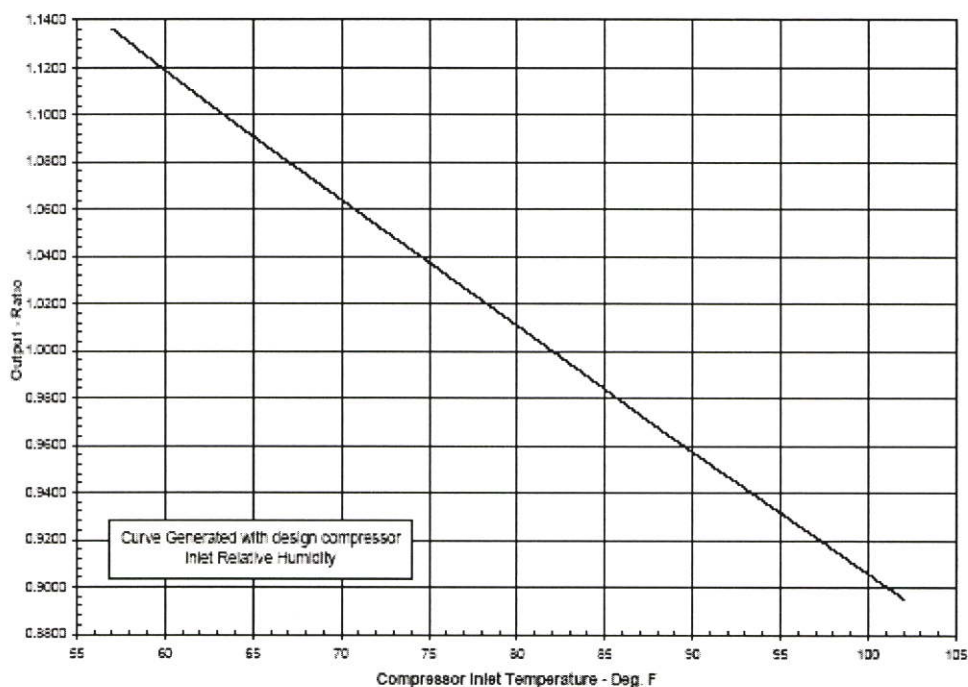
102HA2023 Rev A  
Sheet 2

This document contains GE proprietary information and may not be used or disclosed to others except with written permission of the GE company.

### รูปที่ ก.1 Correction Factor ของ Exhaust Pressure กับ Compressor Inlet Temperature

**General Electric Model PG9351 Gas Turbine  
EGAT - Rachaburi GR0381**

Estimated Performance  
 Effect of Compressor Inlet Temperature on Output  
 Design Values Referenced on 102HA2623 Rev A Sheet 1  
 Fuel: Gas  
 Mode: Base  
 Gas Turbine Generator(s) 296991 ONLY



	Units									
Compressor Inlet Temperature	F	57.00	60.00	65.00	70.00	77.97	82.00	88.00	95.00	102.00
Output Ratio		1.13631	1.11892	1.09106	1.06409	1.02171	1.00000	0.97840	0.96775	0.95737

Ben Moriang  
06/30/06

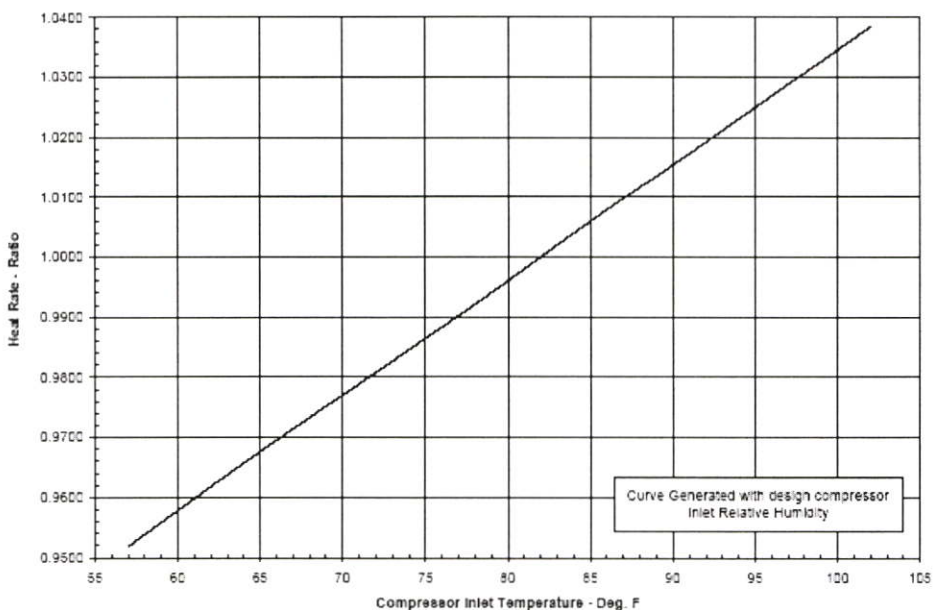
102HA2623 Rev A  
Sheet 3

This document contains GE proprietary information and may not be used or disclosed to others except with written permission of the GE company.

**รูปที่ ค.2** Correction Factor ของ Output ต่อ Compressor Inlet Temperature

**General Electric Model PG9351 Gas Turbine  
EGAT - Rachaburi GR0381**

Estimated Performance  
Effect of Compressor Inlet Temperature on Heat Rate  
Design Values Referenced on 102HA2623 Rev A Sheet 1  
Fuel: Gas  
Mode: Base  
Gas Turbine Generator(s) 256991 ONLY



	Units										
Compressor Inlet Temperature	F	57.00	60.00	65.00	70.00	77.97	82.00	86.00	89.00	90.00	102.00
Heat Rate Ratio		0.95183	0.95786	0.96759	0.97703	0.99208	1.00000	1.00735	1.01169	1.01534	1.03335

Ben Moriang  
06/30/05

102HA2623 Rev A  
Sheet 4

This document contains GE proprietary information and may not be used or disclosed to others except with written permission of the GE company.

รูปที่ ๓.3 Correction Factor ของ Heat Rate ต่อ Compressor Inlet Temperature

### General Electric Model PG9351 Gas Turbine EGAT - Rachaburi GR0381

**Estimated Performance**

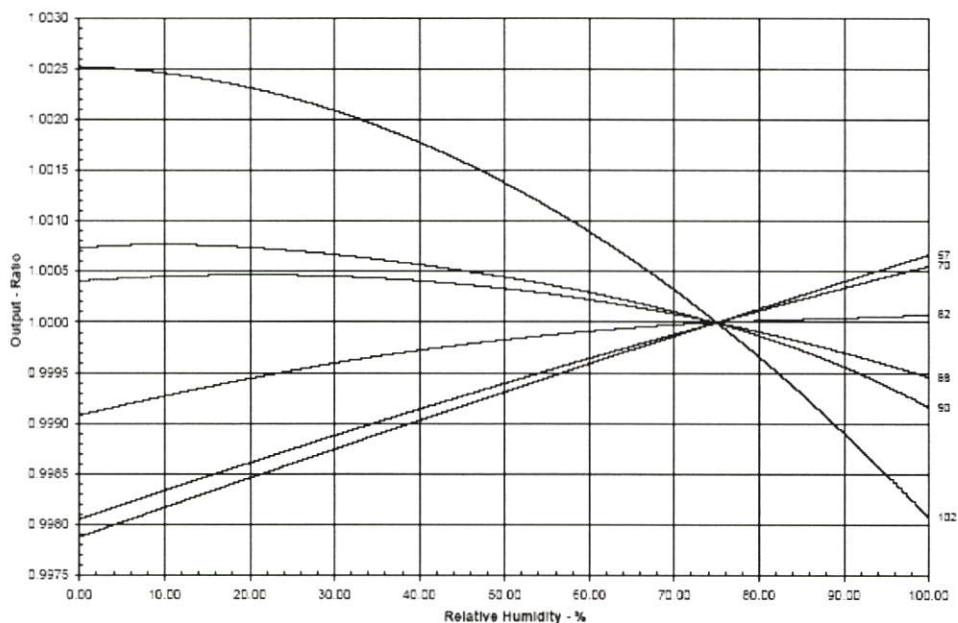
Effect of Relative Humidity on Output at Different Compressor Inlet Temperatures

Design Values Referenced on 102-HA2623 Rev A Sheet 1

Fuel: Gas

Mode: Base

Gas Turbine Generator(s) 235991 ONLY



Relative Humidity - %	Compressor inlet Temperature - Deg. F					
	57.0	70.0	82.0	88.0	90.0	102.0
75.0	1.00000	1.00000	1.00000	1.00000	1.00000	1.00000
0	0.99768	0.99805	0.99908	1.00041	1.00073	1.00252
20	0.99846	0.99881	0.99944	1.00047	1.00074	1.00232
40	0.99903	0.99914	0.99972	1.00041	1.00058	1.00178
50	0.99931	0.99940	0.99983	1.00033	1.00044	1.00136
60	0.99959	0.99964	0.99991	1.00022	1.00027	1.00099
70	0.99985	0.99988	0.99996	1.00008	1.00014	1.00032
80	1.00014	1.00012	1.00002	0.99991	0.99985	0.99966
100	1.00067	1.00056	1.00008	0.99945	0.99915	0.99808

Ben Moriang  
06/30/05

102-HA2623 Rev. A  
Sheet 5

This document contains GE proprietary information and may not be used or disclosed to others except with written permission of the GE company.

รูปที่ ๓.๔ Correction Factor ของ Output ต่อ Relative Humidity

### General Electric Model PG9351 Gas Turbine EGAT - Rachaburi GR0381

**Estimated Performance**

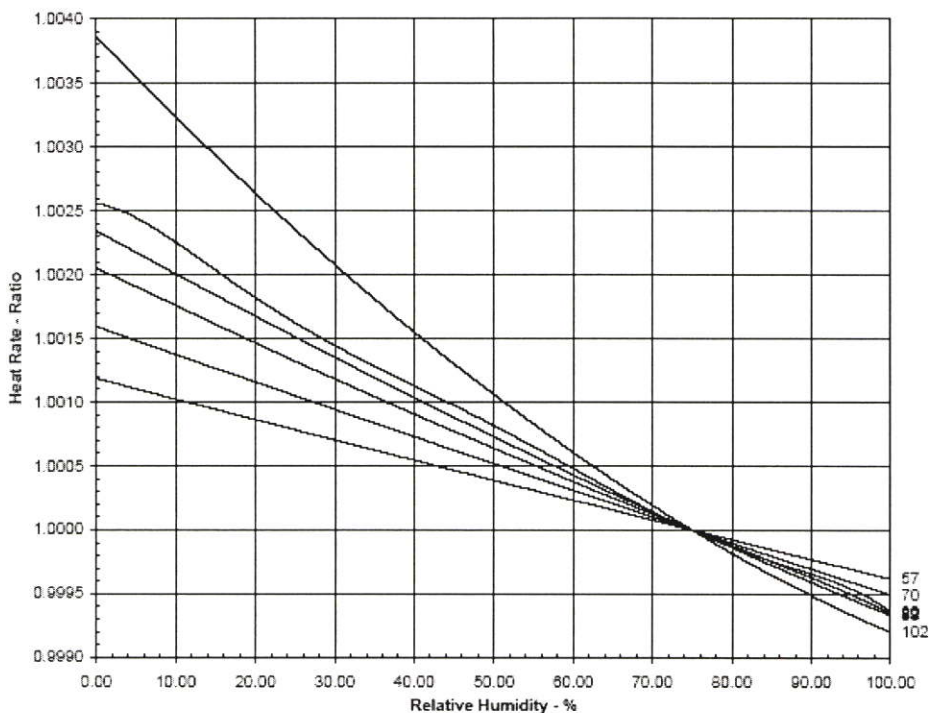
Effect of Relative Humidity on Heat Rate at Different Compressor Inlet Temperatures

Design Values Referenced on 102HA2623 Rev A Sheet 1

Fuel: Gas

Mode: Base

Gas Turbine Generator(s) 296991 ONLY



		Compressor Inlet Temperature - Deg. F					
		57.0	70.0	82.0	88.0	90.0	102.0
Relative Humidity - %	75.0	1.00000	1.00000	1.00000	1.00000	1.00000	1.00000
	0	1.00118	1.00159	1.00206	1.00235	1.00258	1.00367
	20	1.00096	1.00118	1.00147	1.00168	1.00182	1.00264
	40	1.00054	1.00073	1.00091	1.00104	1.00113	1.00155
	50	1.00039	1.00052	1.00064	1.00073	1.00081	1.00108
	60	1.00023	1.00031	1.00039	1.00043	1.00049	1.00061
	70	1.00008	1.00010	1.00012	1.00014	1.00013	1.00019
	80	0.99992	0.99990	0.99988	0.99986	0.99987	0.99982
	90	0.99982	0.99980	0.99978	0.99976	0.99977	0.99972
	100	0.99962	0.99960	0.99958	0.99956	0.99957	0.99952

รูปที่ ก.5 Correction Factor ของ Heat Rate ต่อ Relative Humidity

## General Electric Model PG9351 Gas Turbine EGAT - Rachaburi GR0381

### Estimated Performance

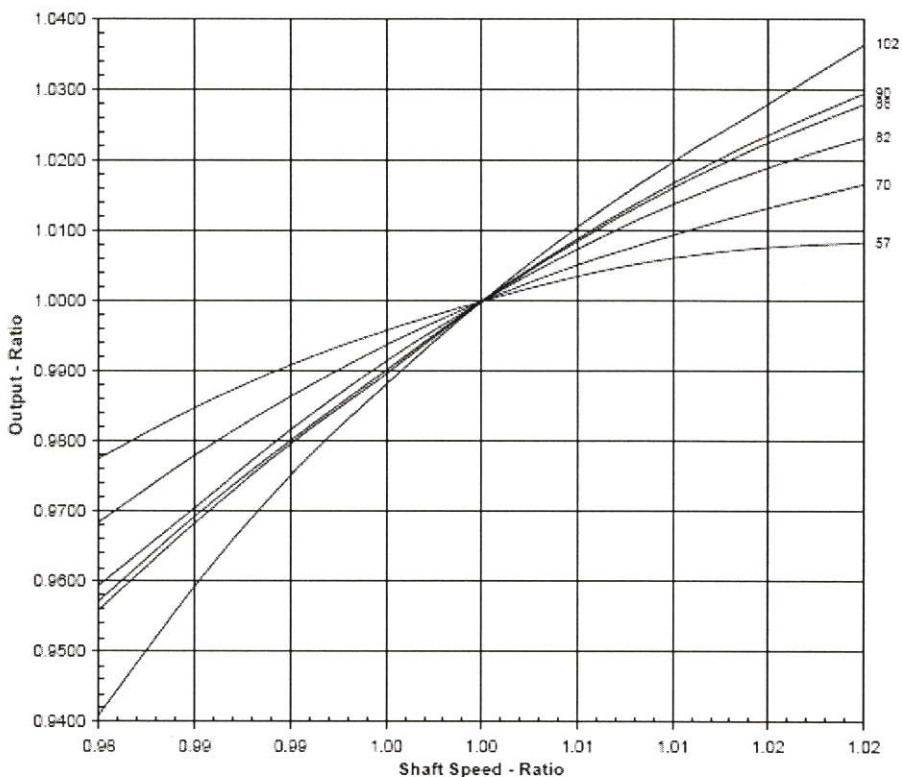
Effect of Shaft Speed on Output at Different Compressor Inlet Temperatures

Design Values Referenced on 102HA2823 Rev A Sheet 1

Fuel: Gas

Mode: Base

Gas Turbine Generator(s) 296991 ONLY



		Compressor Inlet Temperature - Deg. F					
		57.0	70.0	82.0	88.0	90.0	102.0
Shaft Speed Ratio	0.990	0.97781	0.96853	0.95952	0.95724	0.95600	0.94103
	0.995	0.98484	0.97805	0.97053	0.96931	0.96838	0.95232
	0.999	0.99091	0.98643	0.98167	0.98015	0.97956	0.97521
	1.000	1.00000	1.00000	1.00000	1.00000	1.00000	1.00000
	1.005	1.00359	1.00620	1.00748	1.00857	1.00893	1.01057
	1.010	1.00818	1.00946	1.01138	1.01181	1.01179	1.01985
	1.015	1.00773	1.01332	1.01905	1.02259	1.02368	1.02608
	1.020	1.00841	1.01685	1.02331	1.02800	1.02952	1.03648

รูปที่ 6.6 Correction Factor ของ Output ต่อ Shaft Speed Ratio

### General Electric Model PG9351 Gas Turbine EGAT - Rachaburi GR0381

**Estimated Performance**

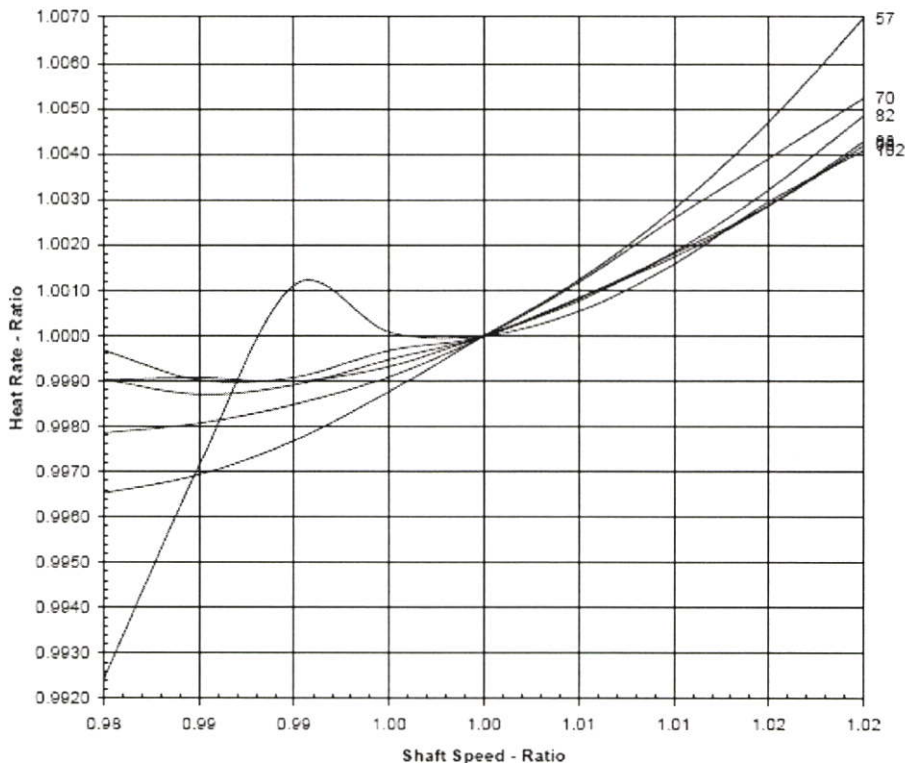
Effect of Shaft Speed on Heat Rate at Different Compressor Inlet Temperatures

Design Values Referenced on 102HA2623 Rev A Sheet 1

Fuel: Gas

Mode: Base

Gas Turbine Generator(s) 298991 ONLY



		Compressor Inlet Temperature - Deg. F					
		57.0	70.0	82.0	90.0	98.0	102.0
Shaft Speed Ratio	0.980	0.99852	0.99785	0.99902	0.99903	0.99967	0.99242
	0.985	0.99893	0.99807	0.99908	0.99870	0.99902	0.99715
	0.990	0.99789	0.99848	0.99899	0.99891	0.99909	1.00112
	0.995	0.99877	0.99909	0.99932	0.99948	0.99967	1.00008
	1.000	1.00000	1.00000	1.00000	1.00000	1.00000	1.00000
	1.005	1.00123	1.00118	1.00077	1.00084	1.00083	1.00054
	1.010	1.00280	1.00259	1.00185	1.00173	1.00182	1.00158
	1.015	1.00472	1.00391	1.00322	1.00287	1.00287	1.00298
	1.020	1.00898	1.00525	1.00485	1.00428	1.00419	1.00409

รูปที่ ๓.๗ Correction Factor ของ Heat Rate ต่อ Shaft Speed Ratio

### General Electric Model PG9351 Gas Turbine EGAT - Rachaburi GR0381

**Estimated Performance**

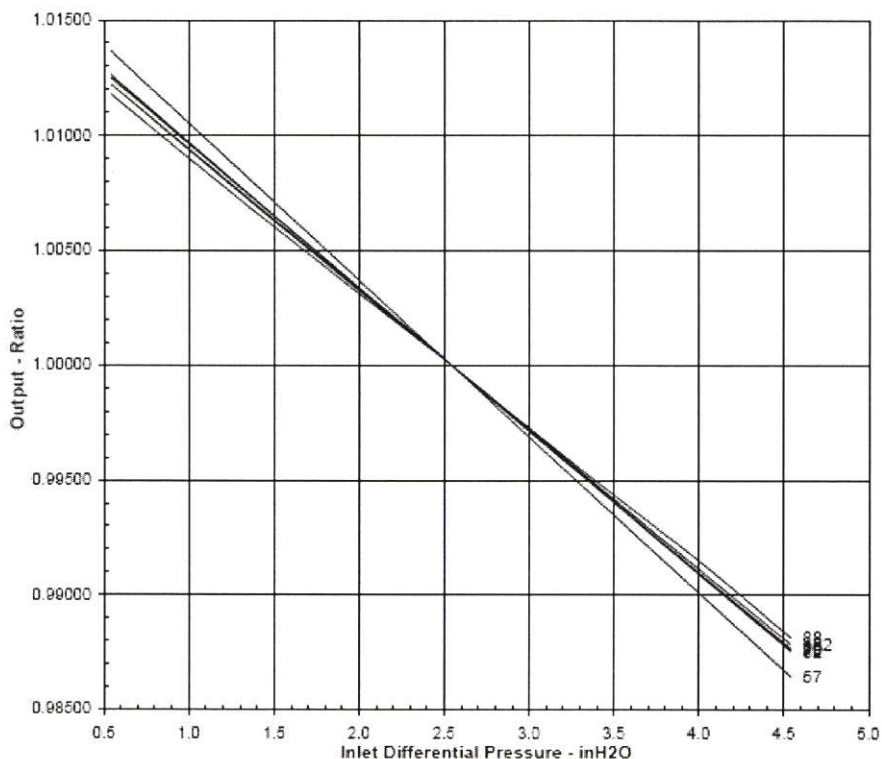
Effect of Inlet Differential Pressure on Output at Different Compressor Inlet Temps

Design Values Referenced on 102HA2823 Rev A Sheet 1

Fuel: Gas

Mode: Base

Gas Turbine Generator(s) 298991 ONLY



		Compressor Inlet Temperature - Deg. F					
		57.0	70.0	82.0	95.0	90.0	102.0
Inlet dP (inH2O)	0.540	1.01388	1.01265	1.01252	1.01224	1.01179	1.01224
	1.040	1.01028	1.00945	1.00939	1.00913	1.00878	1.00917
	1.540	1.00684	1.00628	1.00626	1.00605	1.00590	1.00611
	2.040	1.00342	1.00313	1.00313	1.00301	1.00298	1.00305
	2.540	1.00000	1.00000	1.00000	1.00000	1.00000	1.00000
	3.040	0.99659	0.99669	0.99689	0.99703	0.99695	0.99665
	3.540	0.99319	0.99379	0.99378	0.99412	0.99378	0.99392
	4.040	0.98982	0.99071	0.99085	0.99125	0.99072	0.99088
	4.540	0.98647	0.98764	0.98758	0.98816	0.98787	0.98785

รูปที่ ๘.๘ Correction Factor ของ Output ต่อ Inlet Differential Pressure

### General Electric Model PG9351 Gas Turbine EGAT - Rachaburi GR0381

**Estimated Performance**

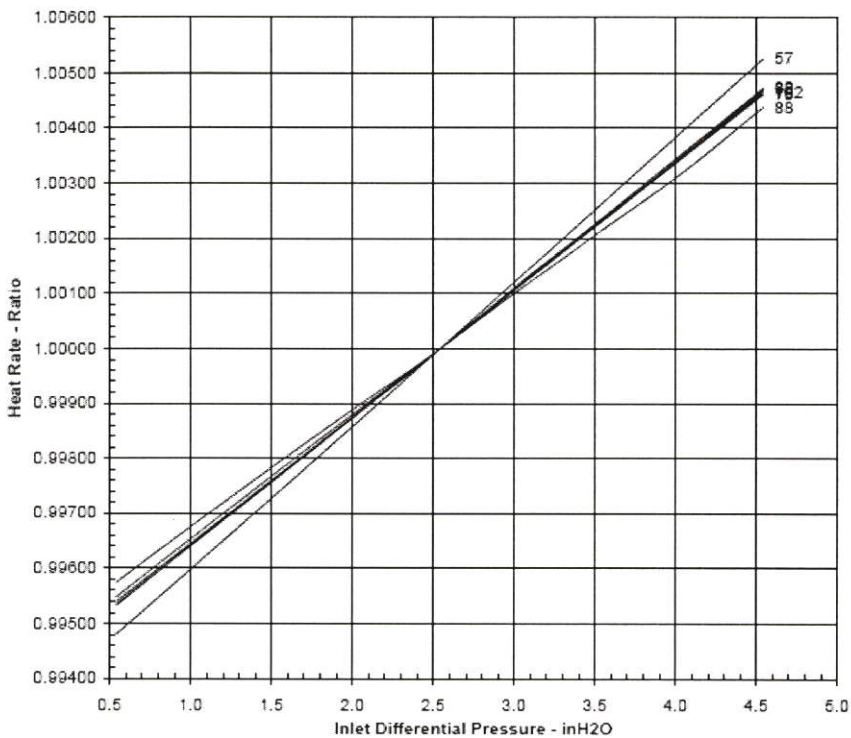
Effect of Inlet Differential Pressure on Heat Rate at Different Compressor Inlet Temps

Design Values Referenced on 102HA2623 Rev A Sheet 1

Fuel: Gas

Mode: Base

Gas Turbine Generator(s) 296991 ONLY



		Compressor Inlet Temperature - Deg. F					
		57.0	70.0	82.0	88.0	90.0	102.0
Inlet dp (inH2O)	0.540	0.99481	0.99533	0.99534	0.99549	0.99575	0.99540
	1.040	0.99609	0.99651	0.99650	0.99663	0.99686	0.99655
	1.540	0.99736	0.99768	0.99768	0.99777	0.99792	0.99769
	2.040	0.99869	0.99864	0.99863	0.99869	0.99897	0.99866
	2.540	1.00000	1.00000	1.00000	1.00000	1.00000	1.00000
	3.040	1.00132	1.00116	1.00118	1.00109	1.00121	1.00118
	3.540	1.00263	1.00231	1.00236	1.00216	1.00237	1.00232
	4.040	1.00395	1.00346	1.00354	1.00319	1.00353	1.00348
4.540	1.00525	1.00461	1.00473	1.00438	1.00470	1.00466	

รูปที่ ๙.๙ Correction Factor ของ Heat Rate ต่อ Inlet Differential Pressure

### General Electric Model PG9351 Gas Turbine EGAT - Rachaburi GR0381

**Estimated Performance**

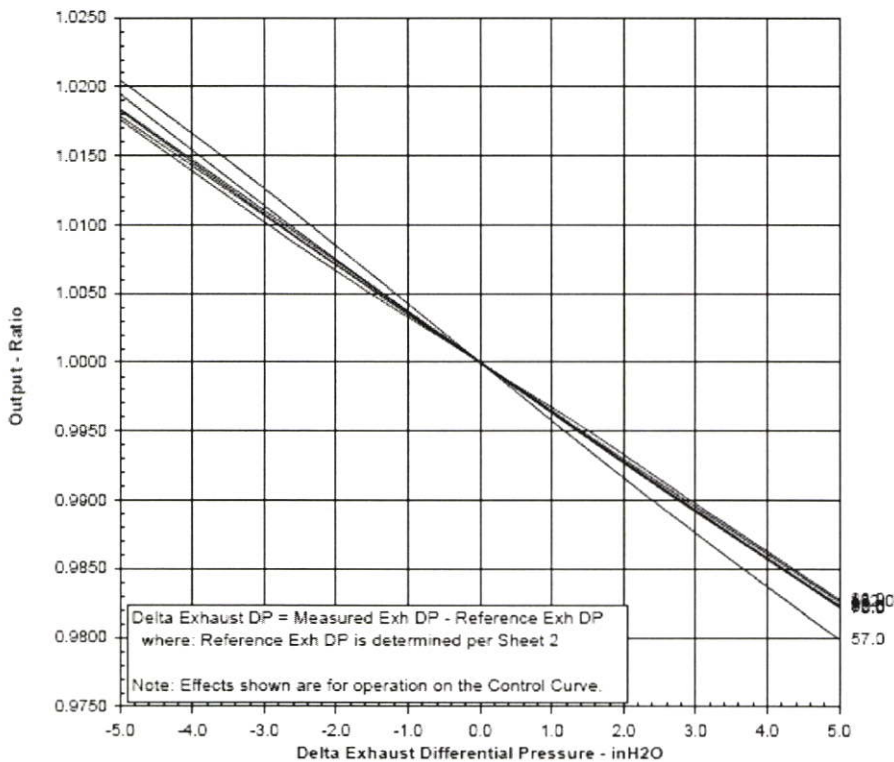
Effect of Exhaust Pressure on Output at Different Compressor Inlet Temps

Design Values Referenced on 102HA2823 Rev A Sheet 1

Fuel: Gas

Mode: Base

Gas Turbine Generator(s) 299991 ONLY



		Compressor Inlet Temperature - Deg. F					
		57.0	70.0	82.0	88.0	90.0	102.0
Delta Exhaust Differential Pressure - inH2O	-5.00	1.02049	1.01953	1.01844	1.01832	1.01768	1.01791
	-4.50	1.01859	1.01745	1.01659	1.01643	1.01577	1.01610
	-3.00	1.01264	1.01139	1.01105	1.01079	1.01022	1.01058
	-1.50	1.00638	1.00559	1.00552	1.00527	1.00492	1.00531
	0.00	1.00000	1.00000	1.00000	1.00000	1.00000	1.00000
	1.50	0.99370	0.99457	0.99452	0.99509	0.99469	0.99474
	3.00	0.98761	0.98924	0.98915	0.98977	0.98930	0.98952
	4.50	0.98179	0.98398	0.98400	0.98463	0.98407	0.98436
5.00	0.97990	0.98223	0.98236	0.98280	0.98233	0.98264	

รูปที่ ค.10 Correction Factor ของ Output ต่อ Delta Exhaust Differential Pressure

### General Electric Model PG9351 Gas Turbine EGAT - Rachaburi GR0381

**Estimated Performance**

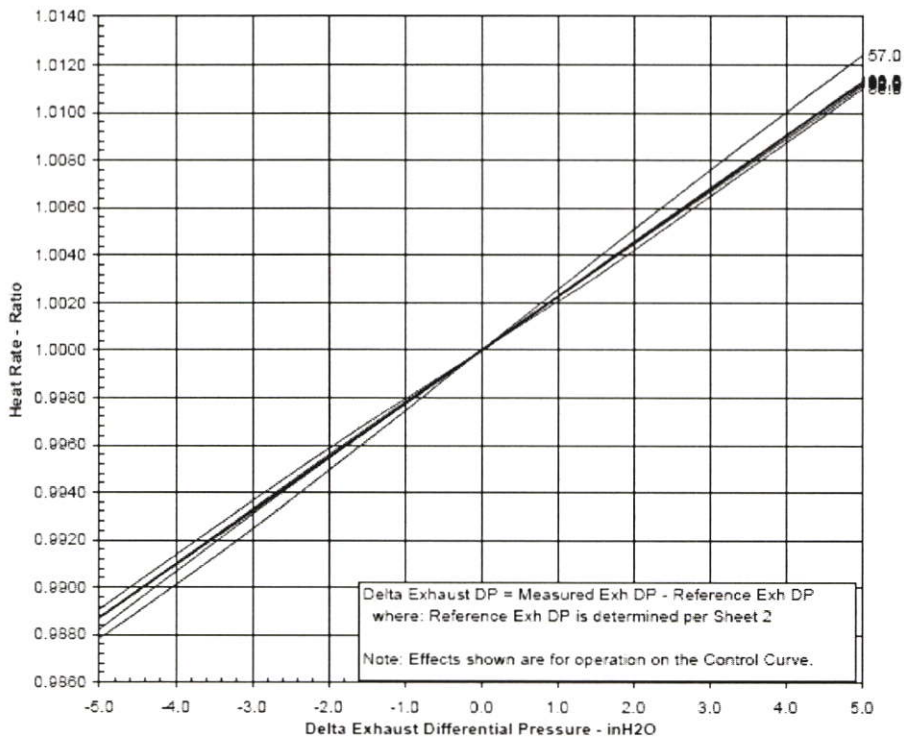
Effect of Exhaust Pressure on Heat Rate at Different Compressor Inlet Temps

Design Values Referenced on 102HA2623 Rev A Sheet 1

Fuel: Gas

Mode: Base

Gas Turbine Generator(s) 296891 ONLY



Delta Exhaust Differential Pressure - inH2O	Compressor Inlet Temperature - Deg. F					
	57.0	70.0	82.0	88.0	90.0	102.0
-5.00	0.98786	0.98822	0.98870	0.98870	0.98908	0.98874
-4.50	0.98896	0.98945	0.98982	0.98985	0.99023	0.98987
-3.00	0.99245	0.99307	0.99318	0.99330	0.99363	0.99324
-1.50	0.99617	0.99658	0.99667	0.99671	0.99692	0.99662
0.00	1.00000	1.00000	1.00000	1.00000	1.00000	1.00000
1.50	1.00384	1.00336	1.00344	1.00310	1.00343	1.00338
3.00	1.00759	1.00669	1.00685	1.00649	1.00681	1.00677
4.50	1.01122	1.01002	1.01015	1.00987	1.01019	1.01018
5.00	1.01241	1.01113	1.01121	1.01099	1.01132	1.01130

รูปที่ ๑.๑๑ Correction Factor ของ Heat Rate ต่อ Delta Exhaust Differential Pressure

**General Electric Model PG9351 Gas Turbine  
EGAT - Rachaburi GR0381**

**Estimated Performance**

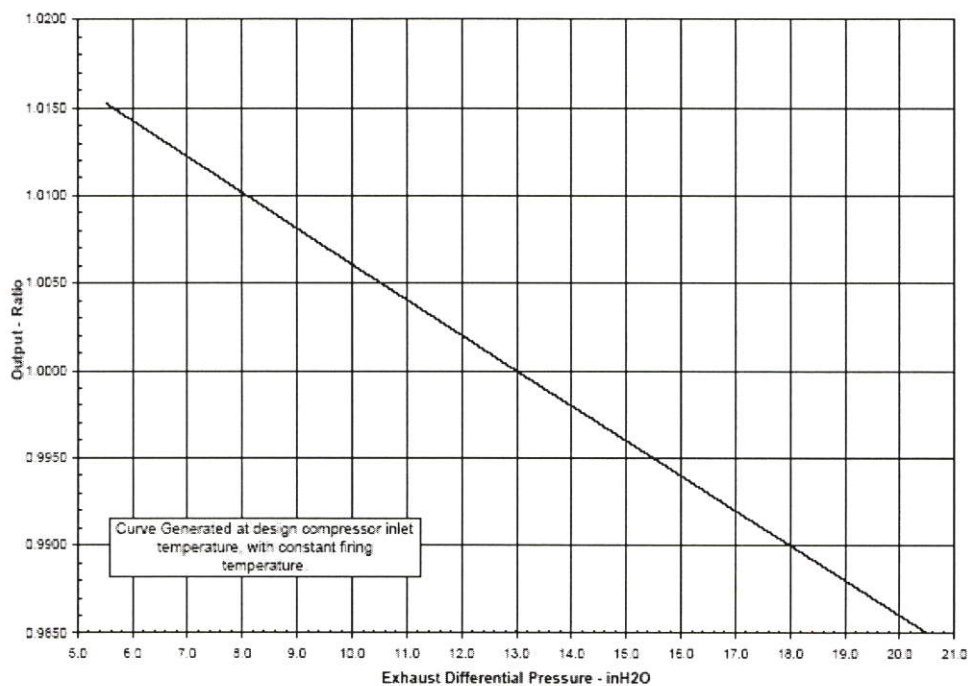
**Effect of Exhaust Differential Pressure on Output**

Design Values Referenced on 102HA2623 Rev A Sheet 1

Fuel: Gas

Mode: Base

Gas Turbine Generator(s) 206991 ONLY



	Units			
Exhaust DP	inH2O	5.52	12.99	20.46
Output Ratio		1.01525	1.00000	0.98511

**รูปที่ ค.12** Correction Factor ของ Output ต่อ Exhaust Differential Pressure

**General Electric Model PG9351 Gas Turbine  
EGAT - Rachaburi GR0381**

**Estimated Performance**

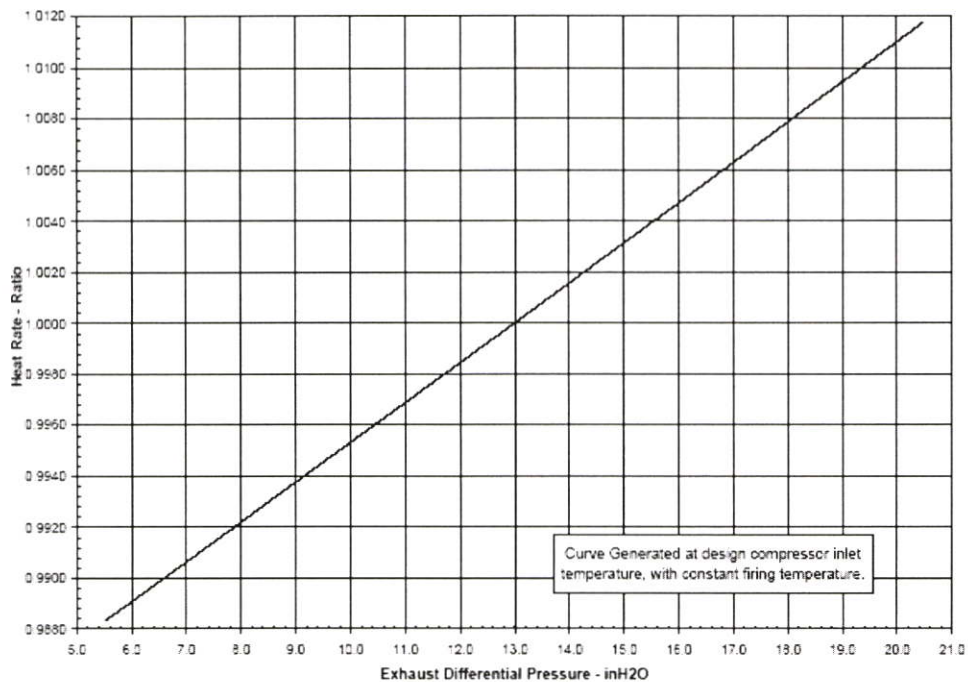
Effect of Exhaust Differential Pressure on Heat Rate

Design Values Referenced on 102HA2623 Rev A Sheet 1

Fuel: Gas

Mode: Base

Gas Turbine Generator(s) 29E991 ONLY



	Units			
Exhaust DP	inH2O	5.52	12.00	20.46
Heat Rate Ratio		0.98534	1.00000	1.01173

รูปที่ ก.13 Correction Factor ของ Heat Rate ต่อ Exhaust Differential Pressure

### General Electric Model PG9351 Gas Turbine EGAT - Rachaburi GR0381

**Estimated Performance**

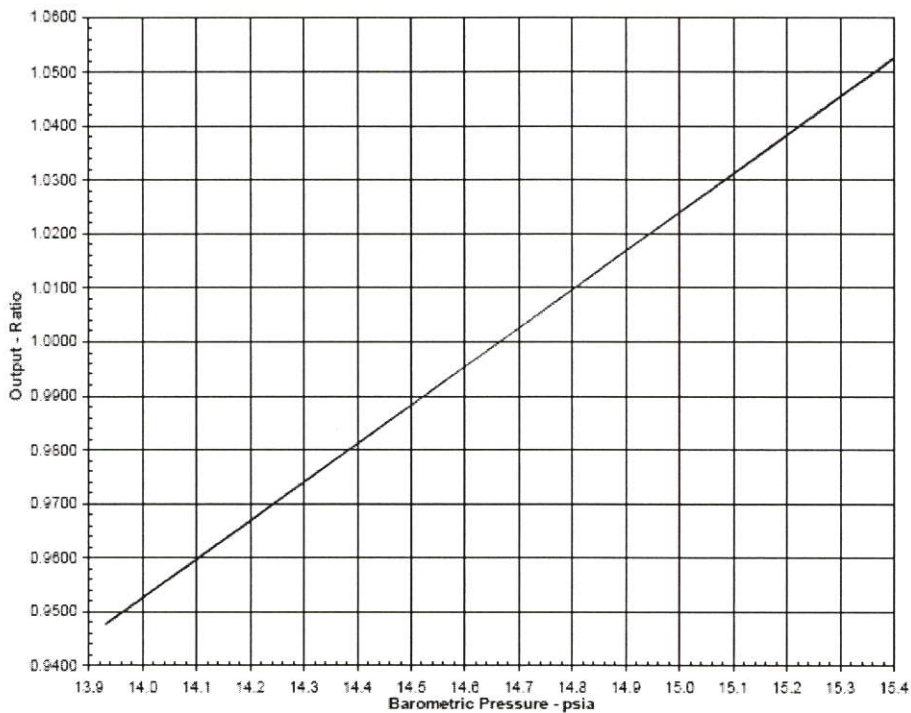
Effect of Barometric Pressure on Output at Different Compressor Inlet Temps

Design Values Referenced on 102HA2823 Rev A Sheet 1

Fuel: Gas

Mode: Base

Gas Turbine Generator(s) 298991 ONLY



		Compressor Inlet Temperature - Deg. F					
		57.0	70.0	82.0	88.0	90.0	102.0
Barometric Pressure - psia	13.93	0.94751	0.94778	0.94769	0.94773	0.94755	0.94750
	14.08	0.95901	0.95921	0.95915	0.95918	0.95902	0.95900
	14.22	0.96951	0.96968	0.96961	0.96964	0.96950	0.96950
	14.37	0.97901	0.97910	0.97908	0.97909	0.97898	0.97900
	14.51	1.00000	1.00000	1.00000	1.00000	1.00000	1.00000
	14.66	1.02099	1.02089	1.02092	1.02091	1.02099	1.02100
	15.10	1.03148	1.03134	1.03138	1.03137	1.03133	1.03149
	15.25	1.04198	1.04179	1.04184	1.04182	1.04177	1.04199
	15.40	1.05247	1.05223	1.05230	1.05228	1.05222	1.05249

รูปที่ ค.14 Correction Factor ของ Output ต่อ Barometric Pressure

### General Electric Model PG9351 Gas Turbine EGAT - Rachaburi GR0381

**Estimated Performance**

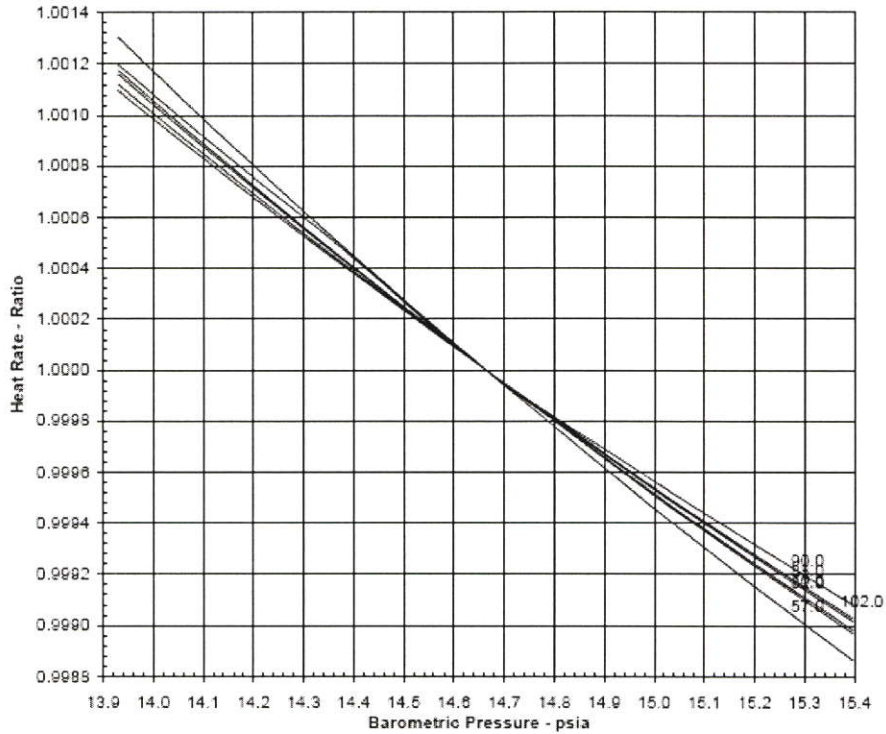
Effect of Barometric Pressure on Heat Rate at Different Compressor Inlet Temps

Design Values Referenced on 102HA2623 Rev A Sheet 1

Fuel: Gas

Mode: Base

Gas Turbine Generator(s) 290001 ONLY



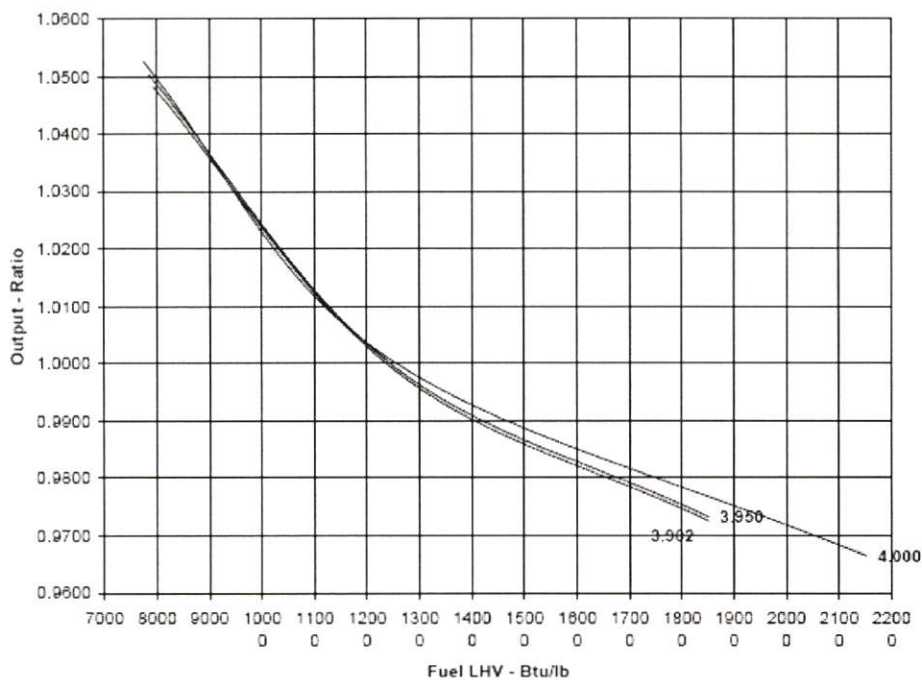
		Compressor Inlet Temperature - Deg. F					
		57.0	70.0	82.0	88.0	90.0	102.0
Barometric Pressure - psia	13.93	1.00130	1.00116	1.00118	1.00110	1.00120	1.00112
	14.08	1.00103	1.00092	1.00093	1.00097	1.00096	1.00089
	14.22	1.00076	1.00068	1.00069	1.00084	1.00072	1.00068
	14.37	1.00050	1.00045	1.00045	1.00042	1.00049	1.00043
	14.66	1.00000	1.00000	1.00000	1.00000	1.00000	1.00000
	14.96	0.99953	0.99958	0.99957	0.99960	0.99962	0.99959
	15.10	0.99930	0.99937	0.99937	0.99940	0.99944	0.99939
	15.25	0.99906	0.99918	0.99917	0.99921	0.99926	0.99920
15.40	0.99886	0.99898	0.99897	0.99903	0.99908	0.99902	

รูปที่ ก.15 Correction Factor ของ Heat Rate ต่อ Barometric Pressure

### General Electric Model PG9351 Gas Turbine EGAT - Rachaburi GR0381

**Estimated Performance**

Effect of Gas Fuel Composition on Output  
 Design Values Referenced on 102HA2623 Rev A Sheet 1  
 Fuel: Gas  
 Mode: Base  
 Gas Turbine Generator(s) 290991 ONLY



Fuel H/C	
Fuel LHV - Btu/lb	Fuel H/C
21511	4.00
12358	0.98650
7757	1.00124
	1.05267

Fuel H/C	
Fuel LHV - Btu/lb	Fuel H/C
19505	3.95
12444	0.97321
7848	1.00000
	1.05043

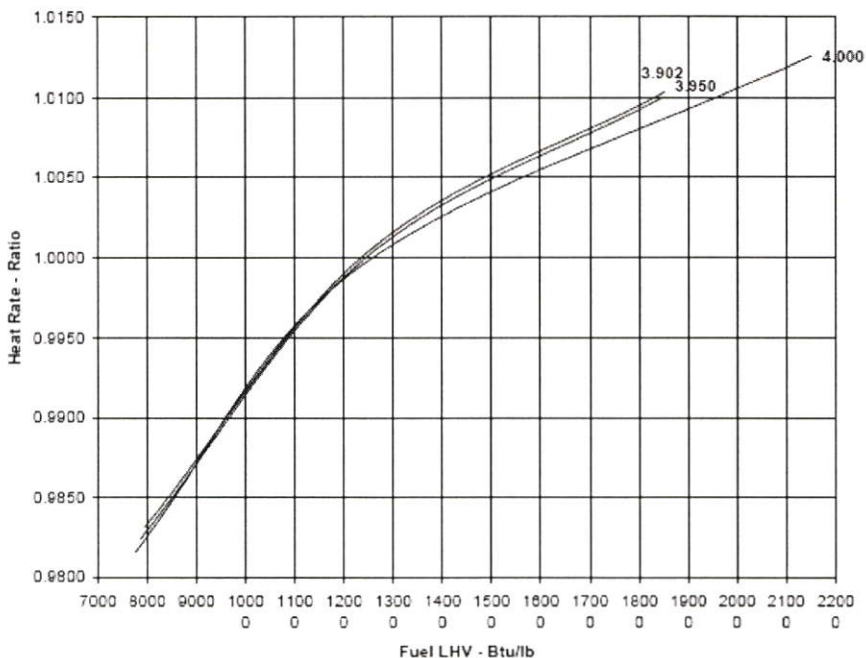
Fuel H/C	
Fuel LHV - Btu/lb	Fuel H/C
18516	3.90
12528	0.97252
7935	0.99880
	1.04828

รูปที่ ก.16 Correction Factor ของ Output ต่อ Fuel LHV

### General Electric Model PG9351 Gas Turbine EGAT - Rachaburi GR0381

**Estimated Performance**

Effect of Gas Fuel Composition on Heat Rate  
 Design Values Referenced on 102HA2623 Rev A Sheet 1  
 Fuel: Gas  
 Mode: Base  
 Gas Turbine Generator(s) 296991 ONLY

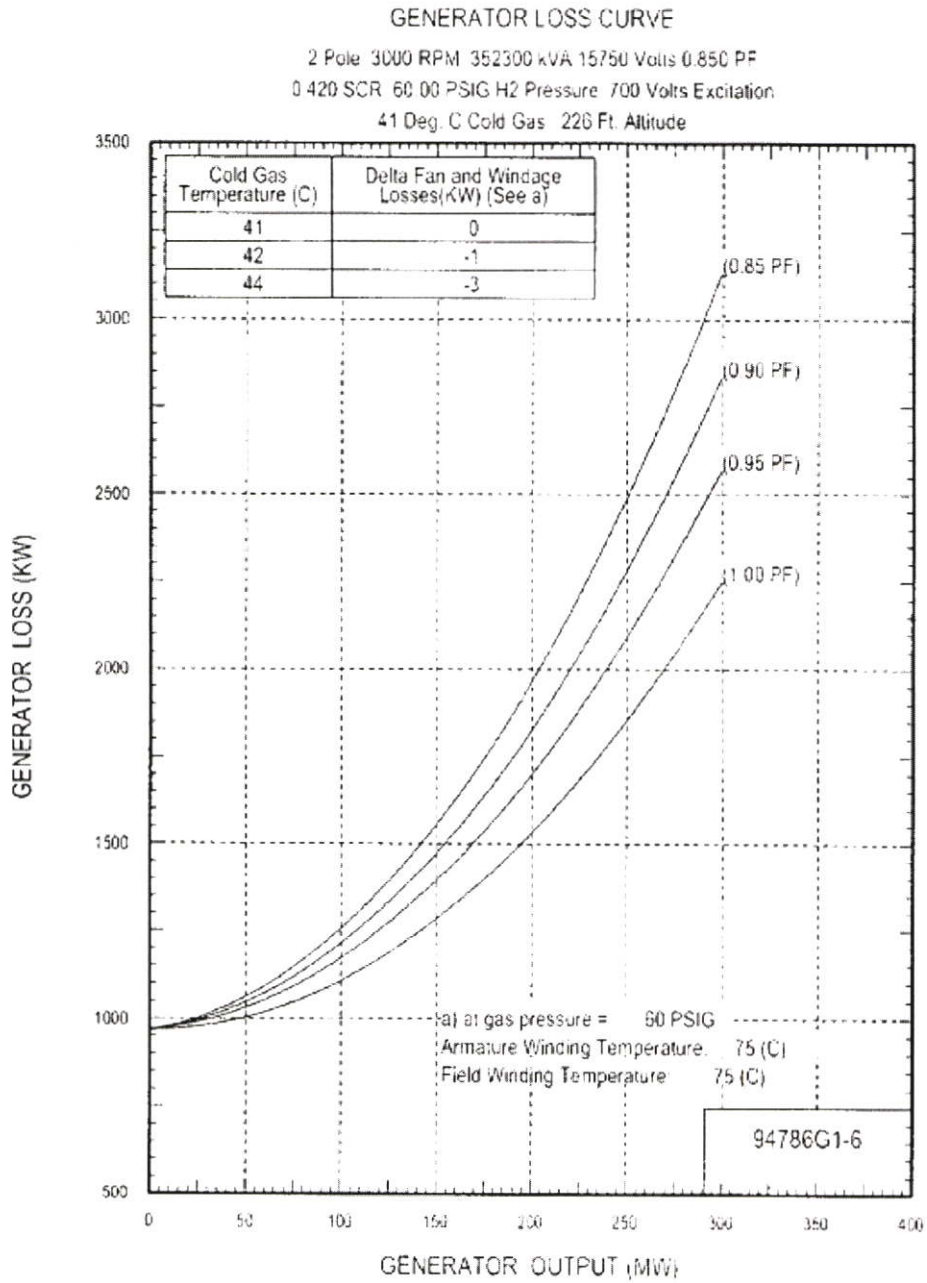


Fuel H/C	
Fuel LHV - Btu/lb	Fuel H/C
21511	4.00
12358	0.99951
7757	0.98158

Fuel H/C	
Fuel LHV - Btu/lb	Fuel H/C
18505	3.95
12444	1.00000
7848	0.98235

Fuel H/C	
Fuel LHV - Btu/lb	Fuel H/C
18516	3.90
12528	1.00047
7936	0.98311

รูปที่ ค.17 Correction Factor ของ Heat Rate ต่อ Fuel LHV



รูปที่ ก.18 Loss ของ Generator ต่อ Generator Output

## ประวัติผู้เขียน

ชื่อ-นามสกุล	นายคงคา คุณพันธ์
ที่อยู่	145/533 หมู่บ้านนิรันดร์ หมู่ 8 ต. ดอนตะโก อ. เมือง จ. ราชบุรี
ที่อยู่อิเล็กทรอนิกส์	khongkhak@ratchgen.co.th
ประวัติการศึกษา	พ.ศ. 2536 วิศวกรรมศาสตรบัณฑิต สาขาวิศวกรรมไฟฟ้ากำลัง สถาบันเทคโนโลยีพระจอมเกล้าเจ้าคุณทหารลาดกระบัง
ความชำนาญเฉพาะด้าน	1) ควบคุมการก่อสร้างโรงไฟฟ้า 2) วางแผนและควบคุมประสิทธิภาพของโรงไฟฟ้า 3) คอมพิวเตอร์และการโปรแกรมมิ่ง
ประสบการณ์การทำงาน	
พ.ศ. 2536	งานที่การไฟฟ้าฝ่ายผลิตแห่งประเทศไทย โครงการก่อสร้างโรงไฟฟ้า พลังความร้อนร่วมพระนครได้ระยะที่ 1
พ.ศ. 2537	โครงการก่อสร้างโรงไฟฟ้าพลังความร้อนร่วม โรงไฟฟ้าวังน้อย Unit 1-3
พ.ศ. 2540	โครงการก่อสร้างโรงไฟฟ้าพลังความร้อนร่วม โรงไฟฟ้าวังน้อย Unit 1-3
พ.ศ. 2541	แผนกประสิทธิภาพ โรงไฟฟ้าวังน้อย
พ.ศ. 2542-ปัจจุบัน	บริษัทผลิตไฟฟ้าราชบุรี, ทำงานในตำแหน่งผู้จัดการส่วนวิศวกรรมการผลิตและประสิทธิภาพ
ผลงานวิจัย	
พ.ศ. 2546	การคำนวณประสิทธิภาพแบบ Real Time ของโรงไฟฟ้าพลังความร้อน และพลังความร้อนร่วม
พ.ศ. 2547	ประสบการณ์และการใช้ประโยชน์จากระบบข้อมูล Real Time ของโรง ไฟฟ้า
พ.ศ. 2549	Ratchaburi Plant Information System, Technology Conference 2006 Asia Pacific.